

8.8.2—Pruebas de carga de diagnóstico

8.8.2.1—Introducción

Antes de iniciar una prueba de carga de diagnóstico, el puente debe calificarse analíticamente utilizando los procedimientos contenidos en este Manual. Los procedimientos descritos en esta Sección permitirán al Ingeniero reexaminar los fundamentos teóricos. valores y ajustar estas calificaciones para reflejar la realidad rendimiento del puente obtenido del diagnóstico resultados de la prueba.

8.8.2.2—Enfoque

Mientras un puente exhiba un comportamiento lineal, un La prueba de carga de diagnóstico se puede utilizar para validar una actualización. modelo analítico. Por lo tanto, es importante que la carga de prueba sea colocados en varias posiciones en el puente para determinar la respuesta en todos los miembros críticos del puente. Además, el La magnitud de la carga de prueba debe ser suficientemente alta para que que hay poca probabilidad de un comportamiento no lineal en el niveles previstos de carga de servicio. Si el ingeniero es satisfecho de que el modelo es válido, entonces se realiza una extrapolación a niveles de carga superiores a los colocados en el puente durante la prueba puede ser factible. Los siguientes artículos presentan un método para extrapolar los resultados de una carga diagnóstica. prueba.

8.8.2.3—Aplicación de los resultados de las pruebas de diagnóstico

Una parte importante de las pruebas de diagnóstico es la evaluación. de las diferencias entre lo previsto y lo medido respuestas para su uso posterior en la determinación de la carga calificación del puente. Esta sección proporciona pautas para modificar la clasificación de carga calculada para un puente basado en los resultados de una prueba de carga de diagnóstico. Se debe utilizar la siguiente ecuación para modificar la Clasificación de carga calculada después de una prueba de carga de diagnóstico:

$$RFT = \frac{R_c}{K} \quad (8.8.2.3-1)$$

RFT = factor de clasificación de carga para la capacidad de carga viva según el resultado de la prueba de carga

RFc = factor de calificación basado en cálculos previos a incorporando los resultados de las pruebas (se debe utilizar la ecuación A6.4.2.1-1).

K = factor de ajuste resultante de la comparación del comportamiento de prueba medido con el modelo analítico (representa los beneficios de la carga de campo prueba, si la hubiera)

C8.8.2.3

El factor de sección apropiado (área, módulo de sección) que se utilizará para calcular RFC debe determinarse después de la evaluación de los resultados de la prueba de carga, incluidas las observaciones realizadas durante la colocación del vehículo de prueba en el puente. Es necesario evaluar críticamente la mejora observada en el factor de sección resultante de una acción compuesta no intencionada. Evaluación analítica de la acción compuesta en puentes de losa y viga sin conexión mecánica a cortante y la confiabilidad.

de acción compuesta encontrada por una prueba de diagnóstico se analiza en NCHRP Research Results Digest No. 234.

Para estructuras compuestas con conectores de corte, se debe utilizar la sección compuesta completa según lo definido por las Especificaciones de diseño de puentes AASHTO LRFD, a menos que las observaciones durante la prueba indiquen deslizamiento en la interfaz de la viga del tablero. Las estructuras no compuestas que no muestren evidencia de acción compuesta bajo la carga de prueba deben evaluarse en base a factores de sección no compuestos.

## 8.8.2.3.1—Determinación de K

## C8.8.2.3.1

El Factor de Ajuste K viene dado por:

$$1/K = 1/K_a + 1/K_b \quad (8.8.2.3.1-1)$$

dónde:

$K_a$  = representa tanto el beneficio derivado de la prueba de carga, si la hubiera, y consideración de la sección factor (área, módulo de sección, etc.) que resiste la carga de prueba aplicada

$K_b$  = representa la comprensión de la prueba de carga resultados comparados con los predichos por teoría

Sin prueba de carga,  $K = 1$ . Si los resultados de la prueba de carga de acuerdo exactamente con la teoría, entonces  $K = 1$  también. Generalmente, después de una prueba de carga,  $K$  no es igual a uno. Si  $K > 1$ , entonces la respuesta del puente es más favorable de lo previsto por teoría y la capacidad de carga del puente puede ser mejorado. Por otro lado, si  $K < 1$ , entonces real La respuesta del puente es más severa que eso. predicha y la capacidad de carga teórica del puente puede hay que reducirlo.

La siguiente expresión general debe usarse en determinando  $K_a$ :

$$K_a = 1 - \frac{\epsilon_c}{\epsilon_t} \quad (8.8.2.3.1-2)$$

dónde:

$\epsilon_T$  = deformación máxima del miembro medida durante la carga prueba

$\epsilon_C$  = deformación calculada correspondiente debido a la prueba vehículo, en su posición en el puente que producido  $\epsilon_T$

$K_a$  puede ser positivo o negativo dependiendo de los resultados de la prueba de carga.

En general:

$$\epsilon_c = \frac{L_t}{(SF)E} \quad (8.8.2.3.1-3)$$

dónde:

$L_T$  = efecto de carga teórica calculado en el miembro correspondiente a la deformación medida  $\epsilon_T$

SF = factor de sección apropiado para el miembro (área, sección módulo, etc.); ver C8.8.2.3

E = módulo de elasticidad del miembro

La intención de "¿Se puede extrapolar el comportamiento de los miembros?" a  $1.33W$ ?" en la Tabla 1 es para proporcionar cierta seguridad de que la estructura tiene una capacidad de reserva adecuada más allá de su nivel de carga nominal  $W$ . Normalmente esto se establecería mediante cálculo, pero también serían aceptables pruebas de verificación.

Ejemplos de cálculos típicos que podrían realizarse para verificar este criterio incluyen:

1. Cargar el modelo analítico con  $1.33W$  y determinar si existe comportamiento lineal de los componentes de la estructura. El modelo podría basarse en las especificaciones LRFD o en un modelo informático tridimensional.
2. Utilizando los procedimientos indicados en el Compendio de resultados de investigación del NCHRP No. 234, determine si hay acción compuesta a  $1.33 W$  donde no se pretendía.

La prueba de carga de diagnóstico no aborda específicamente el estado límite de fatiga. Sin embargo, en el momento de la prueba puede ser necesario medir las tensiones en los detalles sensibles a la fatiga para determinar si es posible que se produzcan fisuras por fatiga.

La deformación teórica  $\epsilon_C$  resultante de la carga de prueba. debe calcularse utilizando un factor de sección que más se aproxima mucho a la resistencia real del miembro durante el examen. (Ver ejemplo en NCHRP Research Results Digest No. 234, páginas 46–47.) Para no compuestos secciones, el factor  $K_a$  representa el beneficio de la prueba sin el efecto de una acción compuesta no intencionada.

$K_b$  tiene en cuenta el análisis realizado por el equipo de prueba de carga y su comprensión y explicaciones de las posibles mejoras en la capacidad de carga observado durante la prueba. En particular, el equipo de prueba de carga. debe considerar los siguientes elementos y reducir  $K_b$  para tener en cuenta aquellas contribuciones de las que no se puede depender encendido al nivel de carga nominal. La Tabla 1 proporciona orientación. Basado en el comportamiento anticipado de los miembros del puente. en el nivel de carga nominal, y la relación entre la efecto del vehículo de prueba no factorizado  $T$  y el efecto bruto no factorizado efecto de carga nominal  $W$ .

Tabla 8.8.2.3.1-1—Valores para  $K_b$

¿Puede el comportamiento de los miembros ser extrapolado a 1,33W?		Magnitud de la carga de prueba			$k_b$
Sí	No	$\frac{t}{W} < 0,4$	$0,4 \leq \frac{t}{W} \leq 0,7$	$\frac{t}{W} > 0,7$	
✓		✓			0
✓			✓		0,8
✓				✓	1.0
	✓	✓			0
	✓		✓		0
	✓			✓	0,5

Al factor  $K_b$  se le debe asignar un valor entre 0 y 1,0 para indicar el nivel de beneficio de la prueba que se esperado al nivel de carga nominal.  $K_b = 0$  refleja la incapacidad del equipo de prueba para explicar el comportamiento de la prueba o validar los resultados de la prueba, mientras que  $K_b = 1$  significa que el Las mediciones de prueba se pueden extrapolar directamente al rendimiento con cargas más altas correspondientes a la clasificación. niveles.

#### 8.8.3—Pruebas de carga de prueba

##### 8.8.3.1—Introducción

Las pruebas de carga de prueba proporcionan una alternativa a Calcular analíticamente la capacidad de carga de un puente. A La prueba de resistencia "demuestra" la capacidad del puente para soportar su carga muerta completa más algo de carga viva "magnificada". Un mayor carga que la carga viva que se espera que soporte el puente es colocado en el puente. Esto se hace para proporcionar un margen de seguridad en caso de sobrecarga ocasional durante el funcionamiento normal del puente.

Las cargas de prueba proporcionan un límite inferior a la verdad. capacidad de resistencia de los componentes y por lo tanto conduce a una límite inferior de la capacidad de carga. Un satisfactorio La prueba de carga de prueba generalmente proporciona una mayor confianza en la capacidad de carga que una capacidad calculada.

8.8.3.2—Aproximación

Durante una prueba de carga de prueba, las cargas deben ser incrementada y la respuesta se mide hasta alcanzar el nivel deseado. se alcance la carga o hasta que se detenga la prueba por razones citado a continuación. Las cargas también deben trasladarse a diferentes posiciones para verificar adecuadamente todos los componentes de la ruta de carga. Al retirar la carga, la estructura debe volver a ser inspeccionado para ver que no se hayan producido daños y que no hay movimientos residuales ni angustia.

Por lo general, las cargas se aplican en pasos para que la La respuesta del puente bajo cada incremento de carga puede ser Se monitorea el comportamiento lineal-elástico y para limitar la angustia. debido a grietas u otros daños físicos. La carga de prueba La prueba generalmente finaliza cuando cualquiera de las siguientes ocurre:

- 1. La carga viva deseada más el margen apropiado de se alcanza la seguridad.
- 2. La respuesta del puente muestra el inicio de una respuesta no lineal. comportamiento u otros signos visibles de angustia, como patrones de hebilla que aparecen en zonas compresivas en acero o grietas en el hormigón.

Las cargas de prueba deben proporcionar tanto la clasificación vehículos, incluido el margen de carga dinámica, y un factor de carga para los márgenes de seguridad requeridos. La carga factor puede ser como se describe en el Artículo 8.8.3.3 o como especificado por la Agencia Bridge.

8.8.3.3—Cargas de prueba objetivo

8.8.3.3.1—Selección del factor de carga viva objetivo

C8.8.3.3.1

Xp representa el factor de carga viva objetivo (aplicado a la carga de prueba) necesaria para llevar el puente a un factor de clasificación de 1,0. Si la prueba alcanza con seguridad este nivel de carga, es decir la calificación legal más la asignación de impacto magnificada por la factor Xp, entonces el factor de calificación es 1,0. La carga de prueba de prueba Los factores están calibrados para proporcionar los mismos objetivos de seguridad. implícito en las clasificaciones calculadas utilizando procedimientos de clasificación de factores de carga y resistencia. Sólo la carga viva es factorizado durante la prueba de prueba. La carga muerta se supone ser el valor medio.

También se pueden garantizar cargas de prueba más altas para incorporar habilitaciones para vehículos con permiso, y en este Por ejemplo, el vehículo de carga permitida más carga dinámica. La asignación debe ampliarse en Xp.

Varias condiciones del sitio pueden tener una influencia en la Capacidad de carga. Estos factores se incluyen aquí haciendo ajustes a Xp para tener en cuenta tales condiciones. Cada uno de estas cantidades de ajuste se presentan a continuación. Después de XPA (el Xp ajustado) , este valor se multiplica por la carga nominal más el margen de carga dinámica para obtener la Magnitud de la carga de prueba que se necesita para alcanzar una calificación. factor de 1,0.

Una prueba de prueba proporciona información sobre la capacidad del puente, incluido el efecto de carga muerta, la carga viva distribuciones y fortalezas de los componentes. Sin embargo, otros Durante el ensayo no se miden las incertidumbres, en particular la posibilidad de sobrecargas del puente durante el funcionamiento normal, así como el margen de impacto. Estas incertidumbres restantes deben considerarse en establecer una carga de prueba objetivo.



El valor base recomendado para  $X_p$  antes de aplicar cualquier ajuste es 1,40. Este valor fue calibrado para dar la misma confiabilidad general que el nivel inherente a la capacidad de carga calculada. El factor 1,40 en directo Las cargas pueden reducirse si el propósito de la prueba es únicamente para verificar una clasificación para una carga permitida. En este caso el correspondientes factores de carga permitidos dados en Se debe utilizar la Tabla A6.4.5.4.2.1-1.

Para resistencia basada en prueba:

$$R_{LFD} = 1,40 \left( \frac{P}{A} \right) \quad (8.8.3.3.1-1)$$

Para resistencia basada en cálculo:

$$R_{LFD} = \frac{P}{A} \left( \frac{1}{N} \right) \quad (8.8.3.3.1-2)$$

Los niveles de confiabilidad asociados con las Ecs. 1 y 2 son equivalentes porque el valor de resistencia obtenido de una La prueba de prueba es más confiable que la obtenida únicamente por métodos analíticos.

Los siguientes son algunos de los ajustes a  $X_p$  que debe considerarse al seleccionar una prueba de carga viva magnitud para lograr un factor de calificación de 1,0, como se indica en la Tabla 1. Cualquiera de estos ajustes puede ignorarse, sin embargo, si las políticas de publicación y permisos de la agencia ya incluyen provisiones para estos factores.

1. Para la mayoría de las situaciones, el factor de carga viva se aplica a un Prueba con cargas en dos carriles. Si la carga de un carril controla la respuesta, entonces aumente  $X_p$  en un 15 por ciento. Este aumento es consistente con las estadísticas de sobrecarga generadas para las Especificaciones de diseño de puentes AASHTO LRFD.
2. Para vanos con detalles críticos para la fractura, el factor de carga viva  $X_p$  se incrementará en un diez por ciento para elevar el nivel de confiabilidad a un nivel más seguro. Se deberá considerar un aumento similar en la carga de prueba para cualquier estructura sin trayectorias de carga redundantes.
3. Aumentar  $X_p$  en un diez por ciento para estructuras en malas condiciones (Código NBI 4 o menos) para tener en cuenta el aumento de incertidumbres en la resistencia y el deterioro futuro. Se puede tomar una reducción del cinco por ciento en la carga de prueba si se realiza una inspección en profundidad.
4. Si la estructura es tasable, es decir, no existen detalles ocultos, y si el factor de calificación calculado excede 1,0,  $X_p$  se puede reducir en un cinco por ciento. La prueba en este caso se realiza para confirmar los cálculos.
5. Se garantiza la reducción de la carga de prueba para puentes con intensidad de tráfico reducida.

Tabla 8.8.3.3.1-1—Ajustes a  $X_p$ 

Consideración	Ajuste +15%
Controles de carga de un carril	+10%
Estructura no redundante	+10%
Detalles críticos para la fractura	
Puentes presentes en malas condiciones	+10%
Inspección en profundidad realizada	-5%
Tasable, existente RF $\geq$	-5%
	-10%
1,0 ADTT $\leq$ 1000 ADTT $\leq$ 100	-15%

Los ajustes descritos anteriormente deben ser considerados como valores mínimos; valores mayores pueden ser seleccionado por el Ingeniero según lo considere apropiado.

#### 8.8.3.3.2—Aplicación del factor de carga viva objetivo, $X_{pA}$

La aplicación de los ajustes recomendados anteriormente conduce al factor de carga viva objetivo  $X_{pA}$ . El aumento porcentual neto en  $X_p$  ( $\Sigma$  por ciento) se encuentra sumando los valores apropiados ajustes indicados anteriormente. Entonces:

$$X_{pA} = X_p \left( 1 + \frac{\Sigma \%}{100} \right) \quad (8.8.3.3.2-1)$$

La carga de prueba objetivo LT es entonces:

$$L_T = L + P_A R \left( 1 - \frac{1}{R} \right) \quad (8.8.3.3.2-2)$$

dónde:

$L_R$  = carga viva no factorizada comparable debido a la calificación del vehículo para los carriles cargados

IM = tolerancia de carga dinámica

$X_{pA}$  = factor de carga viva ajustado objetivo

En ningún caso se debe aplicar una carga de prueba que no envuelva el vehículo de calificación más carga dinámica prestación. Para puentes de varios carriles, un mínimo de dos los carriles deben cargarse simultáneamente.

$X_{pA}$  no debe ser inferior a 1,3 ni superior a 2,2.

La carga de prueba objetivo LT debe colocarse en el puente por etapas, con la respuesta del puente a la Las cargas aplicadas se controlan cuidadosamente. La carga de la primera etapa no debe exceder los 0,25 LT y la carga de la segunda etapa no debe exceder los 0,5 LT. Incrementos más pequeños de carga entre etapas de carga puede estar justificado, particularmente cuando la carga de prueba aplicada se aproxima a la carga objetivo.

## 8.8.3.3.3—Capacidad de carga y clasificación

## C8.8.3.3.3

Al concluir la prueba de carga de prueba, el valor real La carga viva máxima de prueba  $L_p$  aplicada al puente es conocido. La capacidad del nivel operativo OP se encuentra de la siguiente manera:

$$OP = \frac{k_l O_p}{X_p A} \quad (8.8.3.3-1)$$

dónde:

$X_p A$  = factor de carga viva objetivo resultante de la ajustes descritos en el Artículo 8.8.3.3.2

$kO$  = factor que toma en consideración cómo

La prueba de carga de prueba finalizó y se encontró de la Tabla 1

Tabla 8.8.3.3.3-1—Valores de  $kO$

Terminado	$kO$
Carga objetivo alcanzada	1.00
Nivel de angustia alcanzado	0.88

Si la prueba finaliza antes de alcanzar el objetivo carga, la carga  $L_p$  que se utilizará en la ecuación. 1 debería ser la carga justo antes de alcanzar la carga que causa la angustia que dio lugar a la terminación de la prueba.

El factor de calificación en el nivel operativo  $RFO$  es:

$$RF = \frac{OP}{L_p + 1} \quad (8.8.3.3-2)$$

La capacidad operativa, en toneladas, es el factor de calificación. veces el peso nominal del vehículo en toneladas.

#### 8.9—USO DE LOS RESULTADOS DE LA PRUEBA DE CARGA EN LAS DECISIONES DE PERMISO

Las pruebas de carga pueden usarse para predecir la capacidad de carga para fines de revisar las cargas permitidas especiales que excedan los niveles legales normales. Estas pruebas deben realizarse utilizando un patrón de carga similar a los efectos del permiso vehículo. Se debe dar especial consideración en el Interpretación de las pruebas y revisión del permiso. cargar cálculos a lo siguiente:

1. ¿Se permitirá otro tráfico en el puente cuando la carga permitida cruce la estructura?
2. ¿La trayectoria de carga del vehículo que cruza el puente será  
¿Se puede saber de antemano y se puede asegurar?
3. ¿Se controlará la velocidad del vehículo para limitar  
impacto dinámico?
4. ¿Será inspeccionado el puente después del movimiento para  
¿Asegurar que el puente sea estructuralmente sólido?

Si se observan signos de peligro antes de alcanzar la carga de prueba objetivo y se debe detener la prueba, entonces la carga viva de prueba máxima real debe

reducirse en un 12 por ciento mediante el factor  $kO$ . Esta reducción es consistente con observaciones que muestran que

Las propiedades nominales del material utilizadas en los cálculos suelen estar un 12 por ciento por debajo de las propiedades del material observadas en las pruebas.

## APÉNDICE A8—PROCEDIMIENTOS GENERALES DE PRUEBA DE CARGA

## A8.1—GENERALES

Los pasos necesarios para la clasificación de carga de puentes mediante pruebas de carga incluyen los siguientes:

Paso 1. Inspección y capacidad de carga teórica.

Paso 2. Desarrollo del programa de prueba de carga.

Paso 3. Planificación y preparación para la prueba de carga.

Paso 4. Ejecución de la prueba de carga.

Paso 5. Evaluación de los resultados de las pruebas de carga.

Paso 6. Determinación de la capacidad de carga final

Paso 7. Informes

## A8.2—PASO 1: INSPECCIÓN Y CLASIFICACIÓN DE CARGA TEÓRICA

Antes de las pruebas de carga, se debe realizar una evaluación exhaustiva de la condición física del puente mediante una inspección de campo, seguida de una clasificación de carga teórica (cuando sea posible) de acuerdo con los procedimientos descritos en la Sección 6. Estos son necesarios para su uso como la condición base para planificar y realizar la prueba de carga y para garantizar la seguridad del puente bajo la carga de prueba. En esta etapa, se debe determinar si las pruebas de carga son una alternativa factible para establecer la capacidad de carga del puente.

El modelo analítico desarrollado para la clasificación teórica también se utilizará para establecer la carga de prueba objetivo requerida, predecir la respuesta del puente a la carga de prueba, evaluar los resultados de la prueba de carga y establecer la clasificación de carga final para el puente. El procedimiento para interpretar los resultados de las pruebas debe determinarse antes de comenzar las pruebas, de modo que se pueda disponer la instrumentación para proporcionar los datos relevantes.

## A8.3—PASO 2: DESARROLLO DEL PROGRAMA DE PRUEBA DE CARGA

Se debe preparar un programa de prueba antes de comenzar con una prueba de carga y debe incluir los objetivos de la prueba, el tipo de prueba(s) a realizar y los criterios relacionados. La elección del método de prueba de carga o de diagnóstico depende de varios factores, incluido el tipo de puente, la disponibilidad del diseño y los detalles de construcción, la condición del puente, los resultados de la inspección y calificación preliminar, la disponibilidad de equipos y fondos, el nivel de riesgo involucrado, y objetivos de la prueba.

## A8.4—PASO 3: PLANIFICACIÓN Y PREPARACIÓN PARA LA PRUEBA DE CARGA

Se requiere una planificación y preparación cuidadosas de las actividades de prueba para garantizar que se cumplan los objetivos de la prueba. En esta etapa, se identifican los efectos de la carga a medir, se selecciona la instrumentación, se establecen los requisitos del personal y se definen las cargas de prueba, todo ello teniendo en cuenta las consideraciones de seguridad. La magnitud, configuración y posición de la carga de prueba se seleccionan según el tipo de puente y el tipo de prueba a realizar.

## A8.5—PASO 4: EJECUCIÓN DE LA PRUEBA DE CARGA

El primer paso en la ejecución de una prueba de carga es instalar y verificar la instrumentación, lo que normalmente podría hacerse sin cerrar el puente al tráfico. Luego se puede realizar la prueba de carga real, preferiblemente con el puente cerrado al tráfico de vehículos y peatones. Las cargas deben aplicarse en varios incrementos mientras se observa el comportamiento estructural. Se deben tomar medidas de deformaciones, desplazamientos y rotaciones al inicio de la prueba de carga del puente y al final de cada incremento. Para garantizar que se obtengan datos precisos y confiables durante la prueba, es importante evaluar la respuesta del puente a posiciones de carga repetidas y tener en cuenta las variaciones de temperatura durante la prueba de carga. Se debe monitorear la respuesta de carga-deformación y la recuperación de la deflexión en ubicaciones críticas para determinar el inicio del comportamiento no lineal. Una vez que se observe cualquier falta de linealidad, el puente debe descargarse inmediatamente y registrarse la recuperación de la deflexión.

**A8.6—PASO 5: EVALUACIÓN DE LOS RESULTADOS DE LA PRUEBA DE CARGA**

Al finalizar la prueba de carga en campo y antes de utilizar los resultados de la prueba de carga para establecer una clasificación de carga para el puente, se debe considerar la confiabilidad de los resultados de la prueba de carga al evaluar la aceptabilidad general de los resultados de la prueba. Es importante comprender cualquier diferencia entre los efectos de la carga medidos y los predichos por la teoría.

Esta evaluación generalmente se realiza en la oficina después de completar la prueba de carga.

**A8.7—PASO 6: DETERMINACIÓN DE LA CLASIFICACIÓN DE CARGA FINAL**

La determinación de una clasificación de carga revisada basada en pruebas de campo debe realizarse de acuerdo con el Artículo 8.8.2 para Pruebas de diagnóstico y el Artículo 8.8.3 para Pruebas de prueba. La clasificación establecida debe ser consistente con el comportamiento estructural observado durante la prueba de carga y el buen juicio de ingeniería, y también debe considerar factores que no pueden determinarse mediante pruebas de carga, pero que se sabe que influyen en la seguridad del puente.

**A8.8—PASO 7: INFORMES**

Se debe preparar un informe completo que describa los resultados de las investigaciones y pruebas de campo, la descripción de las cargas de prueba y los procedimientos de prueba, los tipos y la ubicación de la instrumentación, la clasificación teórica y los cálculos de la clasificación de carga final. El informe debe incluir la evaluación final del puente de acuerdo con los resultados de la prueba de carga y los cálculos de calificación, y también puede contener recomendaciones para acciones correctivas.

## APÉNDICE A: EJEMPLOS ILUSTRATIVOS

## TABLA DE CONTENIDO

Ejemplo	Resumen del puente			Calificación en vivo Cargas	Estados límite para la evaluación	Clasificación Métodos	Página
	Durar	Tipo	Miembros calificados				
A1	Luz simple 65 pies	Acero compuesto Puente larguero (Interiores y Largueros exteriores)	Interiores y Larguero exterior	Diseño	fuerza y/o Servicio II  Fatiga	LRFR  ASR y LFR	A-1  A-39
				Legal	fuerza y/o Servicio II		
				Permiso	Fuerza II Servicio II		
A2	Luz simple 26 pies	Reforzado Viga en T de hormigón  Puente	Viga Interior	Diseño	fuerza y/o	LRFR  ASR y LFR	A-53  A-71
				Legal	fuerza y/o		
				Permiso	Fuerza II Servicio y/o		
A3	Luz simple 80 pies	Pretensado Viga en I de hormigón  Puente	viga interior	Diseño	fuerza y/o Servicio III	LRFR	A-87
				Permiso	Fuerza II Servicio y/o		
A4	Luz simple 17 pies 10 pulg.	Larguero de madera  Puente	Larguero interior	Diseño	fuerza y/o	LRFR  ASR y LFR	A-121  A-129
				Legal	fuerza y/o		
A5	Cuatro tramos Continuo 112 pies 140 pies 140 pies 112 pies	Placa de acero soldada  Puente de vigas	viga interior	Diseño	fuerza y/o Servicio II	LRFR	A-137
				Legal			
				Permiso	Fuerza II		
A6	Luz única 175 pies	Acero a través de Pratt  Puente de armadura	acorde superior, acorde inferior,  Diagonal, Vertical	Diseño	fuerza y/o	LRFR	A-165
A7	Luz simple 21 pies 6 pulg.	Reforzado Forjado  Puente	Interiores y  Tiras exteriores	Diseño	fuerza y/o	LRFR	A-181
				Legal	fuerza y/o		
A8	Luz simple 94 pies 81 1/4 pulg.	Acero de dos vigas  Puente	Intermedio viga de piso y viga principal	Diseño	fuerza y/o Servicio II	LRFR	A-189
A9	Luz simple 70 pies	Pretensado Concreto adyacente Puente de vigas de caja	Viga Interior	Diseño	fuerza y/o Servicio III	LRFR	A-213
				Permiso	Fuerza II Servicio y/o		



## APÉNDICE A:

## EJEMPLOS ILUSTRATIVOS

## A1—PUENTE DE VARCA DE ACERO COMPUESTO DE TRAMO SIMPLE

## PARTE A—MÉTODO DE CLASIFICACIÓN DEL FACTOR DE CARGA Y RESISTENCIA

## A1A.1—Evaluación de un larguero interior

## A1A.1.1—Datos del puente

Durar: 65  
 Año de construcción: pies 1964  
 Material: Acero A36  
 $F_y = 36 \text{ ksi}$   
 $c = 3 \text{ ksi}$   
 Condición: Sin deterioro (Ítem NBI 59 = 7)  
 El miembro está en buenas condiciones.  
 Superficie de Desviaciones superficiales menores (verificadas y documentadas en campo)  
 conducción: ADTT (una 1000  
 dirección): Inclinación: 0° Información  
 adicional: Diafragmas espaciados a 16 pies 3 pulgadas.

## A1A.1.2—Propiedades de la sección

En la construcción no apuntalada, el larguero de acero no compuesto debe soportar su propio peso más el peso de la losa de concreto. Para la sección mixta, el hormigón se transforma en un área equivalente de acero dividiendo el área de la losa por la relación modular. La carga viva más las tensiones de impacto son soportadas por la sección compuesta utilizando una relación modular de  $n$ . Para tener en cuenta el efecto de la fluencia, la sección compuesta soporta tensiones de carga muerta superpuestas utilizando una relación modular de  $3n$  (Diseño LRFD 6.10.1.1.b). En este análisis se utilizan las propiedades de la sección construida ya que no hay deterioro.

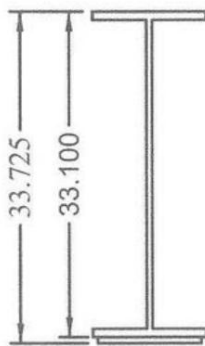
## A1A.1.2.1—Propiedades de la sección no compuesta

Las propiedades de la sección de las formas laminadas están sujetas a cambios con los cambios en las prácticas de laminación de la industria del acero. Identifique los componentes de acero a partir de los registros disponibles, la fecha de construcción y las mediciones de campo. Las propiedades de la sección de esta viga se determinaron a partir del Manual AISC de Construcción en Acero, Sexta Edición, impreso durante el período de julio de 1963 a marzo de 1967, que es consistente con la fecha del "Año de Construcción" de este puente.

$W 33 \times 130 \text{ tf}$   
 $= 0,855 \text{ pulg. bf} =$   
 $11,51 \text{ pulg. tw} = 0,58$   
 $\text{pulg.}$   
 $A = 38,26 \text{ pulg.}^2 \text{ I} =$   
 $6699 \text{ pulg.}^4$

$PL \frac{5}{8} \text{ pulg.} \times 10 \frac{1}{2} \text{ pulg.}$   
 $t = 0,625 \text{ pulg. b}$   
 $= 10,5 \text{ pulg.}$

$A = txb = 6,56 \text{ pulg.}^2$   
 $I \sim 0 \text{ pulg.}^4 \text{ (insignificante)}$



$$\bar{y} = \frac{\frac{D W 33 \times 130}{2} + \frac{A W (33 \times 130)}{2} + \frac{t_{PL}}{2} (PL PL)}{A W 33 \times 130 + A W (33 \times 130) + PL PL}$$

$$\bar{y} = \frac{(17.175 \times 38.26) + (0.313 \times 6.56)}{38.26 + 6.56} \text{ Distancia a . CG .}$$

$$\bar{y} = 14,71 \text{ pulgadas desde la parte inferior de la sección hasta el centroide}$$

$$I_x = 6699 + 38,26 \times 2,47^2 + 6,56 \times 14,40^2$$

$$I_x = 8293 \text{ pulgadas.}^4$$

$$S_t = \frac{8293}{19,02} = 436,0 \text{ pulgadas.}^3 \text{ Módulo de sección en la parte superior del acero.}$$

$$8293S = b 14,71^3 \text{ Módulo de sección en la parte inferior del acero.}$$





## COMPOSITE STEEL STRINGER BRIDGE

### Example A1

## A1A.1.2.2—Propiedades de la sección compuesta (Diseño LFRD 4.6.2.6.1)

Ancho efectivo de brida, sea

Mínimo de:

i.  $1/4 ( ) L$ ii. 12.0 mayor de: o  $1/2 t_{fb} + w$  f arriba

III. S

$$\begin{aligned}
 & \text{i. } 1/4(65)(12) \text{ ii. } 195 \\
 & (7.25)(12) + 1/2(11.51) \text{ iii. } (7.33) \text{ pulgadas} \\
 & (12) = 92.8 \text{ pulgadas } 88 \text{ pulgadas controles}
 \end{aligned}$$

Relación modular, norte

Diseño LRFD 6.10.1.1.1b

 $f'_c = 3 \text{ ksi}$ Para  $2.9 < f'_c < 3.6$ ,  $n = 9$ 

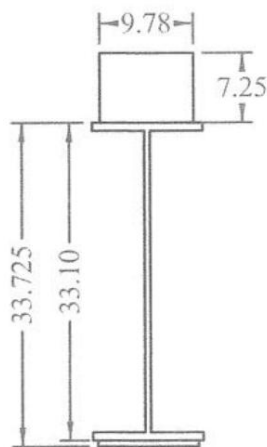
Diseño LRFD C6.10.1.1.1b

Larguero interior típico:

Compuesto de Corto Plazo, (n):

W33 × 130, PL  $5/8$  pulg. × 101  $1/2$  pulg. y Conc. 71  $1/4$  pulg. × 88 pulg.Ancho efectivo de brida,  $b_e = \frac{88}{9} = 9.78 \text{ pulgadas.}$ 

Transformed Slab



$$\bar{y} = \frac{(17.175)(38.26) + (0.313)(6.56) + \left(\frac{88}{9}\right)(7.25)(37.35)}{38.26 + 6.56 + \left(\frac{88}{9}\right)(7.25)}$$

 $\bar{y} = 28.58$  pulgadas desde la parte inferior de la sección hasta el centroide

$$\begin{aligned}
 y_o^2 = & (38.26)(11.40)^2 + (6.56)(28.27)^2 \\
 & + \left(\frac{88}{9}\right)(7.25)^3 + \left(\frac{88}{9}\right)(7.25)(8.77)^2
 \end{aligned}$$

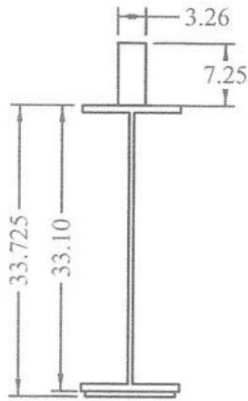
$$y_o^4 = 22677 \text{ pulgadas.}^4$$

$$S_t = \frac{22677}{5.14} = 4412 \text{ pulgadas.}^3$$

Módulo de sección en la parte superior del acero.

$$S_b = \frac{22677}{28.58} = 793 \text{ pulgadas.}^3$$

Módulo de sección en la parte inferior del acero.



Compuesto de largo plazo, 3n:

W33 x 130, PL  $\frac{5}{8}$  pulg. x 10  $\frac{1}{2}$  pulg. y Conc. 7  $\frac{1}{4}$  pulg. x 88 pulg.

Ancho efectivo de brida, ser =  $\left( \frac{88}{3.9} \right) = 3.26$  pulgadas.

$$\bar{y} = \frac{(17,175 \times 38,26 \times 0,313 \times 6,56 \times 27 + x) - (7,25 \times 37,35)}{38,26 \times 6,56 + 7,25 \times \frac{88}{27}}$$

$\bar{y} = 22,52$  pulgadas desde la parte inferior de la sección hasta el centroide

$$Y_Q = + 6699 \times 38,26 \times 5,34 \times \left( \frac{88}{27} \right)^2 + (6,56 \times 22,21)^2 + \frac{\left( \frac{88}{27} \times 7,25 \right)^3}{12} + \frac{88 \times 7,25}{27} \times (14,83)^2$$

$Y_Q = 4 \ 16326$  pulgadas.

$$S_t = \frac{16326}{11,20} = 1458 \text{ pulg.}^3$$

Módulo de sección en la parte superior del acero.

$$S_b = \frac{16326}{22,52} = 725 \text{ pulg.}^3$$

Módulo de sección en la parte inferior del acero.

A1A.1.2.3—Resumen de las propiedades de la sección en el centro del tramo

A1A.1.2.3a—Sección de acero únicamente

PARADA = 436 pulg.<sup>3</sup>

SBOT = 563,7 pulg.<sup>3</sup>

A1A.1.2.3b—Sección compuesta—Corto plazo, n = 9

STOPacero = 4412 pulg.<sup>3</sup>

SBOT = 793 pulg.<sup>3</sup>

A1A.1.2.3c—Sección compuesta—Largo plazo, 3n = 27

STOPacero = 1458 pulg.<sup>3</sup>

SBOT = 725 pulg.<sup>3</sup>

## A1A.1.3—Análisis de carga muerta—Larguero interior

## A1A.1.3.1—Componentes y accesorios, CC

En general, los accesorios pueden incluir placas de conexión, refuerzos, diafragmas, refuerzos y otros componentes diversos. Un cálculo de calificación refinado tiene en cuenta los principales componentes del peso; alternatively, se puede utilizar un porcentaje del peso del larguero como estimación. Para este ejemplo, se tuvieron en cuenta tres diafragmas interiores y se ignoraron los diafragmas de los extremos que están directamente sobre los soportes al estimar las cargas de luz uniformes.

## A1A.1.3.1a—Cargas muertas no compuestas, DC1

$$\text{Cubierta: } (7,33 \text{ pies}) \left( \frac{7,25 \text{ pulgadas}}{12} \right) (0,150 \text{ kcf}) = 0,664 \text{ kip/pie}$$

$$\text{Larguero: } (0,130 \text{ kip/pie}) (1,06) = 0,138 \text{ kip/pie}$$

(aumento del seis por ciento para conexiones)

Placa de cubierta:

$$\frac{(0,625 \text{ pulg.}) (10,5 \text{ pulg.}) \left( \frac{0,490 \text{ kcf}}{144} \right) (1,06) (38 \text{ pies})}{65 \text{ pies}} = 0,014 \text{ kip/pie}$$

$$\text{Diafragmas: } \frac{(1,06) (3) (0,0427 \text{ kip/pie } 7,33 \text{ pies})}{65 \text{ pies}} = 0,015 \text{ kip/pie}$$

$$\text{Total por larguero} = 0,831 \text{ kip/pie}$$

$$\text{CDM} = \frac{0,831 (65)^2}{8} = 439 \text{ kip-pies en el medio del tramo}$$

$$V_{cc} = 0,831 \frac{65}{2} = 27 \text{ kips en rumbo}$$

## A1A.1.3.1b—Cargas muertas compuestas, DC2

Todas las cargas permanentes sobre el tablero se distribuyen uniformemente entre las vigas.

Diseño LRFD 4.6.2.2.1

El peso unitario del hormigón armado generalmente se considera 0,005 kcf mayor que el peso unitario del hormigón simple, por lo que para estimar las cargas del hormigón se supuso 0,150 kcf.

Diseño LRFD C3.5.1

$$\text{Frenar: } (1 \text{ pie}) \left( \frac{10 \text{ pulg. } 42 \text{ tornillos}}{12} \right) (0,150 \text{ kcf}) = 0,062 \text{ kip/pie}$$

Parapeto:

$$\left( \frac{6 \text{ pulg. } 19 \text{ pulg. } 18 \text{ pulg. } 12 \text{ pulg.}}{144} + \frac{0,150 \text{ kcf}}{144} \right) (2 \text{ parapetos}) = 0,172 \text{ kip/pie}$$

$$\text{Suponga } 0,020 \text{ kip/pie} \quad 4 \text{ vigas} \quad \frac{2 \text{ tornillos}}{4} = 0,010 \text{ kip/pie}$$

$$\text{Total por larguero} = 0,244 \text{ kip/pie}$$

$$CDM = \frac{0.244 \cdot 65}{8} = 129 \text{ kip-pies en el medio del tramo}$$

$$VCC2 = 0.244 \cdot \frac{65}{2} = 8 \text{ kips en rumbo}$$

### A1.1.3.2—Superficie de desgaste

$$DW = 0$$

### A1A.1.4—Análisis de carga viva—Larguero interior (Tabla de diseño LRFD 4.6.2.2.1-1)

#### A1A.1.4.1—Calcular los factores de distribución de carga viva (sección transversal tipo (a))

Parámetro de rigidez longitudinal, kg

Diseño LRFD 4.6.2.2.1

$$K_g = \frac{1}{2} \left( \frac{A_e}{I} \right)$$

Diseño LRFD

Ec. 4.6.2.2.1-1

$$\text{en el cual } m_B = \frac{m_B}{m_B}$$

Diseño LRFD

Ec. 4.6.2.2.1-2

$$f_c = 33000 \text{ E wf c } \sqrt{c}$$

Diseño LRFD

Ec. 5.4.2.4-1

$$= 33000 \cdot 0.145 \cdot 1.5 \sqrt{3}$$

$$= 3155.9 \text{ ksi}$$

$$m_B = 29000 \text{ ksi}$$

Haz + Cov. PL

$$I = 8293 \text{ pulg.}^4$$

$$A = 44.82 \text{ pulg.}^2$$

por ejemplo =  $\frac{1}{2} (7.25) + 19.02 = 22.65$  pulgadas.

$$\text{kilogramos} = \frac{29000}{3155.9} \times (8293 \cdot 44.82 \cdot 22.65^2)$$

$$\text{kg} = 287498 \text{ pulg.}^4$$

#### A1A.1.4.1a—Factor de distribución del momento, gm (Tabla de diseño LRFD 4.6.2.2.2b-1)

$$\frac{k}{12.0 \text{ litros}_s^3} = \frac{287498}{12 \cdot 65.725^3} = 0.967$$

Un carril cargado:

$$\begin{aligned}
 g_{m1} &= 0,06 + \frac{S}{14}^{0,4} \frac{S}{l}^{0,3} \frac{k}{3 \cdot 12,0}^{0,1} \\
 &= 0,06 + \frac{7,33}{14 \cdot 65}^{0,4} \frac{7,33}{7,33}^{0,3} (0,967)^{0,1} \\
 &= 0,460
 \end{aligned}$$

Dos o más carriles cargados:

$$\begin{aligned}
 g_{m2} &= 0,075 + \frac{S}{9,5}^{0,6} \frac{SK}{l}^{0,2} \frac{1}{3 \cdot 12,0}^{0,1} \\
 &= \frac{0,075 + \frac{7,33}{9,5 \cdot 65}^{0,6} \frac{7,33}{7,33}^{0,2}}{(0,967)^{0,1}} \\
 &= 0,626 > 0,460 \\
 \text{uso} &= g_{m2} = 0,626
 \end{aligned}$$

A1A.1.4.1b—Factor de distribución de corte, gv (Diseño LRFD 4.6.2.2.3a)

Un carril cargado:

$$\begin{aligned}
 g_{m1} &= 0,36 + \frac{S}{25,0} \\
 &= 0,36 + \frac{7,33}{25,0} \\
 &= 0,653
 \end{aligned}$$

Diseño LRFD

Tabla 4.6.2.2.3a-1

Dos o más carriles cargados:

$$\begin{aligned}
 g_{m2} &= 0,2 + \frac{SS}{35}^{2,0} \\
 &= 0,2 + \frac{7,33}{12} + \frac{7,33}{35}^{0,2} \\
 &= 0,767 > 0,653 \\
 \text{uso} &= g_{m2} = 0,767
 \end{aligned}$$

Diseño LRFD

Tabla 4.6.2.2.3a-1

A1A.1.4.2—Calcular los efectos máximos de la carga viva

A1A.1.4.2a—Momento de carga viva de diseño máximo (HL-93) en la mitad del tramo

Se estima que los efectos de momento máximo ocurrirán con la carga viva de diseño. centrado en el tramo. Calcular momentos por estática.

$$\text{Momento de carga del carril de diseño} = \frac{wl^2}{8} = \frac{0.640 \text{ klf } (65 \text{ pies})^2}{8} = 338 \text{ kip-pie}$$

Design Truck Moment con el eje central ubicado en el medio del tramo:

$$\begin{aligned} \text{Momento del camión de diseño} &= \frac{APL \times b}{4} + \left( \frac{8 \times 32}{65 \text{ pies}} \right) \times 32 \text{ pies} \\ &= \frac{32 \text{ k} \times 32 \text{ pies}}{4} + \left( \frac{8 \times 32 \times 32 \text{ pies}}{65 \text{ pies}} \right) \times 18,5 \text{ pies} \end{aligned}$$

Momento de diseño del camión = 890 kip-pies

Momento de los ejes tándem con ejes tándem ubicados equidistantes del centro del tramo:

$$\text{k Momento de los ejes en tándem} = 2 \times 30,5 \text{ pies} = 762,5 \text{ kip-pie} \quad P_a = \times$$

IM = 33%

Tabla de diseño  
LRFD 3.6.2.1-1

$$\text{MLL IM+} = 338 + 890 \times 1,33$$

$$= 1521,7 \text{ kip-pie}$$

A1A.1.4.2b—Corte de carga viva de diseño máximo en los extremos de la viga

Los efectos de corte máximos ocurren con el eje más pesado ubicado para crear el máximo finalizar la reacción. Calcular cortantes por estática.

$$\text{Corte de carga del carril de diseño} = \frac{w}{2} = \frac{0.640 \text{ klf } (65 \text{ pies})}{2} = 20,8 \text{ kips}$$

$$\begin{aligned} \text{Cizalla para camión de diseño} &= PP + \frac{32 \times 32}{65 \text{ pies}} + \frac{8 \times 65 \text{ pies}}{65 \text{ pies}} \\ &= 32 \text{ k} + \frac{32 \times 32}{65 \text{ pies}} + \frac{65 \text{ pies} \times 14 \text{ pies}}{65 \text{ pies}} + \frac{65 \text{ pies} \times 28 \text{ pies}}{65 \text{ pies}} \end{aligned}$$

$$\text{Cizalla para camión de diseño} = 61,7 \text{ kips} \quad \text{Gobierna}$$

$$\text{Cizalla de ejes en tándem} = PP + \frac{25 \times 25}{65 \text{ pies}} + \frac{25 \times 65 \text{ pies}}{65 \text{ pies}} = 48,5 \text{ kips}$$

$$\text{VLL IM+} = 20,8 \text{ kips} + 61,7 \text{ kips} \times 1,33$$

$$= 102,9 \text{ kips}$$

A1A.1.4.2c—Momentos y cortes de carga viva distribuidos

Diseño de carga viva HL-93:

$$\text{MLL IM+} = 1521,7 \times \text{gramos}$$

$$= 1521,7 \times 0,626$$

$$= 952,6 \text{ kip-pie}$$

$$\begin{aligned}
 V_{LL\ IM+} &= 102,9 \times g_v \\
 &= 102,9 \times 0,767 \\
 &= 78,9 \text{ kips}
 \end{aligned}$$

A1A.1.5—Calcular la resistencia nominal de la sección en la mitad del tramo

Localice el PNA de eje neutro de plástico:

$$t_f = 0,855 \text{ pulg.}$$

$$t_w = 0,58 \text{ pulg.}$$

$$b_f = 11,51 \text{ pulgadas.}$$

Cov. AP del área de PL

$$= 6,56 \text{ pulgadas}^2$$

$$(PL \text{ } \frac{5}{8} \text{ pulg.} \times 101 \frac{1}{2} \text{ pulg.})$$

Profundidad de la red:

$$D = 33,10 \text{ pulg.} - 2 (0,855 \text{ pulg.})$$

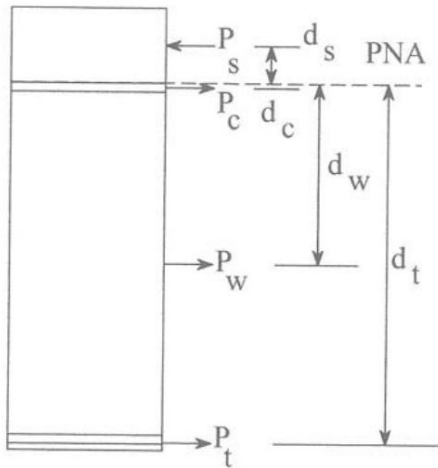
$$= 31,39 \text{ pulgadas.}$$

Trate la brida inferior y la placa de cubierta como un solo elemento.

$$E_n = (2 \cdot 11,51 \cdot 0,855 + 10,5 \cdot 0,625) \cdot 6,40 \text{ pulg.}^2$$

$$y = \frac{(11,51 \cdot 0,855 \cdot \frac{0,855}{2}) + (10,5 \cdot 0,625 \cdot 0,855) + \frac{0,625}{2}}{(11,51 \cdot 0,855) + (10,5 \cdot 0,625)}$$

$$= 0,724 \text{ pulg. (desde la parte superior de la brida de tensión hasta el centroide de la brida y la placa de cubierta)}$$



Fuerzas plásticas

Diseño LRFD Apéndice D6.1

Tenga en cuenta que las fuerzas en el refuerzo longitudinal pueden ser conservadoras. descuidado.

Establecer  $P_{rb}$  y  $P_{rt} = 0$

$$\begin{aligned}
 S_{al} &= 0,85 \cdot f_{leff} \cdot S_s \\
 &= 0,85 \times 3,0 \times 88 \times 7,25 \\
 &= 1626,9 \text{ kips}
 \end{aligned}$$

$$\frac{C_{rb}}{t_s} = \frac{\quad}{7,25}$$

donde  $c_{rb}$  es la distancia desde la parte superior de la losa de concreto hasta el centro de la capa inferior del refuerzo longitudinal de la plataforma de concreto y  $t_s$  es el espesor de la plataforma de concreto. Suponga que cubierta +  $\frac{1}{2}$  barra diámetro = 2 pulgadas, entonces  $c_{rb}$  es igual a 5,25 pulgadas.



$$P_c = F_y A_c \text{ donde } A_c = b f f$$

$$= 36 \times 11,51 \times 0,855$$

$$= 354,3 \text{ kips}$$

$$P_w = F_y D t w$$

$$D = 33,10 - 2 \times 8,55 = 31,39$$

$$= 36 \times 31,39 \times 0,58$$

$$= 655,4 \text{ kips}$$

$$P_t = F_y A_t \text{ donde } A_t = b f f + A_p$$

$$= 36(11,51 \times 0,855 + 6,56)$$

$$= 590,4 \text{ kips}$$

$$P_{\text{los}} = 590,4 + 655,4 + 354,3 + 1.600,1 = 3.199,8 \text{ kips}$$

$$\frac{c_{rb}}{t_s} P_{\text{los}} = \frac{5,25}{7,25} \times 3.199,8 = 2.266,9 \text{ kips}$$

$$P_{\text{cwt}} = \frac{c_{rb}}{t_s} P_{\text{los}} = \frac{5,25}{7,25} \times 3.199,8 = 2.266,9 \text{ kips}$$

$$1600,1 + 1.178,1$$

La PNA reposa en la losa; sólo se requiere una porción de la losa (profundidad =  $y$ ) para equilibrar las fuerzas plásticas en la viga de acero.

$$y_t = \frac{P_{\text{los}} - P_{\text{cwt}}}{P_{\text{los}} + P_{\text{cwt}}} \times \frac{P_{\text{los}} + P_{\text{cwt}}}{2}$$

Diseño LRFD

Apéndice D6.1

$$y = \left( \frac{7,25}{1626,9} \right) \frac{1600,1}{2}$$

$y = 7,13$  pulgadas desde la parte superior de la losa de la plataforma de concreto

A1A.1.5.1—Clasificar sección (Diseño LRFD 6.10.7 y Figura C6.4.5-1)

Siguiendo las secciones en I en el diagrama de flujo de flexión positiva  
(La sección se considera de profundidad constante)

A1A.1.5.1a: Verifique la esbeltez del alma (Diseño LRFD 6.10.6.2.2)

Dado que el PNA está en la losa, el requisito de esbeltez del alma se satisface automáticamente.

Para secciones compuestas en flexión positiva, los criterios de estabilidad restantes se satisfacen automáticamente. La sección es compacta.

A1A.1.5.1b—Verificar el requisito de ductilidad (Diseño LRFD 6.10.7.1.2)

$$D_{y_{\text{req}}} = 7,13 \text{ pulgadas}$$

$$D_t = \text{Profundidad de la sección compuesta}$$

$$= 33,725 + 7,25$$

$$= 40,98 \text{ pulgadas}$$

$$\text{Si } M_{\text{entonces}} \leq DD =$$

Diseño LRFD

Ec. 6.10.7.1.2-1

$$\text{De lo contrario, } MM = 1,07 \cdot 0,7 \frac{D}{D_t}$$

Diseño LRFD

Ec. 6.10.7.1.2-2

$$0,1 D_t = 0,1 \cdot 40,98 \cdot 4,098 \text{ pulg.}$$

$$7,13 \text{ pulgadas.} \leq 4,098 \text{ pulg., por lo tanto, calcule } Mn < \text{METRO}$$

A1A.1.5.2—Momento plástico,  $M_p$ 

Armas de momento sobre la PNA:

$$\begin{aligned} \text{Brida de compresión: } CC &= \left( t_s Y - \frac{c}{2} \right) \\ &= \left( 7,25 \cdot 7,13 - \frac{0,855}{2} \right) \\ &= 0,55 \text{ pulgadas.} \end{aligned}$$

$$\begin{aligned} dw &= \left( t_s Y - \frac{c}{2} \right) \frac{D}{2} \\ &= \left( 7,25 \cdot 7,13 - \frac{0,855}{2} \right) \frac{31,39}{2} \\ &= 16,67 \text{ pulgadas.} \end{aligned}$$

$$\begin{aligned} \text{Brida de tensión: } dt &= \left( t_s Y + \frac{c}{2} \right) \\ &= \left( 7,25 \cdot 7,13 + \frac{0,855}{2} \right) \cdot 31,39 \cdot 0,724 \end{aligned}$$

(0,724 pulgadas es la distancia al centroide del ala inferior y la placa de cubierta desde la parte superior del ala)

$$= 33,09 \text{ pulgadas.}$$

El momento plástico  $M_p$  es la suma de los momentos de las fuerzas plásticas con respecto al PNA.

$$M_p = \frac{Y_P^2}{2 t_s} + P_r d_r + P_b d_b + P_n + P_{cc} d_{cc} + P_d + P_d t$$

Mesa de diseño LRFD D6.1-1

$$= \frac{7,13 \cdot 1626,9}{2 \cdot 7,25} + 0 + 0 + 354,3 \cdot 0,55 + 655,4 \cdot 16,67 + 590,4 \cdot 33,09$$

$$= 36361 \text{ entradas. o } 3030 \text{ kip-pie}$$

A1A.1.5.3—Resistencia nominal a la flexión,  $M_n$  (Diseño LRFD 6.10.7.1.2)

$$D_p \leq 0,1 D_t$$

Ec. de diseño LRFD. 6.10.7.1.2-1

$$\text{Por lo tanto, } MM = 1,07 \cdot 0,7 D \frac{D}{t}$$

Ec. de diseño LRFD. 6.10.7.1.2-2

Esfuerzo de flexión lateral de la brida:  $f = 0$ .

A1A.1.5.4—Resistencia nominal al corte,  $V_n$  (Diseño LRFD 6.10.9.2)

W33 × 130 Sección laminada, sin refuerzos.

Profundidad del alma libre de filete = 29,75 pulg.

Profundidad total: 2 (espesores de brida) = 31,39 pulg.

Si  $\frac{D}{t_w} \leq 1,3 \sqrt{\frac{E_k}{F_{yw}}}$  para alma no rigidizada, luego  $C = 1,0$

$\frac{D}{t_w} = \frac{29,75}{0,580} = 51,3$

$1,12 \sqrt{\frac{E_k}{F_{yw}}} = 1,12 \sqrt{\frac{29000 \times 5}{36}}$  Ec. de diseño LRFD. 6.10.9.3.2-4

$51,3 \leq 1,12 \sqrt{\frac{E_k}{F_{yw}}}$  por lo tanto  $C = 1,0$

entonces:

$V_n = \phi V_c$  Ec. de diseño LRFD. 6.10.9.2-1

donde  $0,58 \sqrt{F_y} \leq \phi$  Ec. de diseño LRFD. 6.10.9.2-2

$= 1,0 \times 0,58 \times 36 \times 29,75 \times 0,580$

$= 360,3 \text{ kips}$

A1A.1.5.5—Resumen para larguero interior

	Carga muerta DC1	Carga muerta DC2	Carga en vivo Distribución Factor	Dist. Carga Viva + Impacto	Capacidad nominal
Momento, kip-pie	439,0	129,0	gramos =	952,6	2873,0
cizalla, kips	27,0	8,0	0,626 gv = 0,767	78,9	360,3

A1A.1.6—Ecuación general de clasificación de carga

$RF = \frac{C_{LL} \left( \frac{W_{LL}}{W_{DC1}} \right) - \gamma_{DW} (DW) + \gamma_{LL} (LL) + \gamma_{IM} (IM)}{\left( \frac{W_{LL}}{W_{DC1}} \right) + \gamma_{LL} (LL) + \gamma_{IM} (IM)}$  Ec. de diseño LRFD. 6A.4.2.1.-1

A1A.1.7—Factores de evaluación (para estados límite de resistencia)

1. Factor de resistencia,  $\phi$   $\phi = 1,0$  para flexión y corte Diseño LRFD 6.5.4.2

2. Factor de condición,  $\phi_c$   $\phi_c = 1,0$  El miembro está en buenas condiciones. NBI Artículo 59 = 7. 6A.4.2.3

3. Factor del sistema,  $\phi_s$  6A.4.2.4



## A1A.1.8.2—Estado límite de servicio II (6A.6.4.1)

Capacidad  $C = fR$ 

$$RF = \frac{F_{RC} + (F_{LL} + F_{IM})}{(F_{LL} + F_{IM})} \quad \text{Ec. 6A.6.4.2.1-1}$$

Para este ejemplo, los términos:

$$(F_{DW} + F_{FR}) \pm \gamma$$

no contribuyen y la ecuación general se reduce a:

$$RF = \frac{F_{RC} + (F_{LL} + F_{IM})}{(F_{LL} + F_{IM})}$$

## A1A.1.8.2a—Nivel de inventario

Esfuerzo de brida permitido para brida de tensión  $fR = 0,95R_h F_y f$  ( $f = 0$ )Ec. de diseño  
LRFD. 6.10.4.2.2-2

Comprobación del ala traccionada, ya que las alas comprimidas normalmente no rigen para secciones compuestas.

 $R_h = 1,0$  para secciones no híbridas

Diseño LRFD 6.10.1.10.1

$$f_r = 0,95 \times 1,0 \times 36$$

$$= 34,2 \text{ ksi}$$

$$f_d = f_{c1} + f_{c2}$$

$$= \frac{439 \times 12}{563,7} + \frac{129 \times 12}{725}$$

$$= 9,35 + 2,14 = 11,49 \text{ ksi}$$

$$F_L + I_M = \frac{952,6 \times 12}{793} = 14,42 \text{ kilos}$$

$$\gamma_{LL} = 1,30 \quad \gamma_{CC} = 1,0$$

Tabla 6A.4.2.2-1

$$= 1,21$$

$$FR = \frac{34,2 + (1,21 \times 11,49)}{(1,30 \times 14,42)}$$

## A1A.1.8.2b—Nivel operativo

$$\gamma_{LL} = 1,0 \quad \gamma_{CC} = 1,0$$

Tabla 6A.4.2.2-1

$$FR = \frac{34,2 + (1,0 \times 11,49)}{(1,0 \times 14,42)}$$

$$= 1,57$$

## A1A.1.8.3—Estado de fatiga (6A.6.4.1)

Determine si el puente tiene algún detalle propenso a la fatiga (Categoría C o inferior).

El detalle de las soldaduras transversales que conectan los extremos de las placas de cubierta con la brida son detalles propensos a la fatiga. La categoría E' se detalla porque el espesor del ala = 0,855 pulg. es mayor que 0,8 pulg.

Tabla de diseño  
LRFD 6.6.1.2.3-1

Si  $2R_s(\Delta f)_{tensión} > f_{compresión}$  por carga muerta, el detalle puede ser propenso a fatigarse.

fcompresión de carga

7.2.3

muerta = 0 en la placa de cubierta en todas las ubicaciones porque la viga es un tramo simple y la placa de cubierta es ubicado en la zona de tensión

debe considerar la fatiga; calcular RF para carga de fatiga para una vida infinita.

$$FR = \frac{F_{RC} \psi_C (F)}{((\psi \Delta F_{LLIM} + )_{\text{máximo}})}$$

$$fR = (\Delta F)_{TH}$$

$$\psi_{LL} = 0,75 \quad \psi_{CC} = 0,00$$

Tabla 6A.4.2.2-1

Propiedades de sección compuesta sin placa de cubierta.

$$\bar{y} = \frac{\sum A y}{\sum A} = \frac{(38,26)(16,55) + (9,88)(7,25)}{(38,26) + (9,88)}$$

= 29,65 pulgadas desde la parte inferior de la brida

$$I_x = \frac{6699 (38,26)^2}{12} + \frac{9,88 (7,25)^3}{12} + \frac{9,88 (7,25)(107)^2}{12}$$

= 17119 pulg.<sup>4</sup>

$$S_b = \frac{17119}{29,65} = 577 \text{ pulgadas}^3$$

Carga viva en el corte de la placa de cubierta (13,5 pies desde la línea central del rodamiento)

Carga de Fatiga: Diseño de camión con espaciado de 30 pies entre ejes de 32 kip.

LRFD 3.6.1.4.1 y  
LRFD Figura 3.6.1.2.2-1

$$MLL = (32 \text{ kips})(10,69 \text{ pies}) + (32 \text{ kips})(4,46 \text{ pies}) + (8 \text{ kips})(1,56 \text{ pies})$$

$$= 497 \text{ kip-pie} = 5967 \text{ kip-pulg.}$$

Utilizar líneas de influencia.

$$IM = 15\%$$

Diseño LRFD  
Tabla 3.6.2.1-1

$$MLL + IM = (1,15)(5967) = 6862 \text{ kip-in.}$$

## A1A.1.8.3a—Distribución de carga por fatiga

Diseño LRFD 3.6.1.4.3b

Para la fatiga se utilizará el factor de distribución de un solo carril.

Diseño LRFD 3.6.1.1.2

Eliminar el factor de presencia múltiple de la distribución de un solo carril.

Diseño LRFD C3.6.1.1.2

$$g_{\text{Fatiga}} = \frac{1}{1.2} (mg)^1$$

$$= \frac{1}{1.2} (0,46)$$

$$= 0,383$$

Momento de carga dinámica distribuida:

$$g_{\text{MLL}} + \text{IM} = (0,383) (6862)$$

$$= 2628 \text{ entradas.}$$

Rango de tensión de carga de fatiga:

$$\Delta f_{\text{LL}} + \text{IM} = \frac{2628}{577}$$

$$= 4,56 \text{ ksi en la soldadura de la placa de cubierta}$$

Resistencia nominal a la fatiga para una vida infinita.

$$(\Delta F)_{\text{TH}} = 2,6 \text{ ksi para la categoría de detalle E'}$$

Tabla de diseño  
LRFD 6.6.1.2.5-3

Control de fatiga de vida infinita:

7.2.4

Rsa = 1,0 rango de tensión mediante análisis simplificado

Tabla 7.2.2.1-1

Rst = 1,0 peso del camión según las especificaciones de diseño de LRFD

$$R_s = R_{sa} \times R_{st} = 1,0$$

$$\Delta f_{\text{eff}} = (R_s) (R_{sa}) (R_{st}) (f_{\text{LL}} + \text{IM}) = (1,0) (1,0) (1,0) (4,56) = 4,56 \text{ ksi}$$

$$(\Delta f_{\text{LL}} + \text{IM})_{\text{máx}}$$

7.2.4

$$= (2,0) (\Delta f_{\text{eff}}) = 2,0 (3,42) = 6,84 \text{ ksi}$$

$$FR = \frac{(\Delta F)_{\text{TH}}}{(\Delta F_{\text{LL IM}})_{\text{máximo}}}$$

$$= \frac{2,6}{6,84} = 0,38 \leq 1,0$$

El detalle no posee una vida de fatiga infinita según los nuevos estándares de puentes LRFD.

Evalúe la vida de fatiga restante utilizando los procedimientos indicados en la Sección 7 de este Manual.

## A1A.1.8.3b—Cálculo de la vida de fatiga restante

Determinación de vida finita:

$$Y = \frac{RR}{365 n \left( \frac{ADTT}{SL} \right) f \left( \frac{\Delta}{\Delta_{eff}} \right)^3} \quad 7.2.5.1$$

ADTT (una dirección) = 1000

$$ADTT_{SL} = 0,85 (1000) = 850$$

Diseño LRFD  
Tabla 3.6.1.4.2-1

Utilizando una tasa de crecimiento del dos por ciento y una edad de 43 años (2007-1964)

Figura C7.2.5.1-1

Multiplicador ADTT = 1,02

$$ADTT_{SL} \text{ promedio de vida} = (1.02) (850) 867$$

Para la vida de evaluación de Categoría E':

$$RR = 1,6$$

Tabla 7.2.5.2-1

$$A = 3,9 \times 10^8 \text{ ksi}^3$$

Tabla LRFD 6.6.1.2.5-1

norte = 1,0 vigas de luz simple con L &gt; 40 pies

Tabla LRFD 6.6.1.2.5-2

$$Y = \frac{1,3 \cdot 3,9 \cdot 10^8}{365 \left( \frac{867}{1,02} \right) \left( \frac{3,42}{1,02} \right)^3}$$

$$= 40 \text{ años}$$

$$\text{Vida restante} = Y - \text{edad actual} = 40 \text{ años} - 43 \text{ años}$$

$$= -3 \text{ años, se ha superado la vida restante aceptable}$$

Cuando la vida de fatiga restante es inaceptable, las estrategias para mejorar la fatiga restante incluyen la aceptación de un mayor riesgo, una evaluación refinada a través de datos más precisos o una modernización.

7.2.7

## A1A.1.9—Clasificación de carga legal

6A.6.4.2

Nota: La clasificación de carga de diseño del inventario produjo factores de clasificación superiores a 1,0 (con excepción de fatiga). Esto indica que el puente tiene capacidad de carga adecuada para transportar todas las cargas legales dentro de los límites de exclusión de LRFD y no necesitan estar sujetos a clasificaciones de carga legales. Los cálculos de clasificación de carga que siguen se han realizado con fines ilustrativos. Cortar Las calificaciones no se han ilustrado.

Apéndice A6A

Carga viva: Cargas legales AASHTO: tipo 3, 3S2, 3-3 (tasa para los tres)

$$GM = 0,626$$

IM = 20 % La carga dinámica estándar permitida del 33 por ciento se reduce según en una evaluación de campo verificando que la aproximación y el paseo por el puente las superficies tienen sólo desviaciones o depresiones superficiales menores.

Tabla C6A.4.4.3-1



La siguiente tabla compara la interpolación para determinar el MLL sin impacto para un tramo de 65 pies con valores exactos determinados por la estática. Tenga en cuenta que para el Tipo 3-3, la interpolación de MLL da como resultado un valor que es un 1,5 por ciento mayor que el valor real. Se debe ejercer el juicio si interpolar valores tabulados.

Cuadro A-6A. 5-1

	Tipo 3	Tipo 3S2	Tipo 3-3	
MLL interpolado	660,7	707.2	654,5	kip-pies
estática de MLL	660,77	707.03	644,68	kip-pies
gMLL + IM	496,3	531.2	484.3	kip-pies

Carga viva: Cargas legales AASHTO—Unidades de transporte especializadas y carga nominal nominal—SU4, SU5, SU6, SU7 y NRL

Se utilizarán valores interpolados para las unidades de transporte especializadas en este ejemplo para con fines ilustrativos y para familiarizar al lector con las tablas del Apéndice.

Tabla E6A-2

Interpolando para determinar MLL sin impacto para un tramo de 65 pies

	SU4	SU5	SU6	SU7 NRL		
MLL interpolado	744,7	821.2	913.5	994.1	1037.0	kip-pies
gMLL + IM	559,4	616,9	686,2	746,8	779.0	kip-pies

A1A.1.9.1—Estado límite de resistencia I

6A.6.4.2.1

Para tipos 3, 3S2 y 3-3

Carga muerta CC:  $\gamma_{CC} = 1,25$

Tabla 6A.4.2.2-1

TDA = 1000

Factor de carga viva generalizado para cargas legales,  $\gamma_{LL} = 1,65$

Tabla 6A.4.4.2.3a-1

Flexión: RF = 
$$\frac{(1,6)(1,0)(0,2873)(1,25)(439)(1,29)}{1,65 \text{ MLL IM} +}$$

	Tipo 3	Tipo 3S2	Tipo 3-3
RF	2,64	2,46	2,71

Para unidades de transporte especializadas y NRL

Carga muerta CC:  $\gamma_{CC} = 1,25$

Tabla 6A.4.2.2-1

TDA = 1000 Ficticio

Factor de carga viva generalizado para cargas legales  $\gamma_{LL} = 1,40$

Cuadro 6A.4.4.2.3b-1

Flexión: RF = 
$$\frac{(1,6)(1,0)(0,2873)(1,25)(439)(1,29)}{1,40 \text{ MLL IM} +}$$

	SU4	SU5	SU6	SU7 NRL	
RF	2.76	2.50	2.25	2.07	1,98

A1A.1.9.2—Estado límite de servicio II

6A.6.4.2.2

Para Tipos 3, 3S2 y 3-3, y para Unidades de Transporte Especializadas y NRL

$\gamma_{LL} = 1,3$                        $\gamma_D = 1,0$

Tabla 6A.4.2.2-1

$f_r = 34,2 \text{ ksi}$

$$f_d = f_{cc} + \frac{439 \times 12 + 129 \times 12}{563,7} = 11,49 \text{ kilos}$$

$$F_L + IM = \frac{M_{LL} \times 12}{+ 793}$$

$$F_R = \frac{34,2 + 11,49}{1,3 + F_L + IM}$$

	Tipo 3	Tipo 3S2	Tipo 3-3	
F <sub>L</sub> + IM	7.51	8.04	7.33	ksi
R <sub>F</sub>	2.33	2.17	2.38	

	SU4	SU5	SU6	SU7	NRL	
F <sub>L</sub> + IM	8.47	9.34	10.38	11.30	11.79	ksi
R <sub>F</sub>	2.06	1.87	1.68	1.55	1.48	

No se requiere publicación ya que  $R_F > 1.0$ .

A1A.1.9.3—Resumen

Camión	Tipo 3	Tipo 3S2	Tipo 3-3
Peso (toneladas)	25	36	40
R <sub>F</sub> (Servicio II Controlador)	2.33	2.17	2.38
Carga segura	58	78	95
Capacidad (toneladas)			

Camión	SU4	SU5	SU6	SU7	NRL
Peso (toneladas)	27	31	34,8	38,8	40
R <sub>F</sub> (Servicio II Controlador)	2.06	1.87	1.68	1.55	1.48
Carga segura	55	58	58	60	59
Capacidad (toneladas)					

La clasificación NRL demuestra el Artículo C6A.4.4.2.1b: "Los puentes que califican para la carga NRL tendrán una capacidad de carga adecuada para todas las configuraciones legales de camiones de Fórmula B hasta 80 kips".

El ejemplo A1 muestra que esto se cumple  $NRL\ R_F > 1$  y todos los  $SU\ R_F > 1$ , mientras que el ejemplo A2 muestra cuando  $NRL\ R_F < 1$ , el  $R_F$  para las  $SU$  puede o no ser  $>1$  y debe verificarse en un de manera individual.

A1A.1.10—Clasificación de carga permitida

6A.6.4.2

Tipo de permiso: Especial (Viaje Único, Acompañado)

Peso permitido: 220 kips

Vehículo con permiso: Se muestra en la Figura 1

ADTT (una dirección): 1000

Del análisis de carga viva por programa informático:

Máximo no distribuido MLL = 2127,9 kip-pie

Máximo no distribuido VLL = 143,5 kips

A1A.1.10.1—Estado límite de resistencia II

6A.6.4.2.1

 $\gamma_{LL} = 1,15$  (viaje sencillo, acompañado)

Tabla 6A.4.5.4.2a-1

Utilice el factor de distribución de un carril y divida el factor de presencia múltiple de 1,2.

6A.4.5.4.2b

$$g_{m1} = \frac{0,46}{1,2} = 0,383$$

$$g_{v1} = \frac{0,653}{1,2} = 0,544$$

IM = 20% (sin control de velocidad, desviaciones menores de la superficie)

6A.4.5.5

Efectos de carga dinámica distribuidos:

$$MLL + \text{energía instantánea} = (2127,9) (0,383) (1,20)$$

$$= 978,0 \text{ kip-pie}$$

$$VLL + \text{energía instantánea} = (143,5) (0,544) (1,20)$$

$$= 93,7 \text{ kips}$$

$$\text{Flexión: RF} = \frac{(1)(0)(0)(0,2873)(1,25)(4)(1)(25)(1,29) - (1,15)(978,0)}{(1,15)(93,7)}$$

$$= 1,92 > 1,0 \text{ OK}$$

$$\text{Cortar: FR} = \frac{(1)(0)(0)(0,360,3) - 1,25(7,8 + )}{(1,15)(93,7)}$$

$$= 2,94 > 1,0 \text{ OK}$$

A1A.1.10.2—Estado límite de servicio II (opcional)

6A.6.4.2.2

$$FR = \frac{f_{RD}}{\gamma_I (f_{LL IM})}$$

IM = 20% (sin control de velocidad, desviaciones menores de la superficie)

$$\gamma_L = 1,0$$

$$\gamma_D = 1,0$$

Tabla 6A.4.2.2-1

$$f_R = 34,2 \text{ ksi}$$

$$f_D = 11,49 \text{ ksi}$$

Se calculan los efectos de la carga viva para la calificación del permiso de Servicio II de vehículos que se mezclan con el tráfico. utilizando los métodos de análisis de distribución LRFD. Esta verificación se basa en prácticas anteriores y no utilizar la distribución de un carril con factores de carga permitidos que han sido calibrados para el Calificación de permiso de fuerza II. Para permisos con escolta, se puede utilizar un factor de distribución de un carril ya que el permiso cruza el puente sin que se permitan otros vehículos en el puente al mismo tiempo.

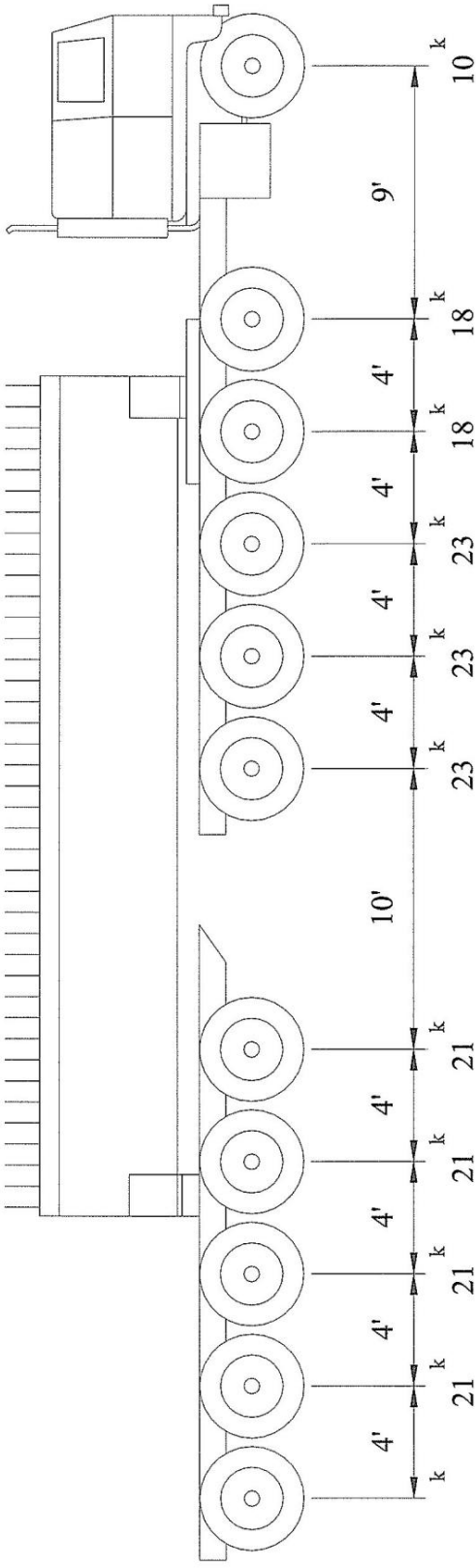
C6A.6.4.2.2

$$GM = 0,383 \text{ (se ha dividido } m = 1,2)$$

$$MLL + IM = (2127,9) (0,383) (1,2) = 978,0 \text{ kip-pie.} = 11736 \text{ entradas.}$$

$$FL + IM = \frac{\frac{MLL + IM}{S_b}}{793} = \frac{11736}{793} = 14,8 \text{ ksi}$$

$$FR = \frac{34,2 + 1,0 \left( \frac{11,49}{1,0} \right)}{1,0 + 14,8} = 1,53$$



## A1A.2—Evaluación de un larguero exterior

Se aplican los mismos datos del puente que para los largueros interiores.

## A1A.2.1—Propiedades de la sección

## A1A.2.1.1—Propiedades de la sección no compuesta

A 33×130 y PL  $\frac{3}{4}$  pulg. × 10  $\frac{1}{2}$  pulg.

Las propiedades de la sección de esta viga se determinaron a partir del Manual AISC de Construcción en Acero, Sexta Edición, impreso durante el período de julio de 1963 a marzo de 1967, que es consistente con la fecha del "Año de Construcción" de este puente.

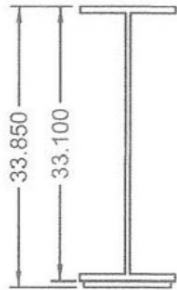
W 33 × 130 tf  
= 0,855 pulg. bf =  
11,51 pulg. tw = 0,58  
pulg.  
A = 38,26 pulg.<sup>2</sup> I =  
6699 pulg.<sup>4</sup>

PL  $\frac{3}{4}$  pulg. × 10  $\frac{1}{2}$  pulg.

t = 0,750 pulg. b  
= 10,5

A = t × b = 7,875 pulgadas<sup>2</sup>

I ~ 0 pulg.<sup>4</sup> (insignificante)



$$\bar{y} = \frac{(17,30 \times 38,26) + (0,375 \times 7,875)}{38,26 + 7,875} \text{ Distancia al CG}$$

$\bar{y} = 14,41$  pulgadas desde la parte inferior de la sección hasta el centroide

$$I_x = 6699 + 38,26 \times (14,41)^2 + 7,875 \times (14,04)^2$$

$$I_x = 8570,9 \text{ pulgadas}^4$$

$$S_x = \frac{8570,9}{19,44} = 440,8 \text{ pulgadas}^3$$

Módulo de sección en la parte superior del acero.

$$S_x = \frac{8570,9}{14,41} = 594,7 \text{ pulgadas}^3$$

Módulo de sección en la parte inferior del acero.

## A1A.2.1.2—Propiedades de la sección compuesta

No se sabe que la barrera sea estructuralmente continua.

Ancho efectivo de brida, sea

Diseño LRFD 4.6.2.6.1

$$\frac{1}{2} \text{ Interior} + \frac{1}{m} \text{ mínimo de } :$$

$$i. \frac{1}{8} l$$

$$ii. 6.0t_s + \text{mayor de: } \frac{4t_w}{2} \text{ o } \frac{1}{4} b_{\text{top}}$$

III. Sobresalir

$$i. \quad \frac{1}{8} (6)(12) = 97,5 \text{ pulgadas.}$$

$$ii. \quad (6)(7,25) + \frac{1}{4} (11,51) = 46,4 \text{ pulg.}$$

III. Sobresalir = controles de 12 pulgadas

1 Ancho efectivo de brida  $b = \frac{1}{2} (88 \text{ pulg.}) = 44 \text{ pulg.}$

Relación modular, norte

Diseño LRFD 6.10.1.1.1b

$$f_c = 3 \text{ ksi}$$

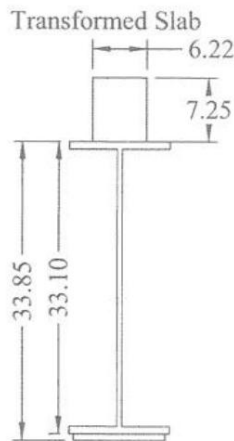
Para  $2,9 < f'_c < 3,6$ ,  $n = 9$

Diseño LRFD  
C6.10.1.1.1b

Compuesto de Corto Plazo, n:

A 33 × 130, PL  $\frac{3}{4}$  pulg. × 101  $\frac{1}{2}$  pulg. y Conc. 71/4 pulg. × 56 pulg.

$$\frac{56}{9} = 6,22 \text{ pulgadas.}$$



$$\bar{y} = \frac{(17,30)(6,26) + (0,375)(875) + \left(\frac{56}{9}\right)(7,25)(4,475)}{(38,26)(7,875) + \frac{56}{9}(7,25)}$$

$\bar{y} = 25,81$  pulgadas desde la parte inferior de la sección hasta el centroide

$$I_x = 6699(38,26)(8,5)^2 + (7,875)(4,43)^2 + \frac{56}{9}(7,25)^3 + \frac{56}{9}(7,25)(1,66)^2$$

$$I_x = 20893 \text{ pulg.}^4$$

$$S_{an} = \frac{20893}{8,04} = 2599 \text{ pulg.}^3$$

Módulo de sección en la parte superior del acero.

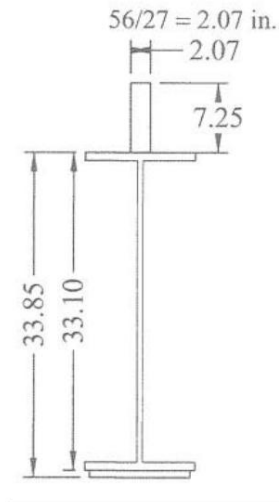
$$S_b = \frac{20893}{25,81} = 809 \text{ pulgadas.}^3$$

Módulo de sección en la parte inferior del acero.

Compuesto de largo plazo, 3n:

$$3n = 3 \times 9 = 27$$

A 33 × 130, PL  $\frac{3}{4}$  pulg. × 101  $\frac{1}{2}$  pulg. y Conc. 71/4 pulg. × 56 pulg.



$$\bar{y} = \frac{(17,30)(8,26)(0,375) + \left(\frac{56}{27}\right)(7,25)(37,475)}{7,875 + \frac{56}{27} \cdot 7,25}$$

$\bar{y} = 20,08$  pulgadas desde la parte inferior de la sección hasta el centroide

$$I_x = \frac{(17,30)(8,26)(0,375)^3}{12} + (17,30)(8,26)(2,71)^2 + \frac{\left(\frac{56}{27}\right)(7,25)^3}{12} + \left(\frac{56}{27}\right)(7,25)(7,39)^2$$

$$I_x = 14664 \text{ pulg.}^4$$

$$S_{an} = \frac{14664}{13,77} = 1065 \text{ pulg.} \quad \text{Módulo de sección en la parte superior del acero.}$$

$$S_b = \frac{14664}{20,08} = 730 \text{ pulg.} \quad \text{Módulo de sección en la parte inferior del acero.}$$

#### A1A.2.1.3—Resumen de las propiedades de la sección en el centro del tramo

##### 1. Sólo sección de acero

$$\text{PARAR} = 440,8 \text{ pulgadas}^3$$

$$\text{SBOT} = 594,7 \text{ pulgadas}^3$$

##### 2. Sección compuesta: corto plazo, $n = 9$

$$\text{PARAR acero} = 2599 \text{ pulgadas}^3$$

$$\text{SBOT} = 809 \text{ pulgadas}^3$$

##### 3. Sección compuesta: largo plazo, $3n = 27$

$$\text{PARAR acero} = 1065 \text{ pulgadas}^3$$

$$\text{SBOT} = 730 \text{ pulg.}^3$$

#### A1A.2.2—Análisis de carga muerta—Larguero exterior

##### A1A.2.2.1—Componentes y accesorios, CC

##### A1A.2.2.1a—Cargas muertas no compuestas, DC1

$$\text{Cubierta: } 1 + \frac{7,33(7,25)}{2} = 0,150 \text{ kip/pie} \quad = 0,423 \text{ kip/pie}$$

$$\text{Larguero: (igual que el interior)} = 0,138 \text{ kip/pie}$$

$$\text{Placa de cubierta: } \frac{0,75 \times 10,5 \text{ pies} \times 0,490 \text{ klf} \times 1,06}{144 \text{ pulgadas}^2/\text{pie}} = 0,017 \text{ kip/pie}$$

$$\text{Diafragmas: } \frac{(3)(0,0427) \left(\frac{7,33}{65 \text{ pies}}\right) (1,06)}{2} = 0,008 \text{ kip/pie}$$

$$\text{Total por larguero} = 0,586 \text{ kip/pie}$$



$$m_{DC1} = \frac{(0.586 \frac{65}{2})}{8} = 309,5 \text{ kip-pies en el centro del tramo}$$

$$V_{DC1} = (0.586 \frac{65}{2}) = 19,0 \text{ kips en el rumbo}$$

A1A.2.2.1b—Cargas muertas compuestas, DC2 (igual que el interior)

$$M_{DC2} = 129 \text{ kip-pie}$$

$$V_{DC2} = 8 \text{ kips}$$

A1A.2.2.2—Superficie de desgaste

$$DW = 0$$

A1A.2.3—Análisis de carga viva—Larguero exterior

A1A.2.3.1—Calcular los factores de distribución de carga viva

A1A.2.3.1a—Factor de distribución del momento, gm (Tabla de diseño LRFD 4.6.2.2d-1)

Un carril cargado:

Regla de la palanca

Para un carril cargado, el factor de presencia múltiple, m = 1,20

Diseño LRFD  
Tabla 3.6.1.1.2-1

Para:

S + de = 7,33 pies + 0 pies < 8 pies una rueda que actúa sobre la viga

$$gm1 = \frac{2 \text{ pies } 7,33 \text{ } 0,2 + \frac{S d 1,2}{2(7,33)}}{2S} = 0,436$$

Dos o más carriles cargados:

$$gm2 = \text{interior} \quad mi = 0,77 \quad 0,77 + \frac{d}{9,1} \frac{m}{m}$$

$$gm2 = (0,77) (0,626) = 0,482 > 0,436$$

A1A.2.3.1b—Factor de distribución de corte, gv (Tabla de diseño LRFD 4.6.2.2.3b-1)

Un carril cargado:

Regla de la palanca

$$gv1 = gm1 = 0,436$$

Dos o más carriles cargados:

$$g = \text{exterior} \quad mi = 0,6 \quad 0,6 + \frac{d}{10} \frac{m}{m}$$

$$gv2 = (0,6) (0,767) = 0,460 > 0,436$$

A1A.2.3.1c—Análisis especial para vigas exteriores con diafragmas o marcos transversales (Diseño LRFD 4.6.2.2d)

Diseño de la vía: dos carriles de 11 pies de ancho

$$R = \frac{X_{e, \text{ort}}}{\sum X^2} + \frac{X_{e, \text{ort}}}{\sum X^2}$$

Ec. LRFD. C4.6.2.2d-1

gespecial = (m) (R)

Un carril cargado:

$$R = \frac{1}{4} + \frac{(11)^6}{4 \cdot 11 \cdot 3.67^2 + 11^2} = 0.495$$

gespecial1 = 1,2 (0,495) = 0,595

Dos carriles cargados:

$$R = \frac{2}{4} + \frac{(11)^5}{3.67^2 + 11^2} = 0.541$$

gespecial2 = 1,0 (0,541) = 0,541

A1A.2.3.1d—Resumen de factores de distribución para las vigas exteriores

momento, mmm

1 carril = 0,436

2 o más carriles = 0,482

Análisis especial (1 carril) = 0,595

Gobierna

Análisis especial (2 carriles) = 0,541

GM = 0,595

cizalla, gv

1 carril = 0,436

2 o más carriles = 0,460

Análisis especial (1 carril) = 0,595

Gobierna

Análisis especial (2 carriles) = 0,541

gv = 0,595

A1A.2.3.2—Calcular los efectos máximos de carga viva para HL-93

Igual que para viga interior

Intervalo medio: MLL + IM = 1521,7 kip-pie

Cojinete: VLL + momento instantáneo = 102,9 kips

## A1A.2.3.2a—Momentos y cortes de carga viva distribuidos

Diseño Carga Viva HL-93

$$\begin{aligned} \text{MLL} + \text{IM} &= 1521,7 \times g &= (1521,7) (0,595) \\ & &= 905,4 \text{ kip-pie} \end{aligned}$$

$$\text{MLL} + \text{mensaje de resistencia} = 102,9 \text{ kips} \times g_v = (102,9) (0,595) = 61,2 \text{ kips}$$

## A1A.2.4—Calcular la resistencia nominal de la sección en la mitad del tramo

Localizar ANP:

$$D = 31,39 \text{ pulgadas.}$$

$$t_f = 0,855 \text{ pulgadas.}$$

$$d_{os} = 0,58 \text{ pulgadas.}$$

$$= 11,51 \text{ pulgadas.}$$

$$\text{novio Cov. PL Ap} = 7,875 \text{ pulgadas}^2$$

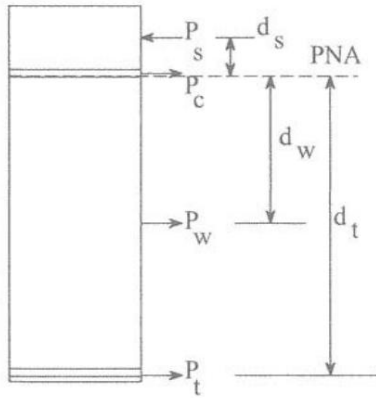
$$(PL^3 / 4 \text{ pulg.} \times 101 / 2 \text{ pulg.})$$

Trate la brida inferior y la placa de cubierta como un solo componente.

$$E_n = (11,51) (0,855) + (10,5) (0,75) = 17,72 \text{ pulg.}^2$$

$$y = \frac{(11,51) (0,855) \left( \frac{0,855}{2} \right) + (10,5) (0,75) \left( \frac{0,75}{2} \right)}{(11,51) (0,855) + (10,5) (0,75)}$$

$$= 0,784 \text{ pulg. (desde la parte superior de la brida de tensión hasta el centroide de la brida y la placa de cubierta)}$$



Fuerzas plásticas

Diseño LRFD  
Artículo D6.1

Tenga en cuenta que las fuerzas en el refuerzo longitudinal pueden despreciarse de manera conservadora.

Establecer  $P_{rb}$  y  $P_{rt} = 0$ 

$$P_s = 0,85 f'_c b_e d_s$$

$$= 0,85 (3,0) (56) (7,25)$$

$$= 1035,3 \text{ kips}$$

$$P_c = F_y b_f t_f$$

$$= (36) (11,51) (0,855)$$

$$= 354,3 \text{ kips}$$

$$P_w = F_y D t_w$$

$$= (36) (31,39) (0,58)$$

$$= 655,4 \text{ kips}$$

$$P_t = F_y (b_{ff} + A_p)$$

$$= 36 (11,51 \times 0,855 + 7,875)$$

$$= 637,8 \text{ kips}$$

 $P_t + P_w < P_c + P_s + P_{rb} + P_{rt}$  No se cumplen las condiciones para el caso I $P_t + P_w + P_c \geq P_s + P_{rb} + P_{rt}$  El PNA se encuentra en el ala superior

$$\bar{Y} = \frac{\frac{P_s}{2} + \frac{P_c}{2} + \frac{P_w}{2} + \frac{P_t}{2}}{\frac{P_s}{2} + \frac{P_c}{2} + \frac{P_w}{2} + \frac{P_t}{2}} = \frac{10,855 + 655,4 + 637,8 + 1035,3}{354,3} = 0,739 \text{ pulg. desde la parte superior de la brida}$$

Diseño LRFD  
Tabla D6.1-1

## A1A.2.4.1—Clasificar sección

Siguiendo las secciones en I en el diagrama de flujo de flexión (la sección se considera de profundidad constante).

Diseño LRFD  
Figura C6.4.5-1

## A1A.2.4.1a—Compruebe la esbeltez del alma

Dado que el PNA está en el ala superior, el requisito de esbeltez del alma se determina automáticamente. satisfecho.

Para secciones compuestas en flexión positiva, los criterios de estabilidad restantes son automáticamente satisfecho. La sección es compacta.

## A1A.2.4.1b—Verificar ductilidad (Diseño LRFD 6.10.7.1.2)

$$D_p = s t Y + \dots = 7,25 + 0,739$$

$$= 7,99 \text{ pulgadas.}$$

$$D_t = \frac{33,85 \times 7,25}{41,1} = 6,11 \text{ pulgadas.}$$

$$\text{Si } \frac{M_u}{M_n} \leq 0,1 \text{ DD} =$$

$$\text{De lo contrario, } \frac{M_u}{M_n} = \frac{D}{D_t} = \frac{1,07}{0,7} = 1,53$$

Diseño LRFD  
Ec. 6.10.7.1.2-1

$$0,1 D_t = 0,141,14,11 \text{ pulg.}$$

Ec. de diseño

LRFD. 6.10.7.1.2-2

7,99 pulgadas.  $\leq 4,11$  pulgadas. por lo tanto calcular  $M_n$   $\leq$  METRO  $_{\text{pag}}$

A1A.2.4.2—Momento plástico,  $M_p$ 

Momento brazos sobre la PNA.

Losa:

$$\begin{aligned} ds &= \frac{\frac{c_{\text{de}}}{2} + Y}{2} \\ &= \frac{7,25}{2} - 0,739 \\ &= 4,36 \text{ pulgadas.} \end{aligned}$$

Web:

$$\begin{aligned} dw &= \frac{D}{2} + -t Y \\ &= \frac{31,39}{2} - 0,855 - 0,739 \\ &= 15,81 \text{ pulgadas.} \end{aligned}$$

Brida de tensión:

$$\begin{aligned} dt &= \frac{c_t}{2} + Y D + 0,784 \\ &= 0,855 - 0,739 + 31,39 + 0,784 \\ &= 32,29 \text{ pulgadas.} \end{aligned}$$

$$\begin{aligned} M_p &= \frac{P_{AG}}{2t_c} \left( Y_t Y_{PC} + P_{dP} \right) P_{dP_{ss}} + r_{t,rt} + r_{b,rb} + w_{wt} + \\ &= \frac{354,3}{(2 \cdot 0,855)} \left( 0,739^2 + (0,855 - 0,739)^2 \right) \\ &\quad + (1,035 \cdot 4,36 \cdot 0,855 + 15,81 \cdot 32,29) + \\ &= 35586 \text{ entradas.} = 2965 \text{ kip-pie} \end{aligned}$$

Diseño LRFD  
Tabla D6.1-1A1A.2.4.3—Resistencia nominal a la flexión,  $M_n$  (Diseño LRFD 6.10.7.1.2)

$$D_p \leq 0,1 D_t$$

Ec. de diseño  
LRFD. 6.10.7.1.2-1

$$\begin{aligned} \text{Por lo tanto, } M_n &= (1,07 - 0,7 D_{\frac{p_{\text{pag}}}{t}}) \\ &= 2965(1,07 - 0,7 \cdot 0,194) \\ &= 2770,0 \text{ kip-pie} \end{aligned}$$

Diseño LRFD  
Ec. 6.10.7.1.2-2A1A.2.4.4—Resistencia nominal al corte,  $V_n$ 

Clasificación y Resistencia igual que para interior.

Vn = 360,3 kips

#### A1A.2.4.5—Resumen para larguero exterior

	Carga muerta DC1	Carga muerta DC2	Carga en vivo Factor de distribución	Dist. Carga Viva + Impacto	Capacidad nominal
Momento kip-ft	309,5	129,0	gramos = 0,595	905.4	2770,0
Kips de corte	19.0	8.0	gramos = 0,595	61.2	360.3

#### A1A.2.5—Ecuación general de clasificación de carga

$$RF = \frac{C - \gamma \left( \frac{M_{DC1}}{M_{LL}} \right) \left( \frac{M_{DC2}}{M_{LL}} \right) \left( \frac{V_{DW}}{V_{LL}} \right) \left( \frac{DW}{LL} \right) \pm \gamma \left( \frac{PAG}{LL} \right)}{\left( \gamma_{LL} \right) \left( LL \right) \left( IM \right)} \quad \text{Ec. 6A.4.2.1-1}$$

#### A1A.2.6—Factores de evaluación (para el estado límite de resistencia)

1. Factor de resistencia,

Diseño LRFD 6.5.4.2

= 1,0 para flexión y corte

Factor de condición, c

6A.4.2.3

El miembro está en buenas condiciones. NBI Artículo 59 = 7.

c = 1,0

Factor del sistema, s

6A.4.2.4

s = 1,0 Puente multivigas.

#### A1A.2.7—Clasificación de carga de diseño (6A.4.3)

##### A1A.2.7.1—Estado límite de resistencia I (6A.6.4.1)

$$RF = \frac{\left( \frac{M_{DC1}}{M_{LL}} \right) \left( \frac{M_{DC2}}{M_{LL}} \right) \left( \frac{V_{DW}}{V_{LL}} \right) \left( \frac{DW}{LL} \right) \pm \left( \frac{PAG}{LL} \right)}{\left( \gamma_{LL} \right) \left( LL \right) \left( IM \right)}$$

##### A1A.2.7.1a—Nivel de inventario

Carga	Factor de carga y
CC 1,25	LL 1,75

Tabla 6A.4.2.2-1

Flexura:

$$FR = \frac{(1,0) \left( \frac{0}{1,75} \right) \left( \frac{0}{1,25} \right) \left( \frac{2770,0}{309,5} \right) \left( \frac{129,0}{129,0} \right) \left( \frac{61,2}{905,4} \right) + \left( \frac{0}{0} \right)}{(1,75) \left( 1,25 \right) \left( 1,0 \right)}$$

= 1,40

Cizalla:

$$FR = \frac{(1,0) \left( \frac{0}{1,75} \right) \left( \frac{0}{1,25} \right) \left( \frac{360,3}{19,0} \right) \left( \frac{8,0}{8,0} \right) \left( \frac{61,2}{61,2} \right) + \left( \frac{0}{0} \right)}{(1,75) \left( 1,25 \right) \left( 1,0 \right)}$$

= 3,05

## A1A.2.7.1b—Nivel operativo

Carga	Factor de carga y
CC 1,25	LL 1,35

Tabla 6A.4.2.2-1

Para el nivel operativo de Fuerza I, solo cambia el factor de carga viva; por lo tanto el factor de calificación se puede calcular mediante proporciones directas.

Flexura:

$$FR = 1,40 \times \frac{1,75}{1,35} = 1,81$$

Cortar:

$$FR = 3,05 \times \frac{1,75}{1,35} = 3,95$$

## A1A.2.7.2—Estado límite de servicio II (6A.6.4.1)

Para Estados Límite de Servicio, Capacidad  $C = fR$

$$FR = \frac{FRD \gamma(\gamma) - F}{(\gamma_{LL IM} + \gamma)}$$

## A1A.2.7.2a—Nivel de inventario

Esfuerzo de brida permitido para brida de tensión:

$$fR = 0,95 R_h F_y f (f \neq 0)$$

Diseño LRFD  
Ec. 6.10.4.2.2-2

La verificación de la brida de tensión como brida de compresión generalmente no rige para compuestos secciones.

$$R_h = 1,0 \text{ para secciones no híbridas}$$

Diseño LRFD 6.10.1.10.1

$$f_r = 0,95 \times 1,0 \times 36 = 34,2 \text{ ksi}$$

$$f_d = f_{c,cc} + f_{t,cc}$$

$$f_d = \left( \frac{309,5 \text{ (2)}}{594,7} \right) + \left( \frac{129 \text{ (2)}}{730} \right) = 6,24 + 2,12 = 8,36 \text{ ksi}$$

$$FL + IM = \left( \frac{905,4 \text{ (2)}}{809} \right) = 13,43 \text{ kilos}$$

$$\gamma_{LL} = 1,30 \quad \gamma_{CC} = 1,0$$

Tabla 6A.4.2.2-1

$$FR = \frac{34,2 + 1,0 + 8,36}{1,3 + 13,43} = 1,48$$

## A1A.2.7.2b—Nivel operativo

$$\gamma_{LL} = 1,0 \quad \gamma_{CC} = 1,0$$

Tabla 6A.4.2.2-1

$$FR = \frac{34,2 + 1,0 + 8,36}{1,0 + 13,43} = 1,92$$

## A1A.2.7.3—Estado límite de fatiga

Los cálculos no se muestran. Ver los cálculos para largueros interiores.

## A1A.2.8—Clasificación de carga legal (6A.6.4.2)

Nota: La verificación de la carga de diseño produjo un factor de calificación superior a 1,0 para el Inventario Clasificación de carga de diseño. Esto indica que el puente tiene capacidad de carga adecuada para transportar todas las cargas legales y no necesitan estar sujetos a clasificaciones de carga para cargas legales. Los cálculos de clasificación de carga que siguen se han realizado con fines ilustrativos. Las clasificaciones de corte no se ilustran.

Carga viva: Cargas legales AASHTO: tipos 3, 3S2 y 3-3 (tasa para los tres)

Apéndice A-6A.4

$g = 0,595$  IM = 20 %

Tabla C6A.4.4.3-1

La carga dinámica estándar permitida del 33 por ciento se reduce según una evaluación de campo. Certificar que las superficies de aproximación y de paso del puente tienen solo desviaciones de superficie menores o depresiones.

	Tipo 3	Tipo 3S2	Tipo 3-3	
MLL	660,7	707,2	644,7	kip-pie
gMLL + IM	471,7	504,9	460,3	kip-pie

Carga viva: Cargas legales AASHTO: unidades de transporte especializadas y carga nominal nominal —SU4, SU5, SU6, SU7 y NRL

Interpolando para determinar MLL sin impacto para un tramo de 65 pies

Tabla E6A-2

	SU4	SU5	SU6	SU7 NRL	994,1	
MLL	744,7	821,2	913,5	1037,0	709,8 740,4	kip-pie
gMLL + IM	531,7	586,3	652,2			kip-pie

## A1A.2.8.1—Estado límite de resistencia I (6A.6.4.2.1)

La carga muerta y la capacidad siguen siendo las mismas

Para tipos 3, 3S2 y 3-3

Carga muerta CC:  $\gamma_{CC} = 1,25$

Tabla 6A.4.2.2-1

TDA = 1000



Factor de carga viva generalizado para cargas legales:

$$\gamma_{LL} = 1,65$$

Tabla 6A.4.4.2.3a-1

Flexura:

$$FR = \frac{(1,6)(0,02770)(1,25)(3)(0,5)(129)}{(1,65)} + \quad )$$

(1,65) MLL IM+

	Tipo 3	Tipo 3S2	Tipo 3-3
RF	2,85	2,66	2,93

Para unidades de transporte especializadas y NRL

Carga muerta CC:  $\gamma_{CC} = 1,25$

Tabla 6A.4.2.2-1

TDA = 1000 Ficticio

Factor de carga viva generalizado para cargas legales  $\gamma_{LL} = 1,40$

Cuadro 6A.4.4.2.3b-1

$$\text{Flexión: RF} = \frac{(1,6)(0,02770)(1,25)(3)(0,5)(129)}{(1,40)} + \quad )$$

(1,40) MLL IM+

	SU4	SU5	SU6	SU7 NRL	
RF	2,85	2,58	2,32	2,13	2,05

#### A1A.2.8.2—Estado límite de servicio II (6A.6.4.2.2)

Para Tipos 3, 3S2 y 3-3, y para Unidades de Transporte Especializadas y NRL

$$\gamma_{LL} = 1,3 \quad \gamma_{CC} = 1,0$$

Tabla 6A.4.2.2-1

$$f_r = 34,2 \text{ ksi}$$

$$f_d = 8,36 \text{ ksi}$$

$$FL + IM = \frac{MLL_{IM+} \times 12}{809}$$

$$\text{Servicio II: RF} = \frac{34,2 + (8,36)}{(1,3)(1,0)} + \quad )$$

(1,3) MLL IM+

	Tipo 3	Tipo 3S2	Tipo 3-3	
FL + IM	7,00	7,49	6,82	ksi
RF	2,84	2,65	2,91	

	SU4	SU5	SU6	SU7 NRL	
FL + IM	7,89	8,70	9,67	10,53	10,98
RF	2,52	2,29	2,05	1,89	1,81

No se requiere publicación como para todas las cargas legales, RF > 1.0.

## A1A.2.8.3—Resumen (6A4.4.4)

Capacidad de carga segura (toneladas),  $RT = RF \times W$ 

Ec. 6A4.4.4-1

Camión	Tipo 3	Tipo 3S2 Tipo 3-3 36 40	
Peso (toneladas)	25		
RF (Control de Servicio II)	2.84	2,65	2.91
Capacidad de carga segura (toneladas)	71	95	116

Camión	SU4	SU5	SU6	SU7 NRL	
Peso (toneladas)	27	31	34,8	38,8	40
RF (Servicio II Controlador)	2,52	2,29	2,05	1,89	1,81
Carga segura	68	70	71	73	72
Capacidad (toneladas)					

## A1A.2.9—Clasificación de carga permitida (6A.6.4.2)

Tipo de permiso: Especial (Viaje Único, Acompañado)

Peso permitido: 220 kips

Vehículo con permiso: se muestra en la Figura A1-2.

AÑADIR: 1000

Del análisis de carga viva por programa informático:

Máximo no distribuido:

MLL = 2127,9 kip-pie

VLL = 143,5 kips

## A1A.2.9.1—Estado límite de resistencia II (6A.6.4.2.1)

La carga muerta y la capacidad siguen siendo las mismas que las calculadas para la clasificación de carga de diseño.

 $\gamma_{LL} = 1,15$ 

Tabla 6A.4.5.4.2a-1

 $\gamma_{CC} = 1,25$ 

Utilice el factor de distribución cargado de un carril y divida el factor de presencia múltiple de 1,2.

6A.4.5.4.2b

 $g_{\text{especial1}} = 0,595$  (Regula el método especial para el comportamiento torsional rígido).

Diseño LRFD 4.6.2.2d

$$g_{m1} = \frac{\gamma_{\text{especial1}}}{\gamma_{\text{gramos}} = 1,2} = 0,496$$

Efectos de carga dinámica distribuidos:

IM = 20% (sin control de velocidad, desviaciones menores de la superficie)

MLL + IM = (2127,9) (0,496) (1,2)

= 1266,5 kip-pie

VLL + momento instantáneo = (143,5) (0,496) (1,2)

= 85,4 kips

$$\text{Flexión: RF} = \frac{(1,0)(1,0)(1,0)(2770)(1,25)(309,5)(129)}{(1,15)(1266,5)} + \dots$$

$$= 1,53 > 1,0 \quad \text{DE ACUERDO}$$

$$\text{Corte: RF} = \frac{(1,0)(1,0)(1,0)(360,3)(1,25)(19,8)}{(1,15)(85,4)} + \dots$$

$$= 3,33 > 1,0 \quad \text{DE ACUERDO}$$

## A1A.2.9.2—Estado límite de servicio II (opcional)

$$\text{FR} = \frac{f_{RD} D}{Y_{LL} (f_{IM} + \dots)}$$

IM = 20% (sin control de velocidad, desviaciones menores)

$$Y_{LL} = 1,0 \quad Y_{CC} = 1,0$$

Tabla 6A.4.2.2-1

La carga muerta y la capacidad expresada en términos de tensiones siguen siendo las mismas que las calculadas para la capacidad de carga de diseño

$$f_r = 34,2 \text{ ksi}$$

$$f_d = 8,36 \text{ ksi}$$

Los efectos de la carga viva para la calificación del permiso de Servicio II de un permiso escoltado se calculan utilizando los mismos procedimientos de carga de un carril que para la calificación de Fuerza II.

C6A.6.4.2.2

$$g_{m1} = 0,496$$

$$\text{MLL} + \text{IM} = (2127,9)(0,496)(1,2) = 1266,5 \text{ kip-pie}$$

$$= 15198 \text{ entradas.}$$

$$\text{FL} + \text{IM} = \frac{\text{METRO LL} \cdot \text{IM}}{S_b} = \frac{15192}{809} = 18,8 \text{ ksi}$$

$$\text{FR} = \frac{34,2(1,0)(8,36)}{1,0(18,8)} = 1,37 > 1,0 \quad \text{DE ACUERDO}$$

123	181	180	302	330	323	304	300	394	100	190	1000	
373												
123											1000	
											1000	
	302	313	325	380	392	303	300	392	181	190	1000	
1000												
1000												

											1000			
1	1	1	1	1	1	1	1	1	1	1	1000	1000	1000	
1.123	1.146	1.120	1.106	1.101	1.101	1.101	1.101	1.101	1.101	1.101	1.101	1.101	1.101	
1.104														
1.105														
1	1	1	1	1	1	1	1	1	1	1	1000	1000	1000	
1	1.104	1.101	1.104	1.101	1.101	1.101	1.101	1.101	1.101	1.101	1.101	1.101	1.101	
											1000			
											1000			



## PARTE B— MÉTODOS DE CLASIFICACIÓN DEL FACTOR DE CARGA Y TENSIÓN PERMITIDA

## A1B.1—EVALUACIÓN DE UNA VARCA INTERIOR

## A1B.1.1—Datos del puente

Consulte el Artículo A1.1 para obtener datos sobre puentes con largueros de acero compuestos de tramo simple.

## A1B.1.2—Propiedades de la sección

En la construcción no apuntalada, el larguero de acero debe soportar su propio peso más el peso de la losa de hormigón. Para la sección mixta, el hormigón se transforma en un área equivalente de acero dividiendo el área de la losa por la relación modular. La carga viva más las tensiones de impacto son soportadas por la sección compuesta utilizando una relación modular de  $n$ . Para tener en cuenta el efecto de la fluencia, la sección compuesta soporta tensiones de carga muerta superpuestas utilizando una relación modular de  $3n$  (AASHTO 10.38.1). En este análisis se utilizan las propiedades de la sección conforme a obra.

## A1B.1.2.1—Propiedades de la sección no compuesta

Las propiedades de la sección de las formas laminadas están sujetas a cambios con los cambios en las prácticas de laminación de la industria del acero. Identifique los componentes de acero a partir de los registros disponibles, la fecha de construcción y las mediciones de campo. Las propiedades de la sección de esta viga se determinaron a partir del Manual AISC de Construcción en Acero, Sexta Edición, impreso durante el período de julio de 1963 a marzo de 1967, que es consistente con la fecha del "Año de Construcción" de este puente.

W 33 × 130 y PL tf =  $\frac{5}{8}$  pulg. × 101  $\frac{1}{2}$  pulg.

0,855 pulg.; bf = 11,51 pulgadas; tw = 0,58 pulg.

A = 38,26 pulgadas<sup>2</sup>

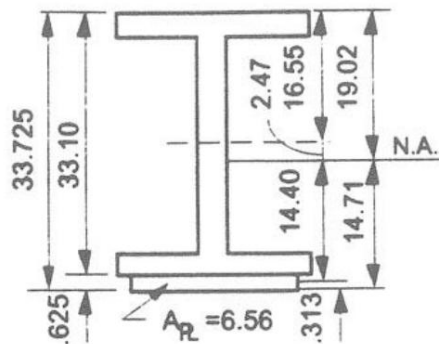


Figura A1B.1.2.1-1 Sección transversal: larguero interior, no compuesto

$$\bar{y} = \frac{\begin{matrix} W & PL \\ (17,175)(38,26) & (0,313)(6,56) \end{matrix}}{38,26 + 6,56}$$

$\bar{y} = 14,71$  pulgadas.

$$\begin{matrix} WW & PL \\ Y_p = 38,26(2,47)^2 + 6,56(14,40)^2 \\ = 8293 \text{ pulgadas}^4 \end{matrix}$$

$$S_t = \frac{8293}{19.02} = 436.0 \text{ pulgadas}^3 \quad 3 \quad \text{DL}$$

$$S_{50} = \frac{8293}{55.14} = 150.4 \text{ pulgadas}^3 \quad 3 \quad \text{DL}$$

## A1B.1.2.2—Propiedades de la sección compuesta

Ancho efectivo de brida

AASHTO 10.38.3.1

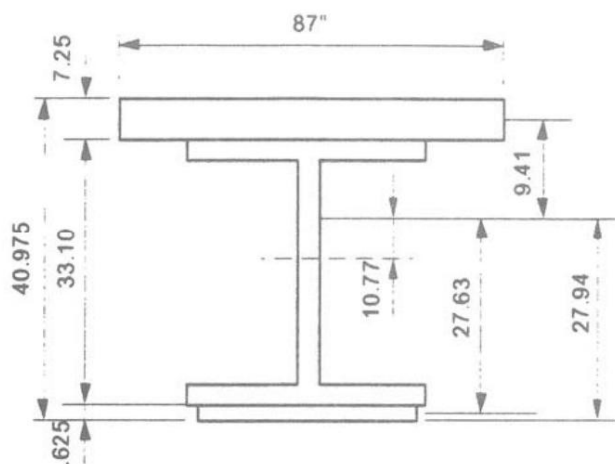
$$\begin{aligned} \frac{1}{4} (65)(12) &= 195 \\ (7.33)(12) &= \text{pulg.} \\ (7.25)(12) &= 88 \text{ pulg. } 87 \text{ pulg.} \quad \text{Controles} \end{aligned}$$

Relación modular

6B.6.2.4

$$\text{para } f_c = 3.000 \text{ psi} \quad \text{norte } = 10$$

Compuesto  $n = n$ : W 33 × 130, PL  $\frac{5}{8}$  pulg. × 101  $\frac{1}{2}$  pulg. y Conc. 71/4 pulg. × 87 pulg.

Figura A1B.1.2.2-1—Sección transversal—Larguero interior, compuesto  $n = n$ 

$$\bar{y} = \frac{(17,175)(38,26)(0,31) + (6,56)(87)(7,25)(10,77) + (38,26)(6,56)(87)(7,25)(10,77)}{38,26(0,31) + 6,56(87) + 38,26(6,56)}$$

$$\bar{y} = 27,94 \text{ pulgadas.}$$

$$\begin{aligned} I_x &= 669938(26,10,77)^2 + (6,56)(87)(7,25)(10,77)^2 + \frac{(87)(7,25)^3}{12} + (38,26)(6,56)(87)(7,25)(10,77)^2 \\ &= 22007 \text{ pulgadas}^4 \end{aligned}$$

Nota:  $I_x$  para la placa de cubierta inferior es insignificante; sin embargo, su término  $Ad^2$  tiene una importancia significativa. contribución.

$$S_t = \frac{22007}{5.79} = 3801 \text{ pulg.}^3 \quad \text{Módulo de sección en la parte superior del acero.}$$

$$\frac{7,33 \left( \frac{7,25}{12} \right)}{130,06} = 664,3 \text{ libras/pie}$$



Cubrir PL (	0,625 10,5 490 144 1,06 38 65	) ( )	÷	=	13,8 libras/pie
Diafragmas (	3 42,7 7,33 1,06 65	)		=	15,4 libras/pie
Total por larguero				=	831,3 libras/pie

A1B.1.3.2—Cargas muertas superpuestas (AASHTO 3.23.2.3.1.1)

Bordillo (	1	) (	10	) 150 pcf	12	×	$\frac{2 \text{ bordillos}}{\text{vigas}}$	=	62,5 libras/pie
Parapeto	150 pcf	+	6,19 18 12	)	144	×	$\frac{2 \text{ parapetos}}{2 \text{ barandillas}}$	=	171,9 libras/pie
Barandilla (	)	asume	20	libras				=	10,0 libras/pie
Superficie de uso								=	0,0 libras/pie
Total por larguero								=	244,4 libras/pie

A1B.1.4—Análisis de carga viva—Larguero interior

Carga viva: Tarifa para HS-20

Momentos:

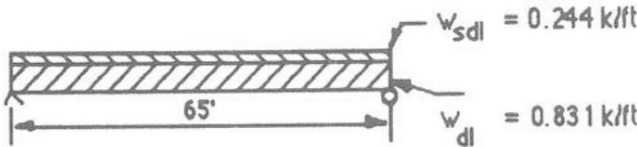


Figura A1B.1.4-1—Diagrama de carga—Larguero interior, carga muerta y carga muerta superpuesta

$$= \bar{D}_L \quad \frac{2 w_{DL}}{8} \quad \frac{0.831 \text{ } 65}{8} \quad 439 \text{ kip-pie}$$
$$= \bar{S}_{DL} \quad \frac{2 w_{DL}}{8} \quad \frac{0.244 \text{ } 65}{8} \quad 129 \text{ kip-pie}$$

MLL

Apéndice C6Ba

Durar	MLL	
60	403.3	$MLL = \frac{403,3 \text{ } 402,8}{2}$
		65 pies
70	492,8	$MLL = 448 \text{ kip-pie}^b$
		(sin Impacto, sin Distribución)

a Tenga en cuenta que los momentos indicados en el MBE son para una línea de ruedas. Los valores dados en AASHTO son para todo el eje y, por lo tanto, son el doble del valor MBE.

b El MLL máximo sin impacto para un tramo de 65 pies, con valores exactos determinados por estática, es de 448,02 kip-pie. Sin embargo, se debe juzgar si se deben interpolar los valores tabulados. La regla general para tramos simples que soportan cargas concentradas en movimiento establece que el momento flector máximo producido por cargas concentradas en movimiento ocurre bajo una de las cargas cuando esa carga está tan lejos de un soporte como lo está el centro de gravedad de todas las cargas en movimiento sobre la viga. del otro soporte. Debe entenderse que localizar la sección crítica precisa y la posición de carga para la clasificación depende de la influencia combinada de la carga muerta, la carga viva y la capacidad del miembro que conforman la ecuación general del factor de clasificación.

## A1B.1.5—Clasificación de tensión permitida (6B.4.1, 6B.5.2 y 6B.6.2)

Considere la sección de momento máximo sólo para este ejemplo.

## A1B.1.5.1—Impacto (use el estándar AASHTO) (6B.7.4, AASHTO 3.8.2.1)

$$I = \frac{50}{1 + 125} \leq 0.3$$

$$Y_o \frac{50}{65+125} = 0.26$$

## A1B.1.5.2: Distribución (use el estándar AASHTO) (6B.7.3, AASHTO 3.23.2.2 y Tabla 3.23.1)

De este modo:

$$\text{pies DF} = \frac{S_s}{5.5} = \frac{7.33}{5.5} = 1.33$$

$$\text{MM DF} = \frac{1}{1 + 125} = 0.26$$

$$\text{MLL I} = 751 \text{ kip-pie}$$

## A1B.1.5.3—Nivel de inventario (controles de tensión inferior) (6B.6.2.1, Tabla 6B.6.2.1-1)

Para acero con 36 ksi,  $F_y = 36$  ksi

De este modo:

$$f_l = 0.55 \times 36 \text{ ksi} = 20 \text{ ksi}$$

La capacidad de resistencia (resonancia negativa)  $= f_l S$

$$\text{resonancia negativa} = 20 \text{ ksi} \times 787.7 \text{ pulg}^2 = 15754 \text{ kip-pulg} = 1313 \text{ kip-pie}$$

Entonces:

$$\begin{aligned} \text{RF}_I &= \frac{\text{MM} - \text{DL} \frac{S_b^I}{S_b} - \text{SDL} \frac{S_b^I}{S_b}}{\text{METRO} \frac{Y_o + S_b}{S_b}} \\ &= \frac{1.313 \times 751 - 129 \frac{787.7}{563.7} - 129 \frac{787.7}{716.7}}{751} \\ &= 0.74 \text{ o } 0.74 \times 36 \text{ toneladas} = 26.7 \text{ toneladas} \end{aligned}$$

Alternativamente, en términos de estrés:

$$\text{RF}_I = \frac{F_s - \frac{\text{MM}}{S_b} - \frac{\text{SDL}}{S_b}}{\frac{\text{METRO} \frac{Y_o + S_b}{S_b}}{S_b}}$$

$$= \frac{20 \text{ ksi} - \frac{439 \text{ pies-kips} \times 12 \text{ pulg./pie}}{563,7 \text{ pulgadas}^3} - \frac{129 \text{ pies-kips} \times 12 \text{ pies-kips}}{716,7 \text{ pulgadas}^3}}{\frac{\text{pulgadas/pie} \times 787,7 \text{ pulgadas}^3}{11.441}}$$

$$= \frac{20 \text{ 9.345 2.160}}{11.441}$$

$$= \frac{8.495}{11.441} = 0,74 \text{ como arriba}$$

A1B.1.5.4—Nivel operativo (6B.6.2.1, Tabla 6B.6.2.1-2)

Para acero con  $f_y = 36 \text{ ksi}$   $\Rightarrow f_o = 0,75$

De este modo:

$$f_o = 0,75 \text{ (36 27 ksi)}$$

y

$$MRO = 1772 \text{ 439} - 129 \text{ 787,7} = 1268 \text{ entradas.}$$

y:

$$RFO = \frac{1772 \text{ 439} \frac{787,7}{563,7 \text{ 751}} - 129 \frac{787,7}{716,7 \text{ 1016,8}}}{751}$$

$$RFO = 1,35 \text{ o } 1,35 \times 36 \text{ toneladas} = 48,7 \text{ toneladas}$$

A1B.1.5.5—Resumen de calificaciones para el método de calificación de estrés permitido

Tabla A1B.1.5.5-1—Resumen de calificaciones para el método de calificación de acero permitido—Larguero interior

	RF	Montones
Inventario	0,74	26,7
Operando	1,35	48,7

A1B.1.6—Clasificación del factor de carga (6B.6.4.2, 6B.6.5.3 y 6B.6.6.3)

Considere la sección de momento máximo sólo para este ejemplo. Ver notas generales.

A1B.1.6.1—Impacto (use el estándar AASHTO) (6B.7.4)

De la calificación de estrés permitida  $I = 0,26$

A1B.1.6.2—Distribución (Utilice el estándar AASHTO) (6B.7.3)

Desde la calificación de tensión permitida  $DF = 1,33$

$$MLL I + = MLL (DF = 1,33) (0,26 \text{ 1,33})$$

$$= 751 \text{ kip-pie (como para la clasificación AS)}$$

## A1B.1.6.3—Capacidad de la Sección MR (6B.6.3.1)

Para secciones compuestas, compactas y arriostradas:

$$SEÑOR = METRO_{10}$$

AASHTO 10.50.1.1

donde  $\mu$  se encuentra de acuerdo con las disposiciones de factor de carga aplicables de AASHTO.

Verifique los supuestos:

1. La sección está completamente apuntalada a lo largo del ala superior mediante una plataforma compuesta (para carga viva y SDL).
2. Para comprobar si la sección es compacta, es necesario aplicar las disposiciones de AASHTO 10.50.1.1.1. Estos controles siguen.

La fuerza de compresión en la losa C es igual al valor más pequeño dado por las siguientes ecuaciones:

AASHTO 10.50.1.1.1(a)

$$AF = 0,85 (C_{eff} f_{bt} - y_c)$$

AASHTO Ec. 10-123

Despreciando la parte del refuerzo que se encuentra en la zona de compresión, la ecuación se reduce a:

$$C_{CONC} = 0,85 f_{eff} b_{eff} = 3 \text{ ksi} (87 \text{ pulg}) (7,25 \text{ pulg}) = 1608 \text{ kips}$$

$$C_{AF} = (A_f + y_{bf}) (A_f) f_{tf} - A_f w$$

AASHTO Ec. 10-124

donde  $(A_f y_{bf})$  incluye la placa de cubierta, esta ecuación se reduce a:

$$C_{AF} = A_f + s_i (38,26 \text{ pulgadas})^2 (6,56 \text{ pulgadas}) (36 \text{ ksi}) = 1613,5 \text{ kips}$$

$$C_{CONC} \leq C_{STL} \leq C_{CONC} \quad 1608 \text{ controles}$$

Capacidad:

$$C_y = \frac{(C_{AF} - C_{CONC})}{2} = \frac{1613,5 - 1608}{2} = 2,75 \text{ kips}$$

AASHTO Ec. 10-126

$$(F_{Ay})_{TF} = (36 \text{ ksi}) (1613,5 \text{ kips}) = 58,086 \text{ kips NA en brida superior >>>$$

AASHTO 10.50.1.1.1(d)

$$\bar{y} = \frac{C_y}{(F_{Ay})_{TF}} t_{TF} = \frac{2,75}{354} (0,855 \text{ pulg}) = 0,007 \text{ pulg. Descuido. Diga NA en la parte superior del acero.}$$

AASHTO Ec. 10-127

Dado que el PNA está en la parte superior del ala, la profundidad del alma en compresión en el momento plástico,  $D_{cp}$ , es igual a cero. Por lo tanto, el requisito de esbeltez del alma dado por la ecuación. 10-129 en el Artículo 10.50.1.1.2 de AASHTO se cumple automáticamente.

Verifique el requisito de ductilidad dado por la ecuación. 10-129a en el Artículo 10.50.1.1.2 de AASHTO:

$$\frac{d_p}{D}$$

AASHTO Ec. 10.129a

$$D' = b \left( \frac{d t_s + h}{7,5} \right) \quad \beta \geq 0,9 \text{ para } F_y = 36.000 \text{ psi}$$

$$D' = 0,9 \left( \frac{33,725 \cdot 7,25 + 0,0}{7,5} \right) = 4,92$$

$$dp = 7,25 \text{ pulgadas.}$$

$$\frac{dp}{D} = \frac{7,25}{4,92} = 1,475 \text{ bien}$$

Dado que el ala superior está apuntalada por la plataforma de concreto endurecido, no es necesario verificar los requisitos de pandeo local y lateral. La capacidad de vigas compuestas en vanos simples que satisfacen los requisitos anteriores de esbeltez y ductilidad del alma viene dada por la ecuación. 10-129c en AASHTO 10.50.1.1.2 cuando  $D_p$  excede  $D'$ :

$$D' < D_p \leq 5D'$$

$$4,92 \text{ pulgadas} < 7,25 \text{ pulgadas} \leq 5 \times 4,92 \text{ pulgadas} = 24,6 \text{ pulgadas.}$$

Por lo tanto:

$$CM \quad M \quad RU \quad \frac{50,85 + 0,85}{4} y + \frac{y p \bar{p}}{4} \quad D$$

AASHTO Ec. 10.129c

$$M_{FS} = aa \quad (36) \frac{787,7}{12} = 2363 \text{ kip-pie}$$

Calcule la capacidad de momento plástico  $M_p$

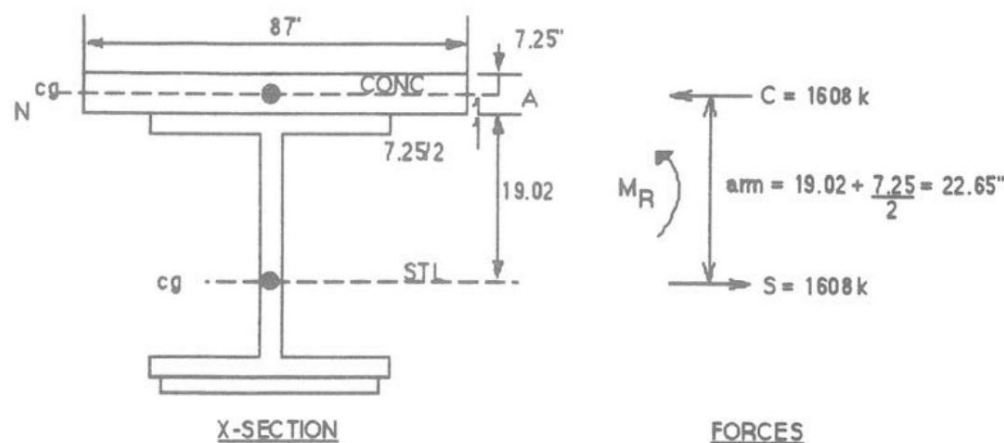


Figura A1B.1.6.3-1—Sección transversal—Larguero interior, para determinar la capacidad de momento plástico  $M_p$

$$\text{brazo} = MC_p \quad (1608 \cdot 22,65) = 36421 \text{ kip-in.} = 3035 \text{ kip-pie}$$

$$\text{SEÑOR} = \frac{5 \cdot 3035 \cdot 0,85 + 2363 \cdot 0,85 + 2363 \cdot 3035}{4} = 1,47 \cdot 2914 \text{ kip-pie}$$

A1B.1.6.4—Nivel de inventario (6B.5.1 y 6B.6.3)

$$RF_I^{LF} = \frac{m a \dot{a} \quad 1 \quad D}{S O Y_{L+}}$$

Ec. 6B.5.1-1

dónde:

6B.5.3

$$1A = 1,3$$

$$A_2 = 2,17$$

De este modo:

$$RFI_{LF} = \frac{2914 \cdot 1,3 \cdot 439 \cdot 129 + (1,3)}{2,17 \cdot 751}$$

$$RFI_{LF} = 1,33 \text{ o } 1,33 \times 36 \text{ toneladas} = 47,9 \text{ toneladas}$$

#### A1B.1.6.5—Nivel operativo (6B.5.3)

El único cambio es  $A_2 = 1,3$

De este modo:

$$RF_{oh}^{LF} = \frac{2,17}{1,3} = \frac{2,17}{1,3} (1,33)$$

$$RFO_{LF} = 2,22 \text{ o } 2,22 \times 36 \text{ toneladas} = 79,9 \text{ toneladas}$$

#### A1B.1.6.6—Verificar criterios de servicio

Para cargas HS la sobrecarga se define como  $D + 5(L + I)/3$

AASHTO 10.57

#### A1B.1.6.6a—A nivel de inventario (acero inferior en controles de tensión)

$$0,95 F_y \leq S F_y \text{ (Fuerza)} = \text{y}$$

AASHTO 10.57.2

Así  $A_1 = 1,0$  y  $A_2 = 1,67$  para calificación de servicio:

$$RFI_{LF} = \frac{0,95 \cdot 1,0 \cdot (1,0) \cdot DL - SDL}{(1,67) F_{y0} +}$$

$$= \frac{0,95 \cdot 36 \text{ ksi} \cdot (1,0) - \frac{439 \cdot 12 \cdot 129 \cdot 12}{563,7 \cdot 716,7}}{1,67 \cdot \frac{751,12}{787,7}}$$

$$= FR_{LF} = 1,19 \text{ o } 1,19 \times 36 \text{ toneladas} = 42,8 \text{ toneladas}$$

Verifique la tensión de compresión de la web:

$$FQ = cr \frac{k \cdot 26200000 \alpha}{D^2} \leq F_{yw}$$

$$t_w$$

AASHTO Ec. 10-173

dónde:

$$kDD \left( \frac{c}{2} \right)$$

$$\alpha = 1,3$$

Dado que  $D_c$  es una función de la relación de tensión de carga muerta a viva de acuerdo con las disposiciones de AASHTO 10.50(b), puede ser necesario un procedimiento iterativo para determinar el factor de clasificación:

Calcule las tensiones de compresión en la parte superior del alma:

$$DL \quad \frac{439 \left( \frac{12,18,165 f}{8293} \right)}{8293} = 11,5 \text{ ksi}$$

$$SDL \quad \frac{129 \left( \frac{12,10,935 f}{15725} \right)}{15725} = 1,1 \text{ kilos}$$

$$F_{LL,yo+} = \left( \frac{751 \left( \frac{12,4,935}{22007} \right)}{22007} \right) = 2,02 \text{ kilos}$$

$$\Sigma = 14,62 \text{ ksi}$$

Calcule las tensiones de tracción en la parte inferior del alma:

$$DL \quad \frac{439 \left( \frac{12,13,23 f}{8293} \right)}{8293} = 8,4 \text{ ksi}$$

$$SDL \quad \frac{129 \left( \frac{12,20,46 f}{15725} \right)}{15725} = 2,0 \text{ ksi}$$

$$F_{LI+} = \left( \frac{751 \left( \frac{12,26,46}{22007} \right)}{22007} \right) = 10,84 \text{ ksi}$$

$$\Sigma = 21,24 \text{ ksi}$$

$$\frac{31,14,62}{21,24} = 14,62 \quad \frac{31,14,62}{12,80} = 12,80 \text{ pulgadas.}$$

$$9k \quad DD_{(+)} = 9 \left( \frac{31,39}{12,80} \right)^2 = 54,1$$

$$F_{cr} = \frac{26200000 \left( \frac{1,3,54,1}{2} \right)}{\frac{31,39}{0,58} (1000)} = 629 \text{ kilos} > F_{yw}$$

$$36 \text{ ksi} =$$

$$R_{FI}^{LF} = \frac{36 \cdot 11,5 \cdot 1,1}{1,67(2,02)} = 6,9 \text{ o } 6,9 \times 36 \text{ toneladas} = 248,4 \text{ toneladas}$$

Dado que el factor de clasificación calculado causaría que las tensiones totales en el ala traccionada excedieran con creces  $F_y$  (haciendo que el eje neutro esté más alto en el alma), en este caso no son necesarias más iteraciones. La tensión de compresión del alma no rige la clasificación de capacidad de servicio.

A1B.1.6.6b—A nivel operativo

$$f_{R_{FI}^{LF}} = \left( \frac{R_{FI}^{LF}}{F_y} \right) \leq \text{Serv. Fortaleza}$$

Así, A1 = 1,0 y A2 = 1,0 para calificación de servicio:

$$\frac{LF}{OI} = \frac{1,67}{1,19} = 1,40$$

$$RFO = 1,98 \times 36 \text{ toneladas} = 71,3 \text{ toneladas}$$

A1B.1.6.7—Resumen de clasificaciones para el método de clasificación del factor de carga

Tabla A1B.1.6.7-1—Resumen de clasificaciones para el método de clasificación del factor de carga—Larguero interior

	RF	Montones	Revisado
Inventario	1,19	42,8	AASHTO 10.57.2
Operando	1,98	71,3	AASHTO 10.57.2

A1B.1.7—Clasificación del factor de carga—Tasa para cargas unitarias de Fórmula B

MLL+I del Apéndice C6B:

Luz	HS-20	NRL	SU4	SU5	SU6	SU7	
60	512,2	595,1	430,2	472,5	525,0	569,9	kip-pie
pies 70 pies	619,2	714,2	510,2	564,4	628,3	685,4	kip-pie

Por interpolación:

65 pies	565,7	654,7	470,2	518,5	576,7	627,7	kip-pies
---------	-------	-------	-------	-------	-------	-------	----------

Aplicar factor de distribución DF = 1,33

65 pies	751,0	870,8	625,4	689,6	767,0	834,8	kip-pies
---------	-------	-------	-------	-------	-------	-------	----------

Capacidad de la Sección MR = 2914 kip-pies

Peso muerto MDL = 439 kip-pie

Cargas muertas superpuestas MSDL = 129 kip-pie

$$\text{Inv. FR} = \frac{2914 - 1,3(439 + 129)}{2,17 M_L + 1}$$

$$\text{Opr. FR} = \frac{2914 - 1,3(439 + 129)}{1,3 M_L + 1}$$

Factores de calificación de fuerza:

	HS-20	NRL	SU4	SU5	SU6	SU7
Inventario	1,33	1,15	1,60	1,45	1,31	1,20
Operando	2,22	1,92	2,67	2,42	2,19	2,00

Verifique los criterios de capacidad de servicio:

$$FR = \frac{0,95 f_y D_L S_D L}{1,67 F_y +}$$



RF = 
$$\frac{34,2 \cdot 9,35 \cdot 2,16}{1,67 \cdot (MI_{12} \cdot 1.0 / 787.7 + \times \times)}$$

Factores de calificación de capacidad de servicio (controles):

HS-20	NRL	SU4	SU5	SU6	SU7
1.19	1.03	1.43	1.29	1.16	1.07

Como la carga nominal nominal NRL RF > 1,0 para resistencia y capacidad de servicio, el puente tiene la capacidad adecuada para todas las cargas legales, incluidos los camiones de Fórmula B de una sola unidad.

10-10000

1-800-828-8888

## A1C.2—Referencias

AASHTO. 2002. Especificación estándar para puentes de carretera, 17.<sup>a</sup> edición, HB-17. Asociación Estadounidense de Funcionarios Estatales de Carreteras y Transporte, Washington, DC.

AASHTO. 2007. Especificaciones de diseño de puentes AASHTO LRFD, cuarta edición, LRFDUS-4-M o LRFDSI-4. Asociación Estadounidense de Funcionarios Estatales de Carreteras y Transporte, Washington, DC.

NCHRP. 2007. Cargas legales de camiones y cargas legales para publicación AASHTO. Junta de Investigación del Transporte, Consejo Nacional de Investigación, Washington, DC.

## A2—PUENTE DE VIGA EN T DE HORMIGÓN ARMADO: EVALUACIÓN DE UNA VIGA INTERIOR

## PARTE A—MÉTODO DE CLASIFICACIÓN DEL FACTOR DE CARGA Y RESISTENCIA

## A2A.1—DATOS DEL PUENTE

Durar:	26
Año de construcción	pies 1925
Materiales:	
Concreto: $f'_c = 3$ ksi	
Acero de refuerzo: Desconocido $f_y$	
Condición:	Se ha observado un deterioro menor, pero no pérdida de sección. NBI ítem 59 = 6
Superficie de conducción:	Verificado y documentado en campo: Aproximación suave y cubierta
ADTT (una dirección):	1850
Sesgar:	0°

## A2A.2—Análisis de carga muerta—Viga interior

Las cargas permanentes sobre el tablero se distribuyen uniformemente entre las vigas.

Diseño LRFD 4.6.2.2.1

## A2A.2.1—Componentes y accesorios, CC

Concreto estructural:

Consta de plataforma + vástago + ancas (de manera conservadora, no se dedujeron los chaflanes de 21 /2 pulgadas)

$$\frac{6 \text{ pulgadas}}{12} \times \text{pies } 1,25 \text{ pies } 2 \text{ pies } 2 \quad \frac{6 \text{ pulg. } 6 \text{ pulg.}}{2 \times 12 \times 12} \times (0,150 \text{ kcf})$$

$$= 0,902 \text{ kip/pie}$$

$$\text{Barandilla y bordillo } 0,200 \text{ kip/pie} \times \frac{1}{2} = 0,100 \text{ kip/pie}$$

$$\text{Total por haz, CC} = 1,002 \text{ kip/pie}$$

$$\text{CDM} = \frac{1}{8} \times 1.002 \times 26 = 84,7 \text{ kip-pie}$$

$$\text{VCCmáx} = 1,002 \times 0,5 \times 26 = 13,0 \text{ kips}$$

## A2A.2.2—Superficie de desgaste, DW

El espesor se midió en el campo:

6A.2.2.3

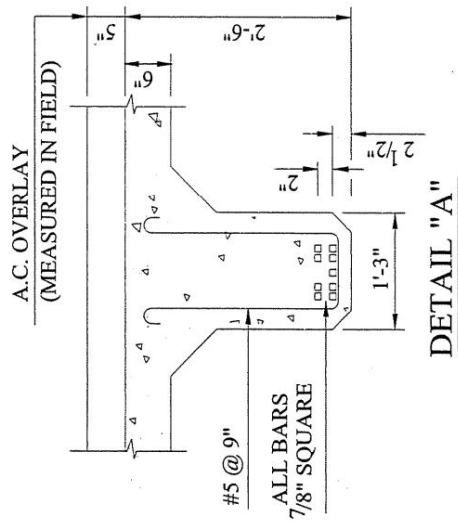
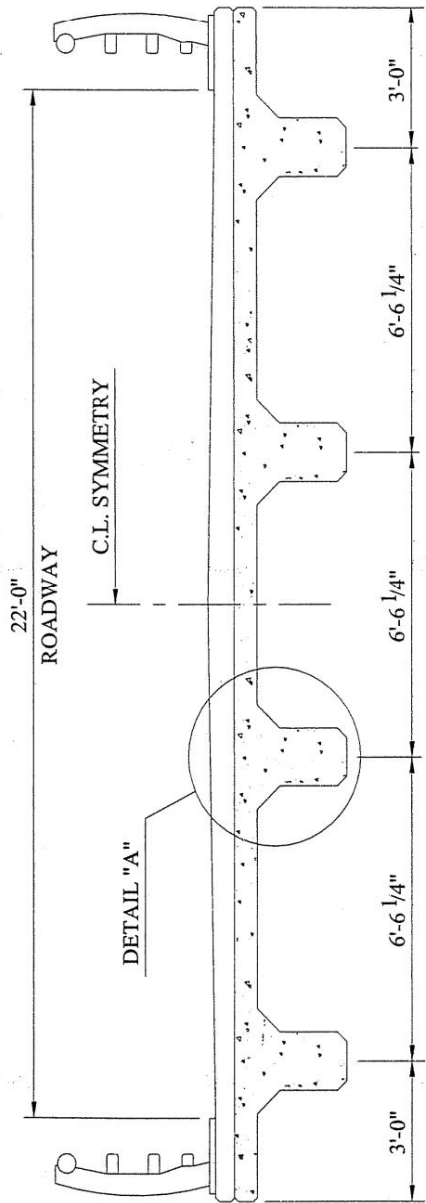
Superposición de asfalto:

$$\frac{5 \text{ pulg.}}{12} \times 22 \text{ pies} \times (0,144 \text{ kcf}) = 0,330 \text{ kip/pie}$$

$$\text{MDW} = \frac{1}{8} \times 0,330 \times 26 = 27,9 \text{ kip-pie}$$

$$\text{VDWmáx} = 0,33 \times 0,5 \times 26 = 4,3 \text{ kips}$$

AREA



## A2A.3—Análisis de carga viva—Viga interior

## A2A.3.1—Calcular el factor de distribución de carga viva

Sección transversal AASHTO LRFD tipo (e)

Diseño LRFD  
Tabla 4.6.2.2.1-1

Parámetro de rigidez longitudinal, kg

$$K_g = n \left( \frac{1}{\Delta} \right)^2$$

Diseño LRFD  
Ec. 4.6.2.2.1-1

$$n = 1,0$$

$$I = \frac{1}{12} (3 \times 15 \times 24^3 + 17280 \text{ pulg.}^4)$$

$$A = 15 \times 24 = 360 \text{ pulg.}^2$$

$$p_{ej} = \frac{1}{2} (24 \text{ ft}) = 12 \text{ pulg.}$$

$$K_g = 1,0 (17280 + 360 \times 152) = 98280 \text{ pulg.}^4$$

$$\frac{k}{12 \text{ pulg.}^3} = \frac{98280}{12 \times 26^3} = 1,46$$

## A2A.3.1.1—Factor de distribución del momento, gm (Tabla de diseño LRFD 4.6.2.2.2b-1)

Un carril cargado:

$$\begin{aligned} gm1 &= 0,06 + \frac{SSK^{0,4}}{14} \left( \frac{0,3}{I} \right)^{0,1} \\ &= 0,06 + \frac{6,52^{0,4}}{14 \times 26} \left( \frac{6,52}{3 \times 12 \text{ pulg.}^3} \right)^{0,1} \\ &= 0,565 \end{aligned}$$

Dos o más carriles cargados:

$$\begin{aligned} gm2 &= 0,075 + \frac{S^{0,6}}{9,5} \left( \frac{SK^{0,2}}{I} \right)^{0,1} \\ &= \frac{6,52^{0,6}}{9,5 \times 26} \left( \frac{6,52^{0,2}}{3 \times 12 \text{ pulg.}^3} \right)^{0,1} \\ &= 0,703 > 0,565 \end{aligned}$$

use gm = 0.703

## A2A.3.1.2—Factor de distribución de corte, gv (Tabla de diseño LRFD 4.6.2.2.3a-1)

Un carril cargado:

$$gv1 = 0,36 + \frac{S}{25,0}$$

$$= 0,36 + \frac{6,52}{25,0}$$

$$= 0,621$$

Dos o más carriles cargados:

$$g_v2 = 0,2 + \frac{SS}{12 \cdot 35} \frac{2,0}{35}$$

$$= \frac{6,52}{12} + \frac{6,52}{35} \frac{0,2}{35} \frac{2,0}{35}$$

$$= 0,709 > 0,62$$

utilizar  $g_v = 0,709$

A2A.3.2—Calcular los efectos máximos de la carga viva

A2A.3.2.1—Momento de carga viva de diseño máximo (HL-93) en la mitad del tramo

Momento de carga del carril de diseño = 54,1 kip-pies

Momento del camión de diseño = 208,0 kip-pie

Momento de los ejes tándem = 275,0 kip-pie      Gobierna

IM = 33%

Diseño LRFD  
Tabla 3.6.2.1-1

$$M_{LL} + momento instantáneo = 54,1 + 275,0 \times 1,33$$

$$= 419,9 \text{ kip-pie}$$

A2A.3.2.2—Corte de carga viva de diseño máximo (HL-93) en la sección crítica

Véase el artículo A2A.7.

A2A.3.2.3—Momentos de carga viva distribuidos

Diseño de carga viva HL-93:

$$M_{LL} + momento instantáneo = 419,9 \times 0,703$$

$$= 295,2 \text{ kip-pie}$$

A2A.4—Calcular la resistencia a la flexión nominal

A2A.4.1—Calcule el ancho efectivo de la brida, sea (Diseño LRFD 4.6.2.6.1)

Ancho efectivo de brida Mínimo de:

i.  $\frac{1}{4}(l)$

ii. 12.0ts + mayor de: dos o  $\frac{1}{2}b_{f \text{ arriba}}$

III. S

i.  $\frac{1}{4} \times 26 = 6,5 \text{ pies} = 78 \text{ pulgadas.}$       Gobierna

ii.  $12t_s + \text{Grosor de la red} = (12 \times 6 + 15) = 87 \text{ pulg.}$

III. Espaciado promedio de vigas  $= 6 \times 12 + 6,25 = 78,25 \text{ pulg.}$

usar  $= \text{segundo } 78 \text{ pulg.}$

A2A.4.2—Calcular la distancia al eje neutro,  $c$

Diseño LRFD 5.7.3.1.1

Suponga un comportamiento de sección rectangular.

$\beta_1 = 0,85$  para  $f'_c = 3000 \text{ psi}$

Diseño LRFD 5.7.2.2

$$c = \frac{a \beta_1}{0,85 f'_c}$$

Diseño LRFD  
Ec. 5.7.3.1.1-4

$$\text{Como} = 9 \frac{7^2}{8} = 6,89 \text{ pulgadas}^2 \quad 2) \text{ (nueve barras de } 7/8 \text{ pulg.)}$$

$b = 78 \text{ pulg.}$

$f_y = 33 \text{ ksi}$  (acero desconocido)

Tabla 6A.5.2.2-1

$$c = \frac{6,89 \times 33}{0,85 \times 33 \times 0,85 \times 78}$$

$= 1,34 \text{ pulg.} < 6 \text{ pulg.}$

El eje neutro está dentro de la losa. Por tanto, habrá un comportamiento de sección rectangular.

$a = c \beta_1$

$= 1,34 \times 0,85$

$= 1,14 \text{ pulg.}$

Distancia desde la parte inferior de la sección al CG del refuerzo,  $y$

$$y = \frac{4 \times 4,5 \times 2,5}{9}$$

$y = 3,39 \text{ pulgadas.}$

$d_s = h_y -$

$h = 30 \text{ pulg.}$

$d_s = 30 \text{ pulg.} - 3,39 \text{ pulg.}$

$= 26,61 \text{ pulgadas.}$

$$\text{manga} = A_{f_{ys}} d - \frac{a}{2}$$

Diseño LRFD 5.7.3.2.3,  
Ec. de diseño  
LRFD. 5.7.3.2.2-1

$$= 8,89 \times 33 \times 26,61 - \frac{1,14 \times 1}{2 \times 12}$$

$= 493,4 \text{ kip-pie}$

A2A.5—Refuerzo mínimo (6A.5.7)

La cantidad de refuerzo debe ser suficiente para desarrollar  $M_r$  igual al menor de:

Diseño LRFD 5.7.3.3.2

$1,2M_{cr}$  o  $1,33M_u$



$$\begin{aligned} \text{Señor} &= \phi f_m M_n = 0,90 \times 493,4 \text{ kip-pie} \\ &= 444,1 \text{ kip-pie} \end{aligned}$$

$$1. 1,33 M_u = 1,33 (1,75 \times 295,2 + 1,25 \times 84,7 + 1,25 \times 27,9)$$

$$= 874,3 \text{ kip-pie} > 444,1 \text{ kip-pie} \quad \text{No es bueno}$$

$$2. 1,2 M_{cr} = 1,2 \left( f_{fs} M_{cr}^{--} \right) \quad d_{nc} \quad \frac{f_{fs}}{S_b}$$

Diseño LRFD

Ec. 5.7.3.3.2-1

$M_{dnc} = 0$  Momento de carga muerta total no mayorado que actúa sobre el monolítico o sección no compuesta

$f_{cpe} = 0$  Esfuerzo de compresión en el hormigón debido a fuerzas efectivas de pretensado sólo en extremos  
Fibra de sección donde la tensión de tracción es causada por cargas aplicadas externamente.

$$S_{nc} = \frac{I}{y_t} \quad \text{Módulo de sección no fisurada (despreciar el acero)}$$

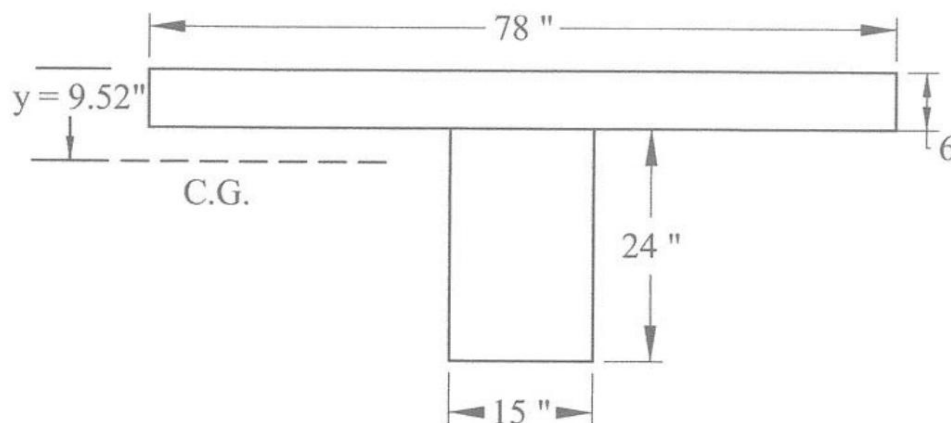


Figura A2A.5-1 Sección transversal de una viga en T de hormigón: profundidad al centroide de la sección no fisurada

$$y = \frac{\sum (S_i \cdot i_i)}{\sum A_i}$$

$$y = \frac{(78 \times 6 \times 3) + (15 \times 24 \times 18)}{(78 \times 6) + (15 \times 24)} = 9,52 \text{ pulgadas.}$$

desde la parte superior de la losa hasta el centroide de la sección no fisurada

$$y_o = \sum I_o + A d^2 \quad \text{donde } I_o = bh^3 / 12$$

	y	C.A	acy	d	Anuncio2	I0
losa	3 463 1 404 6,52				19895	1404
provenir	18 360 6480 8,48				25888	17280
		828 7884			45783	18684

$$y_o = (18684 + 45783) / 64467 +$$

$$y_b = 30 \text{ pulg.} - 9,52 \text{ pulg.} = 20,48 \text{ pulg.}$$

$$S_{bc} = \frac{64467}{20,48} = 3148 \text{ pulg.}^3$$

$$f_r = 0,37 f_c \sqrt{\frac{f_c}{f_r}} = 0,37 \cdot 3,0 \sqrt{\frac{3,0}{0,641}} = 0,641 \text{ ksi}$$

$$M_{cr} = 0,641 \times 3148 = 2017,9 \text{ entradas.} = 168 \text{ kip-pie}$$

Diseño LRFD 5.4.2.6

$$1,2M_{cr} = 1,2 \times 168 = 201,6 \text{ kip-pie}$$

$$M_{señal} = 444,1 \text{ kip-pie} > 1,2 M_{cr} = 201,6 \text{ kip-pies OK}$$

La sección cumple con los requisitos de refuerzo mínimo.

#### A2A.6—Refuerzo máximo (6A.5.6)

$$\frac{c}{d_{mi}} \leq 0,42$$

C6A.5.6

La resistencia factorizada (factor  $\phi$ ) de las secciones controladas por compresión se reducirá en de acuerdo con el Artículo de Diseño LRFD 5.5.4.2.1. Este enfoque limita la capacidad de las secciones sobrerreforzadas (compresión controlada).

La deformación neta por tracción,  $\epsilon_t$ , es la deformación por tracción con resistencia nominal y se determina mediante la compatibilidad de deformaciones utilizando triángulos similares.

Diseño LRFD C5.7.2.1

Dada una deformación permitida del concreto de 0.003 y una profundidad al eje neutro  $c = 1.34$  pulg.

$$\frac{\epsilon_c}{\epsilon_t} = \frac{c}{d_{mi}} = \frac{0,003}{1,34 \text{ pulg.}} = \frac{\epsilon_t}{26,61 \text{ pulg.}}$$

Resolviendo para  $\epsilon_t$ ,  $\epsilon_t = 0,0566$ .

Para  $\epsilon_t = 0,0566 > 0,005$ , la sección está controlada por tensión.

Diseño LRFD 5.7.2.1

Para construcción convencional y resistencia de secciones de hormigón armado con tensión controlada.

Diseño LRFD 5.5.4.2.1

el factor  $\phi$  se tomará como 0,90.

#### A2A.7—Calcular la resistencia al corte nominal

Estribos: #5 barras a 9 pulg.

$$A_v = 2 \cdot \frac{\pi}{4} \cdot \frac{5^2}{8} = 0,6136 \text{ pulgadas.}^2$$

Desconocido  $\phi_y \rightarrow 33 \text{ ksi}$

Sección crítica para corte:

Diseño LRFD 5.8.3.2

Profundidad de corte efectiva:  $d_v$

Diseño LRFD 5.8.2.9

1. Distancia, medida perpendicular al eje neutro, entre las resultantes de la tracción y fuerzas compresivas. No es necesario considerarlo menor que el mayor de:

2.  $0,9d_e$

3.  $0,72h$

$$1. d_v = \frac{M_u}{\phi_y f_y A_s} + \frac{V_u}{\phi_y f_y A_s}$$

Ec. de diseño  
LRFD. C5.8.2.9-1

Esta cantidad depende de la transferencia y desarrollo del refuerzo. De manera conservadora, Tomaremos  $d_v$  como el mayor de los criterios restantes para reducir los cálculos requeridos.

$$2. 0,9 (26,61) = 23,95 \text{ pulgadas.}$$

$$3. 0,72 (30,0) = 21,60 \text{ pulgadas.}$$

$$d_v = 23,95 \text{ pulgadas.}$$

Supongamos  $\theta = 45^\circ$

$$0,5d_v \text{ cuna } \theta = (0,5) (26,04) \text{ (cuna } 45) = 0,5d_v < d_v \quad \text{usar } d_v$$

Sección crítica para corte a 23,95 pulgadas de la cara del soporte.

Ancho de la almohadilla de rodamiento = 4 pulg.

Calcular el corte en  $4 \frac{23,95}{2} = 25,95$  pulgadas desde la línea central del rodamiento.

Corte máximo en la sección crítica cerca del soporte (25,95 pulgadas) calculado mediante estática:

$$V_{TANDEM} = 41,9 \text{ kips} \quad \text{Gobierna}$$

$$V_{TRUCK} = 41,4 \text{ kips}$$

$$V_{LAN} = 7,0 \text{ kips}$$

$$\text{Corte de carga viva total} = (1,33) (41,9) + 7,0 = 62,7 \text{ kips}$$

(incluido un aumento del 33 por ciento para la asignación de carga dinámica)

$$\text{Corte distribuido, VLL+IM} = (62,7) (0,709) = 44,5 \text{ kips}$$

Cizallas de carga muerta:

$$V_{CC} = 1,002 (0,5) (26,04) \frac{25,95}{12} = 10,8 \text{ kips}$$

$$V_{DW} = 0,33 (0,5) (26,04) \frac{25,95}{12} = 3,6 \text{ kips}$$

Resistencia:

El menor de:

$$V_n = V_c + V_s + V_p$$

$$V_n = 0,25f'_{cb}d_v + V_p$$

En este caso no hay aportación  $V_p$ , y:

Profundidad de corte efectiva,  $d_v = 23,95$  pulg.

Ancho mínimo de red dentro de la profundidad  $d_v$ ,  $b_v = 15$  pulgadas.

$$V_c = 0,0316 \beta f'_c b d_v$$

$$v_s = \frac{cuna \text{ Afd } \theta}{s} \quad (\text{para } \alpha = 90^\circ)$$

Diseño LRFD  
Tabla 3.6.2.1-1

Diseño LRFD  
Ec. 5.8.3.3-1  
Diseño LRFD  
Ec. 5.8.3.3-2

Diseño LRFD  
Ec. 5.8.2.9  
Diseño LRFD  
Ec. 5.8.2.9  
Diseño LRFD  
Ec. 5.8.3.3-3

Diseño LRFD  
Ec. 5.8.3.3-4

Enfoque simplificado:

Diseño LRFD 5.8.3.4.1

$$b = 2,0$$

$\theta = 45$

$$V_c = ((230953)16 \cdot 293,30k15s$$

$$v_s = \frac{(0,6136 \times 38,95 \text{ cuna}) \cdot 45}{9} = 53,9 \text{ kips}$$

$$V_n = 39,3 + 53,9 = 93,2 \text{ kips}$$

$$V_n = 0,25 \times 3,0 \times 15 \times 23,95 = 269,4 \text{ kips}$$

$93,2 \text{ kips} < 269,4 \text{ kips}$ , por lo tanto  $V_n = 93,2 \text{ kips}$

A2A.8—Resumen para vigas en T de hormigón interior

	Carga muerta DC	Carga muerta DW	Factor de distribución de carga	Dist. Carga Viva + Impacto	Capacidad nominal
Momento, kip-pie	84,7	27,9	10,8	3,6	493,4
cizalla, kips			0,703	gv = 0,709	93,2

### A2A.9—Ecuación general de clasificación de carga

$$RF = \frac{C_{-Y}(\text{---})(\text{---})_{-Y} DW(D)(\pm) PAG}{(Y)(LL IM)} S$$

Ec. 6A.4.2.1-1

Para estados límite de fuerza  $C = ( ) ( ) ( )$  es sustantivo, masculino R

### A2A.10—Factores de evaluación (para estados límite de resistencia)

1. Factor de resistencia,  $\phi$

Diseño LRFD 5.5.4.2.1

= 1,0 0,90 para flexión y corte de hormigón de peso normal

2. Factor de condición,  $\phi_c$ 

6A.4.2.3

No hay información disponible sobre la condición del miembro. NBI Artículo 59 = 6.

$$\varphi_C = 1,0$$

### 3. Factor del sistema, $\phi_s$

6A.4.2.4

$\phi_s = 1,0$       Puente de 4 vigas con  $S > 4$  pies (para flexión y corte)

A2A.11—Clasificación de carga de diseño (6A.4.3)

### A2A.11.1—Estado límite de resistencia I

[illegible]

A2A.11.2—Nivel de inventario (6A.5.4.1)

Factor de carga	
carrete continuo	1,25
DW	1,25
LL	1,75

Tabla 6A.4.2.2-1

El espesor fue verificado en campo.

Flexura:

$$FR = \frac{(1)(1)(0,90493,2)(1,25)(4,71,25)(27,9)(1,75295,2)}{(1,75295,2)} = 0,59$$

Cortar:

$$FR = \frac{(1)(1)(0,9093,2)(1,25)(0,8) + (1,25)(6)}{(1,7544,5)} = 0,85$$

Los factores de clasificación de corte para la clasificación de carga de diseño se calculan únicamente con fines ilustrativos.

6A.5.9

En servicio, los puentes de concreto que no muestran signos visibles de deterioro por corte no necesitan ser revisados para corte durante la carga de diseño o las capacidades de carga legales.

### A2A.11.3—Nivel operativo

Carga	Factor de carga
carrete continuo	Y
DW	1,25
LL	1,25 1,35

Tabla 6A.4.2.2-1

Para el nivel operativo de Fuerza I, solo cambia el factor de carga viva; por lo tanto, el factor de calificación se puede calcular mediante proporciones directas.

Flexura:

$$FR = 0,59 \times \frac{1,75}{1,35} = 0,76$$

Cortar:

$$FR = 0,85 \times \frac{1,75}{1,35} = 1,10$$

Nota: La resistencia al corte usando MCFT varía a lo largo de la longitud. Los supuestos simplificados de  $\beta = 2,0$  y  $\theta = 45^\circ$  en este ejemplo son conservadores para regiones de alto corte y bajo momento.

El ejemplo A3 demuestra un caso en el que la clasificación de corte debe realizarse en múltiples ubicaciones a lo largo del miembro. En este ejemplo no se ha comprobado la tensión en el refuerzo longitudinal causada por la interacción de momento cortante (Artículo de Diseño 5.8.3.5 de LRFD).

El ejemplo A3 incluye demostraciones de esta verificación.

No se aplican estados límite de servicio a los elementos de puentes de hormigón armado en la verificación de la carga de diseño.

## A2A.12—Clasificación de carga legal (6A.5.4.2)

Nota: Dado que la clasificación de carga de diseño del nivel operativo produjo  $RF < 1,0$  para flexión, se deben realizar clasificaciones de carga para cargas legales para determinar la necesidad de publicación.

Carga viva: Cargas legales AASHTO: tipos 3, 3S2 y 3-3 (tasa para los tres)

6A.4.4.2.1

gramos = 0,703

L = 26 pies

(largo < 40 pies)

IM = 33%

Aunque la condición de la superficie de desgaste ha sido evaluada en campo como suave, la longitud de los miembros de flexión impide el uso de un IM reducido.

C6A.4.4.3

	Tipo 3	Tipo 3S2	Tipo 3-3	
MLL + IM =	250,6	240,7	206,2	kip-pie
gMLL + IM =	176,2	169,2	145,0	kip-pie

Tabla A-6A.5-1

Carga viva: Cargas legales AASHTO: unidades de transporte especializadas y carga nominal nominal: SU4, SU5, SU6, SU7 y NRL

6A.4.4.2.1b

Como antes:

gramos = 0,703

L = 26 pies

(largo < 40 pies)

IM = 33%

C6A.4.4.3

	SU4	SU5	SU6	SU7	NRL	
MLL + IM =	296,9	323,2	350,1	358,6	360,4	kip-pie
gMLL + IM =	208,7	227,2	246,1	252,1	253,4	kip-pie

Tabla A6A.5-2

## A2A.12.1—Estado límite de resistencia I (6A.5.4.2.1)

TDA = 1850

Para cargas legales AASHTO: tipos 3, 3S2 y 3-3

Factor de carga viva generalizado:

Se permite la interpolación lineal para otros ADTT. Por lo tanto:

Tabla 6A.4.4.2.3a-1

$$v = + L^{1,65} \frac{1850 - 1000}{5000 - 1000} (1,80 - 1,65 - 1,65) =$$

$v_L = 1,68$

Flexura:

$$FR = \frac{(1,0 - 0,0) (0,90 - 0,93) ( ) - 1,25 (4,7 - 1,3) (27,9) ( )}{(1,68 \text{ MLL IM} + )}$$

Camión	Tipo 3	Tipo 3S2	Tipo 3-3
FR =	1,02	1,07	1,25
Peso del vehículo (toneladas)	25	36	40
Capacidad de carga segura (toneladas)	25	38	50

Para unidades de transporte especializadas y carga nominal nominal: SU4, SU5, SU6, SU7 y NRL

Factor de carga viva generalizado:

γL = 1,44 por interpolación

Cuadro 6A.4.4.2.3b-1

Flexura:

FR = 
$$\frac{(1,02)(0,90493)(1,25)(1,35)(27,9)}{(1,44 \text{ MLL IM+})}$$

Camión	SU4	SU5	SU6	SU7	LRN
RF	1,01	0,93	0,86	0,84	0,83
Peso del vehículo, toneladas	27	31	34,8	38,8	40
Capacidad de carga segura, toneladas	27	28	29	32	33

No se requiere publicación para los tipos 3, 3S2 y 3-3.

Comparación de las capacidades seguras anteriores para SU4, SU5, SU6, SU7 con la carga segura NRL

6A.8.2 y C6A.8.2

La capacidad demuestra que para puentes que no califican la carga NRL, se debe realizar un análisis de publicación. realizarse para resolver los requisitos de publicación para camiones multieje de una sola unidad. Los resultados anteriores muestran que la Capacidad de Carga Segura para el vehículo SU4 es adecuada; sin embargo, es posible que se requiera publicación para los vehículos SU5, SU6 y SU7.

La decisión de publicar un puente debe tomarla el propietario del puente. Cuando para cualquier camión legal el factor de calificación RF está entre 0,3 y 1,0, se debe utilizar la siguiente fórmula para establecer la carga de publicación segura para ese tipo de vehículo.

6A.8.3

Carga de publicación segura = 
$$\frac{W.}{0,7} (RF - 0,3)$$

Ec. 6A.8.3-1

Por lo tanto, para SU5, SU6 y SU7, las cargas de publicación segura recomendadas son:

	SU5	SU6	SU7
Carga de publicación segura	27	27	29

En el momento del control de carga legal, no se aplican estados límite de servicio a las vigas de puentes de hormigón armado. Este ejemplo se centró en el larguero interior sólo con fines ilustrativos. Antes de tomar una decisión final sobre la publicación, se debe analizar la viga exterior.

A2A.12.2—Resumen

Camión	Tipo 3	Tipo 3S2	Tipo 3-3	36 40 1,07	SU4	SU5	SU6	SU7	NRL
Peso, toneladas	25	1,25	38	50	27	31	34,8	38,8	40
RF	1,02				1,01	0,93	0,86	0,84	0,83
Capacidad de carga segura, toneladas	25				27	28	29	32	33
Carga de publicación segura (toneladas)	—	—	—	—	27		27	29	

A2A.13—Clasificación de carga permitida (6A.4.5)

Tipo de permiso: Especial, viajes múltiples, sin control de velocidad

Peso del permiso: 175 kips

Vehículo con permiso: Se muestra en la Figura A2A.13-1.

ADTT (una dirección): 1850

IM = 33% (L < 40 pies) C6A.4.4.3

Máximo no distribuido:

MLL = 347,3 kips-pie VLL  
= 52,6 kips

en el medio del  
tramo a 26 pulg.

A2A.13.1—Estado límite de resistencia II (6A.5.4.2.1)

ADTT (una dirección): 1850

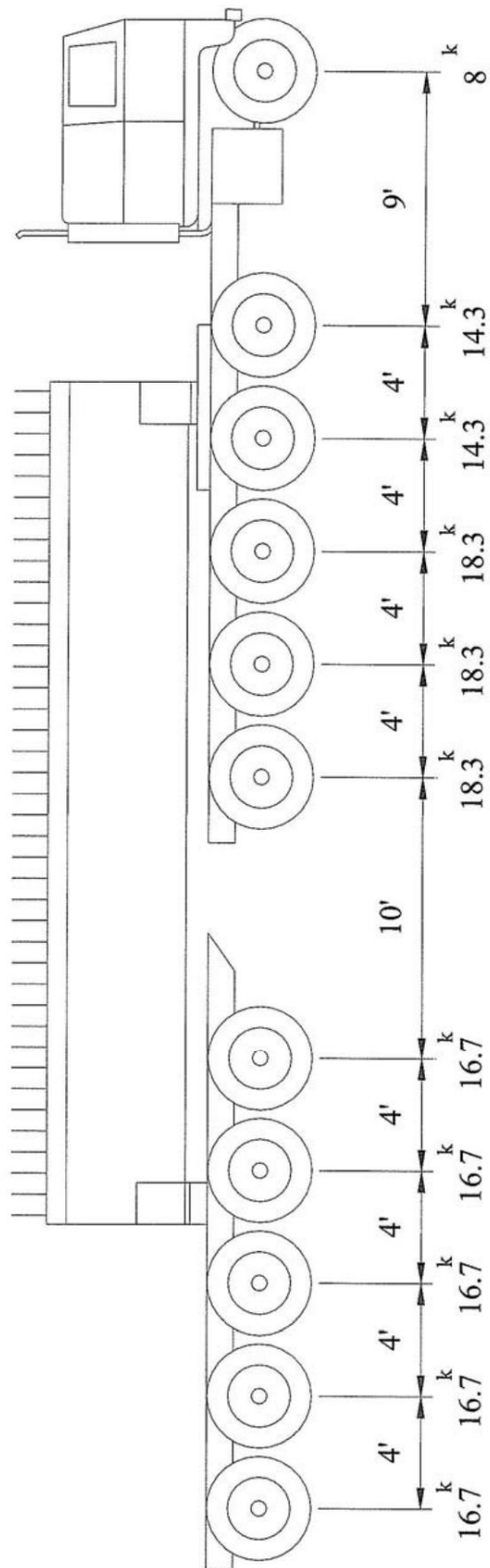
Factor de carga, γL:

$$\frac{1,85 \cdot 1,75}{5000 \cdot 1000 \cdot 1850 \cdot 1000} = \frac{\gamma - L}{-} \cdot \frac{1,75}{-}$$

Tabla 6A.4.5.4.2a-1

$\gamma L = 1,77$





Utilice el factor de distribución de un carril y divida el factor de presencia múltiple de 1,2.

6A.4.5.4.2b

$$mg = \frac{1}{1.2} \times 0.565 \times 0.471$$

$$gramo = \frac{1}{1.2} \times 0.621 \times 0.518$$

Efecto de carga dinámica distribuida:

$$MLL + IM = (347,3) (0,471) (1,33) = 217,6 \text{ kip-pie}$$

$$VLL + momento distribuido = (52,6) (0,518) (1,33) = 36,2 \text{ kips}$$

$$FR = \frac{C - \gamma \left( \frac{VLL}{VLL + momento distribuido} \right) \left( \frac{MLL + IM}{MLL + IM} \right) - \gamma_{DW} (DW) \pm \gamma \left( \frac{PAG}{PAG} \right)}{\left( \gamma \right) (LL + IM)}$$

Ec. 6A.4.2.1-1

$$\text{Para Estados Límite de Fuerza: } C = \left( \frac{R}{\phi} \right) \left( \frac{1}{\gamma} \right) \left( \frac{1}{\gamma} \right) R$$

Flexura:

$$RFM = \frac{(1) \left( \frac{1}{1,0} \right) (0,9493,4) (1,2584,7) \left( \frac{1}{1,77} \right) (17,6) \left( \frac{1}{1,25} \right) (1,9)}{(1,77) (17,6) (1)}$$

$$= 0,79 < 1,0 \quad \text{No es bueno}$$

Corte: Se requiere una evaluación de corte para las clasificaciones de carga permitidas.

6A.5.9

Dado que  $V_n$  se determinó mediante el método simplificado, no depende del vehículo.

$$RFV = \frac{(1) \left( \frac{1}{1,0} \right) (0,993,2) \left( \frac{1}{1,25} \right) (0,83,6+) \left( \frac{1}{1,77} \right) (3,2)}{(1,77) (3,2)}$$

$$= 1,03 > 1,0 \quad \text{DE ACUERDO}$$

#### A2A.13.2—Estado límite de servicio I (opcional) (6A.5.4.2.2b)

$$\gamma_L = \gamma_{DC} = \gamma_{DW} = 1,0$$

Tabla 6A.4.2.2-1

Utilice los factores de distribución que se utilizaron para el diseño y para las cargas legales.

C6A.5.4.2.2b

$$\text{gramos} = 0,703$$

Efecto de carga dinámica distribuida

$$MLL + IM = (347,3) (0,703) (1,33) = 324,7 \text{ kip-pie}$$

$$MDC = 84,7 \text{ kip-pie}$$

$$MDW = 27,9 \text{ kip-pie}$$

#### A2A.13.2.1—Verificación simplificada usando 0.75Mn (C6A.5.4.2.2b)

Momentos no factorizados:

$$+ MDW + MLL + IM = 437,3 \text{ kip-pie MDC}$$

Resistencia nominal a la flexión:

$$M_n = 493,4 \text{ kip-pie}$$

(Utilice resistencia nominal, no factorizada).

$$0,75M_n = 0,75 \times 493,4 = 370,1 \text{ kip-pie} < 437,3 \text{ kip-pie}$$

No es bueno

$$\text{Relación de momentos} = \frac{0,75 \text{ millones}}{M_n + M_{DC} + M_{DW} + M_{IM}} = \frac{370,1}{437,3} = 0,86 < 1,0$$

No es bueno

A2A.13.2.2—Cheque refinado usando  $0.9f_y$

$$M_{DC} + M_{DW} = 112,6 \text{ kip-pie}$$

Los momentos de Servicio I actúan sobre la sección fisurada para producir tensión en el refuerzo. Un Se utiliza un modelo elástico de la sección de hormigón fisurado con acero transformado para calcular la tensión. en el refuerzo debido a las cargas del Servicio I.

$$E_c = 1820 \text{ pies cúbicos}$$

Diseño LRFD C5.4.2.4

$$= 1820 \times 3,0 \sqrt{\text{---}}$$

$$= 3152 \text{ ksi}$$

$$E_s = 29000 \text{ ksi}$$

$$n = \frac{29000}{3152} = 9.2 \quad \text{Utilice } n = 9$$

Para cargas permanentes en los estados límite de Servicio, utilice una relación modular efectiva de  $2n$ .

Diseño LRFD 5.7.1

$$t_s = 78 \text{ pulg.}$$

$$t_s = 6 \text{ pulg.}$$

$$t_w = 15 \text{ pulg.}$$

$$C_{top} = 6,89 \text{ pulg.}$$

$$d_s = 26,61 \text{ pulg.}$$

Suponga que el eje neutro está dentro de la losa.

$$\bar{y} = \frac{\sum (A_i \bar{y}_i)}{\sum A_i}$$

Para  $n = 9$ :

$$\bar{y} = 5,76 \text{ pulgadas (dentro de la losa)}$$

$$I = \frac{1}{12} \sum b_i t_i^3 + \sum A_i (\bar{y}_i - \bar{y})^2$$

$$= \frac{1}{12} (78 \times 5,76^3 + 78 \times 5,76^3 + \dots) + (9 \times 6,89 \times 26)^2 + (61 \times 5,76^2)^2$$

$$= 31926 \text{ pulgadas}^3$$

Para 2norte = 18:

$$\bar{y} = 7,75 \text{ pulgadas (fuera de la losa)}$$

Comportamiento de la sección en T ante las tensiones debidas a cargas permanentes:

$$\bar{y} = \frac{\left[ \left( \text{porcentaje} \right) - \frac{t_s}{2} + x_w \right] \bar{y}^{(1)} (n A_s) ( )_s}{\left[ \left( \text{bty} \right) n A_s \times t_s \right] ( ) ( )_s}$$

Para 2norte = 18:

$$\bar{y} = 7,9 \text{ pulgadas (dentro de la viga)}$$

$$\begin{aligned} y_o &= \frac{1}{12} (b - b_w) t^3 - \frac{t_s^2}{2} + \frac{1}{12} t_s x_w^3 - \frac{1}{2} (x_w - y_o) \left( \frac{b + b_w}{2} \right) x_w^2 \\ &= \frac{1}{12} (78 - 15) 6^3 - \frac{7,9^2}{2} + \frac{1}{12} 6^3 - \frac{1}{2} (6 - 7,9) \left( \frac{78 + 15}{2} \right) 6^2 \\ &= 56090 \text{ pulg.}^3 \end{aligned}$$

Tensión en la armadura de tensión extrema:

$$\text{Esfuerzo de flexión, } f_n = \frac{M_{\text{flexión}}}{I}$$

$$f_L + IM = 9 \times \frac{324,7 \times 12 \times 25,76}{31926} = 23,88 \text{ ksi}$$

$$f_D = 18 \times \frac{112,6 \times 12 \times 25,76}{56090} = 8,50 \text{ ksi}$$

$$f_s = f_{LL} + IM + f_D = 23,88 + 8,50 = 32,4 \text{ ksi}$$

$$f_r = 0,90 f_y = 0,90 \times 33 \text{ ksi} = 29,7 \text{ ksi}$$

29,7 < 32,4 No es bueno

Relación de estrés:

$$\frac{f_{LL} + IM}{f_r} = \frac{29,7 + 8,50}{23,88} = 0,89 \text{ No es bueno}$$

Alguna mejora respecto al control simplificado, pero no suficiente para permitir el permiso si esto  
Se aplica una verificación opcional. El camión también tiene un RF < 1,0 bajo flexión.

6A.5.4.2.2b



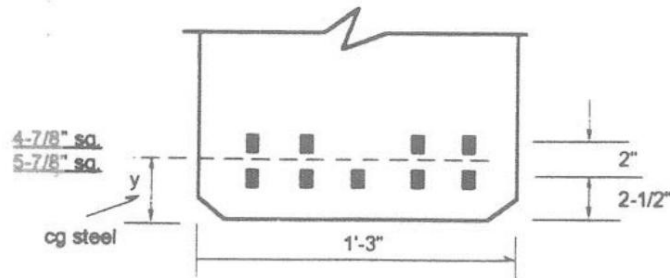
## PARTE B— MÉTODOS DE CLASIFICACIÓN DEL FACTOR DE CARGA Y TENSIÓN PERMITIDA

## A2B.1—Datos del puente

Consulte el artículo A2A.1 para conocer los datos del puente.

## A2B.2—Propiedades de la sección

Encuentra acero cg:



$$y = \frac{4(.766)(2 + 2-1/2) + 5(.766)(2-1/2)}{4(.766) + 5(.766)}$$

$$y = 3.39''$$

$$d = 30'' - 3.39'' = 26.61''$$

$$A_{1\text{BAR}} = 7/8'' \times 7/8'' = 0.766 \text{ in}^2$$

$$A_s = 9 \times A_{1\text{BAR}} = 6.89 \text{ in}^2$$

Figura A2B.2-1—Disposición del refuerzo de acero

Ancho efectivo de losa (para viga en T):

AASHTO 8.10.1.1

$$\frac{1}{4} L = \frac{126 \text{ pies } 12 \text{ pulg./pie}}{4} = 78 \text{ pulg.}$$

O:

CC SPCG 6 pies 6 1/4 pulg. 78,25 pulg.

O:

$$\rho_s = \frac{A_s}{bd} = \frac{6.89 \text{ pulg.}^2}{78 \text{ pulg.} \times 26.61 \text{ pulg.}} = 0.0036$$

$$\rho_s = \frac{A_s}{bd} = \frac{6.89 \text{ pulg.}^2}{78 \text{ pulg.} \times 26.61 \text{ pulg.}} = 0.0036$$

(si hay compresión dentro del ala)

## A2B.3—Análisis de carga muerta—Viga interior

Concreto estructural:

$$0.15 \text{ kip/pie} \times \frac{6 \text{ pulg.}}{12 \text{ pulg./pie}} \times 6.52 \text{ pies} \times (1.25 \text{ pies } 2.0 \text{ pies } 2 \frac{6}{12} \frac{6}{12}) = 0.92 \text{ kip/pie} +$$

Superposición de CA:

$$0.144 \text{ kip/pie} \times \frac{5 \text{ pulg.}}{12 \text{ pulg./pie}} \times 6.52 \text{ pies} = 0.39 \text{ kip/pie}$$

digamos 0.92 + 0.39 = 1.292 kip/pie WDL = ++

Momentos intermedios:

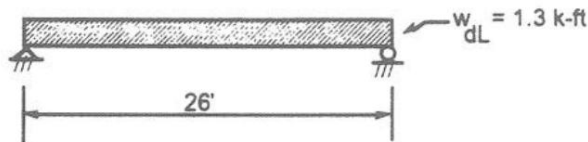


Figura A2B.3-1—Diagrama de carga para carga muerta uniforme

$$M_{DL} = \frac{w_{DL} L^2}{8} = \frac{1.3 \text{ kips/pie} \times 26^2 \text{ pies}^2}{8} = 109.9 \text{ kip-pie}$$

#### A2B.4—Análisis de carga viva—Viga interior

Tarifa para vehículo HS-20.

Figura 6B.7.2.-1 -

Para HS-20: utilizando la tabla, seleccione de la columna "Sin impacto".

C6B

$$M_I = 111.1 \text{ kip-pie (sin impacto y sin distribución)}$$

#### A2B.5—Clasificación de tensión permitida (6B.4.1, 6B.5.2 y 6B.6.2)

Para este ejemplo, consideramos sólo la sección de momento máximo.

##### A2B.5.1—Impacto (use el estándar AASHTO) (6B.7.4, AASHTO 3.8.2.1)

$$I = \frac{50}{1 + 125} \leq 0.30$$

$$y_o = \frac{50}{26 + 125} = 0.33 \text{ usar } 0.30$$

##### A2B.5.2—Distribución (Usar el estándar AASHTO) (6B.7.3, AASHTO 3.23.2.2 y Tabla 3.23.1)

GS \_\_\_\_ Viga en T de hormigón  
DF = 6.0

$$DF = \frac{6 \text{ pies } 6 \frac{1}{4} \text{ pulg. } 6.52 \text{ pies}}{6.0} = 1.087$$

De este modo:

$$M_{I+DF} = (1 + 0.30)(1.087)111.1 = 157 \text{ kip-pie}$$

##### A2B.5.3—Nivel de inventario (6B.5.2, 6B.6.2.4)

Las tensiones unitarias de inventario se determinan de acuerdo con el Artículo 8.15 de AASHTO, "Método de diseño de carga de servicio", o se toman de 6B.6.2.4a.

Tensiones permitidas en el inventario:

AASHTO 8.15.2.1.1

$$f = 1200 \text{ psi } 1.2 \text{ ksi}$$

6B.6.2.4.1

<sup>a</sup> Tenga en cuenta que los momentos indicados en el MBE son para una línea de ruedas. Los valores dados en AASHTO son para todo el eje y, por lo tanto, son el doble de los valores de MBE.

Para acero de refuerzo, 6B.6.2.3 controla:

$$sf = 18000 \text{ psi } 18 \text{ ksi (acero desconocido antes de 1954)}$$

6B.6.2.3

Capacidad (enfoque tradicional):

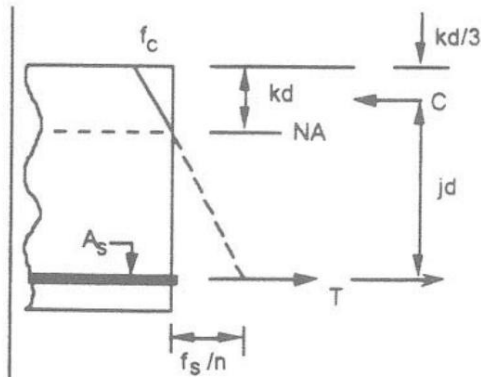


Figura A2B.5.3-1—Diagrama de tensión y fuerza, nts

Las tensiones reales del acero y del hormigón no se conocen y deben encontrarse. Dado que se trata de una viga en T, suponga que el eje es neutro. NA está dentro de la losa. Por tanto, se aplican las fórmulas de vigas rectangulares. Verifique esta suposición más adelante.

Las siguientes fórmulas para el enfoque tradicional fueron referenciadas en el Manual de diseño de hormigón armado. Método de tensiones de trabajo de acuerdo con ACI 318-63, Publicación SP-3 de ACI.

Posición del eje neutro:

$$2kn\sqrt{n = \rho + \left(\frac{f_s}{f_c}\right)^2}$$

SP-3 Ec. (2)

dónde:

$$\rho = \frac{A_s}{bd} = \frac{6.89 \text{ pulgadas}^2}{(72 \text{ pulg.})(26.61 \text{ pulg.})}$$

SP-3 Tabla 1

$$\rho = 0.0036$$

$$n = \frac{m_s}{m_c}$$

$$n = 10$$

6B.6.2.4

$$k = \sqrt{2\rho n + (\rho n)^2} = \sqrt{2(0.0036)(10) + (0.0036)(10)^2} = 0.235$$

$$k = 0.235$$

$$j = 1 - \frac{k}{3} = 1 - \frac{0.235}{3} = 0.922$$

SP-3 Tabla 1

entonces:

Capacidad si el concreto controla la tensión permitida:

$$M_c = \frac{1}{2} f_c b k d^2$$



$$= \frac{1}{2} (1,2 \text{ ksi } 0,922 \text{ } 0,235 \text{ } 72 \text{ pulg. } 26,61 \text{ pulg.})^2$$

$$= 6622,8 \text{ kip-pulg.} = 552 \text{ kip-pie}$$

Capacidad si el refuerzo de acero controla la tensión permitida:

señora Asjd

$$\text{señora} = (6,89 \text{ pulg.}^2 \text{ } 18 \text{ ksi } 0,922 \text{ } 26,61 \text{ pulg.})$$

$$M_s = 3042,1 \text{ kip-pulg.} = 253 \text{ kip-pie}$$

Verifique el supuesto del eje neutral:

$k_d = (0.235)(26.61 \text{ pulg.}) = 6.25 \text{ pulg.} > 6 \text{ pulg.}$  el espesor de la losa NA está debajo de la parte inferior de la losa y ligeramente dentro del alma. Esto podría ignorarse en este caso. Sin embargo, en aras de la exhaustividad, la capacidad se calculará a continuación según la NA debajo de la losa e ignorando la compresión en el concreto del vástago.

$$k_d = \frac{2ndA_sbt +}{2dbt_s +}$$

$$k_d = \frac{2 \cdot 10 \cdot 26,61 \text{ pulgadas} \cdot 6,89 \text{ pulgadas} \cdot 72 \text{ pulgadas} \cdot 6}{2 \cdot 10 \cdot 6,89 \text{ pulgadas} \cdot 2 \cdot 72 \text{ pulgadas} \cdot 6 \text{ pulgadas}} = \frac{6258.9}{1001.8}$$

$$k_d = 6,25 \text{ pulg.} \cdot 26,61 \text{ pulg.} \cdot \frac{k_d}{d} \cdot \frac{6,25 \text{ pulgadas.}}{d} = 0.235$$

$$z = \frac{k_d \cdot t \cdot 3}{2k_d t} \cdot \frac{2}{3}$$

$$z = \frac{3 \cdot 6,25 \text{ pulg.} \cdot 2 \cdot 6 \text{ pulg.} \cdot 6 \text{ pulg.} \cdot 6,75 \text{ pulg.}}{(2 \cdot 6,25 \text{ pulg.} \cdot 6 \text{ pulg.} \cdot \frac{6,75 \text{ pulg.}}{3} \cdot 6,5 \text{ pulgadas.})^2 \text{ pulg.})$$

$$Z = 2,077 \text{ pulgadas.}$$

$$jd \text{ re } Z = -$$

$$jd = 26,61 \text{ pulgadas} \cdot 2,077 \text{ pulgadas} = 24,53 \text{ pulgadas}$$

señora Asjd

$$\text{señora} = (6,89 \text{ pulg.}^2 \text{ } 18 \text{ ksi } 24,53 \text{ pulg.} \cdot 3042,2 \text{ kip-pulg.})$$

$$M_s = 253 \text{ kip-pie como antes}$$

(Tenga en cuenta que no se revisó el concreto ya que la capacidad de la sección está limitada por la tensión permitida del acero).

$$RF_I^A = \frac{MM -}{\text{DESHACERSE}} \cdot \frac{METRO}{L+}$$

$$RFI^A = \frac{253 \text{ kip-pie} - 109,9 \text{ kip-pie}}{157 \text{ kip-pie}} = 0,91$$

## A2B.5.4—Nivel operativo (6B.6.2)

Las tensiones operativas permitidas para concreto con  $f'_c = 3000$  psi:

$$f_c^{\text{oh}} = 1900 \text{ psi} \quad 1,9 \text{ ksi} \quad \text{6B.6.2.4.1}$$

Para acero de refuerzo:

$$f_s^{\text{oh}} = 25.000 \text{ psi} \quad 25 \text{ ksi} \quad (\text{acero desconocido, antes de 1954}) \quad \text{6B.6.2.3}$$

Se aplican las relaciones básicas definidas anteriormente:

Dado que  $p$  y  $n$  no cambian, los términos del eje neutro,  $k$ ,  $j$  y  $Z$  no cambian.

De este modo:

$$\begin{aligned} \text{señor} &= s f_j d \\ &= (2 \cdot 6,89 \text{ pulg.}) (25 \text{ ksi}) (24,63 \text{ pulg.}) \\ &= 4225,3 \text{ kip-in.} \quad 352 \text{ kip-pie} \end{aligned}$$

y comprobar la tensión del hormigón para garantizar que el hormigón no controle:

$$F_c = \frac{s f_k}{1 \quad k} \quad \text{SP-3 Tabla 1}$$

$$f_c = \frac{25 \text{ ksi}}{10} \cdot \frac{0,235}{1,0,235} = 0,77 \text{ ksi} \quad 1,9 \text{ ksi permitidos}$$

Por lo tanto, la capacidad de la sección está controlada por la tensión permitida del acero.

$$M_{RO} = 352 \text{ kip-pie}$$

$$RF_{oh}^A = \frac{M_{oh} - DL}{METRO L} = \frac{352 \text{ kip-pie} - 109,9 \text{ kip-pie}}{157 \text{ kip-pie}}$$

$$ORP^A = 1,54$$

A2B.6—Capacidad de carga basada en la tensión permitida

$$\text{Inventario: } 0,91 \cdot 36 \cdot 32,8^t = \quad^t \text{ SA}$$

$$\text{En funcionamiento: } 1,54 \cdot 36 \cdot 55,4^t \text{ SA}$$

Para transformar la clasificación HS en clasificación H, multiplique el factor de clasificación HS por la relación entre el momento HS y el momento H:

Para un tramo de 26 pies:

$$M_{H}^{\text{HS-20}} = 111,1 \text{ kip-pie}$$

$$\rightarrow = \overset{H-15}{ML} 78 \text{ kip-pie}$$

Apéndice C6B-1

Entonces:

$$\overset{H-20}{METRO} = \frac{20t}{15t} \quad 78 \text{ kip-pie} \quad 104 \text{ kip-pie}$$

y:

$$\text{Relación} = \frac{\overset{HS-20}{METRO}}{\overset{H-20}{METRO}} = \frac{111.1}{104} = 1.068$$

Así, para el camión H-20:

$$\text{Inventario: } 0.91 \times 1.068 \times 20 = 19.4 \text{ t}$$

$$\text{En funcionamiento: } 1.54 \times 1.068 \times 20 = 32.9 \text{ t}$$

## A2B.7—Capacidad (enfoque alternativo)

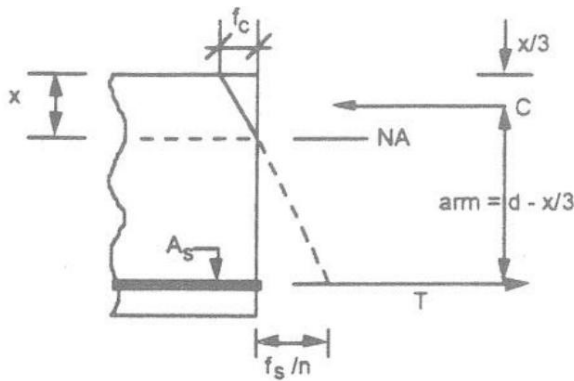


Figura A2B.7-1—Diagrama de tensión y fuerza, nts

Dado que se desconoce la ubicación del eje neutro NA y las tensiones correspondientes en el acero y el hormigón, éstas deben determinarse de acuerdo con los principios de equilibrio de la sección transversal.

1. De las tensiones en la sección transversal usando triángulos similares:

$$\frac{f_s}{x_s} = \frac{f_c}{x_c} \quad (A2B.7-1)$$

2. Suponga que la tensión permitida del acero controla la capacidad de la sección. Esto se comprobará más adelante. Entonces:

$$T = A_s f_s = (6.89 \text{ pulgadas}^2) (18 \text{ ksi}) = 124 \text{ kips}$$

y:

$$C = \frac{1}{2} b x$$

pero:

$$TC =$$

de este modo:

$$\frac{1}{2} f_{cs} A_f =$$

$$x = \frac{\frac{f_{cs}}{2}}{\frac{f_{cs}}{2} - \frac{f_{cs}}{2}} \quad (A2B.7-2)$$

Resuelve las ecuaciones. 1 y 2 para encontrar la ubicación del eje neutro. Esto se puede hacer mediante prueba y error de la siguiente manera.

Supongamos  $f_s = 18$  ksi, es decir, controles de tensión permisibles para el acero.

Pruebe  $x = 6,0$  pulg. Luego, mediante la ecuación. 1:

$$F_c = \frac{s}{-} \frac{f_s 18 \text{ ksi}}{10 26,61} \frac{6,0 \text{ pulgadas}}{6,0 \text{ pulg.}} = 0,524 \text{ ksi } 1,2 \text{ ksi} \quad \text{permitido OK}$$

y por la ecuación. 2:

$$x = \frac{\frac{f_s}{2}}{\frac{f_s}{2} - \frac{f_s}{2}} \frac{(2 6,89 \text{ pulgadas } 18 \text{ ksi})}{(0,524 \text{ ksi } 7,2 \text{ pulg.})} = 6,57 \text{ pulgadas } 6,0 \quad \text{ficticio. Intentar otra vez}$$

Pruebe  $x = 6,25$  pulgadas.

$$c_f = \frac{18}{10 26,61} \frac{6,25}{6,25} = 0,552 \text{ ksi } 1,2 \text{ ksi} \quad \text{permitido OK}$$

y:

$$x = \frac{(6,89)(18)}{\frac{1}{2}(0,552)(7,2)} = 6,24 \text{ pulgadas } 6,25 \quad \text{asumió que está bien}$$

3. Dado que  $x = 6,24 > t = 6,0$ , NA está debajo de la parte inferior de la losa y ligeramente dentro del alma. Si el alma de hormigón en compresión es descuidado:

brazo  $d \approx \frac{x}{3}$  para este ejemplo.

$$\text{brazo} \approx \frac{6,24}{3} = 2,08 \text{ pulgadas.}$$

y la capacidad es:

$$M_A f_{brazo} = \frac{1}{2} (6,89)(18)(6,24) = 394,2 \text{ kip-in.} \quad \text{como antes}$$

El brazo exacto se puede determinar a partir del diagrama de tensiones del hormigón de la siguiente manera:

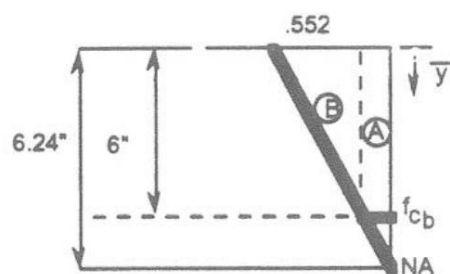


Figura A2B.7-2—Diagrama de tensión del concreto para la porción de losa de viga en T, nts

en la parte inferior de la losa:

$$F_{cb} = \frac{0.552 \times 6}{6.24} = 0.021$$

Luego encuentre el centroide del diagrama de tensiones desde la parte superior de la losa.

$$\bar{y} = \frac{\sum A \bar{y}}{\sum A} = \frac{(0.021 \times 6) \left( \frac{6}{2} \right) + (0.552 - 0.021) \times 6 \left( \frac{6 + 0.021 \times 6}{2} \right)}{(0.021 \times 6) + (0.552 - 0.021) \times 6}$$

$$\bar{y} = \frac{3.576}{2.08} = 1.722 \text{ pulgadas.}$$

Brāzō 26,61 2,08 24,53 pulg. como se encontró anteriormente

4. La Capacidad de Operación se podrá encontrar como arriba y será la misma que para el "método tradicional". la calificación

Los cálculos no se muestran aquí ya que también serán los mismos que para el método tradicional.

A2B.8—Clasificación de tensión permitida—Tasa para cargas legales AASHTO

ML+I del Apéndice C6B (todos los valores tienen un impacto del 30 por ciento):

Luz	Tipo 3	Tipo 3S2	Tipo 3-3	
26 pies	122,4	117,7	100,8	kip-pies

Luz	NRL	SU4	SU5	SU6	SU7	
26 pies	176,2	145,1	158,0	171,1	175,2	kip-pies

Aplicar factor de distribución DF = 1,087

Luz	Tipo 3	Tipo 3S2	Tipo 3-3	
26 pies	133,0	127,9	109,6	kip-pies

Luz	NRL	SU4	SU5	SU6	SU7	
26 pies	191,5	157,7	171,7	186,0	190,4	kip-pies

Capacidad de la Sección según lo determinado previamente en B2.5.3 y B2.5.4 respectivamente:

Nivel de inventario MRI = 253 kip-pies Nivel operativo MRO = 352 kip-pies.

Peso muerto MDL = 109,9 kip-pie.

Para el método de tensión permitida A1 = 1,0 y A2 = 1,0

$$RF_I^A = \frac{\text{mamá} \text{ soy } 1}{\text{soy } 2_{LI} +} \frac{D}{(1.0)_{METRO LH}} = \frac{253 \text{ kip-pie } (1,0) 109,9 \text{ kip-pie}}{(1.0)_{METRO LH}}$$

Ec. 6B.5.1-1

$$RF_{oh}^A = \frac{\text{MAMÁ}^-}{\text{soy } 2_{LI} +} \frac{DL}{(1.0)_{MLI} +} = \frac{352 \text{ kip-pie } (1,0) 109,9 \text{ kip-pie}}{(1.0)_{MLI} +}$$

Factores de calificación del método de estrés permitidos:

	Tipo 3	Tipo 3S2	Tipo 3-3
Inventario	1,08	1,12	1,31
Operando	1,82	1,89	2,21

	NRL	SU4	SU5	SU6	SU7
Inventario	0,75	0,91	0,83	0,77	0,75
Operando	1,26	1,53	1,41	1,30	1,27

Capacidad de carga en toneladas:

Inventario:  $RF_I \times \frac{A}{\text{peso del vehículo } \bar{C}ap. Inv.}$ En funcionamiento:  $RF_{oh} \times \frac{A}{\text{peso del vehículo } \bar{O}pr. \bar{C}ap.}$ 

Carga	Tipo 3	Tipo 3S2	Tipo 3-3
Peso del vehículo	25	36	40
inv. Gorra.	27,0	40,3	52,4
Opr. Gorra.	45,5	68,0	88,4

Carga	NRL	SU4	SU5	SU6	SU7
Peso del vehículo	40	27	31	34,8	38,8
inv. Gorra.	30,0	24,6	25,7	26,8	29,1
Opr. Gorra.	50,4	41,3	43,7	45,2	49,3

A2B.9—Resumen de calificaciones para el método de calificación de estrés permitido

Tabla A2B.9-1 Resumen de clasificaciones para el método de clasificación de acero permitido: viga interior

Carga	HS-20	H-20	Tipo 3	Tipo 3S2 36	Tipo 3-3 40
Peso del vehículo (toneladas)	36	20	25		
Inventario RF	0,91	0,91	1,08	1,12	1,31
Inv. Gorra.	32,8	19,4	27,0	40,3	52,4
Operación RF	1,54	1,54	1,82	1,89	2,21
Opr. Gorra.	55,4	32,9	45,5	68,0	88,4

Carga	NRL	SU4	SU5	SU6	SU7
Peso del vehículo (toneladas)	40	27	31	34,8	38,8
Inventario RF	0,75	0,91	0,83	0,77	0,75
Inv. Gorra.	30,0	24,6	25,7	26,8	29,1
Operación RF	1,26	1,53	1,41	1,30	1,27
Opr. Gorra.	50,4	41,3	43,7	45,2	49,3

A2B.10—Clasificación del factor de carga (6B.4.2, 6B.5.3, 6B.6.3)

Para este ejemplo, consideramos sólo la sección de momento máximo.

A2B.10.1—Impacto (use el estándar AASHTO) (6B.7.4, AASHTO 3.8.2.1)

$$I = \frac{50}{1 + 125} \leq 0,30$$

yo  $\frac{50}{26 + 125} = 0,33$  usar 0,30

A2B.10.2—Distribución (Usar el estándar AASHTO) (6B.7.3, AASHTO 3.23.2.2 y Tabla 3.23.1)

DF == GS 6,52 pies 1.087  
6.0 6

De este modo:

MM<sub>LEY</sub> DF = ~~12~~(1 ) ( 111,1 1+0,30 ) 1,087 157=kip-pie

A2B.10.3—Capacidad de la Sección (6B.6.3.2)

Para acero desconocido antes de 1954, fy = 33.000 psi = 33 ksi

Mu se encuentra de acuerdo con los requisitos de resistencia aplicables del Artículo 8.16 de AASHTO.

Considere una sección rectangular con compresión limitada a la losa superior. Luego verifique el requisito 6B.6.3.2 para un 75 por ciento de condición equilibrada.

$$\rho_{\text{máximo}} = 0,75 \rho_{\text{bola}} = 0,75 \frac{0,85 \beta_1 F_c}{F_y} \frac{87000}{87000 + F_y}$$

AASHTO Ec. 8-18

$$\rho_{\text{máximo}} = \frac{0,85 (0,85 \beta_1) (0,75) 87000}{33000 + 33000}$$

$$\rho_{\text{actuar}} = 0,0036 \rho_{\text{máximo}} \quad \text{DE ACUERDO}$$

Entonces:

$$a = \frac{M_u}{\phi_b f_y A_s}$$

AASHTO Ec. 8-17

$$a = \frac{26,89 \text{ pulgadas} (33 \text{ ksi})}{0,85 (3 \text{ ksi}) (72 \text{ pulg.})} = 1,24 \text{ pulg.} \quad \text{OK dentro de la losa}$$

$$M_R = \phi_b f_y A_s d \frac{a}{2}$$

AASHTO Ec. 8-16

$$M_R = (6,89 \text{ pulg.})^2 (3 \text{ ksi}) (26,61 \text{ pulg.}) - \frac{1,24}{2}$$

MR = 5909 kip-in. = 492 kip-pie

$\mu_u = \phi M_R$

donde  $\phi = 0,90$

AASHTO 8.16.1.2.2

$M_u = 0,90 \cdot 492 \cdot 443 \text{ kip-pie.}$

A2B.10.4—Nivel de inventario (6B.5.1, 6B.6.3)

MDL es el mismo que se estimó para el cálculo de la calificación ASD:

$$R_{I\text{LF}} = \frac{\mu_{u\text{MDL}}}{SQY_{LH}}$$

Ec. 6B.5.1-1

donde de acuerdo con 6B.5.3:

$A_1 = 1,3$   
 $A_2 = 2,17$

De este modo:

$R_{I\text{LF}} = \frac{443 \cdot 1,3 \cdot 109,9}{2,17 \cdot 157} = 0,88$

A2B.10.5—Nivel operativo (6B.5.1, 6B.6.3)

$$R_{oh\text{LF}} = \frac{\mu_{u\text{MDL}}}{\text{soy } 2_{LH}}$$

Ec. 6B.5.1-1

donde de acuerdo con 6B.5.3:

$A_1 = 1,3$   
 $A_2 = 1,3$

De este modo:

$R_{FO\text{LF}} = \frac{443 \cdot 1,3 \cdot 109,9}{1,3 \cdot 157} = 1,47$

Capacidad de carga basada en el Método del Factor de Carga, camión HS-20:

Inventario:  $0,88 \cdot 36 \cdot 31^t = HS^t$   
En funcionamiento:  $1,47 \cdot 36 \cdot 32^t$

Capacidad de carga basada en el método del factor de carga, camión H-20, donde la relación entre el momento HS y el momento H se determinó en B2.6 como 1,068:

Inventario:  $0,88 \cdot 1,068 \cdot 20 \cdot 31,4^t$   
En funcionamiento:  $1,47 \cdot 1,068 \cdot 20 \cdot 31,4^t$



A2B.10.6—Resumen de calificaciones para el método de calificación del factor de carga

Tabla A2B.10.6-1—Resumen de clasificaciones para el método de clasificación del factor de carga—Viga interior

	RF	Clasificación HS-20, montones	Clasificación H-20, montones
Inventario	0,88	31,7	18,8
Operando	1,47	52,9	31,4

A2B.10.7—Clasificación del factor de carga—Tasa para cargas legales AASHTO

ML+I del Apéndice A-6B.3 (todos los valores tienen un impacto del 30 por ciento)

Luz	Tipo 3	Tipo 3S2	Tipo 3-3	
26 pies	122,4	117,7	100,8	kip-pies

Aplicar factor de distribución DF = 1,087

26 pies	133.0	127,9	109,6	kip-pies
---------	-------	-------	-------	----------

Capacidad de la Sección MU = 443 kip-pies

Peso muerto MDL = 109,9 kip-pie

Para el nivel de inventario, A1 = 1,3 y A2 = 2,17 6B.5.3

Inv. FR = 
$$\frac{443 \cdot 1,3 \cdot 109,9}{2,17 M_L + I}$$

Para el nivel operativo, A1 = 1,3 y A2 = 2,17 6B.5.3

Opr. FR = 
$$\frac{443 \cdot 1,3 \cdot 109,9}{1,3 M_L + I}$$

Factores de calificación de fuerza:

	Tipo 3	Tipo 3S2	Tipo 3-3
Inventario	1,01	1,05	1,22
Operando	1,74	1,81	2,11

Capacidad de carga en toneladas:

Carga	Tipo 3 25	Tipo 3S2 36	Tipo 3-3 40
Peso del vehículo			
inv. Gorra.	25,3	37,8	48,8
Opr. Gorra.	43,5	65,2	84,4

El puente tiene una capacidad de carga de inventario adecuada para cargas legales Tipo 3, 3S2 y 3-3.

A2B.10.8—Clasificación del factor de carga—Tasa para cargas unitarias de Fórmula B

ML+I del Apéndice C6B (todos los valores tienen un impacto del 30 por ciento)

Luz	NRL	SU4	SU5	SU6	SU7	
26 pies	176,2	145.1	158.0	171.1	175,2	kip-pies

Aplicar factor de distribución DF = 1,087

Luz	NRL	SU4	SU5	SU6	SU7	
26 pies	191,5	157,7	171,7	186.0	190,4	kip-pies

Capacidad de la Sección MU = 443 kip-pies

Peso muerto MDL = 109,9 kip-pie

Para el nivel de inventario, A1 = 1,3 y A2 = 2,17 6B.5.3

Inv. FR =  $\frac{443 \cdot 1,3 \cdot 109,9}{2,17 \text{ ML I} + \dots}$

Para el nivel operativo, A1 = 1,3 y A2 = 2,17 6B.5.3

Opr. FR =  $\frac{443 \cdot 1,3 \cdot 109,9}{1,3 \text{ (ML I} + \dots)}$

Factores de calificación de fuerza:

	NRL	SU4	SU5	SU6	SU7
Inventario	0,72	0,88	0,81	0,74	0,73
Operando	1,20	1,47	1,35	1,24	1,22

Capacidad de carga en toneladas:

Carga	NRL	SU4	SU5	SU6	SU7
Peso del vehículo	40	27	31	34,8	38,8
inv. Gorra.	28,8	23,8	25,1	25,8	28,3
Opr. Gorra.	48,0	39,7	41,9	43,2	47,3

El puente tiene una capacidad de carga de inventario inadecuada para la carga nominal nominal NRL y las cargas de publicación SU4, SU5, SU6 y SU7.



[illegible]

## A2C.2—Referencias

AASHTO. 2002. Especificaciones estándar para puentes de carreteras, 17.<sup>a</sup> edición, HB-17. Asociación Estadounidense de Funcionarios Estatales de Carreteras y Transporte, Washington, DC.

AASHTO. 2007. Especificaciones de diseño de puentes AASHTO LRFD, cuarta edición, LRFDUS-4-M o LRFDSI-4. Asociación Estadounidense de Funcionarios Estatales de Carreteras y Transporte, Washington, DC.

ACI. 1963. Manual de diseño de hormigón armado, SP-3. Instituto Americano del Concreto, Farmington Hills, MI.

NCHRP. 2007. Cargas legales de camiones y cargas legales para publicación de AASHTO, Informe NCHRP 575. Junta de Investigación del Transporte, Consejo Nacional de Investigación, Washington, DC.

### A3: HORMIGÓN PRETENSADO DE TRAMO SIMPLE: EVALUACIÓN DE UN INTERIOR DE PUENTE CON VIGAS I VIGA (SOLO LRFR)

Nota: Este ejemplo ilustra la clasificación de una viga interior de hormigón pretensado en la mitad del claro para momento, en la sección crítica para el corte y en un cambio en el espaciamiento de los estribos para el corte. El miembro de ejemplo contiene tendones desunidos para ilustrar cómo esto afecta la calificación en el dos lugares de corte.

#### A3.1—Datos del puente

Durar: 80 pies (Longitud total = 81 pies)  
Año de construcción: 1985

#### Materiales:

Concreto:  $f'_c = 4$  ksi (Cubierta)  
 $f'_c = 5$  ksi (haz P/S)  
 $f_{ci} = 4$  ksi (P/S Haz en transferencia)

Acero Pretensado:  $\frac{1}{2}$  pulg. de diámetro, 270 ksi, torones de baja relajación Aps  
= 0,153 pulg<sup>2</sup> por torón 32  
torones de pretensado; diez están despegados en los últimos 12 pies en cada extremo

Estribos: #4 a 9 pulgadas sobre el  
extremo 20 pies #3 a 12 pulgadas

sobre el centro 40 pies Acero de compresión:

seis #6 Sin deterioro, Código NBI Ítem 59 = 6

Grado 60 Condición: Desviaciones menores de la superficie (verificadas y documentadas en campo)

Superficie de conducción: ADTT (una  
dirección) 5000 Sesgar: 0°

Ancho efectivo de brida eb

Diseño LRFD 4.6.2.6.1

Mínimo de: i)

$$\frac{1}{4}(L)$$

ii) 12 pies de cualquier o

f arriba

iii) S

i)  $\frac{80}{4}$  pies = 20 pulgadas.

ii) 8,5 pies = 102 pulg./pie 1/ 2 20 pulg. 112 pulg.

iii) 8 pies = 96 pulg./pie 6 pulg. 102 pulg. Gobierna

El ancho efectivo de la brida debe ser = 102 pulg.

$$= 33000 E_c W$$

Diseño LRFD  
Ec. 5.4.2.4-1

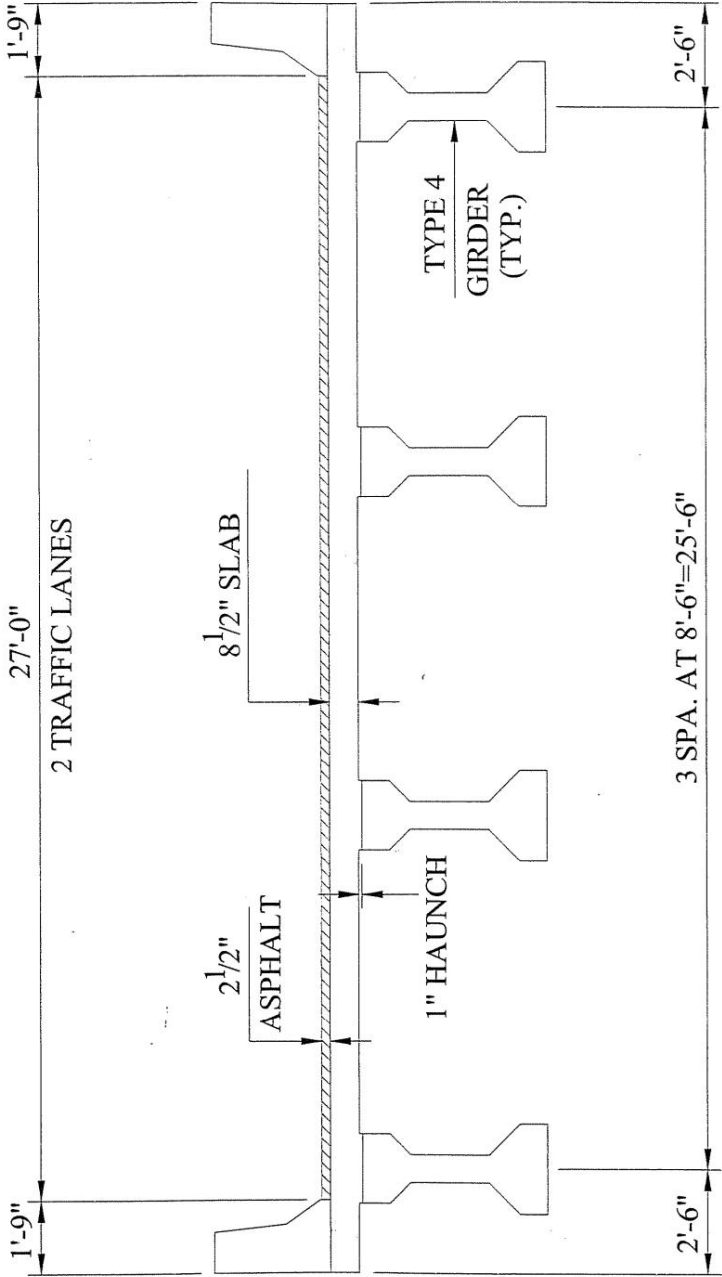
Para cubierta,  $E_c = 33000 \times 1,145^{1,5} \sqrt{3,64} = 4,07 \times 10^4$  ksi

Para viga P/S,  $E_c = 33000 \times 1,145^{1,5} \sqrt{5,0} = 4,07 \times 10^4$  ksi

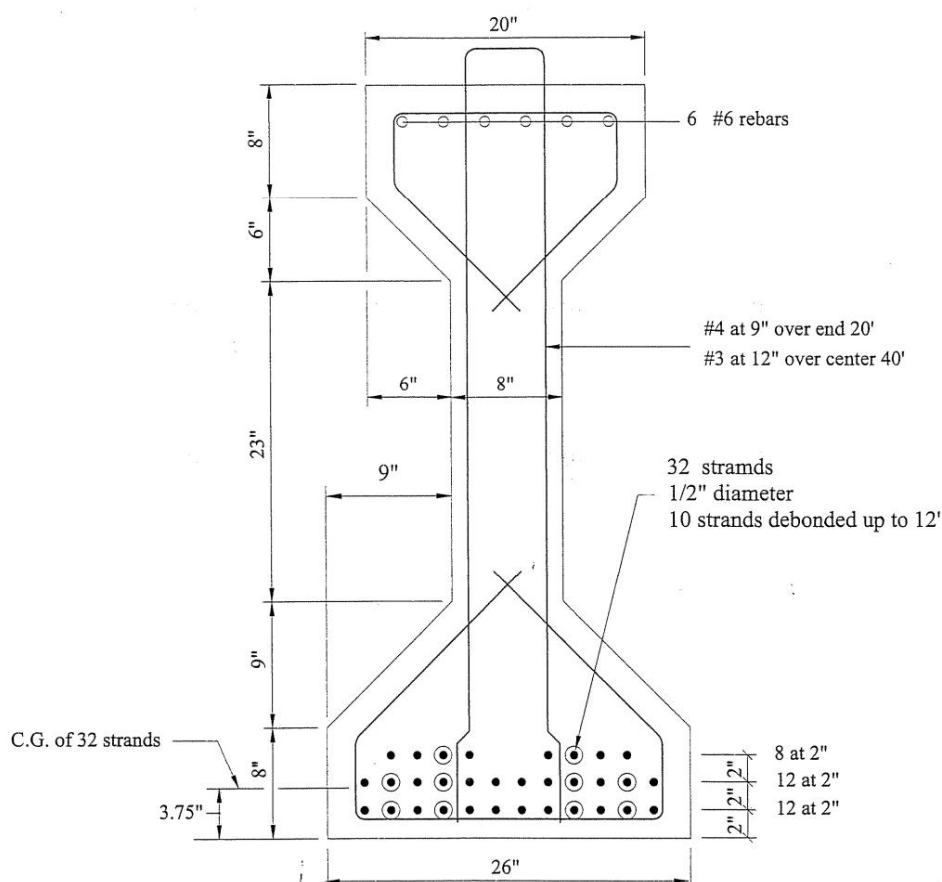
$$\text{relación modular, } n = \frac{E_c}{E_s} = \frac{3,64 \times 10^4}{4,07 \times 10^4} = 0,89$$

Ancho transformado,  $b = n \bar{a}_{ins}$  102 pulg. 0,89 90,8 pulg.

BBA



SINGLE SPAN P/S I-GIRDER BRIDGE  
EXAMPLE A3



TYPE 4 GIRDER EXAMPLE A3

Figura A3.1-2 Sección transversal: viga interior Viga en I tipo 4 AASHTO

## A3.2—Resumen de las propiedades de la sección

Viga tipo 4:

 $h = 54$  pulg. $A = 789$  pulg.<sup>2</sup> $I = 260,730$  pulgadas<sup>4</sup> $Y_b = 24,73$  pulgadas. $S_b = 10,543$  pulgadas<sup>3</sup> $St = 8,908$  pulg.<sup>3</sup>

## Sección compuesta

	Área, pulg. <sup>2</sup>	y, en.	Sí	d	Anuncio2 pulg. <sup>4</sup>	I0 pulg. <sup>4</sup>
Haz P/S	789	24,73	19512	17.07	229903	260730
Losa	772	59,25	45741	17.45	235076	4647
Totales	1561		65253		464979	265377



Área de losa = 8,5 pulg. × 90,8 pulg. = 772 pulg.2 (utiliza el espesor total de la losa de la plataforma)

losa \_ = 54 pulg. + 1 pulg. + 1/2 × 8,5 pulg. = 59,25 pulg. (incluye cartela de 1 pulg.)

y = 65253 ÷ 1561 = 41,80 pulgadas.

d = y - y

bot y = y = 41,80 pulgadas. arriba y = h - y = 54 pulg. - 41,80 pulg. = 12,20 pulg.

Ol losa =  $\frac{bh^3}{12} = \frac{90,8 \times 8,5^3}{12} = 4,647 \text{ pulgadas}^4$

I<sub>comp</sub> =  $\sum I_0 + Anuncio^2 = 464979 + 265377 = 730356 \text{ pulgadas}^4$

sb =  $\frac{I}{y_{bot}} = 730356 \div 41,80 = 17473 \text{ pulg.}^3$  (Parte inferior de la viga)

Calle =  $\frac{I}{y_{arriba}} = 730356 \div 12,20 = 59865 \text{ pulgadas.}$  (Parte superior de la viga)

A3.3—Análisis de carga muerta—Viga interior

A3.3.1—Componentes y accesorios, DC

A3.3.1.1—Cargas muertas no compuestas, DC1

Peso propio de la viga: = 0,822 kip/pie Manual de diseño PCI

Diafragmas: = 0,150 kip/pie

Posterior de losa:

$\frac{1 \text{ pulg.} \times 20 \text{ pulgadas} \times 8,5 \text{ pies} \times 12 \text{ pulgadas/pie}}{144 \text{ pulgadas}^2/\text{pies}} = 0,15 \text{ kip/pie}$

Total por viga DC1 = 1,90 kip/pie

V =  $\frac{1,90 \text{ kips/pie} \times 80 \text{ pies}}{2} = 76 \text{ kilos}$  en soporte

METRO =  $\frac{1}{8} \times 1,90 \text{ kips/pie} \times 80 \text{ pies}^2 = 1520 \text{ kip-pie}$  En la mitad del tramo

A3.3.1.2—Carga muerta compuesta, DC2

Barreras de hormigón: Diseño LRFD 4.6.2.2.1

Suponiendo una distribución igual entre 4 haces

( )  $\frac{0,500 \text{ kip/pie}}{4} = 0,125 \text{ kip/pie}$

80 kips/pie  $\times 0,125 \text{ kips/pie} = 10 \text{ kips/pie}$  en soporte

1 MD  $\frac{0,25 \text{ kip/pie} \times 80 \text{ pies}}{2} = 10 \text{ kip-pie}$  En la mitad del tramo

A3.3.2—Superficie de desgaste, DW

Superposición de asfalto:  $\frac{2,5 \text{ pulgadas}}{12 \text{ pulgadas/pie}} \times 27 \text{ pies} = 0,144 \text{ kcf} \times 4 \text{ vigas} = 0,203 \text{ kip/pie} =$

El espesor de la superposición no se midió en el campo.

Utilice  $V_{DW} = 1.5$

$V_{DW} = 0,203 \text{ kips/pie} \times \frac{80 \text{ pies}}{2} = 8,12 \text{ kips}$

en soporte

$METRO_{DW} = \frac{1}{8} \times 0,203 \text{ kip/pie} \times 80^2 = 162 \text{ kip-pie}$

En la mitad del tramo

A3.4—Análisis de carga viva—Viga interior

A3.4.1—Calcular los factores de distribución de carga viva, g

Sección transversal AASHTO LRFD tipo (k)

Diseño LRFD  
Tabla 4.6.2.2.1-1

Parámetro de rigidez longitudinal, kg:

$k_{\text{mi}} = \frac{m_B}{m_D} \left( \frac{4.07 \times 10^3 \text{ ksi}}{3,64 \times 10^3 \text{ ksi}} \right)^2 = 1.12$

$A = 789 \text{ pulgadas}^4$

$I = 260730 \text{ pulgadas}^4$

$l = 80 \text{ pies}$

$t_s = 8,5 \text{ pulgadas}$

$e_{gts} = \text{canto de viga} + \text{anca} / 2$

$m_i = (54 \text{ pulgadas} + 1) + \frac{8.5}{2}$

$= 34,52 \text{ pulgadas}$

$k_{\text{mi}} = 1,12 (260730 + 789 \times 34,52^2)$

$= 1345038 \text{ i}_{\text{orte}}^4$

$\frac{k_{\text{mi}}}{3 \times 12 \times 80 \times 8,5} = \frac{1345038}{12 \times 80 \times 8,5} = 2,28$

A3.4.1.1—Factor de distribución del momento, gm (Tabla de diseño LRFD 4.6.2.2.2b-1)

Un carril cargado:

$$g_{m1} = 0,06 + \frac{S}{14} + \frac{S}{l} + \frac{k}{12.0 \cdot S^3}$$

$$= 0,06 + \frac{8,5}{14} + \frac{8,5}{80} + (2.28)^{0.1}$$

$$= 0.514$$

Dos o más carriles cargados:

$$g_{m2} = 0,075 + \frac{S}{9.5} + \frac{S}{l} + \frac{k}{12.0 \cdot S^3}$$

$$= + \frac{8,5}{9.5} + 0,075 + \frac{8,5}{80} + (2.28)^{0.1}$$

$$= 0,724$$

usar  $g_m = 0,724$

A3.4.1.2—Factor de distribución de corte, gv (Tabla de diseño LRFD 4.6.2.2.3a-1)

Un carril cargado:

$$v_{1g} = 0,36 + \frac{S}{25}$$

$$= 0,36 + \frac{8,50}{25}$$

$$= 0,70$$

Dos o más carriles cargados:

$$v_{2g} = 0,2 + \frac{SS}{12 \cdot 35} - \frac{S^2}{35}$$

$$= 0,2 + \frac{8,5 \cdot 8,5}{12 \cdot 35} - \frac{8,5^2}{35}$$

$$= 0,849$$

utilizar  $g_v = 0,849$

## A3.4.2—Calcular los efectos máximos de la carga viva

## A3.4.2.1—Carga viva máxima de diseño (HL-93)—Momento en la mitad del tramo

Nota: La regla general para tramos simples que soportan cargas concentradas en movimiento establece que el máximo El momento flector producido por el movimiento de cargas concentradas ocurre bajo una de las cargas cuando esa La carga está tan lejos de un soporte como lo está el centro de gravedad de todas las cargas móviles sobre la viga. el otro soporte. Debe entenderse que localizar la sección crítica precisa y la posición de carga La clasificación depende de la influencia combinada de la carga muerta, la carga viva, la capacidad del miembro y la carga. factores que componen la ecuación general del Factor de Calificación. Por simplicidad y con fines ilustrativos. únicamente, el momento en la mitad del tramo se utiliza para aproximarse mucho al momento máximo. Ver también Ejemplo A1, que ilustra que para una viga con una capacidad de sección constante en toda la región de momento máximo y una luz larga, el factor de clasificación resultante obtenido mediante un análisis refinado produce sólo una pequeña diferencia en comparación con el factor de calificación obtenido del momento máximo aproximado en la mitad del tramo.

Calculado por estática con la carga centrada en el centro del vano:

$$\text{Momento de carga del carril de diseño} = 0,64 \text{ klf} \times \frac{(2 \times 80 \text{ pies})}{8} = 512 \text{ kip-pie}$$

$$\text{Momento de diseño del camión} = \frac{\left( \frac{8 \times 32 \times 40 \text{ pies}}{80 \text{ pies}} \right) + \left( \frac{26 \times 32 \times 80 \text{ pies}}{4} \right)}{4} = 1160 \text{ kip-pie Gobierna}$$

$$\text{Momento de los ejes en tandem} = 25 \times 38 \text{ pies} = 950 \text{ kip-pie}$$

$$\text{IM} = 33\%$$

Tabla de diseño  
LRFD 3.6.2.1-1

$$\text{MLL} + \text{IM} = 512 + 1160 \times 1,33$$

$$= 2054,8 \text{ kip-pie}$$

Momento de carga viva distribuida en el medio del tramo:

$$\begin{aligned} \text{METRO LL IM} + &= 2054,8 \times \frac{1}{1,33} \\ &= 2054,8 \times 0,724 \\ &= 1487,7 \text{ kip - pies} \end{aligned}$$

## A3.5—Calcule la resistencia a la flexión nominal en la mitad del tramo

$$f_{ps} = \frac{f_{pu}}{1 + \frac{C}{e}} \quad \text{Ec. de diseño}$$

LRFD. 5.7.3.1.1-1

$k = 0,28$  para cordones de baja relajación

$$f_{pu} = 270 \text{ ksi}$$

$d_p$  = distancia desde la fibra de compresión extrema al centroide del pretensado tendones

	Hilos	y	Hebras × y
Capa 1	12	2	24
Capa 2	12	4	48
Capa 3	8	6	48
Total	32		120

$$\bar{y} = \frac{\text{hebras } \gamma}{\text{hebras}} = \frac{120}{32}$$

$\bar{y} = 3,75$  pulgadas de distancia desde la parte inferior de la viga hasta el centroide de los cordones de pretensado

$$d_p = (54 + 18,5) + 3,75 = 59,75 \text{ pulgadas.}$$

$c$  = distancia del eje neutro a la cara de compresión

Para calcular  $c$ , supongamos un comportamiento de sección rectangular. (Desprecie cualquier refuerzo no pretensado).

Dado  $A_{ps} = 0,153 \text{ pulg.}^2$  para  $\frac{1}{2}$  pulg. diámetro de hilos de Baja Relajación:

$$c = \frac{a}{1 + \sqrt{1 + \frac{F_{pu}}{F_{ps}} \left( \frac{A_{ps}}{A_g} \right)}}$$

Diseño LRFD  
Ec. 5.7.3.1.1-4

$$A_{ps} = 0,153 \text{ pulg.}^2 = 4,896 \text{ pulg.}^2$$

$$b = \text{ser} = 102 \text{ pulg.}^2 \text{ (ancho efectivo de brida de la plataforma)}$$

$$f'_c = 4,0 \text{ ksi} \quad (\text{Resistencia del hormigón de la plataforma})$$

$$\beta_1 = 0,85$$

$$c = \frac{4,896 \text{ pulg.}^2 \times 270 \text{ ksi}}{0,85 \times 4,0 \text{ ksi} \times 0,85 \times 102 \text{ pulg.}^2 + 4,896 \text{ pulg.}^2 \times 270 \text{ ksi}} = 8,5 \text{ pulgadas.}$$

Diseño LRFD 5.7.2.2

$$a = \beta_1 c = 0,85 \times 4,39 = 3,73 \text{ pulgadas} < t_s = 8,5 \text{ pulgadas.} \quad \text{Diseño LRFD 5.7.2.2}$$

Por tanto, el supuesto de comportamiento de la sección rectangular es válido.

$$F_{PD} = -270 \times 0,28 \times \frac{4,39}{59,75} = -264,4 \text{ ksi}$$

Resistencia nominal a la flexión (medio tramo):

Ec. de diseño LRFD. 5.7.3.2.2-1

$$M_n = \phi_s \phi_p \left( A_{ps} f_{ps} d + \frac{A_g f'_c (d - c)^2}{2} \right)$$

$$= 0,9 \times 0,65 \times \left( 4,896 \times 264,4 \times 59,75 + \frac{0,28 \times 4,0 \times (59,75 - 8,5)^2}{2} \right)$$

$$= 6244,4 \text{ kip-pie}$$

### A3.6—Refuerzo máximo

6A.5.6

La resistencia factorizada (factor  $\phi$ ) de secciones controladas por compresión.

C6A.5.6

se reducirá de acuerdo con el Artículo 5.5.4.2.1 de Diseño de LRFD.

Este enfoque limita la capacidad de las estructuras sobrerreforzadas (compresión) controladas).

La deformación neta por tracción,  $\epsilon_t$ , es la deformación por tracción con resistencia nominal y determinado por la compatibilidad de cepas utilizando triángulos similares.

Diseño LRFD C5.7.2.1

Dada una deformación del hormigón permitida de 0,003 y una profundidad al eje neutro  $c = 4.39$  pulgadas y una profundidad desde la fibra de compresión extrema del concreto al centro de gravedad de los cordones de pretensado  $d_p = 59,75$  pulg.

Diseño LRFD C5.7.2.1

$$\frac{\epsilon_c}{\epsilon_t} = \frac{c}{d_p - c}$$

Compara para el concreto y el pretensado en la deformación

$$\frac{0.003}{\epsilon_t} = \frac{4.39 \text{ pulgadas}}{59.75 \text{ pulgadas} - 4.39 \text{ pulgadas}}$$
$$\epsilon_t = 0.0378$$

Para  $\epsilon_t = 0.0378 > 0.005$ , la sección está controlada por tensión y El factor de resistencia  $\phi$  se tomará como 1,0.

Diseño LRFD 5.7.2.1, 5.5.4.2

$$P_{Af} = P_{pi} - P_{pe}$$

Pérdidas totales de pretensado  $\Delta A = A_{pi} - A_{pe}$  inmediatamente antes de la transferencia  $p_T$   $p_{ES}$   $p_{LT}$

Diseño LRFD Ec. 5.9.5.1-1

$$\text{Pretensado efectivo } f = \frac{\text{Pretensado inicial} - \text{Pérdidas totales de pretensado}}{A_{pe}}$$

A3.7—Refuerzo mínimo

6A.5.7

La cantidad de refuerzo debe ser suficiente para desarrollar  $M_r$  igual al menor de:

Diseño LRFD 5.7.3.3.2

1,2  $M_{cr}$  o 1,33  $M_u$

Carga	Factor de carga, $\gamma$
carga muerta	1,25
DW	1,50
LL	1,75

Tablas de diseño LRFD 3.4.1-1, 3.4.1-2

$$SEÑOR = \frac{M_{cr}}{S_{xe}} = \frac{(1.0) (6244.4 \text{ kip-pie})}{6244.4 \text{ kip-pie}}$$

$$1. \ 1,33 M_u = 1,33 [1,75 (1487,7) + 1,25 (1520 \ 200) + 1,5 (162)]$$

$$= 6645,3 \text{ kip-pie} > 6244,4 \text{ kip-pie}$$

No es bueno

6A.5.7, Ec. de diseño LRFD. 5.7.3.3.2-1

$$2. \ M_{cr} = \frac{S_{xe} f_r}{S_{xc}} = \frac{S_{xe} f_r}{S_{xc}} \cdot 1 \cdot S_{xc}$$

$$m_{dnc} = \frac{M_{cr}}{S_{xc}} = \frac{MDC \text{ de } 1520 \text{ kip-pies}}{S_{xc}} = 17473 \text{ pulg.}^3$$
$$s_{nc} = 10543 \text{ pulgadas}^3$$

Módulo de ruptura

$$f_r = 0,37 \sqrt{f_c}$$
$$= 0,37 \sqrt{5} = 0,827 \text{ ksi}$$

Diseño LRFD 5.4.2.6

$f_{cpe}$  = esfuerzo de compresión en el hormigón debido al pretensado efectivo  
 fuerza (después de tener en cuenta todas las pérdidas de pretensado) en extremos  
 Fibra de sección donde la tensión de tracción es causada por factores externos.  
 cargas aplicadas.

$$F_{cpe} = + \frac{P_{pe} P_{pe}}{COMO_b}$$

donde  $P_{pe}$  = Fuerza efectiva de pretensado

A3.7.1—Determinar la fuerza de pretensado efectiva,  $P_{pe}$

$$P_{pe} = P_{ps} - P_{pe}$$

Pérdidas totales de pretensado,  $P_{pe} = P_{ps} - P_{pe}$  inmediatamente antes de la transferencia  $P_T$   $P_{ES}$   $P_{LT}$

Diseño LRFD

Ec. 5.9.5.1-1

Pretensado efectivo  $f =$  Pretensado inicial – Pérdidas totales de pretensado

A3.7.1.1—Pérdida debida a acortamiento elástico y/o cargas externas,  $\Delta f_{pes}$

Diseño LRFD 5.9.5.2.3a

$$\Delta f_{pes} = \frac{m_i}{m_i} F_{cgp}$$

$$F_{cgp} = \frac{P_{pe} M_i m_i^2}{A I} \text{ y } \pm \frac{\sigma}{I}$$

Pretensado inicial inmediatamente antes de la transferencia = 0,75 fpu para cordones  
 de pretensado de baja relajación

Diseño LRFD

Tabla 5.9.3-1

Para estimar  $P_i$  inmediatamente después de la transferencia, utilice 0,90 (0,75 fpu)

Diseño LRFD 5.9.5.2.3a

$$P_i = 0,90 (0,75 \times 270 \text{ ksi}) \times 32 \times 0,153 \times \times$$

$$= 892,3 \text{ kips}$$

MD = Momento debido al peso propio del miembro en la sección de máximo  
 Momento (medio tramo)

$$= \frac{1}{8} \times 0,822 \times 80^2$$

$$= 657,6 \text{ kip-pie}$$

$Y_b = 24,73$  sección básica de la viga

$y = 3,75$  pulgadas de distancia desde la parte inferior de la viga hasta el centroide de los cordones de pretensado

$$e = 24,73 - 3,75 = 20,98 \text{ pulgadas.}$$

$$P_i = 0,90 \times (0,75 \times 270 \text{ ksi}) \times 32 \times 0,153$$

excentricidad de los cordones P/S del CG de la viga

$$F_{cgp} = \frac{2.892,3 \cdot 892,3 \cdot 20,98 \cdot 657,6 \cdot 12 \cdot 20,98}{789 \cdot 260741} \times \times$$

$$= 1,131 \cdot 1,506 \cdot 0,635$$

$$= 2.002 \text{ kilos}$$

Diseño LRFD 5.4.4.2

$$E_p = 28500 \text{ ksi}$$

$$\text{etc.} = 33000 \left( \frac{1}{\sqrt{c_i}} \right)^{1.5}$$

$$= 33000 (0,145)^{1.5} \sqrt{4.0}$$

$$= 3644 \text{ ksi}$$

Diseño LRFD  
Ec. 5.4.2.4-1

$$\Delta_f \times \frac{28500}{p_{ES} 3644}$$

Diseño LRFD  
Ec. C5.9.5.2.3a-1

$$= 15.658 \text{ ksi}$$

A3.7.1.2—Estimación aproximada de la suma global de  
Pérdidas,  $\Delta f_{pLT}$

Las pérdidas dependientes del tiempo incluyen la contracción del hormigón, la fluencia del hormigón y relajación del acero. Para estimaciones refinadas:

$$\Delta f_{pLT} = \Delta f_{pLT} + \Delta f_{pSR} + \Delta f_{pCR} + \Delta f_{pSD} + \Delta f_{pCD} + \Delta f_{pID} + \Delta f_{pPR} + \Delta f_{pPS} + \Delta f_{pDF}$$

Diseño LRFD  
Ec. 5.9.5.4.1-1

Para I-Girders, las pérdidas dependientes del tiempo se pueden aproximar mediante:

Diseño LRFD 5.9.5.3

$$\Delta f_{pLT} = 10,0 \left( \frac{f_{ps}}{A_s} \right) \left( 12,0 \gamma + \gamma_{inst} + \Delta f_{PR} \right)$$

Diseño LRFD  
Ec. 5.9.5.3-1

$$\text{donde } \Delta f_{pLT} = 1,7 \cdot 0,01 \gamma h$$

Diseño LRFD  
Ec. 5.9.5.3-2

Suponiendo una humedad relativa H que oscila entre el 40 y el 100 por ciento.

Para este ejemplo, suponga H = 70% o consulte la Figura de diseño LRFD 5.4.2.3.3-1

$$= 1,7 \cdot 0,01(70) \cdot 1,0 \gamma h$$

y:

Diseño LRFD  
Ec. 5.9.5.3-3

$$\gamma_{inst} = \frac{5}{1 + f + c_i}$$

$$\text{punto } \gamma = \frac{5 \cdot 1,0}{1 + 4}$$

y:

$$\Delta f_{PR} = f \text{ una estimación de la pérdida de relajación}$$

$$\Delta f_{PR} = f \cdot 2,5 \text{ ksi}$$



A-98

EL MANUAL PARA LA EVALUACIÓN DE PUENTES

y:

$$\Delta f_{PT} = 0,75 \times 270 \times 2,5 \text{ ksi} =$$

entonces:

$$\Delta f = 10,0 \times p_{LT} \frac{202,5 (32 \cdot 0,153) 789}{\times 1,0 \times 1,0 + 12,0 \cdot 1,0 \cdot 1,0 \cdot 2,5}$$

$$\Delta f_{Lfr} = 27.07 \text{ ksi}$$

A3.7.1.3—Pérdidas totales de pretensado,  $\Delta f_{PT}$ 

$$\Delta f_{PT} = \Delta f_{f_{ps}} + p_{LT}$$

$$= 15.658 + 27.07$$

$$= 42,73 \text{ kilos}$$

f = Pérdidas totales de pretensado inicial

$$= 0,75 \times 270 \times 42,73 = 159,77 \text{ ksi}$$

$$E_{pp} = 159,77 \times 32 \cdot 0,153$$

$$= 782,2 \text{ kips}$$

Sustituir en:

$$F_{pb} = \frac{P_{pe}}{C_{OMO}} + \frac{P_{pe}}{C_{OMO}}$$

$$= \frac{782,2 (782,2) 20,98 ( )}{789 + 10543}$$

$$= 2.548 \text{ ksi}$$

Diseño LRFD  
Ec. 5.9.5.1-1

$$M_{cr} = M_{cr} \left( 1 + \frac{S_c}{S_{cr}} \right)^{-1} \quad \text{donde } \frac{S_c}{S_{cr}} = \frac{17473}{10543} = 1.657$$

Ec. de diseño  
LRFD. 5.7.3.3.2-1

$$S_{cr} = M_{cr} \left( 1 + \frac{S_c}{S_{cr}} \right)^{-1} \quad \text{donde } \frac{S_c}{S_{cr}} = 1$$

$$\left( \frac{0.827}{12} \right) (2,548) + 1520 = 13915,2 \text{ kip-pie} \quad \frac{17473}{10543} = 1.657$$

$$S_{cr} = \frac{17473}{12} = 1456,1 \text{ kip-pie}$$

Por lo tanto,  $M_{cr} = 3915,2 \text{ kip-pie}$  y

$$1.2 \times M_{cr} = 1.2 \times 3915,2 \text{ kip-pie} = 4698,2 \text{ kip-pie}$$

$$1,33 \text{ millones de lb} = 6645,3 \text{ kip-pie (calculado previamente)}$$

$$1,2 \times M_{cr} = 4698,2 \text{ kip-pie} \quad \text{por lo tanto, } M_{cr} \text{ gobierna}$$

$$M_{cr} = 6244,4 \text{ kip-pie (calculado previamente)}$$

6A.5.7

$$M_{cr} = 6244,4 \text{ kip-pie} > 4698,2 \text{ kip-pie OK}$$

Se cumple la prueba de refuerzo mínimo.

### A3.8—Calcule la resistencia al corte nominal en la primera sección crítica

Nota: El Artículo 6A.5.9 de este Manual no requiere una evaluación de corte para el carga de diseño y cargas legales si el puente no muestra signos visibles de deterioro por corte. Los cálculos de corte que se muestran aquí para HL-93 tienen fines ilustrativos únicamente.

Ubicación de corte:

La sección crítica para corte cerca de los soportes es la mayor entre  $d_v$  o  $0,5d_v \cot \theta$  desde la cara del apoyo.

Diseño LRFD 5.8.3.2

Profundidad de corte efectiva,  $d_v$ :

Diseño LRFD 5.8.2.9

Máximo de:

i) distancia entre las resultantes de las fuerzas de tracción y compresión

ii)  $0,9d_e$

iii)  $0,72h$

La primera sección crítica, mediante inspección, estará dentro de la región del extremo despegado de 12 pies. Se han despegado diez mechones en los extremos.

$$c = \frac{u_{pu} f_{pu}}{0,85 f_c' PD \frac{F_{pu}}{dp}}$$

Ec. LRFD. 5.7.3.1.1-4

$$A_{ps} = (32 \text{ hilos})(0,153 \text{ pulgadas})^2$$
$$b = \text{ser} = 102 \text{ pulg.} \quad (\text{Ancho efectivo del ala de la plataforma})$$
$$\beta_1 = 0,85$$
$$f_c' = 4,0 \text{ ksi} \quad (\text{Resistencia del hormigón de la plataforma})$$
$$k = 0,28 \text{ para cordones de baja relajación}$$

fpu = 270 ksi

	Hilos	y	Hebras × y
Capa 1	8	2	16
Capa 2	8	4	32
Capa 3	6	6	36
Total	22		84

$y = \frac{\text{hebras} \times y}{\text{hebras}} = \frac{84}{22}$

distancia desde la parte inferior de la viga hasta el centroide de 22 hilos = 3,82 pulg.

dp = (54 1 + 8,5) 3,82 59,68 pulg.

$$c = \frac{3,366 \text{ pulgadas}^2 \times 270 \text{ ksi}}{0,85 \times 4,0 \text{ ksi} + 0,85 \times 102 \text{ pulg.} \times 0,28 \times 3,366 \text{ pulg.} \times \frac{270 \text{ ksi}}{59,68 \text{ pulgadas.}}}$$

c = 3,04 pulgadas. ca = β ± 2,58 pulgadas.

dv = 59,68 -  $\frac{2,58}{2}$  = 58,4 pulgadas.

Para establecer la sección de corte crítica supongamos: θ = 30°, una suposición alta es conservadora.

$0,5 \text{ una } \theta (0,5) (d_v) (\text{cuna } 30^\circ)$   
 $= 0,87 d_v < d_v$

Distancia desde la cara del soporte hasta la línea central del rodamiento = 6 pulgadas (almohadillas de rodamiento de 12 pulgadas)

Distancia desde la línea central del rodamiento hasta la sección de corte crítica:

$$= 58,4 \text{ pulg.} + 6 \text{ pulg.}$$
$$= 64,4 \text{ pulgadas.}$$
$$= 5,37 \text{ pies}$$

Diseño LRFD 5.11.4

## A3.9—Corte máximo en la sección crítica cerca de los soportes

Calculado mediante estática con las cargas aplicadas a no menos de 5,37 pies de los soportes.

$$V_{\text{TÁNDEM}} = 25 \text{ k} \times \frac{(74,63 \text{ pies} + 70,63 \text{ pies})}{80 \text{ pies}} = 45,4 \text{ kips}$$

$$V_{\text{CAMIÓN}} = \frac{32 \text{ k} (74,63 \text{ pies} + 60,63 \text{ pies}) + 4 \text{ k} (46,63 \text{ pies})}{80 \text{ pies}} = 58,8 \text{ kips (Gobierna)}$$

$$V_{\text{CARRIL}} = \frac{0,64 \text{ klf} (74,63 \text{ pies})^2}{2 \times 80 \text{ pies}} = 22,3 \text{ kips}$$

$$\text{SOY} = 33\%$$

$$= 45,4 \text{ kips}$$

$$\text{corte total} = VV_{1.33} + \text{CAMIÓN DE} = 100,5 \text{ kips}$$

$$VLL \text{ IM+ distribuido} = 100,5 \text{ kips} \times 0,849 = 85,3 \text{ kips}$$

Cizallas de carga muerta:

De A3.3.1, DC1 = 1,90 kip/pie y DC2 = 0,25 kip/pie

De A3.3.2, DW = 0,203 kip/pie

$$VCC = (1,90 \text{ klf} + 0,25 \text{ klf}) (0,580 \text{ pies} + 5,37 \text{ pies})$$

$$VDW = (0,203 \text{ klf}) (0,580 \text{ pies} + 5,37 \text{ pies}) = 7,03 \text{ kips}$$

## A3.10—Calcule la resistencia al corte nominal

La resistencia nominal al corte  $V_n$  será la menor de:

$$V_n = V_c + V_s$$

$$V_c = 0,25 f_{cdv} b_d v$$

$$V_s = 0,0 \text{ ya que se proporcionan tendones rectos}$$

La sección crítica para corte cerca del soporte está a 64,4 pulgadas desde la línea central del rodamiento (dentro de la longitud despegada). Refuerzo transversal proporcionado en sección crítica: estribos verticales #4 a 9 pulgadas. espaciamentos.

Refuerzo transversal mínimo

Diseño LRFD 5.8.2.5

ancho efectivo de red,  $b_v = 8 \text{ pulg.}$

$$\text{distancia entre estribos, } s = 9 \text{ pulg.}$$

$$\text{Barra de refuerzo de grado 60, } f_y = 60 \text{ ksi}$$

Ecuaciones de  
diseño de LRFD. 5.8.3.3-1, 5.8.3.3-2

$$\begin{aligned}
 AV &= 0,0316 \sqrt{F_c \frac{b_s}{F_y}} \\
 &= 0,0316 \sqrt{\frac{(8)(9)}{60}} \\
 &= 0,0815 \text{ pulgadas}^2
 \end{aligned}$$

$$\text{Área proporcionada 2 patas} \times 0,20 \text{ pulg.}^2 = 0,40 \text{ pulg.}^2 > 0,0815 \text{ pulg.}^2$$

DE ACUERDO

$$V_c = 0,0316 \beta \sqrt{f_{cv}}$$

Ec. de diseño LRFD. 5.8.3.3-3

$$V_s = \frac{A_{fd} \csc \theta}{s} \quad \text{para } \alpha = 90^\circ$$

Ec. de diseño LRFD. 5.8.3.3-4

$$0,25 f_c A_{cv} = 0,25 \times 4 \text{ pulg.} \times 0,584 \text{ kips} + =$$

Ec. de diseño LRFD. 5.8.3.3-2

Estas ecuaciones se basan en la teoría del campo de compresión modificada.

C6A.5.9

(MCFT) y requieren la determinación de  $\beta$  y  $\theta$  mediante análisis detallado. Se puede utilizar un análisis simplificado usando  $\theta = 45^\circ$  y  $\beta = 2,0$  para una estimación inicial. evaluación antes de recurrir al MCFT, si es necesario, para posibles mejoras capacidad de corte.

### A3.10.1—Enfoque simplificado

$$\theta = 45^\circ \quad \beta = 2,0$$

$$0,0316 \beta \sqrt{f_{cv}} \text{ Concreto:}$$

$$\text{Ancho de banda efectivo: } b_v = 8 \text{ pulg.}$$

$$\text{Profundidad de corte efectiva: } d_v = 58,4 \text{ pulgadas.}$$

$$\begin{aligned}
 V_c &= (0,0316)(2,0) \sqrt{(8)(58,4)} (5,0) \\
 &= 66,0 \text{ kips}
 \end{aligned}$$

Acero:

$$V_s = \frac{A_{fd} \csc \theta}{s}$$

#4 a 9 pulgadas.

$$A_v = 2 \times 0,20 \times 0,40 \text{ pulg.}^2$$

$$V_s = \frac{(0,40)(60)(58,4) \csc 45^\circ}{9}$$

$$= 155,7 \text{ kips}$$

Resistencia nominal total al corte,  $V_n$ :

$$V_n = + \text{csp} \quad 66,0 \text{ kips} + 0,0 \text{ kips} = 66,0 \text{ kips}$$

$$221,7 \text{ kips} + 58,4 \text{ kips}, \quad V_n = 221,7 \text{ kips}$$

$$\phi V_n = 0,9 \times 221,7 = 199,5 \text{ kips}$$

Cortes máximos distribuidos en la sección crítica (HL-93 Inventory Cargando):

$$V_{LL \text{ IM+}} = 85,3 \text{ kips}$$

$$V_{CC} = 74,5 \text{ kips}$$

$$V_{DW} = 7,03 \text{ kips}$$

Carga	Factor de carga $\gamma$
corte continuo	1,25
DW	1,50
LL	1,75

Tablas de diseño  
LRFD 3.4.1-1, 3.4.1-2

Corte factorizado:

$$V_u = (1,75)(85,3) + (1,25)(74,5) + (1,5)(7,03) = 252,8 \text{ kips} > 199,5 \text{ kips} < 252,8 \text{ kips} \text{ No es bueno}$$

Pruebe el enfoque MCFT.

### A3.10.2—Enfoque MCFT

Diseño LRFD  
Ec. 5.8.2.9-1

Esfuerzo cortante sobre el hormigón:

$$v = \frac{V_u V_n}{b d_v} = \frac{252,8}{(0,9)(8)(58,4)} = 0,601 \text{ ksi}$$

$$\frac{v}{F_c} = \frac{0,601}{5,0} = 0,12 < 0,25$$

DE ACUERDO

En la primera sección crítica para corte (64,4 pulgadas desde la línea central de cojinete)

Momentos de carga viva en la primera sección crítica determinados por la estática:

$$\text{Camión} = \frac{32,5 \text{ kips} \left( \frac{74,63 \text{ pies}}{80 \text{ pies}} \right) + 8 \text{ kips} \left( \frac{46,63 \text{ pies}}{80 \text{ pies}} \right)}{1} = 315,6 \text{ kip-pie}$$

$$\text{MLANE} = 0,64 \text{ klf} \times \left( \frac{74,63 \text{ pies}}{2} \right) \times 5,37 \text{ pies} = 119,6 \text{ kip-pie}$$

$$\text{IM+} = 119,6 \text{ kip-pie} + 1,33 \times 315,6 \text{ kip-pie} = 539,6 \text{ kip-pie}$$

Momento distribuido:

$$M_{LL} = 0,724 \cdot 539,3 \cdot 390,5 \text{ kip-pie}$$

Momentos de carga muerta en la primera sección crítica de corte:

$$MDC = 0,5 \cdot (1,90 \text{ klf} \cdot 0,25 \text{ klf}) \cdot (5,37 \text{ pies}) \cdot (80 \text{ pies} - 5,37 \text{ pies}) = 430,8 \text{ kip-pie}$$

$$MDW = 0,5 \cdot (0,203 \text{ klf}) \cdot (5,37 \text{ pies}) \cdot (80 \text{ pies} - 5,37 \text{ pies}) = 40,7 \text{ kip-pie}$$

Carga	Factor de carga, γ
carrito continuo	1,25
DW	1,50
LL	1,75

Diseño LRFD  
Tablas 3.4.1-1, 3.4.1-2

Momento factorizado:

$$\mu = 1,75 \cdot (390,5) + (1,25) \cdot (430,8) + (1,50) \cdot (40,7)$$
  
$$= 1282,9 \text{ kip-pie}$$

Siguiendo el enfoque del diagrama de flujo de diseño de corte de LRFD y la tabla de diseño de LRFD 5.8.3.4.2-1:

Diseño LRFD  
Figura C5.8.3.4.2-5

Longitud de transferencia 60 diámetros de hebra = 30 pulg. < 64,4 pulg.

Como la sección está fuera de la longitud de transferencia, se utiliza el valor total de  $f_{po}$  para calcular la resistencia al corte.

La Teoría de Campos de Compresión Modificada (MCFT) sigue un proceso iterativo:

$$\frac{V}{F_c} = 0,12 \cdot (0,425)^{0,25} \text{ (fila 3 de la Tabla de diseño LRFD 5.8.3.4.2-1)}$$

Diseño LRFD  
Figura C5.8.3.4.2-5,  
Tabla de diseño  
LRFD 5.8.3.4.2-1

Supongamos que  $\theta = 21,9^\circ$  y  $\epsilon = 0,10$  (1000)

De la Tabla de diseño LRFD 5.8.3.4.2-1 (fila 3, columna 2):

$$\theta = 21,9^\circ \quad b = 2,99$$

Calcular  $\epsilon x$ :

Diseño LRFD  
Ec. 5.8.3.4.2-1

Diseño LRFD 5.8.3.4.2

$$\epsilon_x = \frac{\frac{M_{TU}}{d_v} + 0,5 \frac{Cuna}{NV} \left( \frac{A_f}{Arriba} - \frac{A_f}{Abajo} \right)}{2 \left( \frac{EA_{cc}}{L} + \frac{EA_{ps}}{L} \right)} \leq 0.001$$

$$A_{ps} = 22 \times 0,153 = 3,366 \text{ pulgadas}^2$$

$$f_{po} = 0,7 \text{ fpu} = 0,7 \times 270 = 189 \text{ ksi}$$

$$\epsilon_x = \frac{\frac{12 \cdot 1282,9}{58,4} + 0,5 \frac{252,8}{(cuna \cdot 21,9)} (3,366)(189)}{2(4030 + 3,366)}$$

$$= -0,303 \times 10^{-3}$$

Si  $\epsilon_x$  es negativo, se debe recalculer incluyendo la rigidez del hormigón.

$$A_c = \text{Área debajo de } h$$

$$= \frac{1}{2} (8)(26) + \frac{1}{2} (8)(9)(10)(8)$$

$$= 441 \text{ pulgadas}^2$$

Diseño LRFD

Figura 5.8.3.4.2-1

$$\epsilon_x = \frac{\frac{M_{TU}}{d_v} + 0,5 \frac{Cuna}{NV} \left( \frac{A_f}{Arriba} - \frac{A_f}{Abajo} \right)}{2 \left( \frac{EA_{cc}}{L} + \frac{EA_{ps}}{L} \right)}$$

$$\epsilon_x = \frac{\frac{12 \cdot 1282,9}{58,4} + \frac{(0,5)(252,8)(cuna \cdot 21,9)}{(4030)(441) + (3,366)(189)}}{2(4030 + 3,366)}$$

$$= -0,016 \times 10^{-3} \text{ supuesto } \epsilon_x \leq -0,010 \times 10^{-3}$$

Diseño LRFD

Ec. 5.8.3.4.2-3

Supongamos que  $\epsilon_x \leq 0$

De la Tabla de diseño LRFD 5.8.3.4.2-1 (fila 3, columna 4):

$$\theta = \beta = 23,7$$

Calcular  $\epsilon_x$ :

$$\epsilon_x = \frac{\frac{12 \cdot 1282,9}{58,4} + \frac{(0,5)(252,8)(cuna \cdot 23,7)}{(4030)(441) + (3,366)(189)}}{2(4030 + 3,366)}$$

$$= -0,023 \times 10^{-3} < \text{supuesto } \epsilon_x \leq 0$$

DE ACUERDO

Nota  $-0,023 \times 10^{-3} > -0,05 \times 10^{-3}$  (columna adyacente), no hay más interacciones

Calcular  $V_n$ :

$$V_c = 0,0316 \beta \sqrt{f'_c}$$

$$= (0,0316)(2,87) \sqrt{58,4}$$

$$= 94,75 \text{ kips}$$

Diseño LRFD

Ec. 5.8.3.3-3



$$V_s = \frac{A_{fv} \sin \theta}{s}$$

$$= \frac{(0,39)(60)(58,4)(\sin 23,7^\circ)}{9}$$

$$= 345,9 \text{ kips}$$

Diseño LRFD  
Ec. 5.8.3.3-4

Resistencia nominal total al corte:

$$V_{nCS} = +$$

$$= 54,75 + 345,9 + 440,7 \text{ kips}$$

Diseño LRFD  
Ec. 5.8.3.3-1

(frente a 217,8 por método simplificado)

$$0,25 f_{cd} V_u = 584 \text{ kips (calculado previamente)}$$

Diseño LRFD  
Ec. 5.8.3.3-1

$$440,7 \text{ kips} < 584 \text{ kips}, \quad V_n = 440,7 \text{ kips}$$

$$\phi V_n = 0,9 \times 440,7 = 396,6 \text{ kips}$$

### A3.10.3—Verificar el refuerzo longitudinal (Diseño LRFD 5.8.3.5)

Capacidad de tracción del refuerzo longitudinal en el lado de tensión de flexión de  
el miembro deberá ser proporcionado para satisfacer la ecuación de diseño LRFD. 5.8.3.5-1.  
"Cualquier falta de pleno desarrollo será contabilizada".

$$A_{ps} f_{ps} + \geq \frac{|M_u|}{\phi} + \frac{t_u}{c} \left| \frac{t_u}{v} V_{ps} \right| \quad 0,5 \leq t \leq 0,5$$

Diseño LRFD  
Ec. 5.8.3.5-1

Calcule la capacidad de tracción mínima requerida:

$$V_u = 354,8 \text{ kips} \quad \frac{252,8}{0,9} = 280,9 \text{ kips}$$

El lado derecho de la ecuación. 5.8.3.5-1 produce:

$$= \frac{|(1255,9)(12)|}{(58,4)(1,0)} + \frac{252,8}{0,9} \quad 0,5(280,9) \sin 23,7^\circ$$

$$= 578,0 \text{ kips}$$

Duración de la transferencia:

Diseño LRFD 5.11.4.1

$$l_t = 60 \text{ diámetros de hebra}$$

$$= 60 \times 0,5 \text{ pulg.} = 30 \text{ pulg.}$$

Duración del desarrollo:

Diseño LRFD  
Ec. 5.11.4.2-1

$$\geq f_d \left( \frac{P_D}{2/3} \right) \frac{k}{P_D}$$

donde  $k = 1,6$  para miembros pretensados con una profundidad mayor que 24,0 pulgadas.

$$= 2 \times 1,6 (264,4 + 159,77) 0,5 = 126,3 \text{ pulgadas} \geq \times$$

re 3

Los 22 hilos efectivos en la sección crítica de corte están unidos en toda su extensión.

Diseño LRFD 5.11.4.3

longitud de la viga. La sección a 64,4 pulgadas desde la línea central del rodamiento es entre la longitud de transferencia (30 pulgadas desde el extremo de la viga, 26 pulgadas desde la línea central de rodamiento) y la longitud de desarrollo (126,3 pulgadas desde el extremo de la viga, 120,3 pulgadas desde línea central del rodamiento). Utilice un crecimiento lineal en la capacidad de la hebra desde fpe en la longitud de transferencia hasta fps en la longitud de desarrollo.

Diseño LRFD 5.11.4.1

$\ell_{px} = 64,4$  pulgadas a la sección crítica

Diseño LRFD

Ec. 5.11.4.2-3

$$f_{px} = F_{pe} + \frac{f_{ps} - F_{pe}}{\ell_{px}} \left( \ell_{px} - \ell_{tr} \right)$$

$$f_{px} = 159,77 + \frac{64,4 - 30}{264,4 - 159,77} (197,15 - 159,77) = 197,15$$

El lado izquierdo de la ecuación 5.8.3.5-1 produce:

$$= 2 f_{px} A_s = 2 (197,15 \text{ ksi}) (3,366 \text{ in}^2) = 663,6 \text{ kips}$$

$$f_{ps} + \frac{V_u}{A_s} \geq \frac{M_u}{\ell_{tr}} + \frac{0,5 V_u}{\ell_{tr}} \left( \frac{\ell_{tr}}{d} \right) \quad \text{se reduce a} \quad V_u \leq V_s$$

$$663,6 \text{ kips} \geq 578,0 \text{ kips}$$

DE ACUERDO

A3.11—Calcule la resistencia al corte nominal en el cambio de estribo/cuarto de punto (6A.5.9)

C6A.5.9

Es necesario comprobar el corte en varias ubicaciones. Normalmente, los lugares cercanos al Un cuarto de punto podría ser crítico porque el momento correspondiente puede ser bastante bajo.

(20 pies desde la línea central del rumbo)

La profundidad de corte efectiva,  $d_v$ , se basa en 32 hilos.

→ comprobar la duración de la transferencia

Diseño LRFD 5.11.4

60 diámetros de hebra = 30 pulg.

longitud despegada = 12 pies

Los 32 hilos están unidos a: 12 pies + 30 pulgadas = 14,5 pies < 20 pies OK

$$d_v = r_{mi} - \frac{a}{2}$$

Diseño LRFD 5.8.2.9

$$d_v = h_y - \frac{a}{2} = 63,5 - \frac{3,73}{2} = 59,75 \text{ pulg.}$$

$$d_v = r_{mi} - \frac{a}{2}$$

$a = 3,73$  pulgadas (del artículo A3.5 de este ejemplo)

$d_v$  no necesita ser menor que el mayor de los límites mínimos de profundidad de corte efectiva  $0,9d_v$  o  $0,72h$ .

$$d_v = 57,89 \text{ pulgadas} > 0,9 d_v = 53,78 \text{ pulgadas.}$$

$$> 0,72 h = 45,72 \text{ pulg.}$$

Si basamos dv en:

Ec. de diseño  
LRFD. C5.8.2.9-1

$$d_v = \frac{\text{METRO}}{af_{sf} + ps \text{ ps}}$$

incluyendo los efectos del desarrollo, entonces:

$$d_v = \frac{6244,4 \text{ kip-pie } 12 \text{ pulg./pie}}{0,32 \left( 0,153 \text{ pulgadas } 264,4 \text{ ksi} + \times \right)} = 57,89 \text{ pulgadas.}$$

A3.12—Cizalla máxima en el cambio de estribo

(20 pies desde la línea central del rumbo)

para carga HL-93

Calculado por estática con las cargas aplicadas a no menos de 5,37 pies del soporte.

$$VTÁNDEM = k 25 \left( \frac{60 \text{ pies} + 56 \text{ pies}}{80 \text{ pies}} \right) = 36,25 \text{ kips} = 36,25 \text{ kips}$$

$$VCAMION = \frac{32 \text{ k} \left( \frac{60 \text{ pies} + 46 \text{ pies} + 8 \text{ pies}}{80 \text{ pies}} \right)}{32 \text{ pies}} = 45,6 \text{ kips Gobierna}$$

$$VLAN = \frac{0,64 \text{ klf } 60 \text{ pies}}{2 \cdot 80 \text{ pies} \times 2} = 0,002$$

IM = 33%

$$V_L + \text{manejo estándar} = 14,4 + 1,33 \times 45,6 \text{ kips} = 75,05 \text{ kips}$$

$$g \text{ distribuido } v = 0,849$$

$$\text{gramo V} + = 0,849 \times 75,05 = 63,7 \text{ kips}$$

Cizallas de carga muerta:

De A3.3.1, DC1 = 1,90 kip/pie y DC2 = 0,25 kip/pie

De A3.3.2, DW = 0,203 kip/pie

$$VCC = (1,90 \text{ klf } 0,25 \text{ klf } 0,5 \cdot 80 \text{ pies } 20 \text{ pies}) = 38 + 5 = 43 \text{ kips}$$

$$VCC = 38 + 5 = 43 \text{ kips}$$

$$VDW = (0,203 \text{ klf } 0,5 \cdot 80 \text{ pies } 20 \text{ pies}) = 4,1 \text{ kips}$$

$$VDW = 4,1 \text{ kips}$$

Refuerzo transversal mínimo:

Ancho de banda efectivo:

$$bv = 8 \text{ pulg.}$$

Ec. de diseño  
LRFD. 5.8.2.5-1

Espaciado de refuerzo transversal:

$$s = 12 \text{ pulg.}$$

$$A_v = 0,0316 \sqrt{\frac{b_s}{c} \frac{b_s}{F_y}}$$

$$A_v = 0,0316 \sqrt{\frac{(8)(12)}{60}} = 2,113 \text{ pulg.}$$

Área proporcionada 2 # 3 = 2 (0,11) = 0,22 pulg<sup>2</sup> > 0,113 pulg<sup>2</sup>

DE ACUERDO

#### A3.12.1—Enfoque simplificado

$$\theta = 45^\circ$$

$$b = 2,0$$

Concreto:

$$V_c = 0,0316 \sqrt{f'_c} b d_{cv}$$

Ec. de diseño  
LRFD. 5.8.3.3-3

Profundidad de corte efectiva:

$$d_v = 57,89 \text{ pulg.}$$

$$V_c = (0,0316)(2,0) 5,0 \sqrt{(57,89)} \\ = 66,0 \text{ kips}$$

Acero:

$$v_s = \frac{cuna \theta A_f d}{s}$$

#3 a 12 pulgadas.

$$A_v = 2 (0,110) = 0,22 \text{ pulg}^2$$

$$v_s = \frac{(0,22)(60)(57,89) \csc 45^\circ}{12}$$

$$V_s = 63,7 \text{ kips}$$

Resistencia nominal total al corte:

$$V_n = V_c + V_s \\ = 66,0 + 63,7 = 129,7 \text{ kips}$$

$$0,25 f'_c b d_{cv} = 0,25 (5,0) (2,0) (57,89) = 144,7 \text{ kips} \quad + =$$

Ec. de diseño  
LRFD. 5.8.3.3-2

$$129,1 \text{ kips} < 144,7 \text{ kips} \quad V_n = 129,1 \text{ kips}$$

$$\phi V_n = 0,9(129,1) = 116,2 \text{ kips}$$

Vu de corte factorizado:

$$V_u = 1,75 (63,7) + 1,25 (43) + 1,5 (4,1) = 171,4 \text{ kips} + + =$$

$$116,2 \text{ kips} < 171,4 \text{ kips}$$

No es bueno

Pruebe el enfoque MCFT.

### A3.12.2—Enfoque MCFT

Esfuerzo cortante sobre el hormigón:

$$v = \frac{V_u V_c}{b d_v} = \frac{172,6}{(0,9)(8)(57,89)} = 0,414 \text{ ksi}$$

Diseño LRFD  
Ec. 5.8.2.9-1

$$\frac{v}{F_c} = \frac{0,414}{5} = 0,0828 < 0,25$$

DE ACUERDO

En el cambio de estribo:

$$M_{TRUCK} = \frac{k (3 \times 20 \text{ pies} + 60 \text{ pies} + 4 \times 8 \text{ pies} + 20 \text{ pies} + 32 \text{ pies})}{80 \text{ pies}} = 912,0 \text{ kip-pie}$$

$$M_{LANE} = 0,64 \text{ klf} \times \left( \frac{1}{2} \times 60 \text{ pies} \times 20 \text{ pies} \right) = 288 \text{ kip-pie}$$

$$M_{LL} + M_{INSTANTANEO} = 288 \text{ kip-pie} + 1,33 \times 912 \text{ kip-pie} = 1501 \text{ kip-pie}$$

$$g_{M_{LL}} + IM = (0,724) (1501) = 1087 \text{ kip-pie}$$

$$MDC = 0,5 (1,90 \text{ klf} + 0,25 \text{ klf}) (20 \text{ pies}) (80 \text{ pies} - 20 \text{ pies}) = 1290 \text{ kip-pie}$$

$$MDW = 0,5 (0,203 \text{ klf}) (20 \text{ pies}) (80 \text{ pies} - 20 \text{ pies}) = 121,8 \text{ kip-pie}$$

$$\mu_u = 1,75 (1087) + 1,25 (1290) + 1,5 (121,8)$$

$$= 3697,5 \text{ kip-pie}$$

Siguiendo el enfoque del diagrama de flujo de diseño de corte de LRFD y la tabla de diseño de LRFD 5.8.3.4.2-1:

Diseño LRFD 5.8.3.4.2

Comprobar el límite superior de corte  $V_n$

$$0,25 f_{cd} V_u = 0,25 \times 4,15 \times 171,4 \text{ kips} = 176,9 \text{ kips}$$

Ec. de diseño  
LRFD. 5.8.3.3-2

$$\frac{v}{F_c} = 0,0828 \leq 0,100 \text{ (2ª fila)}$$

Diseño LRFD  
Figura C5.8.3.4.2-5,  
Tabla 5.8.3.4.2-1,  
5.8.3.4.2

$$A_{ps} = 32,0 + 153,4 = 185,4 \text{ pulgadas}^2$$

$$f_{po} = 0,7 f_{pu} = 0,7 \times 270 \text{ ksi} = 189 \text{ ksi}$$

$$\epsilon_x = \frac{\frac{M_{TU}}{d_v} + \frac{N_{VAF} \cos \theta}{2(EA_{ss} + p_{ps})} + 0.5 \frac{V_{AF} \cot \theta}{(4.896)(189)}}{\frac{(12)(3697.5)}{57.89} + 0.5(172.6) \cot \theta (4.896)(189)} \leq 0.001$$

$$\epsilon_x = \frac{(12)(3697.5)}{57.89} + 0.5(172.6) \cot \theta (4.896)(189)}{2(0.28500)(4.896)} \leq 0.001$$

$$\epsilon_x = 0.3092 \times 10^{-3} \cot \theta 0.5694 \times 10^{-3}$$

Diseño LRFD  
Ec. 5.8.3.4.2-1

Supongamos  $\epsilon_x \leq 0.125 \times 10^{-3}$  ( $\epsilon_x \times 1000 \leq 0.125$ )

De la Tabla LRFD 5.8.3.4.2-1 (fila 2, columna 5):

$$\theta = 24.9^\circ$$

$$\epsilon_x = 0.3092 \times 10^{-3} \cot 24.9^\circ 0.5694 \times 10^{-3} = 0.0967 \times 10^{-3}$$

El  $\epsilon_x$  calculado es menor que el supuesto pero no menor que el valor de  $\epsilon_x$  adyacente 0.0, la suposición no fue demasiado conservadora

DE ACUERDO

Calcular  $V_n$ :

$$V_c = 0.0316 \beta f_{cd} \sqrt{c_{vV}}$$

Diseño LRFD  
Ec. 5.8.3.3-3

$$V_c = (0.0316)(2.75) 5(8)(57.89) 90.0 \text{ kips}$$

$$V_s = \frac{A_{fv} \cot \theta}{s}$$

Diseño LRFD  
Ec. 5.8.3.3-4

$$V_s = \frac{(0.22)(60)(57.89) \cot 24.9^\circ}{12} = 137 \text{ kips}$$

$$V_{ncs} = 90.0 + 137$$

Diseño LRFD  
Ec. 5.8.3.3-1

$$V_u = 227 \text{ kips}$$

$$0.25 f_{cd} V_u = 578.9 \text{ kips (calculado previamente)}$$

227 kips < 578.9 kips por lo tanto  $V_n = 227$  kips

$$\phi V_n = 0.9 \times 227 = 204.3 \text{ kips}$$

A3.12.3—Verificar el refuerzo longitudinal (Diseño LRFD 5.8.3.5)

$$A_{ps} + A_{syd} \geq \frac{M_{u1}}{f_{vc}} + 0.5 \frac{V_u \cot \theta}{f_{vc}} + \frac{V_u}{f_{vc}} \cot \theta$$

Diseño LRFD  
Ec. 5.8.3.5-1

$$v_s = 137 \text{ kips} \leq \frac{V_u}{0,9} = \frac{172,6}{0,9} = 191,8 \text{ utiliza } 137 \text{ kips}$$

El lado derecho de la ecuación. 5.8.3.5-1 produce:

$$= \frac{(3697,5)(12)}{(57,89)(1,0)} \frac{172,6}{0,9} - 0,5 (137) \text{ cuna } 24,9 = 1032 \text{ kips}$$

Los 20 hilos completamente adheridos se desarrollan completamente en esta ubicación. (pies por segundo = 264,4 ksi). A medida que se despegue una porción de las diez hebras restantes, sus La longitud de desarrollo desde el final de la zona despegada se calcula mediante LRFD. Ecuación de diseño. 5.11.4.2-1 con  $k = 2,0$ .

Diseño LRFD 5.11.4.3

$$\geq d \left( 1 - k_f \frac{2}{3} \right) f_{dpe} b$$

Diseño LRFD  
Ec. 5.11.4.2-1

$$\geq 2 \times \frac{(264,4)(159,77)}{3} = 157,9 \text{ pulgadas } d$$

Verifique que los hilos despegados estén completamente desarrollados en el lugar de cambio del estribo.

$$157,9 \text{ pulgadas} + 12 \text{ pies} = 25,2 \text{ pies} > 20 \text{ pies}$$

Por lo tanto, las hebras no están completamente desarrolladas y se debe determinar el  $f_{ps}$ .

Usando un aumento lineal de  $f_{pe}$  en la longitud de transferencia a  $f_{ps}$  en la longitud de desarrollo

Desde el final de las zonas despegadas

$$= \frac{20 \text{ pies} - 12 \text{ pies}}{12 \text{ pies}} \frac{96 \text{ 30}}{159,77} = 0,667 \times \frac{2880}{159,77} = 11,8 \text{ ksi}$$

$$F = 159,77 \text{ kips} \frac{96 \text{ 30}}{159,77} = 213,8 \text{ kips}$$

Entonces, el lado izquierdo de la Ec. 5.8.3.5-1 produce:

$$= 264,4 \times 22,0 \times 0,153 = 1217 \text{ kips}$$

DE ACUERDO

$$f_{ps} + \frac{|M_N|}{v_f} + \frac{0,5 V_u}{c} \leq \frac{f_{ps}}{v} + \frac{0,5 V_u}{c} + \frac{f_{ps}}{v} \geq \frac{f_{ps}}{v} + \frac{0,5 V_u}{c} + \frac{f_{ps}}{v}$$

Ec. de diseño  
LRFD. 5.8.3.5-1

se reduce a:  $1217 \text{ kips} \geq 1032 \text{ kips}$

DE ACUERDO

## A3.12.4—Resumen

Tabla A3.12.4-1—Resumen de momentos y cortantes

Ubicación	Soporte	Crítico Cortar	Cambio de estribo	Intervalo
SG	0.0	0.067	0,25	medio 0,5
X, pies	0,0	5,37	20	40
VDC1, kips	76	65,8	38	—
VDC2, kips	10	8,7		—
VDW, kips	8,12	7,03	5 4,1	—
gmVLL + IM, kips	— 85,3 —	221,7 —	63,7	—
Vn, kips, simplificado	440,7 —	380,7	129,1 —	227 1140
Vn, kips, MCFT				—
MDC1, kip-pie				1520
MDC2, kip-pie	— 50,1 150 200 —	40,7 121,8 162 —	390,5	1087
MDW, kip-pie	1487,7 —	6244,4		
gmMLL + IM, kip-pie				
Mn, kip-pie	—			

## A3.13—Ecuación general de clasificación de carga (6A.4.2)

$$RF = \frac{C \left( -\psi_{DC} \right) \left( \psi_{DW} \right) \left( DWP \right) \left( \psi_{LL} \right)}{\left( \psi_{LL} \right) \left( IM \right) + \left( \psi_{DC} \right)}$$

Ec. 6A.4.2.1-1

## A3.13.1 Factores de evaluación (para el estado límite de resistencia)

A3.13.1.1—Factor de resistencia,  $\phi$  (Diseño LRFD 5.5.4.2.1)

$\phi = 1,0$  para flexión (previamente determinada como una sección controlada por tensión; consulte el Artículo A3.6)

$\phi = 0,9$  para corte

A3.13.1.2—Factor de condición,  $\phi_c$  (6A.4.2.3)

$\phi_c = 1,0$  Sin deterioro del miembro, NBI Item 59 Código = 6

A3.13.1.3—Factor del sistema,  $\phi_s$  (6A.4.2.4)

$\phi_s = 1,0$  Puente de 4 vigas con espaciamiento > 4 pies

## A3.13.2—Clasificación de carga de diseño (6A.4.3)

## A3.13.2.1— Estado límite de resistencia I (6A.5.4.1)

$$RF = \frac{\left( \psi_{DC} \right) \left( \psi_{DW} \right) \left( DWP \right) \left( \psi_{LL} \right)}{\left( \psi_{LL} \right) \left( IM \right) + \left( \psi_{DC} \right)}$$

## A3.13.2.1a—Nivel de inventario

Carga	Factor de carga
DC	1.25
DW	1,50 El espesor de la superposición no se midió en el campo.
LL	1,75

Tabla 6A.4.2.2-1



Flexión en el centro del tramo:

$$RF = \frac{(1.0)(1.0)(1.0)(6244.4) (1.25)(1520.200) (1.5)(162)}{[(1.75)(1487.7)]}$$
  
$$= 1.48$$

6A.5.9

Los factores de clasificación de corte para la clasificación de carga de diseño se calculan a modo ilustrativo. fines únicamente. Puentes de hormigón en servicio que no muestran signos visibles de corte  
No es necesario verificar la tensión para detectar corte durante la carga de diseño o las capacidades de carga legales.

Corte en la primera sección de corte crítica (64,4 pulgadas desde la línea central del rodamiento):

1. Enfoque simplificado

$$RF = \frac{(1.0)(1.0)(0.9)(221.7) (1.25)(65.88.7) (1.50)(7.03) (1.75)(85.3)}{[(1.75)(85.3)]}$$
  
$$= 0.64$$

2. MCFT

$$RF = \frac{[(1.0)(1.0)(0.9)(440.7) + (1.25)(65.88.7) (1.50)(7.03)]}{(1.75)(85.3)}$$
  
$$= 1.96$$

Corte en el cambio de estribo (20 pies desde la línea central del rodamiento):

1. Enfoque simplificado

$$RF = \frac{(1.0)(1.0)(0.9)(129.1) [(1.25)(38.5) (1.50)(4.1)]}{(1.75)(63.7)}$$
  
$$= 0.51$$

2. MCFT

$$RF = \frac{(1.0)(1.0)(0.9)(227) [(1.25)(38.5) (1.50)(4.1)]}{(1.75)(63.7)}$$
  
$$= 1.30$$

A3.13.2.1b—Nivel operativo

Para el nivel operativo de Fuerza I, solo cambia el factor de carga viva; por lo tanto, el factor de calificación se puede calcular mediante proporciones directas.

Carga	Factor de carga
vehículo estándar	γ 1,25
DW	1,50
LL	1.35

Tabla 6A.4.2.2-1

Flexión en el centro del tramo:

$$RF = 1,48 \times \frac{1,75}{1,35}$$

$$= 1,92$$

Corte: La capacidad de corte del hormigón pretensado depende de la carga. Por lo tanto, el cambio en el factor de clasificación utilizando MCFT no será lineal con el cambio en el factor de carga viva. La capacidad de carga de diseño operativo para corte no es ilustrado aquí.

Este ejemplo ha ilustrado el cálculo del factor de clasificación de corte con la verificación de fluencia longitudinal en la primera sección crítica para corte y en un cambio de estribo. Debido a la variación de las resistencias al corte a lo largo de esta viga en I de concreto pretensado, no es seguro que estas dos ubicaciones gobiernen el estado límite de Resistencia I. Se debe realizar una evaluación sistemática de los criterios de fluencia cortante y longitudinal basados en la interacción momento cortante a lo largo de la viga.

La clasificación de flexión debe verificarse en las secciones de momento máximo y en las secciones donde hay cambios en la resistencia a la flexión.

Los controles realizados para el refuerzo mínimo y máximo también variarán a lo largo de la longitud; Se requiere que estas comprobaciones se cumplan en cada sección transversal en la especificación de diseño de LRFD.

#### A3.13.2.2— Estado límite del Servicio III (Nivel de inventario) (6A.5.4.1)

$$RF = \frac{F_{RDD}(\gamma)(f)}{(M_{LM} + )}$$

Resistencia a la flexión  $f_R = f + F_{pb}$  Esfuerzo de tracción admisible

$F_{pb}$  = Esfuerzo de compresión debido al pretensado efectivo

= 2,548 ksi (del Artículo A3.7.1.3 de este ejemplo)

$$\text{Esfuerzo de tracción permitido } f_{19} = \sqrt{f_c}$$

$$= 0,19 \sqrt{f_c}$$

$$= 0,425 \text{ ksi}$$

Diseño LRFD 5.9.4.2.2

$$R_f = 2,548 + 0,425$$

$$= 2.973 \text{ ksi}$$

Determine las tensiones de carga muerta en la mitad del tramo:

De A3.3.1, MDC1 = 1520 kip-pie y MDC2 = 200 kip-pie

De A3.3.2, MDW = 162 kip-pie

Desde A3.2,  $S_b(nc) = 10543 \text{ pulg.}^3$   $S_b(comp) = 17473 \text{ pulg.}^3$

$$F_{DC} = \frac{1520 \times 12 + 200 \times 12}{10543 + 17473} = 1,87 \text{ ksi}$$

$$F_{DW} = \frac{162 \times 12}{17473} = 0,11 \text{ ksi}$$

$$\text{Total } f_D = 1,98 \text{ kilos}$$

Tensión de carga viva en la mitad del tramo:

De A3.4.2, MLL + IM = 1487,7 kip-pie

De A3.2, Sb (comp) =17473 pulg.3

FL + IM =  $\frac{1487,7 \cancel{12}}{17473} = 1,02 \text{ ksi}$

FR =  $\frac{2,973 \cancel{(1,0)}(1,98)}{(0,8)(1,02)}$

= 1,22

A3.13.3—Clasificación de carga legal (6A.4.4)

Capacidad de carga de diseño del inventario RF > 1,0, por lo tanto, las capacidades de carga legales no deben realizarse y no se requiere publicación. 6A.4.3.1

A3.13.4—Clasificación de carga permitida (6A.4.5)

Tipo de permiso: Especial, viaje único, mixto con tráfico, sin acompañante  
Peso permitido: 220 kips

El vehículo con permiso se muestra en el Ejemplo A1, Figura A1A.1.10-1.

ADTT (una dirección): 5000

Del análisis de carga viva por programa informático:

MLL máximo no distribuido = 2950,5 kip-pie

VLL máximo no distribuido = 157,9 kips

A3.13.4.1—Estado límite de resistencia II (6A.5.4.2.1)

Carga	Factor de carga, γ
<small>carril de carril</small>	1.25
DW	1,5
LL	1,50

Tablas de diseño  
LRFD 3.4.1-1, 3.4.1-2;  
Tabla 6A.4.5.4.2a-1

Utilice el factor de distribución de un carril y divida la presencia múltiple de 1,2 factor. 6A.4.5.4.2b

m1 g =  $0,514 \times \frac{1}{1,2} = 0,428$  6A.4.5.5

v1 g =  $0,70 \times \frac{1}{1,2} = 0,583$

IM = 20 % (Condición de la superficie de conducción verificada mediante inspección: desviaciones menores)

Efecto máximo de carga viva:

$$MLL + IM = (2950,5) (0,428) (1,20)$$

$$= 1515,4 \text{ kip-pie} \quad \text{en la mitad del tramo}$$

$$VLL + momento instantáneo = (157,9) (0,583) (1,20)$$

$$= 110,5 \text{ kips}$$

Los factores  $\phi$  son los mismos que los de los cálculos de diseño. Véase el Artículo A3.13.1.

#### A3.13.4.1a—Flexión

$$RF = \frac{(1,0)(1,00)(1,0)(6244,4) [(1,25)(1520,200) (1,5)(162)]}{(1,5)(1515,4)}$$

$$= 1,69 \geq 1,0$$

DE ACUERDO

Se requiere una evaluación de corte para la clasificación de carga permitida.

6A.5.9

#### A3.13.4.1b—Cizalla (usando MCFT)

$$RF = \frac{(1,0)(1,0)(0,9)(440,7) [(1,25)(72,0) (1,50)(6,7)]^+}{(1,5)(110,5)}$$

$$= 1,79 \geq 1,0$$

DE ACUERDO

Resistencia al corte tomada de HL-93. Aceptable y conservadora siempre y cuando  $\mu$  y  $V_u$  para HL-93 son ambos  $\geq \mu$  y  $V_u$  para permiso. Debe recalcularse si los valores de los permisos son mayores.

#### A3.13.4.2—Estado límite de servicio I (opcional) (6A.5.4.2.2b)

$$\gamma_L \text{ CC DW} = \gamma = 1,0$$

Tabla 6A.4.2.2-1

Se deben utilizar los métodos de análisis de distribución de LRFD descritos en el Artículo 4.6.2 de Diseño de LRFD.

6A.4.5.4.2a

$$0,724 \text{ mg} =$$

Efecto de carga dinámica distribuida:

Momentos de carga muerta en el medio del tramo:

$$\text{De A3.3.1, MDC1} = 1520 \text{ kip-pie y MDC2} = 200 \text{ kip-pie}$$

$$\text{De A3.3.2, MDW} = 162 \text{ kip-pie}$$

$$M_{LL} = (2950,5)(0,724)(1,2) = 2563,4 \text{ kip-pie}$$

$$M_{DC} + M_{LL} + IM = (1520,200) + 162 + 2563,4 = 4445,4 \text{ kip-pie}$$

#### A3.13.4.2a—Verificación simplificada usando 0,75 $M_n$ (C6A.4.2.2.2)

Resistencia nominal a la flexión:  $M_n = 6244,4 \text{ kip-pie}$  (use resistencia nominal, no factorizada)

$$0,75 \geq 0,75 \cdot 6244,4 = 4683,3 \text{ kip-pie} > 4445,4 \text{ kip-pie}$$

DE ACUERDO

Relación de momentos =  $\frac{0,75 \text{ millones}}{MM_{DC} + MM_{DW} + MM_{LL} + MM_{IM}} = \frac{4683,3}{4445,4} = 1,05 > 1,0$  DE ACUERDO

A3.13.4.2b—Verificación refinada usando 0.9fy

Calcule la tensión en el refuerzo exterior en Midspan. Estrés debido a momentos superiores a los El momento de fisuración actúa sobre la sección fisurada. Los momentos hasta el momento de agrietamiento provocan tensiones en la armadura iguales al pretensado efectivo.

$f_R = 0,9 \cdot 0,9 \cdot 0,9 \cdot f_y (F_{pu}) = 0,9 \cdot 0,9 \cdot 270 \cdot 219,7 \text{ ksi}$  6A.5.4.2.2b, Cuadro 6A.5.4.2.2b-1

Mcr = 3915,2 kip-pie (calculado previamente; consulte el Artículo A3.7.1.3)

Pretensado efectivo: (0,75 × 270 – 42,73) = 159,77 ksi (calculado previamente; consulte el Artículo A3.7.1.3)

$MM_{DC} + MM_{DW} + MM_{LL} + MM_{IM} + M_{cr} = 4445,4 + 3915,2 + 530,2$

Propiedades de la sección para la sección compuesta agrietada:

btrans = 102 pulgadas × 0,89 = 90,8 pulgadas (ver Artículo A3.2)

h = 54 pulg. + 1 pulg. + 8,5 pulg. = 63,5 pulg.

Aps = 32 × 0,153 pulg.2 = 4,896 pulg.2

Relación modular, norte:

$m_{norte} = \frac{m_{iPD}}{m_{ihaz}} = \frac{28,5 \cdot 10^3}{4,07 \cdot 10^3}$

Atrans = 4,896 pulgadas 2 × 7 = 34,3 pulgadas. 2

y = 3,75 pulgadas (ver Artículo A3.5)

Hilo exterior y = 2 pulg.

Suponga que el eje neutro está en la losa.

$$C = \frac{\frac{C}{2} (b_{trans}) (h_{trans})}{((b_{trans} \times y) + A_{ps})}$$

$$C = \frac{\frac{C}{2} (90,8) (63,5) (34,3)}{(90,8) (34,3)}$$

2 45,4 cc +34,3 2049,4 0

Resolviendo para c:

$$c = \frac{-15.420 \pm \sqrt{15.420^2 - 2(45.4)(-15.420)}}{2(45.4)}$$

c = 6,35 pulgadas.

$$I_{cr} = \frac{1}{12} (90,8)(6,35)^3 + \frac{6,35^2}{2} + (34,3)(63,5)(6,35)^2$$

$$= 105558 \text{ pulgadas}^4$$

Tensión más allá del pretensado efectivo (aumento de la tensión después del agrietamiento):

$$f_{se} = \frac{M}{I} = \frac{(530,2)(12)(63,5)(6,35)}{105558} = 23,3 \text{ kilos}$$

Tensión en el refuerzo en el paso de Permiso Servicio I:

$$F_s = 159,77 \text{ ksi} \quad f_y = 218,7 \text{ ksi} = < F_s = R_y$$

DE ACUERDO

$$\text{Relación de estrés} = \frac{0,9 f_y}{F_s} = \frac{218,7}{183,1} = 1,19 > 1,0$$

DE ACUERDO

Se cumplen todas las comprobaciones de permisos para una viga interior.

#### A3.14—Resumen de los factores de calificación

Tabla A3.14-1—Resumen de factores de clasificación—Viga interior

Estado límite	Clasificación de carga de diseño (HL 93)		Clasificación de carga permitida
	Inventario	Operando	
Fuerza I	—	—	—
Flexión (en la mitad del tramo)	1.48	1.92	—
Cizalla (a 64 pulg.)	1.96	—	—
Cizalla (a 20 pies)	1.30	—	—
Flexión de	—	—	—
Fuerza II (en la mitad del tramo)	—	—	1.69
Flexión	—	—	1.79
del servicio de	—	—	—
corte III (en la mitad del tramo)	1.22	—	—
Servicio y o	—	—	Relación de estrés = 1.19

#### A3.15—Referencias

AASHTO. 2007. Especificaciones de diseño de puentes AASHTO LRFD, cuarta edición, LRFDUS-4-M o LRFDISI-4. Asociación Estadounidense de Funcionarios Estatales de Carreteras y Transporte, Washington, DC.

NCHRP. 2007. Cargas legales de camiones y cargas legales para publicación de AASHTO, Informe NCHRP 575. Junta de Investigación del Transporte, Consejo Nacional de Investigación, Washington, DC.



## A4—PUENTE DE LARANCA DE MADERA: EVALUACIÓN DE UNA LARANCA INTERIOR

## PARTE A—MÉTODO DE CLASIFICACIÓN DEL FACTOR DE CARGA Y RESISTENCIA

## A4A.1—Datos del puente

Durar: 17 pies 10  
 Año de construcción: pulg.  
 Año de reconstrucción: 1930  
 Material: 1967 Pino del Sur No. 2  
 Condición: Sin deterioro. NBI Artículo 59 Código = 6 Condición  
 Superficie de conducción: desconocida Dos carriles  
 Tráfico: 150 0°  
 ADTT (una dirección):  
 Sesgar:

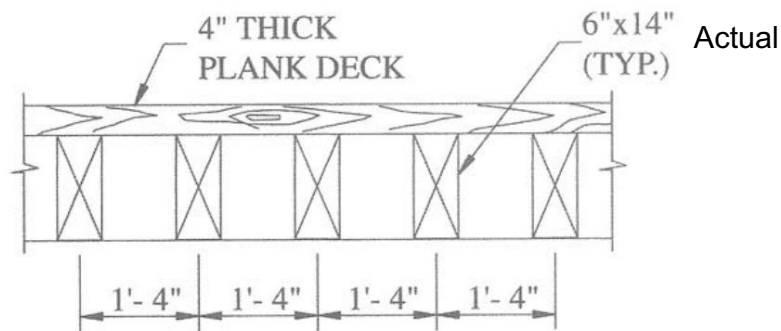


Figura A4A.1-1—Sección transversal parcial de la plataforma

## A4A.2—Análisis de carga muerta—Larguero interior en flexión

## A4A.2.1—Componentes y accesorios, CC

$$\text{Cubierta: } \frac{\text{diámetro}}{12} \times \frac{4}{12} \times 0.050 = 0.022 \text{ kip/pie}$$

Tabla de diseño LRFD 3.5.1-1

$$\text{Larguero: } \frac{6 \times 4}{144} \times 0.050 = 0.029 \text{ kip/pie}$$

$$\text{Total por larguero} = 0.051 \text{ kip/pie}$$

$$\frac{1}{8} \times \frac{2 \text{ CDM}}{0.051} = 17.83$$

$$= 2.03 \text{ kip-pie}$$

## A4A.2.2—Superficie de desgaste

$$DW = 0$$



A4A.3—Análisis de carga viva—Larguero interior en flexión

A4A.3.1—Factor de distribución de momento y corte

AASHTO LRFD Tipo I sección transversal

Tabla de diseño LRFD 4.6.2.2.1-1

Un carril cargado:

Tabla de diseño LRFD 4.6.2.2.2a-1

$$g_{\text{carril}} = \frac{S}{16.7}$$
$$= \frac{12}{6.7} = 0.20$$

Dos o más carriles cargados:

$$g_{\text{dos}} = \frac{S}{7.5}$$
$$= \frac{12}{7.5} = 0.18 \text{ o } 0.20$$

Gobernadores cargados de un carril

$$g_{\text{gramos}} = 0.20$$

A4A.3.2—Calcular los efectos máximos de la carga viva

A4A.3.2.1—Momento de carga viva de diseño máximo (HL-93) en la mitad del tramo

Momento de carga del carril de diseño = 25,4 kip-ft

Momento del camión de diseño = 142,6 kip-pie

Momento tándem de diseño = 175,7 kip-pie      Gobierna

SOY = 0%      6A.7.5

MLL = 25,4 + 175,7

= 201,1 kip-pie

A4A.3.2.2—Momentos de carga viva distribuidos

Diseño de carga viva HL-93:

$$g \times \text{MLL} = 0.20 \times 201.1$$
$$= 40.2 \text{ kip-pie}$$

## A4A.4—Calcular la resistencia a la flexión nominal

Propiedades de sección para largueros (basadas en dimensiones reales):

$$I_x = \frac{b h^3}{12} = \frac{3.6 \times 14^3}{12} = 41372 \text{ pulg.}^4$$

$$S_x = \frac{I_x}{h} = \frac{41372}{14} = 2955 \text{ pulg.}^3$$

$$A = b h = 6 \times 14 = 84 \text{ pulg.}^2$$

## A4A.4.1—Diseño LRFD, cuarta edición

$$F_b = F_{bo} K_{MF} C_{KF} C_{M1} C_{M2} C_{t1} C_{t2} C_{V} \leq F_{u} \quad \text{Ec. de diseño LRFD. 8.4.4.1-1}$$

Fbo = 0,85 ksi Valor de diseño de referencia

Tabla de diseño LRFD 8.4.1.1.4-1

CKF = 2,5/φ = 2,5 / 0,85 = 2,94 Factor de conversión de formato

Diseño LRFD 8.4.4.2

CM = 1,0 Factor de servicio húmedo

Diseño LRFD 8.4.4.3

(no se requiere reducción por uso húmedo debido a la especie y el tamaño del miembro)

$$CF = \text{Factor de efecto de tamaño para madera aserrada} = \frac{12}{d} \sqrt{\frac{1}{9}} \leq \frac{12}{14} \sqrt{\frac{1}{9}} = 0,98 \leq 1,0 \quad \text{Ec. de diseño LRFD. 8.4.4.4-2}$$

UFC = 1,0 Factor de uso fijo

Diseño LRFD 8.4.4.6

Ci = 1,0 Factor de incisión (solo se aplica a madera dimensionada)

Diseño LRFD 8.4.4.7

Cd = 1,0 Factor de cubierta

Diseño LRFD 8.4.4.8

Ct = 0,8 Factor de efecto del tiempo para la resistencia I

Diseño LRFD 8.4.4.9

$$F_b = 0,85 \times 2,94 \times 1,0 \times 0,98 \times 1,0 \times 1,0 \times 1,0 \times 0,8 = 1,96$$

Valor de diseño ajustado = Fb = 1,96 ksi

Resistencia nominal Mn = FbSCL

Ec. de diseño LRFD. 8.6.2-1

CL = 1,0

$$M_n = 1,96 \text{ ksi} \times 196 \text{ pulg.}^3 \times 1,0 \times 1 \text{ pie}/12 \text{ pulg.} = 32,01 \text{ kip-pie}$$

## A4A.5—Ecuación general de clasificación de carga (6A.4.2)

$$RF = \frac{C_{-V} \left( \frac{L}{L_{min}} \right)^{-V_{-V}} \left( \frac{D_{W}}{D_{W_{min}}} \right)^{-V_{DW}} \left( \frac{P_{AG}}{P_{AG_{min}}} \right)^{-V_{PAG}}}{\left( \frac{L}{L_{min}} \right)^{-V_{LL}} \left( \frac{M}{M_{min}} \right)^{-V_M}}$$

6A.4.2.1-1

## A4A.6—Factores de evaluación (para el estado límite de resistencia)

1. Factor de resistencia, φ

LRFD 8.5.2.2

φ = 0,85 para flexión φ

= 0,75 para corte

2. Factor de condición,  $\phi_c$  6A.4.2.3

$\phi_c = 1,0$       Buen estado

3. Factor del sistema  $\phi_s$  6A.4.2.4

$\phi_s = 1,0$       para flexión y corte en puentes de madera

A4A.7—Clasificación de carga de diseño (6A.4.3)

A4A.7.1—Estado límite de resistencia I (6A.7.4.1)

$$R_F = \frac{\left( \frac{1}{A} \right) \left( \frac{1}{S_x} \right) \left( \frac{1}{Y_{\text{noite CC}}} \right) \left( \frac{1}{\phi_c} \right) \left( \frac{1}{\phi_s} \right) \left( \frac{1}{DW} \right) \left( \frac{1}{DW} \right)}{\left( \frac{1}{Y} \right) \left( \frac{1}{LL \text{ IM}} \right)}$$

A4A.7.1.1—Nivel de inventario

Carga	Factor de carga
<small>carga muerta</small>	1,25
LL	1,75

Tabla 6A.4.2.2-1

Flexura:

$$R_F = \frac{\left( \frac{1}{1} \right) \left( \frac{1}{1} \right) \left( \frac{1}{0,85} \right) \left( \frac{1}{32,0} \right) \left( \frac{1}{1,25} \right) \left( \frac{1}{2,03} \right)}{\left( \frac{1}{1,75} \right) \left( \frac{1}{40,2} \right)}$$

= 0,35

A4A.7.1.2—Nivel operativo

Carga	Factor de carga
<small>carga muerta</small>	1,25
LL	1,35

Tabla 6A.4.2.2-1

Flexura:

$$R_F = 0,35 \times \frac{1,75}{1,35}$$

= 0,45

A4A.7.1.3—Cizalla (Cizalla horizontal) (Diseño LRFD 8.7)

La sección crítica para carga viva de corte está a una distancia  $d = 14$  pulg. = 1,17 pies de la cara del soporte

Coloque la carga viva para causar el corte máximo a un valor menor de:

1. Tres veces la profundidad =  $3 \times 14 = 42$  pulg. = 3,5 pies Gobierna
2.  $\frac{1}{4}$  de longitud de luz =  $\frac{1}{4} \times 17,83 = 4,46$  pies

A4A.7.1.4—Calcule el corte máximo en la sección crítica (14 pulgadas = 1,17 pies)

A4A.7.1.4a—Corte por carga muerta

$$V_{CC} = \frac{1}{2} \left( 0,051 \times 17,83 \right) - \left( 0,051 \times 1,17 \right)$$

= 0,395 kips

## A4A.7.1.4b—Corte por carga viva (HL-93)

Carga viva colocada a 3,5 pies de la cara de soporte:

VTANDEM = 34,6 kips Gobierno

VTRUCK = 26,3 kips

VLANO = 3,7 kips

Cizalla no distribuida:

$V_{LU} = 3,7 + 34,6$

$= 38,3$  kips

Repartido:

$V_{LD} = 38,3 \times 0,20$

$= 7,7$  kips

Para corte horizontal:

$V_{LL} = 0,60 ( ) V_{VLU} + 0,50$

Ec. de diseño LRFD. 4.6.2.2.2a-1

$V_{LU}$  = Corte vertical máximo en 3d o L/4 debido a cargas de ruedas no distribuidas (kips)

= Para cargas de ruedas no distribuidas, se supone que se transporta una línea de ruedas por un miembro de flexión.

Diseño LRFD 4.6.2.2.2a

$= \frac{V_{LU}}{2} = \frac{( ) 38,3}{2} = 19,1$  kips

$V_{LD}$  = Corte vertical máximo en 3d o L/4 debido a cargas de ruedas distribuidas lateralmente como se especifica en este documento (kips)

$= 7,7$  kips

$V_{LL} = 0,50[(0,60 \times 19,1) + 7,7] = 9,58$  kips

## A4A.7.1.5—Calcular la resistencia al corte nominal

## A4A.7.1.5a—Diseño LRFD, cuarta edición

$V_n = \frac{F_v b d}{1,5}$

Ec. de diseño LRFD. 8.7-2

$F_v = F_v C K F C M C i C A$

Ec. de diseño LRFD. 8.4.4.1-2

$F_v = 0,165$  ksi Valor de diseño de referencia

Tabla de diseño  
LRFD 8.4.1.1.4-1

$CKF = 2,5/\phi = 2,5 / 0,75 = 3,33$  Factor de conversión de formato

Diseño LRFD 8.4.4.2

$CM = 1,0$  Factor de servicio húmedo

Diseño LRFD 8.4.4.3

(no se requiere reducción por uso húmedo debido a la especie y el tamaño del miembro)

Ci = 1,0

Factor de incisión

Diseño LRFD 8.4.4.7

Cλ = 0,8

Factor de efecto del tiempo para la fuerza I

Diseño LRFD 8.4.4.9

Fv = 0,165 × 3,33 × 1,0 × 1,0 × 0,8

Valor de diseño ajustado:

Fv = 0,440 ksi

Vn =  $\frac{(0.440 \times 6,14)}{1.5}$  = 24,6 kips

A4A.7.1.5b—Nivel de inventario

Carga	Factor de carga
carreta continua	1,25
LL	1,75

Cortar:

RF =  $\frac{(1,0 \times 1,0 \times 0,75 \times 24,6 \times 1,25 \times 0,395)}{(1,75 \times 9,58)}$

= 1.07

A4A.7.1.5c—Nivel operativo

Cortar:

FR = x 1,07  $\frac{1,75}{1.35}$  1.39

No se aplican estados límite de servicio.

A4A.8—Clasificación de carga legal (6A.4.4)

Carga viva: Cargas legales AASHTO: tipos 3, 3S2 y 3-3 (tasa para los tres)

6A.4.4.2.1

gramos = 0,20

IM = 0%

6A.7.5

	Tipo 3	Tipo 3S2	Tipo 3-3	108.9	21.8	
MLL	119,5			98,4		kip-pie
qMLL	23,9			19,7		kip-pie

A4A.8.1—Estado límite de resistencia I (6A.7.4.2)

Carga muerta CC:

Factor de carga = 1,25

Tabla 6A.4.2.2-1

ADTT = 150

Factor de carga viva = 1,41

Tabla 6A.4.4.2.3.1-1

Flexura:

RF = 
$$\frac{(1,0 + 1,0 + 0,85 + 32,0)}{(1,4)(\text{millones de libras})} - (1,25 + 2,03)$$

A4A.8.1.1—Capacidad de corte

Carga viva cortante en la sección crítica (14 pulg.) con carga viva colocada para causar el máximo efecto de corte a 3,5 pies (3d).

gramos = 0,20

IM = 0%

6A.7.5

La carga viva distribuida se calcula de la misma manera que se demuestra para la verificación de la carga de diseño.

$$0,60 ( ) VV + \frac{VLU - VLD}{L_D} 0,50$$

Diseño LRFD

Ec. 4.6.2.2.2a-1

	Tipo 3	Tipo 3S2	Tipo 3-3	10,72 4,29	
VLU	11,76	5,35		9,68	kips
VLD	4,70			3,87	kips
VLL	5,87			4,83	kips

Cortar:

FR = 
$$\frac{(1,0 + 1,0 + 0,75 + 24,6 + 1,25 + 0,395)}{(1,4)(\text{millones de libras})} - 1,41 VLL$$

	Tipo 3	Tipo 3S2	Tipo 3-3	2,38	
RF	2.17			2.64	

A4A.8.2—Resumen

Camión	Tipo 3	Tipo 3S2	Tipo 3-3	36 0,80 28
Peso, toneladas	25			40
RF	0,73			0,88
Capacidad de carga segura, toneladas	18			35

A4A.9—Resumen de los factores de clasificación para el método de clasificación del factor de carga y resistencia

Tabla A4A.9-1—Resumen de factores de clasificación para el método del factor de carga y resistencia—Larguero interior

Estado límite		Diseño Capacidad de		Clasificación de carga		
		carga	Inventario Operación 0,35	Tipo 3	legal Tipo	Tipo 3-3
fuerza yo	Flexura	0,45	1,07 1,39	0,73	3S2	0,88
	Cortar			2,17	0,80 2,38	2,64



## PARTE B— MÉTODO DE CLASIFICACIÓN DEL ESTRÉS PERMISIBLE

## A4B.1—Datos del puente

Consulte el artículo A4A.1 para conocer los datos del puente.

## A4B.2—Propiedades de la sección

$$I_x = \frac{b^3 h}{12} = \frac{6^3 \times 14}{12} = 1372 \text{ pulg.}^4$$

$$S_x = \frac{I_x}{h} = \frac{1372}{14} = 98 \text{ pulg.}^3$$

$$A = bh = 6 \times 14 = 84 \text{ pulg.}^2$$

## A4B.3—Análisis de carga muerta—Larguero interior

Cubierta:

$$\frac{(4 \text{ pies} \times 4 \text{ pulg.})}{144 \text{ pulgadas}^2/\text{pies}} \times 50 \text{ libras/pie} = 22,2 \text{ libras/pie}$$

Larguero:

$$\frac{6 \text{ pulgadas} \times 14 \text{ pulgadas}}{144} \times 50 = \frac{29,2 \text{ libras/pie}}{51,4 \text{ libras/pie}} \quad \text{digamos } 0,051 \text{ kip/pie}$$

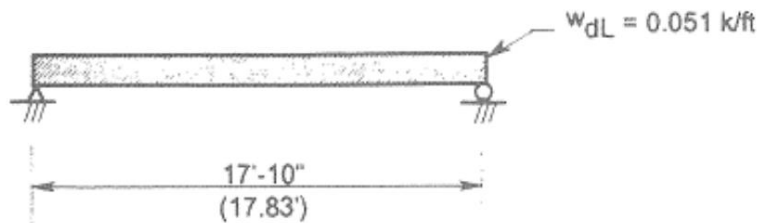


Figura A4B.3-1—Diagrama de carga para larguero interior—Carga muerta uniforme

$$M_{DL} = \frac{w_{dL} L^2}{8} = \frac{0,051 (17,83)^2}{8}$$

$$M_{DL} = 2,03 \text{ kip-pie}$$

## A4B.4—Análisis de carga viva—Larguero interior

Carga Viva: Tarifa para camión H-15

Determine el momento máximo de carga viva mediante estática. Para tramos pequeños, verifique que el momento máximo se produzca en la mitad del tramo con la rueda más pesada colocada en la mitad del tramo.

$$M_L = PL/4$$

$$M_L = (12 \text{ kips} \times 17,83 \text{ pies})/4 = 53,49 \text{ kips-pie}$$

Alternativamente, se podría utilizar la interpolación para realizar la estimación. Tenga en cuenta que para tramos más largos y para la interpolación entre incrementos de tramos superiores a 1 pie, los valores interpolados producen resultados aproximados.



Luz	ml	
17 pies	51 kip-pie	
		← Para un tramo de 17,83 pies, interpolar
18 pies	54 kip-pie	
$ml = 51 + \frac{17.83-17}{18-17} (54-51) = 53,5 \text{ kip-pie}$		

A4B.5—Clasificación de tensión permitida (6B.4.1, 6B.5.2, 6B.6.2)

Considere únicamente el larguero; Considere las secciones de momento máximo y cortante sólo para este ejemplo.

A4B.5.1—Impacto (use el estándar AASHTO) (6B.7.4)

Sin impacto para los miembros de madera:

AASHTO 3.8.1.2

yo = 0

A4B.5.2—Distribución (Utilice el estándar AASHTO) (6B.7.3)

Para dos carriles y plataforma de tablonés a:

AASHTO 3.23.2.2, Tabla 3.23.1

$$S_{DF} = \frac{16 \text{ pulgadas}/12 \text{ pulgadas/pies}}{3,75} = 0,36$$

a Tenga en cuenta que los momentos dados en MBE son para una línea de ruedas. Los valores dados en AASHTO son para todo el eje trasero y son por lo tanto, el doble de los valores de MBE.

De este modo:

$$M_{LL} = 19.26 \text{ kip-pie} \times 0,36 = 53,5 \text{ kips-pie}$$

$$19.26 \text{ kip-pie} \times MLL =$$

A4B.5.3—Esfuerzos a utilizar (use NDS, Especificación de diseño nacional para construcciones con madera, edición de 2005)

Las ecuaciones generales para los Valores de Diseño de Referencia ajustados son:

$$F_b' = F_b \times C_{DC} C_{MC} C_{LC} C_{FC} C_{fu} C_{iCr}$$

$$F_v' = F_v \times C_{DC} C_{MC} C_{iCi}$$

$$F_b = 850 \text{ psi}$$
 Valor de diseño de referencia, NDS Tabla 4D

$$F_v = 165 \text{ psi}$$
 Valor de diseño de referencia, NDS Tabla 4D

CD = 1,15 El factor de duración de la carga durante dos meses se supone como efecto acumulativo de la carga viva.

Los puentes de madera suelen estar ubicados en carreteras de poco tráfico; por lo tanto, la duración de la carga viva acumulada es inferior a 30 días. Se supone que la duración de la carga viva es de dos meses en el análisis de confiabilidad.

CM = 1,0 El factor de servicio húmedo está en la tabla 4D de NDS para pino del sur

CT = 1,0 Factor de temperatura

CL = 1,0 Factor de estabilidad del haz

FC = 0,98 Factor de tamaño =  $(12/d)^{1/9}$  para vigas con una profundidad superior a 12 pulg.

UFC = 1,0 Factor de Uso Plano; no aplica

$C_i = 1,0$  Factor de incisión

$C_r = 1,0$  Factor de uso repetitivo, no aplicable

A4B.5.3.1—Esfuerzos a nivel de inventario (6B.6.2.7a)

$$F_b = 850 \times 1,15 \times 0,98 \times 1,0 \times 0,958 \text{ psi} = 0,96 \text{ ksi}$$

$$1,15 \text{ CD} =$$

$$0,98 \text{ FC} =$$

$$1,0 \text{ Ci} =$$

y:

$$x = \frac{1}{165} \times 1,15 \times 1,0 \times 190 \text{ psi} = 0,19 \text{ ksi} \quad F_v = x$$

A4B.5.3.2—Esfuerzos de nivel operativo (use el estándar AASHTO) (6B.6.2.7b)

$$F_b^{LO} = x \times x \times \frac{1}{b} \times 1,33 \times 950 \times 1,33$$

$$F_b^{oh} = 1274 \text{ psi} \times 1,27 \text{ ksi}$$

y:

$$= \frac{O}{V.V.} \times F = 1,33 \times F \quad 1,33 \times 190 \text{ psi} = 253 \text{ psi}$$

A4B.5.4—Clasificación de nivel de inventario para flexión

Capacidad:

$$M_{FS} = x \times \frac{1}{b} \times x \times 0,96 \text{ ksi} \times 196 \text{ pulg.}^3 = 188 \text{ kip-in.}$$

$$\text{pies } M = 15,68 \text{ kip-}$$

entonces:

$$RF_I^{m.r.} = \frac{MM - DL}{METRO \times LL} = \frac{15,68 \text{ kip-pie} - 2,03 \text{ kip-pie}}{19,26 \text{ kips-pie}}$$

Ec. 6B.5.1-1

$$RF_I^{METRO} = 0,71 \times 0,71 \times 15 \text{ toneladas} = \text{camión H de } 10,7 \text{ toneladas}$$

A4B.5.5—Clasificación del nivel operativo para flexión

Capacidad:

$$M_{FS} = x \times \frac{1}{b} \times x \times 0,27 \text{ ksi} \times 196 \text{ pulg.}^3 = 240,3 \text{ kip-pulg.}$$

$$m = \text{pies} \quad \text{RO de } 20,74 \text{ kip-}$$

entonces:

$$RF = \frac{M_{oh} - \frac{MM}{L} - \frac{DL}{L}}{\frac{METRO}{L}} = \frac{20,74 \text{ kips-pie} - 2,03 \text{ kips-pie}}{19,26 \text{ kips-pie}}$$

Ec. 6B.5.1-1

$$RFO = 0,97 \text{ o } 0,97 \times 15 \text{ toneladas} = \text{camión H de } 14,6 \text{ toneladas}$$

A4B.5.6—Verificar corte horizontal

Corte calculado en:

AASHTO 13.6.5.2

1. Una distancia desde el soporte igual a tres veces la profundidad del larguero, o
2. En el cuarto de punto, lo que sea menor.

Así por:

$$1. \quad 3 \times 14 \text{ (pulg. 42) } = 42 \text{ pulgadas} = 3,5 \text{ pies}$$

$$2. \quad \frac{17,83 \text{ pies} \times 12 \text{ pulgadas/pie}}{4} = 53,5 \text{ pulgadas.}$$

Para camión H-15:

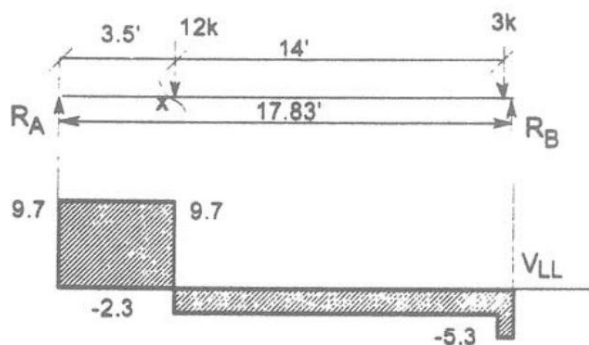


Figura A4B.5.6-1—Diagrama de corte para larguero interior—Carga viva H-15

$$V_x = \frac{15(x - 2.8)}{L}$$

Apéndice A6B.8

donde L = 17,83 pies

$$x = 17,83 - 3,5 = 14,33 \text{ pies}$$

$$V_x = \frac{15(14,33 - 2,8)}{17,83} = 9,7 \text{ kips por línea de rueda sin distribución}$$

$$V_{Lx} = \frac{1}{2} \left( \text{dist } V_{Lx} \sin \theta + DFV + L \text{ no dist.} \right)$$

AASHTO 13.6.5.2, Ec. 13-10

$$V = \frac{1}{2} (0,6 \times 9,7 + 9,7) = 7,7 \text{ kips}$$

$$= \frac{1}{2} (0,6 \times 9,7 + 9,7) = 7,7 \text{ kips}$$

Para wDL = 0,051 kip/pie

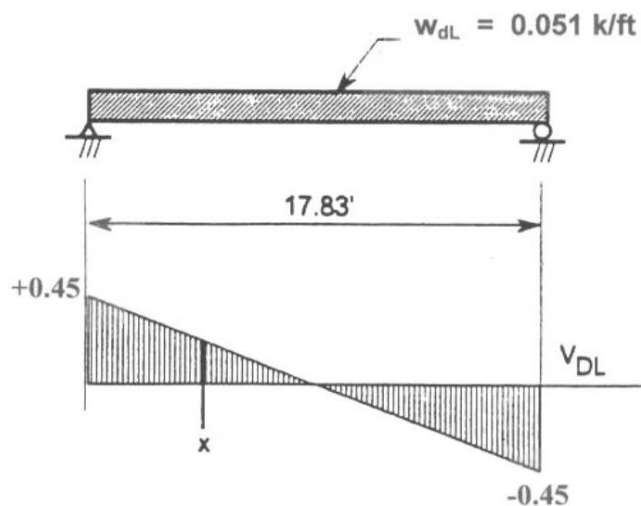


Figura A4B.5.6-2—Diagramas de carga y corte—Carga muerta uniforme

$$\begin{aligned}
 R_A &= R_B = \frac{1}{2} w_{DL} L \\
 &= \frac{1}{2} (0.051) (17.83) \\
 &= 0.45 \text{ kips}
 \end{aligned}$$

$$V = 0.45 - 0.051 \frac{17.83}{2} \times$$

$$V = 0.4 \text{ kips}$$

## A4B.5.7—Clasificación del nivel de inventario para corte

Capacidad:

$$V_u = \frac{2}{3} b d f_v$$

AASHTO Ec. 13-9

entonces:

$$V_u = \frac{2}{3} (14)(90) \text{ psi } (10.64 \text{ kips}) = 10.64 \text{ kips}$$

$$RFI^V = \frac{V_u}{V_{lx}} = \frac{10.64 \text{ kips}}{4.7 \text{ kips}} = 2.26$$

Ec. 6B.5.1-1

$$RFI^V = 2.18 \text{ o } 2.18 \times 15 \text{ toneladas} = \text{camión H de } 32.7 \text{ toneladas}$$

A4B.5.8—Clasificación del nivel operativo para corte

Capacidad:

$$V_{RO} = \frac{2}{3} (14)(253) \text{ psi } 14168 \text{ libras } 14,17 \text{ kips}$$

$$ORP^V = \frac{\frac{V.V.}{R_{Buey}} - D}{V_{lx}} = \frac{14,17 \text{ kips } 0,4 \text{ kips}}{4,7 \text{ kips}}$$

Ec. 6B.5.1-1

$$RFO^V = 2,93 \text{ o } 2,93 \times 15 \text{ toneladas} = \text{camión H de } 43,95 \text{ toneladas}$$

A4B.5.9—Resumen de calificaciones para el método de calificación de estrés permitido

Tabla A4B.5.9-1—Resumen de clasificaciones para el método de calificación de tensión permitida—Larguero interior

Método/Fuerza	RF	Camión H Máx. Carga, toneladas
Momento de tensión permitido:		
Inventario	0,71	10,7
Operando	0,97	14,6
Esfuerzo cortante permitido:		
Inventario	2,18	32,7
Operando	2,93	43,9

Clasificación gobernada por momento en lugar de corte.

A4B.6—Clasificación del factor de carga

Actualmente no disponible para madera.

PARTE C—RESUMEN

A4C.1—Resumen de todas las calificaciones para el ejemplo A4

Tabla A4C-2—Resumen de factores de clasificación para todos los métodos de clasificación—Larguero interior

Método LRFR		Clasificación de carga de diseño		Clasificación de carga legal			Clasificación			
		Tipo de operación	Tipo de inventario	Tipo 3	Tipo 3S2	flexión 3-3	H-15 Tipo de corte por			
							Inv.	Opr.	Inv.	Opr.
fuerza y	Flexura	0,35	1,39	0,73	0,80				0,88	— — — —
Estado límite de	corte	1,07		2,17	2,38	2,64	— — — —			
Método de tensión permitida		— — — — 0,71	0,97 2,18 2,93							
Método del factor de carga		— — — — —								

A4C.2—Referencias

AASHTO. 2002. Especificaciones estándar para puentes de carreteras, 17.ª edición, HB-17. Asociación Estadounidense de Funcionarios Estatales de Carreteras y Transporte, Washington, DC.

AASHTO. 2007. Especificaciones de diseño de puentes AASHTO LRFD, cuarta edición, LRFDUS-4-M o LRFDSI-4. Asociación Estadounidense de Funcionarios Estatales de Carreteras y Transporte, Washington, DC.

NFPA. 2005. Especificación Nacional de Diseño para la Construcción en Madera. Asociación Nacional de Productos Forestales, Washington, DC.



A5—PUENTE DE VIGA DE PLACA SOLDADA RECTA CONTINUA DE CUATRO CLAVOS: EVALUACIÓN DE UNA VIGA INTERIOR

Nota: Este ejemplo demuestra los cálculos de clasificación para una viga de placa recta y continua para la carga de diseño, cargas legales y una carga permitida. Las clasificaciones se han realizado sólo en lugares críticos de momento y corte.

A5.1—Datos del puente

Longitudes de tramo: 112 pies—140 pies—140 pies—112 pies

Año de construcción: 1965 (carga de diseño HS20)

Construcción no compuesta

Diseño LRFD C6.10.1.6

Se considera que el ala superior está continuamente arriostrada mediante un revestimiento de refuerzos de hormigón.

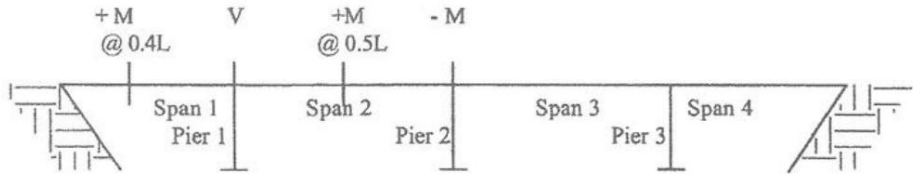
Material:  $F_y = 32 \text{ ksi}$   $c_f = 3 \text{ ksi}$

Condición: Sin deterioro

Superficie de conducción: No verificada ni documentada en campo

ADTT (una dirección): 5500

Inclinación:  $0^\circ$



BRIDGE ELEVATION SKETCH WITH RATING LOCATIONS

Figura A5.1-1—Elevación del puente

A5.1.1—Arriostramiento de vigas

1. Marcos cruzados

Espaciados a 18 pies 2 pulgadas en los muelles.

Espaciados a 24 pies 4 pulgadas en otros lugares.

2. Refuerzos

Refuerzos intermedios verticales soldados con una separación de 5 pies.

A5.1.2—Propiedades de la sección de viga

Ver Figura A5.2.1-1.

	Región	Área (pulg.2)	$Y_o$ (pulg.4)	$S$ (pulg.3)
	A	54,63	42540	1189,9
*	B	66,63	58038	1606,6
	C	54,63	42540	1189,9
	D	74,63	68550	1884,6
*	mi	98,63	100965	2719,6
	F	74,63	68550	1884,6
	(GRABO)	54,63	42540	1189,9
*	h	66,63	58038	1606,6



A5.1.3—Secciones de viga

Región	Profundidad	Web Espesor	Brida superior Ancho	Brida superior Espesor	Brida inferior Ancho	Brida inferior Espesor
B	de la red	0,4375 pulgadas	16 pulgadas	1,125 pulg.	16 pulgadas	1,125 pulg.
C	70 pulg.	0,4375 pulgadas	16 pulgadas	0,75 pulg.	16 pulgadas	0,75 pulg.
D	70 pulg.	0,4375 pulgadas	16 pulgadas	1,375 pulg.	16 pulgadas	1,375 pulg.
mi	70 pulg.	0,4375 pulgadas	16 pulgadas	2,125 pulg.	16 pulgadas	2,125 pulg.
h	70 pulg. 70 pulg.	0,4375 pulgadas	16 pulgadas	1,125 pulg.	16 pulgadas	1,125 pulg.

A5.2—Análisis de carga muerta—Viga interior

Como las vigas no son compuestas, todas las cargas muertas actúan sobre la sección de acero.

A5.2.1—Componentes y accesorios, DC

Las cargas permanentes sobre el tablero se distribuyen uniformemente entre las vigas.

Cubierta  $\frac{7.5}{12} ( )$  7(833 0,150 0,734 kip/pie

Anca = 0,066 kip/pie

Formas que permanecen en el lugar = 0,098 kip/pie

Peso medio de la viga propia:  $\frac{66}{144}$  0,490 0,224 kip/pie

Refuerzos de red = 0,011 kip/pie

Diafragmas = 0,015 kip/pie

Peso del parapeto por viga = 0,310 kip/pie

Total por viga = 1,458 kip/pie

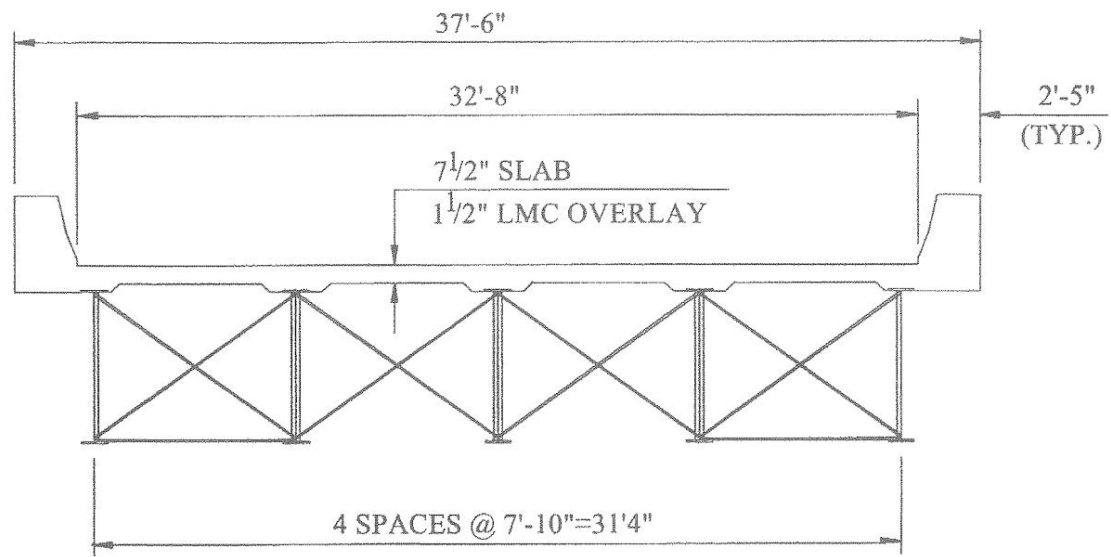
Digamos que DC = 1,50 kip/pie

A5.2.2—Superficie de desgaste, DW

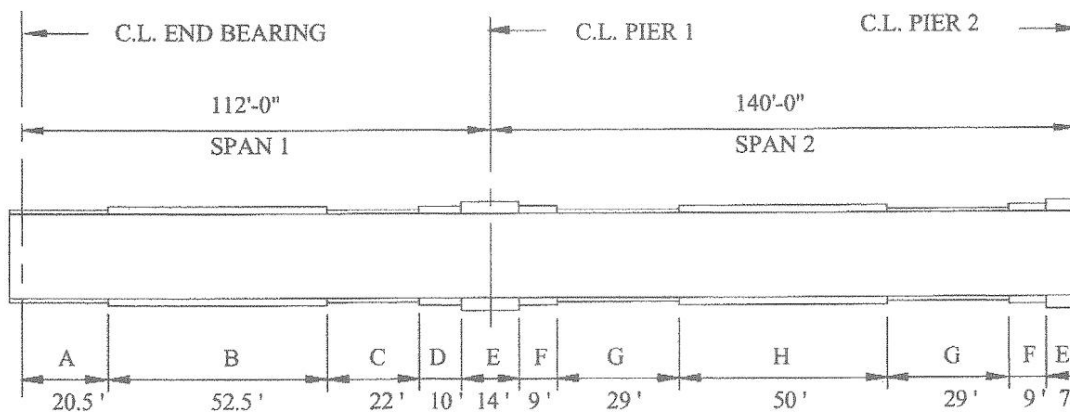
El espesor de la superposición no se midió en el campo.

( 1,5 pulg. Superposición LMC:  $\frac{1.5}{12}$  32,7 0,150 )  $\frac{1}{5}$  0,122 kip/pie

Digamos DW = 0,12 kip/pie



CROSS SECTION  
NTS



GIRDER ELEVATION  
NTS

Figura A5.2.1-1—Sección transversal del puente y elevación de la viga placa

## A5.3—Efectos de carga muerta

Resultados del análisis de haz continuo:

A5.3.1—Momento positivo máximo en el tramo 1 (a 0,4 L = 44,8 pies)

MDC = 1236,6 kip-pie

MDW = 98,9 kip-pie

A5.3.2—Momento positivo máximo en el tramo 2 (a 0,5 L = 182 pies)

MDC = 1119,8 kip-pie

MDW = 89,6 kip-pie

A5.3.3—Momento negativo máximo en el muelle 2 (252 pies)

MDC = 2558,0 kip-pie

MDW = 204,6 kip-pie

A5.3.4—Corte máximo a la izquierda del muelle 1 (112 pies)

VCC = -106,8 kips

VDW = -8,5 kips

A5.3.5—Momentos negativos en el muelle 1

MDC = -2557,2 kip-pie

MDW = -204,6 kip-pies

## A5.4—Factores de distribución de carga viva

Sección transversal AASHTO tipo (a)

Diseño LRFD  
Tabla 4.6.2.2.1-1

A5.4.1—Flexión positiva y corte a la izquierda del muelle 1

Tramo 1 (lo mismo para el tramo 4)

kilos =  $\frac{n}{2} \left( \frac{a}{L} + \frac{b}{L} \right)$ 

norte = 9

Para construcción no compuesta, por ejemplo = 0

I = 58037,9 pulg.<sup>4</sup> (Región B y Región H)

Kg = 9 × 58037,9

= 522341 pulg.<sup>4</sup>

$$\frac{k}{3 \times 12 \times 10^6} = \frac{522341}{12 \times 12 \times 7,5^3}$$

= 0,92

También se puede utilizar el promedio ponderado de Kg, pero el factor de distribución no es demasiado sensible a Kg.

#### A5.4.1.1—Viga interior

$$g_{\text{metro}} = 0,06 \frac{0,4 \text{ SS}}{14} \frac{0,3}{1} \frac{k}{12 \frac{\text{metros}}{3}} \frac{0,1}{S}$$

$$0,06 = + \frac{0,4}{14} \frac{7,833}{112} \frac{0,3}{7,833} (0,92) \frac{0,1}{S}$$

$$g_{\text{metro}} = 0,414$$

$$= 0,075 + \frac{S}{9,5} \frac{0,6}{1} \frac{SK}{12 \frac{\text{metros}}{3}} \frac{0,2}{S} \frac{0,1}{S}$$

$$= + \frac{0,075}{9,5} \frac{0,6}{112} \frac{7,833}{7,833} \frac{0,2}{(0,1)} \frac{0,92}{S}$$

$$= > 0,594 \text{ } 0,414$$

$$g_{\text{metro}} = 0,594 \text{ Para comprobar a } 44,8 \text{ pies}$$

$$(0,4 \text{ del tramo } 1)$$

$$V_1 = 0,36 + \frac{S}{25}$$

$$= 0,36 + \frac{7,833}{25}$$

$$= 0,673$$

$$V_2 = 0,2 \frac{SS}{12 \text{ } 35} \frac{2,0}{S}$$

$$= + - \frac{7,833}{12} \frac{7,833}{35} \frac{0,2}{S} \frac{2,0}{S}$$

$$= 0,803 \text{ } 0,673$$

$$V_{\text{gg}} = 0,803 \text{ Para comprobar a la izquierda del muelle } 1 \text{ (112 pies)}$$

Tramo 2 y Tramo 3:

Sustituya L = 126 pies promedio en las ecuaciones del factor de distribución.

$$g_m = 0,560 \text{ Para comprobar +M a } 182 \text{ pies}$$

(0,5 L de tramo 2)

#### A5.4.2—Flexión negativa

Utilice Kg según las propiedades de la sección del muelle.

L = 140 pies para el muelle central (Muelle 2), ya que ambos tramos adyacentes miden 140 pies

$$L = (140 + 112)/2 = 126 \text{ pies para el Muelle 1}$$

Muelle 2:

$$K_g = \frac{n}{\left( \frac{1}{a} + \frac{1}{b} \right)^2}$$

$$K_g = 9$$

$$p_{ej} = 0 \text{ sección no compuesta}$$

$$I = 100965,1 \text{ pulg.}^4 \text{ (Región E)}$$

$$K_g = 9 \times 100965,1 = 908686$$

$$\frac{k}{12 \left( \frac{140}{7,5} \right)^3} = \frac{908686}{12 \left( \frac{140}{7,5} \right)^3} = 1.282$$

#### A5.4.2.1—Viga interior

$$g_{m1} = 0,06 \frac{SS^{0,4}}{14} \frac{0,3}{I} \frac{k^{0,1}}{12 \left( \frac{140}{7,5} \right)^3}$$

$$0,06 \frac{+}{14} \frac{0,4}{7,833} \frac{0,3}{7,833} \left( \frac{1,282}{140} \right)^{0,1}$$

$$g_{m1} = 0.402$$

$$g_{m2} = 0,075 + \frac{S^{0,6}}{9,5} \frac{SK^{0,2}}{I} \frac{0,1}{12 \left( \frac{140}{7,5} \right)^3}$$

$$= + \frac{0,075}{140} \frac{0,6}{7,833} \frac{0,2}{7,833} \left( \frac{1,282}{9,5} \right)^{0,1}$$

$$= > 0,588 \text{ } 0,402$$

$$GM = 0,588 \text{ mg} = \text{Para comprobar } -M \text{ en el Muelle 2.}$$

Muelle 1:

Sustituya L = 140 pies en las ecuaciones del factor de distribución.

$$g_m = 0,604 \text{ Para comprobar } -M \text{ en el Muelle 1.}$$

#### A5.5—Efectos de carga viva

Los resultados del análisis de haz continuo se describen en los Artículos A5.5.1 a A5.5.4 a continuación.

##### A5.5.1—Momento positivo máximo en el tramo 1 (a 0,4 L)

##### A5.5.1.1—Carga viva de diseño (HL-93)

Carga del carril de diseño = 841,0 kip-pie

Camión de diseño = 1404,0 kip-pie Gobierna

Tándem de diseño = 1108,0 kip-pie

SOY	= 33%	6A.4.3.3
MLL IM+	= 841,0 1404,0 1,33 2708,3 kip-pie	
grando IM+	= (0,594)(2708,3) 1608,7 kip-pie	

A5.5.1.2—Cargas legales

Utilice únicamente cargas de camiones con una longitud de tramo < 200 pies

1. Tipo 3	= 1011,1 kip-pie	
2. Tipo 3S2	= 1230,1 kip-pie	
3. Tipo 3-3	= 1232,6 kip-pie	Gobierna
SOY	= 33%	6A.4.4.3
MLL IM+	= 1232,6 1,33 1639,4 condición desconocida de la superficie de conducción 1639,4 kip-pie	
grando IM+	= ( ) 0,594 1639,4 =	

A5.5.2—Momento positivo máximo en el tramo 2 (a 0,5 L)

A5.5.2.1—Carga viva de diseño (HL-93)

Carga del carril de diseño = 903,5 kip-pies		
Camión de diseño	= 1405,2 kip-pie	Gobierna
Tándem de diseño	= 1109,2 kip-pie	
SOY	= 33%	
MLL IM+	= 903,5 1405,2 1,33 2772,4 kip-pie + x=	
grando MLL IM +	= (0,560)(2772,4) 1552,5 kip-pie	

A5.5.2.2—Cargas legales (use únicamente cargas de camiones)

4. Tipo 3	= 1012,8 kip-pie	
5. Tipo 3S2	= 1234,7 kip-pie	
6. Tipo 3-3	= 1259,1 kip-pie	Gobierna
SOY	= 33%	
MLL IM+	= 1259,1 1,33 1674,6 kip-pie	
grando MLL IM +	= (0,560)(1674,6) 937,8 kip-pie	

A5.5.3—Momento negativo máximo en el muelle 2

Análisis de carga viva para momentos negativos y reacciones en pilas interiores en un puente continuo. requiere la consideración de un modelo de carga adicional tipo carril. LRFD y LRFR reconocen la posibilidad de que más de un camión en un carril cause el efecto de fuerza máxima. El La línea de influencia para el momento en el Muelle 2 se muestra en la siguiente figura junto con la línea gobernante. colocación de carga para el caso de carga de diseño, el caso de carga legal y el caso de carga permitida.

Modelos de carga viva y ubicación:

Carga de diseño 6A.4.3.2.1

Carga legal 6A.4.4.2.1

Carga permitida 6A.4.5.4.1

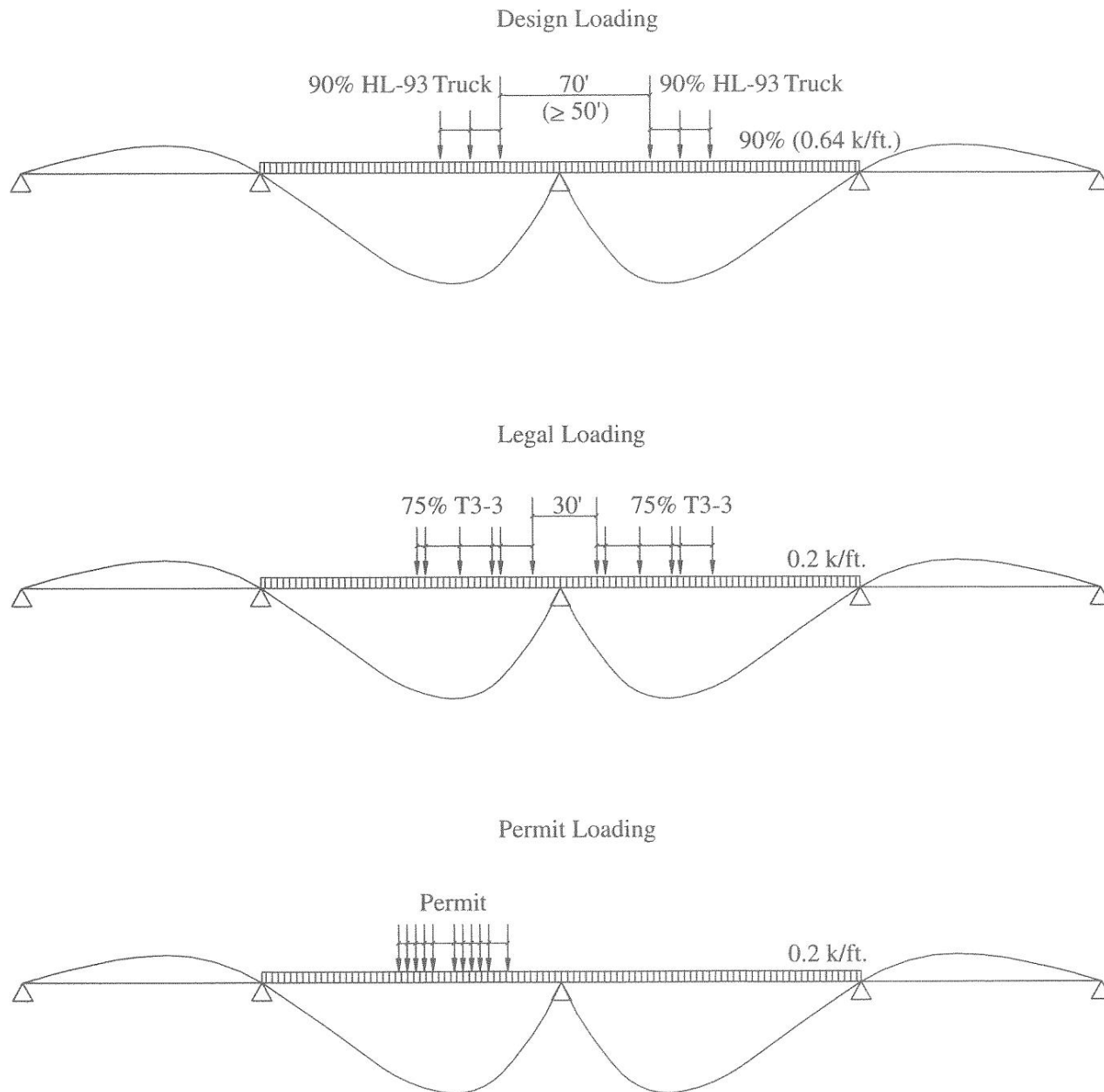


Figura A5.5.3-1—Línea de influencia para el momento sobre el centro del muelle (muelle 2) con carga de diseño, legal y permitida

(muestra carga tipo carril)

## A5.5.3.1—Calcular el momento negativo máximo en el muelle 2

## A5.5.3.1a—Carga viva de diseño (HL-93)

Carga del carril de diseño =  $-1388$  kip-pie

Camión de diseño =  $-895,5$  kip-pie

Tándem de diseño =  $-612,8$  kip-pie

Camiones dobles =  $-1790,1$  kip-pie

SOY = 33%

Carga de carril + Camión de diseño  $1388\ 895,5\ 1,33\ 2579$  kip-pie

Carga de carril + ejes tándem  $1388\ 612,8\ 1,33\ 2203$  kip-pie

0,9 (carga de carril + camiones dobles)  $0,9\ (1388\ 1790,1\ 1,33)\ 3392$  kip-ft Gobierna

MLL IM+ =  $-3392$  kip-pie

grado IM+ =  $(0,588)(-3392) = -1994,5$  kip-pie

## A5.5.3.1b—Cargas legales (cargas de camiones y cargas tipo carril)

1. Tipo 3 =  $-582,0$  kip-pie

2. Tipo 3S2 =  $-800,6$  kip-pie

3. Tipo 3-3 =  $-858,9$  kip-pie Gobierna

4. Carga tipo carril

Cargas por eje =  $-1291,0$  kip-pie

Carga uniforme =  $-433,9$  kip-pie

SOY = 33%

se aplica únicamente a las cargas por eje.

Tipo 3 =  $(-582,0 \times 1,33)$

=  $-774,1$  kip-pie

Tipo 3S2 =  $(-800,6 \times 1,33)$

=  $-1065$  kip-pie

Tipo 3-3 =  $(-858,9 \times 1,33)$

=  $-1142$  kip-pie

Carga tipo carril =  $(-1291,0 \times 1,33) + (-433,9)$

=  $-2150,9$  kip-pie Gobierna



MLL IM+ = −2150,9 kip-pie

$g_m \times M +$   
 $= (0,588)(-2150,9)$   
 $= 1264,7 \text{ kip-pie}$

Tabla A5.5.3.1b-1—Esfuerzos de flexión de vigas en secciones críticas

Ubicación	S (pulg.3)	Vivir Carga	gmMLL+IM (kip-pies)	FL+IM (kisi)	MDC (kip-pies)	MDW (kip-pies)	fdc (ksi)	fdw (ksi)
Span 1 a 0,4 L	1606.6	HL-93 Legal Carga	1608,7 973,8	12,02 7,27	1236,6	98,9	9.24	0,74
Muelle 2	2719.6	HL-93 Legal Carga	−1994.5 −1264,7	−8,80 −5,58	−2558.0	−204,6	−11.29	−0,90
Span 2 a 0,5 L	1606.6	HL-93 Legal Carga	1552.5 937,8	11.60 7.00	1119.8	89,6	8.36	0,67

A5.5.4—Corte máximo en el muelle 1 (a la izquierda del soporte)

A5.5.4.1—Carga viva de diseño (HL-93)

Carga del carril de diseño = −53,9 kips

Camión de diseño = −68,3 kips Gobierna

Tándem de diseño = −49,5 kips

SOY = 33%  
 $= -53,9 - 68,3 \times 1,33$

VLL + mancha indolente  
 $= -144,7 \text{ kips}$

$g_v \times VLL + IM$   
 $= (0,803)(-144,7)$   
 $= -116,2 \text{ kips}$

A5.5.4.2—Cargas legales

1. Tipo 3 = −48,0 kips
2. Tipo 3S2 = −63,9 kips
3. Tipo 3-3 = −67,7 kips Gobierna
- 6A.4.4.2.1

Nota: No se requiere carga tipo carril al verificar el corte.

SOY = 33%  
 $= (-67,7)(1,33)$

VLL + mancha indolente  
 $= -90,0 \text{ kips}$

$g_v \times VLL + IM$   
 $= (0,803)(-90,0)$   
 $= -72,3 \text{ kips}$

A5.6—Calcule la resistencia a la flexión nominal de la sección (momento positivo y negativo)

A5.6.1—Sección simétrica no compuesta

A5.6.1.1—Compruebe el límite de esbeltez no compacta en la red

$$\frac{2D_c}{t_w} < 5,7 \sqrt{\frac{mi}{F_{yc}}}$$

Diseño LRFD  
Ec. 6.10.6.2.3-1

$$\frac{2D_c}{t_w} = \frac{70}{0.4375} = 160$$

$$5,7 \sqrt{\frac{mi}{F_{yc}}} = 5,7 \sqrt{\frac{29000}{32}} = 171,6 > \frac{2D_c}{t_w}$$

Y compruebe que las bridas cumplan la relación:

$$\frac{I_{yc}}{I_{yt}} \geq 0.3$$

Diseño LRFD  
Ec. 6.10.6.2.3-2

en este caso:

$$\frac{I_{yc}}{I_{yt}} \geq 1,0 \quad 0,3 =$$

Debido a que el puente es recto y la  $F_y$  de las alas no excede los 70 ksi, se pueden aplicar las disposiciones opcionales del Apéndice A de Diseño de LRFD para determinar la resistencia nominal a la flexión de secciones no compuestas.

Diseño LRFD C6.10.6.2.3

A5.6.2—Regiones B y H – Secciones de momento positivo con bridas de compresión continuamente arriostradas

$\mu \leq \phi F_{pc} M_{yc}$  donde  $R_{pc}$  = Factor de Plastificación de la Web

Diseño LRFD  
Ec. A6.1.3-1

Para clasificación  $R_n = R_{pc} M_{yc}$

Las secciones no compuestas que cumplan con lo siguiente calificarán como secciones de alma compacta:

$$\frac{2D_{CP}}{t_w} \leq \lambda_{pw} \quad (pw \text{ Dcp})$$

Diseño LRFD  
Ec. A6.2.1-1

$$\frac{2D_{CP}}{t_w} = 160$$

$$\lambda_{pw} = \frac{\sqrt{\frac{mi}{F_{yc}}}}{2} \leq \lambda_{rw} \quad \frac{D_{CP}}{D_C}$$

$$= \frac{0,54}{hy} \sqrt{\frac{mi}{F_{yc}}} - 0,09$$

Diseño LRFD  
Ec. A6.2.1-2

dónde:

$$\lambda_{tw} = \frac{D}{D_c} = 174,59 \quad 5,7 \sqrt{\frac{29000}{32 \cdot 35}}$$

A5.6.2.1—Calcule el momento plástico,  $M_p$  (Diseño LRFD D6.1)

Brida superior:

$$P_c = 16 \text{ pulg.} \times 1,125 \text{ pulg.} \times 32 \text{ ksi} = 576 \text{ kips}$$

Brida inferior:

$$P_t = 16 \text{ pulg.} \times 1,125 \text{ pulg.} \times 32 \text{ ksi} = 576 \text{ kips}$$

Web:

$$P_w = 70 \text{ pulg.} \times 0,4375 \text{ pulg.} \times 32 \text{ ksi} = 980 \text{ kips}$$

$$d_t = \frac{70}{2} \frac{1,125}{2} d = 35,56 \text{ pulgadas.}$$

$$D = 70 \text{ pulg.}$$

Con referencia al Apéndice D6.1 de diseño de LRFD, Tabla 6.1-1, Caso I:

$$\bar{y} = \frac{D}{2} = 35 \text{ pulg.}$$

$$M_P = \frac{P_{A_c} W}{D}^{-2} \bar{y} D \bar{y} + 2 P_{A_c} P_d ( ) ( )$$

$$= \frac{980}{70} \cdot 35^2 (70 \cdot 35) \times 2^2 \cdot 2 \cdot 576 \cdot 35,56$$

$$= (17150 + 965,1) \times \frac{1}{12 \text{ pulgadas/pies}}$$

$$= 4842,9 \text{ kip-pie}$$

$$M_i = F_y S$$

Diseño LRFD D6.2.1

$$= 32 \cdot 1006,6 \cdot \frac{1}{12}$$

$$= 4284,3 \text{ kip-pie}$$

$$R_h = 1,0$$

$$\lambda_{pw D( ) cp} = \frac{\sqrt{\frac{29000}{32}}}{\frac{0,54}{1,0} \cdot \frac{4842,9}{4284,3} - 0,09}$$

$$= 111,16 < \frac{2 D_{CP}}{t_w} = 160$$

Por tanto, la sección web no es compacta.

Compruebe si la sección cumple con los requisitos para secciones web no compactas.

Diseño LRFD A6.2.2

$$\lambda_w < \lambda_{rw}$$

Diseño LRFD

Ec. A6.2.2-1

$$\lambda_w = \frac{2D_c}{t_w} = 160$$

Diseño LRFD

Ec. A6.2.2-2

$$\lambda_{rw} = 5,7 \sqrt{\frac{m_i}{F_{yc}}} = 171,6$$

Diseño LRFD

Ec. A6.2.1-3

$$\lambda_w = 160 < 171,6 < \lambda_{rw}$$

Por lo tanto, la sección califica como una sección web no compacta.

$R_{pc}$  se considerará como:

$$R_{PC} = 1 - \frac{1}{1 - \frac{R_{m,h}}{F_{yc}} \left( \frac{\lambda - \lambda_{pw}}{\lambda_{rw}} \right) \left( \frac{D_c}{D_{CP}} \right) \left( \frac{M_{yc}}{M_{pc}} \right)}$$

Diseño LRFD

Ec. A6.2.2-4

$$\lambda_{pw} D_c = \frac{D_c}{D_{CP}} \leq \lambda_{rw}$$

Ec. de diseño

LRFD. A6.2.2-6

$$111,16 \frac{35}{35} = 111,16 < 171,6 \leq$$

$$= 1 - \frac{1,0 \cdot 4284,3 \cdot 160 \cdot 111,16 \cdot 4842,9}{111,16 \cdot 4284,3 \cdot 4842,9} =$$

$$= 0,9068 \leq \frac{M_{pc}}{M_{yc}}$$

$$= 1,025 < 1,13 \leq$$

$$R_{PC} = 1,025$$

$$R_{pc} = R_{PC} M_{yc} = 1,025 \times 4284,3 \text{ kip-pie} = 4391,5 \text{ kip-pie}$$

Debido a que  $f_t$  es igual a cero en este caso y  $M_{yc}$  es igual a  $M_{yt}$ , la resistencia a la flexión basada en el ala tensada discretamente arriostrada en esta sección no controla y no necesita ser comprobado (Diseño LRFD A6.1.2).

$$R_n = M_n = 4391,5 \text{ kip-pie}$$

A5.6.3—Región E—Secciones de momento negativo con brida de compresión discretamente arriostrada (Diseño LRFD A6.1.1)

$$\mu \leq \frac{1}{\phi S_x M + 3}$$

Diseño LRFD

Ec. A6.1.1-1

Para calificar:

$$R_n = \frac{1}{3} F_{nc} S_x$$

dónde:

$F_{nc}$  = resistencia nominal a la flexión especificada en el Apéndice A6.3 de Diseño LRFD y basada en el ala comprimida.  $F_{nc}$  debe determinarse como el menor del pandeo local resistencia y la resistencia al pandeo lateral por torsión.

#### A5.6.3.1—Calcular la resistencia al pandeo local (Diseño LRFD A6.3.2)

$$\lambda_f = \frac{b_{FC}}{2t_{FC}} \quad \text{Diseño LRFD Ec. A6.3.2-3}$$

$$= \frac{2.125}{2 \times 0.125} = 3.76$$

$$\lambda_{pf} = 0.38 \sqrt{\frac{E}{F_{yc}}} \quad \text{Diseño LRFD Ec. A6.3.2-4}$$

$$= 0.38 \sqrt{\frac{29000}{32}}$$

$$= 11.4 > \lambda_f$$

Como  $\lambda_f \leq \lambda_{pf}$ , entonces:

$$F_{nc} = F_{yc}$$

Recalculando  $M_n = F_{nc} S_x$  para la Región E:

$$M_{nc} = F_{yc} S_x$$

$$= \frac{32 \text{ ksi} \times 2719.6 \text{ pulg.}^3}{12 \text{ pulgadas/pie}}$$

$$= 7252.3 \text{ kip-pie}$$

$$P_c = 16 \text{ pulg.} \times 2.125 \text{ pulg.} \times 32 \text{ ksi} = 1088 \text{ kips}$$

$$P_t = P_c = 1088 \text{ kips}$$

$$P_w = 980 \text{ kips}$$

$$d_t = C_c = + \frac{70 \times 2.125}{2} = 36.06 \text{ pulgadas.}$$

$$D = 70 \text{ pulg.}$$

$$y = 35 \text{ pulg.}$$

$$M_p = \frac{980}{70} \left[ \frac{35^2}{2} + 2 \times 1088 \times 36.06 + \dots \right]$$

$$= 17150 + 78467$$

Diseño LRFD  
Ec. A6.3.2-1

= 95617 entradas.

= 7968 kip-pie

Entonces:

$$RPC = \frac{1}{1} \times \frac{RM_{yc}}{MP} \frac{\lambda - \lambda_{pwDc}}{\lambda - \lambda_{pwDc}} \frac{MM}{MM_{yc}}$$

dónde:

$$\lambda_{pwDc} = \lambda_{wcp} \frac{D_c}{D_{CP}} \leq \lambda_{rw}$$

$$\lambda_{rw} = \frac{\sqrt{\frac{29000 \text{ ksi}}{32 \text{ ksi}}}}{0,54} \times \frac{35}{35} = 118,85 \leq \lambda_{rw}$$

$$\lambda_{rw} = 171,6 \quad \lambda_w = 160$$

$$RPC = \frac{1}{1} \times \frac{1,07252,3}{118,85} \frac{160}{171,6} \frac{7968}{7968} = 0,9299 \times 1,0987$$

$$= 0,9299 \times 1,0987$$

$$= 1,0217 \leq 1,0987$$

$$mnc = 1,0217 \times 7252,3 = 7409,7 \text{ kip-pie}$$

A5.6.3.2—Calcular la resistencia al pandeo por torsión lateral (Diseño LRFD A6.3.3)

Lb = Longitud sin refuerzo = 18 pies 2 pulg. = 218 pulg.

En este ejemplo, la longitud no arriostrada abarca tres regiones de sección transversal, C, D y E. (o E, F y G). El artículo de diseño C6.10.8.2.3 de LRFD establece que para longitudes no arriostradas que contienen una o más transiciones, solo las transiciones ubicadas dentro del 20 por ciento de la longitud no arriostrada desde el punto de arriostramiento con el momento más pequeño pueden ignorarse y la resistencia al pandeo lateral por torsión de la longitud no prismática no arriostrada restante se puede calcular como la resistencia más pequeña basada en el resto secciones. Debido a que sólo la transición entre las Regiones C y D está ubicada dentro del 20 por ciento de la longitud no arriostrada desde el punto de arriostramiento con el momento más pequeño, esa transición particular puede ignorarse. El pandeo lateral por torsión debe calcularse con base en la sección en la Región D.

Determine Lp y Lr para la Sección D:

bfc = bft = 16 pulg., tfc = tft = 1.375 pulg., profundidad del alma D = 70 pulg. tw = 0.4375 pulg.

Calcule el radio de giro efectivo rt:

$$r_t = \sqrt{\frac{b_{FC}^2}{12} + \frac{D^2 t_{cw}^2}{3}} \quad \text{porcentaje}$$

Diseño LRFD  
Ec. A6.3.3-10

$$= \sqrt{\frac{1350,4375}{3161,375} + \frac{12}{3161,375}}$$

= 4,16 pulgadas.

$$LP = 1,0 \sqrt{\frac{EI}{F_{yc}}}$$

Diseño LRFD  
Ec. A6.3.3-4

LP =

$$1,0 \times 4,16 \times \sqrt{\frac{29000}{32}} = 125,23 \text{ pulgadas.}$$

Calcular la constante de torsión de St. Venant J

$$J = \frac{d^3 t_b f_c f_c}{+ 33} - \frac{t_b f_c f_c}{10,63} + \frac{t_b f_c f_c}{10,63} + \frac{t_b f_c f_c}{10,63} + \frac{t_b f_c f_c}{10,63}$$

Diseño LRFD  
Ec. A6.3.3-9

$$= \frac{161,375 \times 33}{3} - \frac{70,4375}{3} + \frac{1,375}{16,3} + \frac{1,375}{16,3} + \frac{1,375}{16,3}$$

= 28,18 pulgadas<sup>4</sup>

Profundidad entre la línea central de las bridas, h = 70 pulg. + 1,375 pulg. = 71,375 pulg.

Calcule F<sub>yr</sub> para calcular L<sub>r</sub>, donde F<sub>yr</sub> es el menor de:

Diseño LRFD A6.3.3

$$0,7F_{yc} = 0,7 \times 32 \text{ ksi} = 22,4 \text{ ksi}$$

y:

$$F_{yt} = \frac{S_{xt}}{S_{xc}} = \frac{1884,6 \text{ pulgadas}^3}{1884,6 \text{ pulgadas}^3} = 32 \text{ ksi}$$

pero no menos de 0,5F<sub>yc</sub> = 0,5 × 32 ksi = 16 ksi

Por lo tanto, gobiernan 22,4 ksi.

$$L_r = 1,95 \sqrt{\frac{EI}{F_{yr}}} \sqrt{1 + \frac{F_{yr} h}{2 E I}} + \frac{F_{yr} h}{2 E I}$$

Diseño LRFD  
Ec. A6.3.3-5

$$= 1,95 \times 4,16 \times \sqrt{\frac{29000}{22,4}} \sqrt{1 + \frac{22,4 \times 1884,6 \times 71,375}{29000 \times 28,18}} + \frac{22,4 \times 1884,6 \times 71,375}{29000 \times 28,18}$$

= 495,8 pulgadas.

El modificador de gradiente de momento C<sub>b</sub> se puede tomar igual a 1,0 en este caso de acuerdo con el Artículo de Diseño A6.3.3 de LRFD.

Nota: Si todas las transiciones se hubieran ubicado dentro del 20 por ciento de la longitud no arriostrada desde el punto de arriostramiento con el momento más pequeño,  $C_b$  no tendría que tomarse igual a 1,0 y la resistencia al pandeo lateral por torsión podría basarse en el ala más grande. En esas circunstancias, se debe calcular  $C_b$  porque los resultados conducirían a una calificación mayor.

Determine  $R_{pc}$  de acuerdo con los Artículos de Diseño A6.2.1 o A6.2.2 de LRFD, según corresponda, y determine  $M_{yc}$ :

$$\text{Brida superior } P_c = 16 \text{ pulg.} \times 1,375 \text{ pulg.} \times 32 \text{ ksi} = 704 \text{ kips}$$

$$\text{Brida inferior } P_t = 16 \text{ pulg.} \times 1,375 \text{ pulg.} \times 32 \text{ ksi} = 704 \text{ kips}$$

$$\text{Web } P_w = 70 \text{ pulg.} \times 0,4375 \text{ pulg.} \times 32 \text{ ksi} = 980 \text{ kips}$$

$$d_t = \frac{70}{2} \times \frac{1,375}{2} = 36,375 \text{ pulgadas.}$$

$$D = 70 \text{ pulg.}$$

Con referencia al Apéndice D6.1 de diseño de LRFD, Tabla 6.1-1, Caso I:

$$\bar{y} = \frac{D}{2} = 35 \text{ pulg.}$$

$$\begin{aligned} M_p &= \frac{P_{w, \text{avg}}}{D} \bar{y}^2 + \frac{P_{c, \text{avg}}}{D} \bar{y}_c^2 + \frac{P_{t, \text{avg}}}{D} \bar{y}_t^2 \\ &= \frac{980}{70} (35)^2 + \frac{704}{70} (35)^2 + \frac{704}{70} (35)^2 \\ &= (17150 + 1216) \times \frac{1}{12 \text{ pulgadas/pies}} \\ &= 5697,2 \text{ kip-pie} \end{aligned}$$

$$M_i = F_y S$$

Diseño LRFD D6.2.1

$$= 32 \times 884,6 \times \frac{1}{12}$$

$$= 5025,6 \text{ kip-pie}$$

$$R_h = 1,0$$

$$\lambda_{pD} = \frac{\sqrt{\frac{29000}{32}}}{0,54 \times \frac{5697,2}{1,0 \times 5025,6} - 0,09} = 110,4$$

$$\frac{2D_{CP}}{t_w} = \frac{2 \times 85}{0,4375} = 160$$

$$= 110,4 < 160$$

Por tanto, la sección web no es compacta.

Compruebe si la sección cumple con los requisitos para secciones web no compactas:

Diseño LRFD A6.2.2



$$\lambda_w < \lambda_{rw}$$

Diseño LRFD  
Ec. A6.2.2-1

$$\lambda_w = \frac{2D_c}{t_w} = 160$$

Diseño LRFD  
Ec. A6.2.2-2

$$\lambda_{rw} = 5,7 \sqrt{\frac{m_i}{F_{yc}}} = 171,6$$

Diseño LRFD  
Ec. A6.2.1-3

$$\lambda_w = 160 < 171,6 < \lambda_{rw}$$

Rpc se considerará como:

$$RPC = \frac{RM_{yc}}{MP} \left( \frac{\lambda_w}{\lambda_{rw}} \right)^2 \frac{MM}{MM_{yc}}$$

Diseño LRFD  
Ec. A6.2.2-4

$$\lambda_{pWD} = \lambda_{pWC} \left( \frac{D_c}{D_{CP}} \right)^{0.5} \leq \lambda_{rw}$$

Diseño LRFD  
Ec. A6.2.2-6

$$110,4 \frac{35}{35} = 110,4 < 171,6 \leq$$

$$= \frac{1,0}{5697,2} \times 1 \frac{5025,6}{171,6} \frac{160}{110,4} \frac{5697,2}{5025,6}$$

$$= 0,9045 \leq \frac{MM}{MM_{yc}}$$

$$= 1,025 \leq 1,13$$

$$R_{pc} = 1,025 \text{ y } M_{yc} = 5025,6 \text{ kip-pie} = 60307 \text{ kip-pulg.}$$

Entonces:

$$METRO \text{ (para la Región D)} = -C_b \frac{1}{1} \frac{FS_{LL}}{RM_{LL}} \frac{1}{r_p} \frac{r_m}{r_m} \leq \frac{r_m}{r_m}$$

donde Fyr fue determinado previamente por  $0,7F_{yc} = 0,7 \times 32 \text{ ksi} = 22,4 \text{ ksi}$

Diseño LRFD A6.3.3

$$mnc = 1,0 \frac{1}{x} \frac{\text{pulg. } 218^3 \times \text{pulg. } 125,23^3 \times \text{pulg. } 22,4 \text{ ksi}}{\text{kip-pulg. } 495,8 \times \text{pulg. } 125,23^3} \frac{RM}{RM_{yc}} \leq \frac{pc}{yc} \frac{pc}{pc}$$

$$mnc = 1,0 \frac{1}{x} \left( 1,0829 \times 0,2503 \times 1,025 \times 5025,6 \right) \text{ kip-pie} = 4742,4 \text{ kip-pie}$$

$$Mnc(\text{muelle}) = \frac{S_{(xc \text{ Región E})}}{S_{(xc \text{ Región D})}} \times \frac{4742,4}{1884,6} = 6843,6 \text{ kip-pie}$$

$$6843,6 \text{ kip-pie} \leq Mnc \text{ para pandeo local } 7409,7 \text{ kip-pie}$$

Debido a que Myc es igual a Myt, la resistencia a la flexión basada en la tensión continuamente apuntalada La brida en esta sección no controla y no necesita ser revisada.

Por lo tanto,  $R_n = M_{nc}(\text{muelle}) = 6943,6 \text{ kip-pie}$

**A5.7—Ecuación general de clasificación de carga (6A.4.2)**

$$FR = \frac{C_{-Y}(\dots)(\dots) - Y_{DW}(DW)(\dots)(\dots)}{(Y_L)(LLIM)}$$

### Factores de evaluación (para el estado límite de resistencia)

- Factor de resistencia,

Diseño LRFD 6.5.4.2

= 1,0 para flexión y corte

- Factor de condición,  $c$

6A.4.2.3

c = 1,0 Sin deterioro

- Factor del sistema,  $s$

6A.4.2.4

s = 1,0 Puente multivigas

### A5.8—Clasificación de carga de diseño

6A.4.3

#### A5.8.1—Estado límite de resistencia I

#### 6A.6.4.1

$$FR = \frac{(\text{c})(\text{s})_{\text{L}} \text{Rn CC} (\text{continuous})_{\text{D}} (\text{DW}) (\text{DW})}{(\text{v}) (\text{LL IM})}$$

#### A5.8.1.1—Flexión en el tramo 1, 0,4 L

$$\text{Inventario RF} = \frac{(1,0)(0)(1,04391,51251236,115,98,9) - (1)(1)(1,751608,7)}{(1,751608,7)}$$

= 0,96                      Gobierna

$$\text{RF operativa} = 0,96 \times \frac{1,75}{1,35}$$

= 1,24                      Gobierna

#### A5.8.1.2—Flexión en el tramo 2, 0,5 L

$$\text{Inventario RF} = \frac{(100)(0,04391,5 \cdot 1,25 \cdot 10,8) - (1689,6)}{(1,75)(552,5)}$$

$$= 1,05$$

$$\text{RF operativa} = 1.05 \times \frac{1,75}{1.35}$$

$$= 1,36$$

### A5.8.1.3—Flexión en el Muelle 2

$$\text{Inventario RF} = \frac{(1,0)(0)(0,06943,71,252558,01,5)(04,6)}{(1,75(1994,5))}$$

$$= 0,99 \quad \text{Gobierna}$$

$$\begin{aligned} \text{RF operativa} &= 0,99 \times \frac{1,75}{1,35} \\ &= 1,28 \end{aligned}$$

#### A5.8.2—Estado límite de servicio II (6A.6.4.1)

Calculado con fines ilustrativos; no rige para secciones no compuestas ni compactas, como se analiza más adelante.

Para Estados Límite de Servicio,  $C = fR$

6A.4.2.1

$$fR = \frac{FRD \Psi ( ) F}{( \Psi (L_{LLIM} + ) )}$$

$fR = 0,80RhFyf$  para secciones no compuestas

Diseño LRFD 6.10.4.2.2

Anteriormente se determinó que  $Rh$  era 1,0

$$fR = 0,80 \times 1,0 \times 32$$

$$= 25,6 \text{ ksi}$$

$$\gamma_D = \gamma_{DC} = \gamma_{DW} = 1,0$$

Tabla 6A.4.2.2-1

$$\gamma_L = 1,3 \text{ para inventario}$$

$$= 1,0 \text{ para funcionamiento}$$

#### A5.8.2.1—En el tramo 1, 0,4 L

$$\text{Inventario RF} = \frac{25,6 \times 1,0 \times 9,24 \times 0,74 + ( )}{1,3 \times 12,02} = 1,00$$

$$\text{RF operativa} = 1,00 \times \frac{1,30}{1,00} = 1,30$$

#### A5.8.2.2—En el tramo 2, 0,5 L

$$\text{Inventario RF} = \frac{25,6 \times 1,0 \times 8,36 \times 0,67 + ( )}{1,3 \times 11,60} = 1,10$$

$$\text{RF operativa} = 1,10 \times \frac{1,30}{1,00} = 1,43$$

#### A5.8.2.3—En el muelle 2

$$\text{Inventario RF} = \frac{25,6 \times 1,0 \times 11,29 \times 0,90 + ( )}{1,3 \times 8,80} = 1,17$$

$$\text{RF operativa} = 1,17 \times \frac{1,30}{1,00} = 1,52$$

Como se ve aquí, los factores de calificación de Fuerza I gobiernan sobre los factores de calificación de Servicio II correspondientes. Esta es una afirmación cierta para todas las vigas de acero no compuestas y no compactas. Durante las clasificaciones normales, no es necesario calcular los factores de calificación de Servicio II para la carga de diseño. Clasificación cuando la viga de acero no es compuesta ni compacta. Esto es cierto tanto en LRFD como en LRFR.

#### A5.8.3—Clasificación de carga legal (6A.4.4)

Las clasificaciones de carga de diseño a nivel de inventario no fueron todas  $> 1,0$ . Las clasificaciones de carga de diseño a nivel operativo fueron todas  $> 1,0$ . Si un estado (o propietario) permite vehículos legales que exceden las cargas legales de AASHTO, entonces serán necesarias clasificaciones de carga con los vehículos legales del estado. Legal Las capacidades de carga utilizando las cargas legales de AASHTO se demuestran a modo ilustrativo.

El tipo 3-3 se rige para las ubicaciones de momentos positivos y la carga tipo carril se rige para las ubicaciones de momentos negativos. Los factores de calificación se demostrarán utilizando sólo las cargas gobernantes. (Consulte la Tabla A5.5.3.1b-1 para conocer los esfuerzos de flexión de la viga).

#### A5.8.3.1—Estado límite de resistencia I (6A.6.4.2.1)

TDA = 5500

Tabla 6A.4.4.2.3a-1

$\gamma_L = 1,8$

#### A5.8.3.1a —Flexión en el tramo 1, 0,4 L

Tipo 3-3 + gmMLL + IM = 973,8 kip-pie

$$FR = \frac{(1,0)(1,0)(1,0)(4391,5)(1,25)(1236,6)(1,5)(98,9)}{(1,8)(973,8)} = 1,54$$

#### A5.8.3.1b —Flexión en el tramo 2, 0,5 L

Tipo 3-3 + gmMLL + IM = 937,8 kip-pie

#### A5.8.3.1c —Flexión en el Muelle 2

Carga tipo carril – gmMLL + IM = 1264,7 kip-pie

$$FR = \frac{(1,0)(1,0)(1,0)(6943,6)(1,25)(2558,0)(1,5)(204,6)}{(1,8)(1264,7)} = 1,51 \quad \text{Goberna}$$

#### A5.8.3.2—Estado límite de servicio II (6A.6.4.2.2)

$f_R = 0,80 R_h F_y$  para secciones no compuestas

Anteriormente se determinó que  $R_h$  era 1,0

Diseño LRFD 6.10.4.2.2

$f_R = 0,80 \times 1,0 \times 32$

Tabla 6A.4.2.2-1

$= 25,6 \text{ ksi}$

$\gamma_D = \gamma_{DC} = \gamma_{DW} = 1,0$

$\gamma_{LL} = 1,3$

A5.8.3.2a—En el tramo 1, 0,4 L (controles de camión tipo 3-3)

$$FR = \frac{25,6 + 1,0 \left( \frac{9,24 + 0,74}{1,37,27} \right)}{1,37,27}$$

$$= 1,65$$

A5.8.3.2b—En el tramo 2, 0,5 L (controles de camión tipo 3-3)

$$FR = \frac{25,6 + 1,0 \left( \frac{8,36 + 0,67}{1,37,00} \right)}{1,37,00}$$

$$= 1,82$$

A5.8.3.2c—En el muelle 2 (regulaciones de carga de tipo carril)

$$FR = \frac{25,6 + 1,0 \left( \frac{11,29 + 0,90}{1,35,58} \right)}{1,35,58}$$

$$= 1,85$$

A5.9—Evaluación de corte

6A.6.10

Corte máximo en el Muelle 1 (ver cálculos anteriores):

$$VCC = 106,8 \text{ kips}$$

$$VDW = 8,5 \text{ kips}$$

$$+ IM = 116,2 \text{ kips (HL-93) gvVLL}$$

$$gvVLL + IM = 72,3 \text{ kips (Tipo 3-3)}$$

A5.9.1—Resistencia al corte en el muelle 1

Espaciado de refuerzos verticales = 5 pies c/c

Profundidad web:

$$D = 70 \text{ pulg.} = 5,83 \text{ pies}$$

$$3D = 3 \times 70 \text{ pulg.} = 210 \text{ pulg.} = 17,5 \text{ pies}$$

Como el espaciado de los rigidizadores transversales es menor que 3D, los paneles del alma interior se consideran rígido.

Diseño LRFD 6.10.9

A5.9.2—Resistencia al corte para paneles interiores

Controlar:

Diseño LRFD

Ec. 6.10.9.3.2-1

$$\frac{2DT_w}{( \text{por c/c} )} \leq 2,5$$

$$\frac{2DT_w}{( \text{por c/c} )} = \frac{2 \times 70 \times 0,4375 \times \times}{(16 \times 2,125 \times 16 \times 2,125)} = 0,92,5$$

Entonces:

Diseño LRFD  
Ec. 6.10.9.3.2-2

$$V_n = \frac{VC}{\phi} + \frac{1}{\sqrt{1 + \frac{d_o}{dD}}} \left( \frac{C_{0,87}}{2} \right)^2$$

$$V_n = 0,58 F_y w D t_w$$

$$= 0,58 \times 32 \times 70 \times 0,4375$$

$$= 568,4 \text{ kips}$$

Determinar C:

$$k = 5 + \frac{5}{\frac{d_o}{dD}}$$

Diseño LRFD  
Ec. 6.10.9.3.2-3

Diseño LRFD  
Ec. 6.10.9.3.2-7

donde  $d_o$  = espaciamiento de refuerzos = 60 pulg.

$$k = 5 + \frac{5}{\frac{60}{70}} = 11,81$$

Si:

$$\frac{V_n}{\phi} < 1,12 \sqrt{\frac{E k}{F_{yw}}}$$

Diseño LRFD  
Ec. 6.10.9.3.2-4

entonces:

$$C = 1,0$$

$$\frac{V_n}{\phi} = \frac{70}{0,4375} = 160$$

$$1,12 \sqrt{\frac{E k}{F_{yw}}} = 1,12 \sqrt{\frac{29000 \times 11,81}{32 \times}} = 115,9$$

$$160 > 115,9 \quad \text{FALLAR}$$

Si:

Diseño LRFD  
Ec. 6.10.9.3.2-5

$$1,12 \sqrt{\frac{E k}{F_{yw}}} \leq \frac{D}{t_w} \sqrt{\frac{E k}{F_{yw}}}$$

entonces:

$$C = \frac{1,12}{\frac{D}{t_w}} \sqrt{\frac{E k}{F_{yw}}}$$

$$1,40 \sqrt{\frac{Ek}{F_{yw}}} = 144,9$$

$$160 > 144,9 \quad \text{FALLAR}$$

Si:

Diseño LRFD

Ec. 6.10.9.3.2-6

$$\frac{D}{t_w} > 1,40 \sqrt{\frac{Ek}{F_{yw}}} \quad \text{VERDADERO}$$

entonces:

$$C = \frac{1,57}{\frac{D}{t_w}^2} \frac{Ek}{F_{yw}}$$

$$C = \frac{11,81}{160^2} \frac{1,57 \times 9000}{32} = 0,656$$

$$V_n = VC_{(avg)} + \frac{0,87 \sqrt{G}}{\sqrt{1 + \frac{d_{ch}^2}{D^2}}}$$

$$= 568,4 \times 0,656 + \frac{0,87 \sqrt{0,656}}{\sqrt{1 + \frac{60^2}{70^2}}}$$

$$= 502,0 \text{ kips}$$

$$V_R = \phi_v V_n$$

$$= 1,0 \times 502,0 = 502,0 \text{ kips}$$

A5.10—Clasificación de corte en el muelle 1

$$v = 1,00$$

Diseño LRFD 6.5.4.2

$$c = 1,00$$

6A.4.2.3

$$\phi_s = 1,00$$

6A.4.2.4

A5.10.1—Clasificación de carga de diseño

6A.4.3

Fuerza I Estado Límite:

6A.6.4.1

Cizalla de inventario:

$$FR = \frac{(1,010 \cdot 1,0502,0 \cdot 1,25106,8) - (1,508,5)}{(1,75116,2)} = 1,75$$

Cizalla operativa:

$$FR = 1,75 \times \frac{1,75}{1,35} = 2,27$$

usando la misma R como inventario.

A5.10.2—Clasificación de carga legal (el tipo 3-3 rige)

6A.4.4

Fuerza I Estado Límite:

6A.6.4.2.1

Cortar:

$$FR = \frac{(1,010 \cdot 1,0502,0 \cdot 1,25106,8) - (1,508,5)}{(1,8072,3)} = 2,73$$

Utilizando la misma resistencia al corte que para HL-93.

Nota: R podría recalcularse para cargas legales, lo que daría como resultado una mayor resistencia y clasificación.

A5.10.3—Clasificación de carga permitida (6A.4.5)

Tipo de permiso: Carga legal de rutina

6A.4.5.2

RF > 1.0 El puente puede evaluarse para permisos Peso del permiso: 220 kips

El vehículo con permiso se muestra en el Ejemplo A1A, Figura A1A.1.10-1

ADTT (una dirección): 5500

Estado límite de resistencia II:

6A.6.4.2

Factor de carga γL = 130

Tabla 6A.4.5.4.2a-1

IM = 33 % (se desconoce el estado de la superficie de conducción)

6A.4.5.5

Utilice los factores de distribución de carga viva con carga de carriles múltiples.

6A.4.5.4.2a

Rango 1: +M gm = 0,594

Rango 2: +M gm = 0,560

Muelle 2: -M gm = 0,588

Muelle 1: Vgv máx. = 0,803

gramos = 0,604



		Permiso	Carga de carril, 0,2 kip/
Máx +M	Lapso 1	3775,3	pie
Máx +M	Lapso 2	3884,8	NA
–M en	Muelle 2	2621,8	NA 433,9 Sin IM para carga
Max V a la izquierda de	Muelle 1	190,6	de carril NA

6A.4.5.4.1

Efectos de carga distribuida con IM:

$$\text{Rango 1: +MLL + IM} = (3775,3)(1,33)(0,594) = 2982,6 \text{ kip-pie}$$

$$\text{Rango 2: +MLL + IM} = (3884,8)(1,33)(0,560) = 2893,4 \text{ kip-pie}$$

$$\text{Muelle 2: –MLL + IM} = [(2621,8)(1,33) + 433,0](0,588) = 2305,0 \text{ kip-pie}$$

$$\text{Muelle 1: VLL + IM} = (190,6)(1,33)(0,803) = 203,6 \text{ kips}$$

Flexura	S, pulg.3	gm MLL + IM, kip-ft fLL + IM, ksi fDC, ksi fDW, ksi	22 3 9,24	
Tramo 1 a 0,4 L	1606,6	2982,6	10,2 11,29 21,6	0,74
Muelle	2719,6	2305,0	8,36	0,90
2 Tramo 2 a 0,5 L	1606,6	2893,4		0,67

Previamente se determinó la resistencia nominal a flexión de cada sección. Consulte la subsección A5.6 de este ejemplo.

Para las regiones B y H de momento positivo,  $M_n = 4391,5 \text{ kip-pie}$

Para momento negativo Región E,  $M_{nc} = 6943,6 \text{ kip-pie}$

Factores de clasificación de flexión

## A5.10.3.1—Flexión en el tramo 1, 0,4 L

$$FR = \frac{(1,0)(1,0)(1,0)(4391,5)(1,25)(1236,6)(1,5)(98,9)}{(1,3)(2982,6)} = 0,70 < 1,0$$

Gobierna

## A5.10.3.2—Flexión en el tramo 2, 0,5 L

$$FR = \frac{(1,0)(1,0)(1,0)(4391,5)(1,25)(1119,8)}{(1,3)(2893,4)} = 0,76 < 1,0$$

## A5.10.3.3—Flexión en el Muelle 2

$$FR = \frac{(1,0)(1,0)(1,0)(6943,6)(1,25)(2558,0)(1,5)(204,6)}{(1,3)(2305,0)} = 1,15 > 1,0$$

Como flexura gobernante:

$$FR = 0,70 < 1,0$$

La verificación del permiso falla en flexión.

Si los factores de clasificación de Resistencia a la flexión II fueran mayores que 1,0, los factores de resistencia al corte II y Los factores de calificación de Servicio II también deben evaluarse antes de la aprobación del permiso.

#### A5.11—Resumen de los factores de calificación

Tabla A5.11-1—Resumen de factores de calificación—Viga interior

Estado límite	Clasificación de carga de diseño (HL-93)		Clasificación de carga legal		Carga permitida
	Inventario	Operando	Carga gobernante		Clasificación
Fuerza I					
Flexión a 0,4L (+M)	0,96	1,24	Tipo 3-3	1,54	
Flexión a 0,5L (+M)	1,05	1,36	Tipo 3-3	1,69	
Flexión en el muelle 2 (–M)	0,99	1,28	carril	1,51	
Corte en muelle 1	1,75	2,27	Tipo 3-3	2,73	
Servicio II					
Flexión a 0,4L (+M)	1,00	1,30	Tipo 3-3	1,65	
Flexión a 0,5L (+M)	1,10	1,43	Tipo 3-3	1,82	
Flexión en el muelle 2 (–M)	1,17	1,52	carril	1,85	
Flexión de					
Fuerza II a 0,4 L (+M)					0,70
Flexión a 0,5L (+M)					0,76
Flexión en el muelle 2 (–M)					1,15

#### A5.12—Referencias

AASHTO. 2007. Especificaciones de diseño de puentes AASHTO LRFD, cuarta edición, LRFDUS-4-M o LRFDSI-4.

Asociación Estadounidense de Funcionarios Estatales de Carreteras y Transporte, Washington, DC.



A6—A TRAVÉS DEL PUENTE DE ARMADURA PRATT: VERIFICACIÓN DE CARGA DE DISEÑO DE MIEMBROS DE ARMADURA SELECCIONADOS

A6.1—Datos del puente

Longitud de espacio:	175 pies (tramo único, armadura conectada con pasadores)
Año de construcción:	1909
Material:	Acero $F_y = 36$ ksi (rendimiento nominal por prueba) $F_u = 65,4$ ksi (máximo nominal según prueba)
Condición:	Sin deterioro. NBI Artículo 59 Código = 7
Superficie de conducción:	No verificado ni documentado en campo
ADTT (una dirección):	Desconocido
Sesgar:	0°

A6.2—Propiedades del miembro

Miembro	Sección	A, pulg.2	r, pulg.
Acorde superior TC4 remachado	Urbanizado Tramo 2 Web Pl. 21 × $\frac{1}{2}$	55.3	9,1
	2 Ángulo inferior 5 × 31 /2 × 2 $\frac{5}{8}$		
	Ángulo superior 31 /2 × 31 /2 × $\frac{3}{8}$		
	Placa de cubierta superior 27 × $\frac{1}{2}$		
Acorde inferior BC4	6 barras oculares 8	48,0 —	24,0 —
diagonal D1	× 1 2 barras oculares 8	19,92 —	
Vertical V1 Remachado	× 11 /2 2 canales—15C33.9#		

A6.3—Análisis de carga muerta

Espesor del asfalto = 3 pulgadas (medido en el campo)

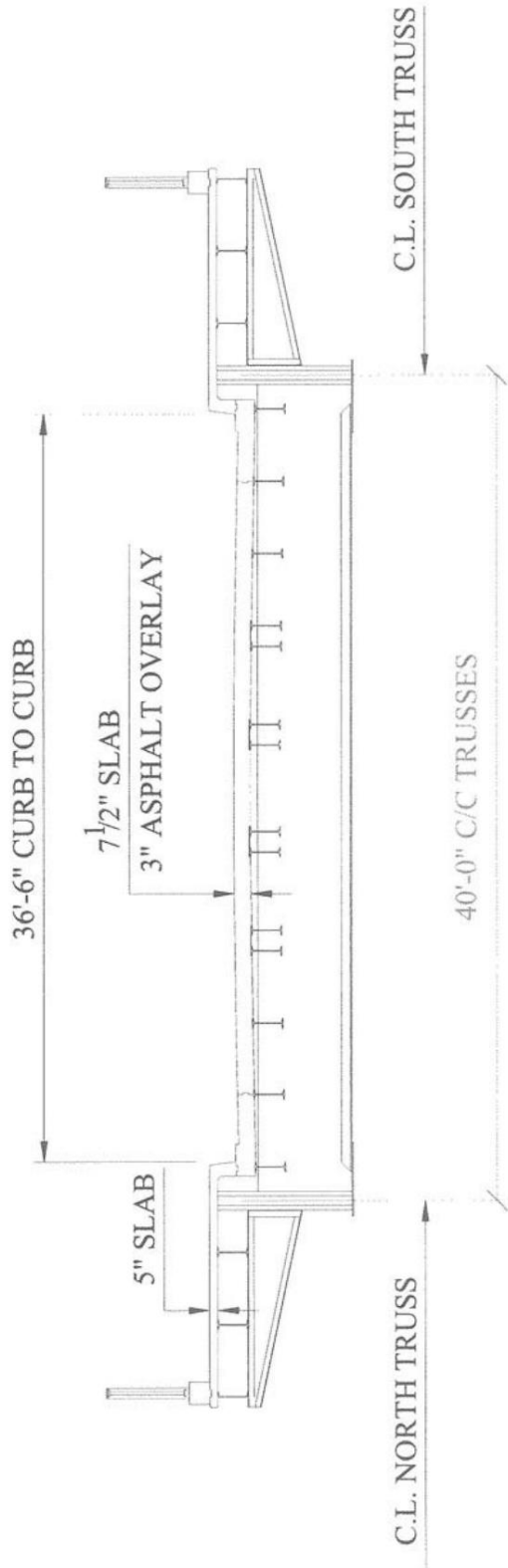
Efectos de la fuerza de carga muerta (DC = Componente, DW = Superficie de desgaste)

Miembro	PDC	PDW
TC4 (acorde superior)	−558,1 kips	−39,4 kips
BC4 (acorde inferior)	535,1 kips	37,7 kips
D1 (diagonal)	253,2 kips	17,8 kips
V1 (Vertical)	106,2 kips	9,2 kips



## TRUSS ELEVATION

18-A



CROSS SECTION

A6.4—Análisis de carga viva (verificación de carga de diseño)

Utilice la regla de la palanca para la distribución de cargas vivas a la armadura Norte.

Diseño LRFD 4.6.2.4

Analizando como una estructura plana.

Aplicación de carga HL-93 dentro de un carril:

Diseño LRFD 3.6.1.3.1

R representa la resultante de las cargas sobre carriles y ruedas.

W = carga de carril

P = cargas de las ruedas

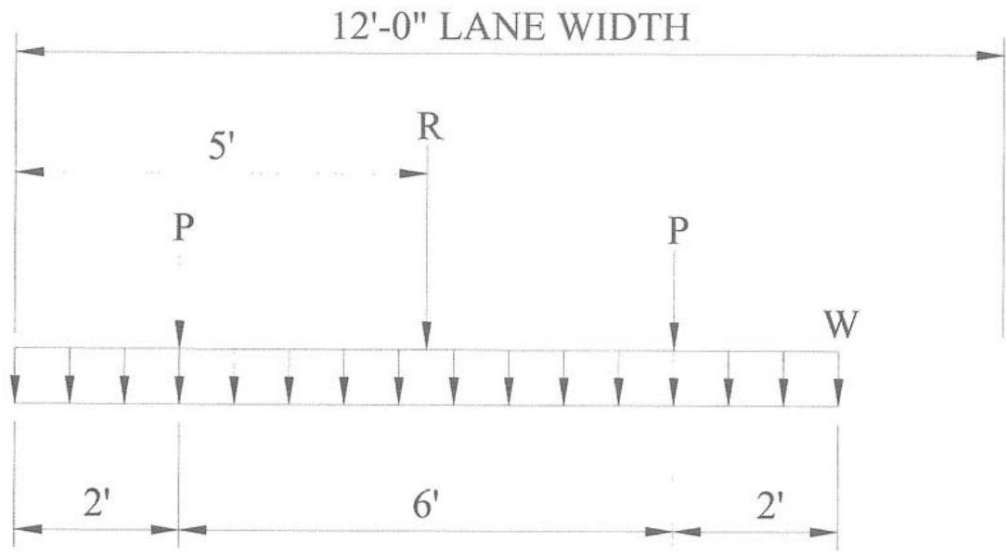


Figura A6.4-1—Colocación de carga típica dentro de un carril

Ancho de la carretera = 36,5 pies

Distancia entre vigas = 40 pies

Distancias al borde = 1,75 pies

A6.4.1—Factores de distribución de carga viva

A6.4.1.1—Un carril cargado (consulte la Figura A6.4.1-1)

Factor de presencia múltiple = 1,2

Tabla de diseño  
LRFD 3.6.1.1.2-1

Factor de distribución

$$= \frac{40 \cdot 1,75 \cdot 5}{40} \times 1,2$$
$$= 0,998$$

A6.4.1.2—Dos carriles cargados (consulte la Figura A6.4.1-1)

Factor de presencia múltiple = 1,0

Factor de distribución

$$= \frac{1}{40,00}$$

$$= 1,363 \quad \text{Gobierna}$$

#### A6.4.1.3—Tres carriles cargados (consulte la Figura A6.4.1-1)

$$\text{Factor de presencia múltiple} = 0,85$$

$$\text{Factor de distribución} = \left( \frac{83,25 + 21,25 + 9,25 + 0,85}{40,00} \right) \frac{1}{40,00}$$

$$= 1,355$$

#### A6.4.2—Efectos de la fuerza de carga viva (debido a HL-93)

$$\text{Factor de distribución} = 1,363$$

Asignación de carga dinámica IM = 33%

Las siguientes fuerzas en los miembros se calcularon utilizando líneas de influencia. No distribuido, sin impacto.

#### A6.4.2.1—Miembro TC4 (Ver Figura A6.3-1)

$$\text{Carga del carril de diseño} = -68,1 \text{ kips}$$

$$\text{Camión de diseño} = -76,3 \text{ kips} \quad \text{Gobierna}$$

$$\text{Tándem de diseño} = -53,2 \text{ kips}$$

$$= -68,1 - 76,3 \times 1,33$$

$$= -169,6 \text{ kips}$$

$$\times \text{PLL} + \text{IM} = (1,363) (-169,6 \text{ kips})$$

$$= -231,1 \text{ kips}$$



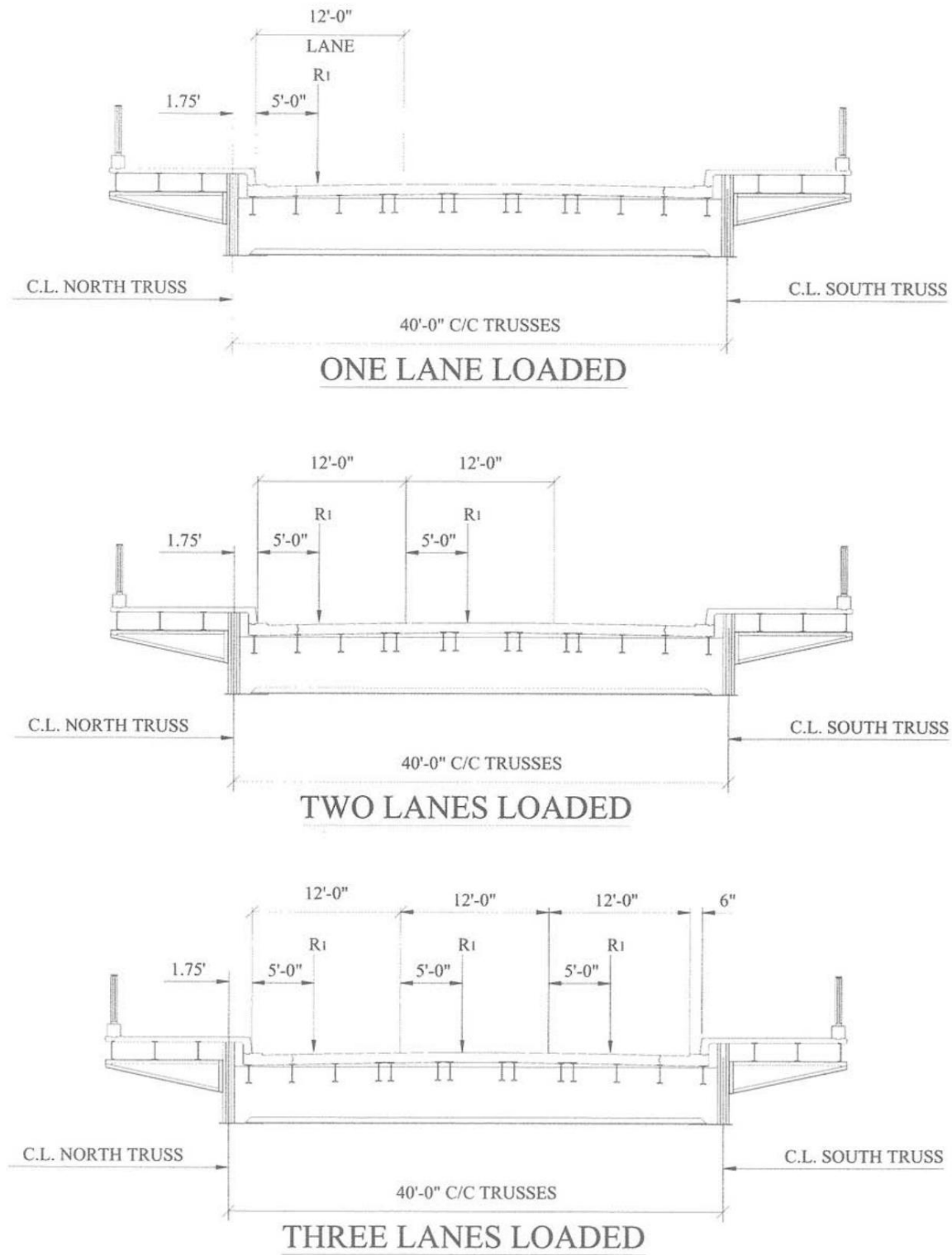


Figura A6.4.1-1—Colocación de carga para distribución hacia la armadura norte

A6.4.2.2—Miembro BC4			
Carga del carril de diseño	= 65,3 kips		
Camión de diseño	= 73,1 kips	Gobierna	
Tándem de diseño	= 51,0 kips		
PLL + masa propia instantánea	= 65,3 kips + 73,1 × 1,33		
	= 162,5 kips		
g × PLL + IM	= (1,363) (162,5 kips)		
	= 221,5 kips		

A6.4.2.3—Miembro D1			
Carga del carril de diseño	= 33,9 kips		
Camión de diseño	= 49,3 kips	Gobierna	
Tándem de diseño	= 36,4 kips		
PLL + masa propia instantánea	= 33,9 kips + 49,3 × 1,33		
	= 99,5 kips		
g × PLL + IM	= (1,363) (99,5 kips)		
	= 135,6 kips		

A6.4.2.4—Miembro V1			
Carga del carril de diseño	= 16,0 kips		
Camión de diseño	= 49,6 kips	(Gobierna)	
Tándem de diseño	= 46,0 kips		
PLL + masa propia instantánea	= 16,0 kips + 49,6 × 1,33		
	= 82,0 kips		
g × PLL + IM	= (1,363) (82,0 kips)		
	= 111,7 kips		

A6.5—Calcular la resistencia nominal de los miembros

A6.5.1—Acorde superior TC4 (miembro de compresión)	
Área	= 55,30 pulg. <sup>2</sup> r = 9,1 pulg.
Longitud	= 25 pies

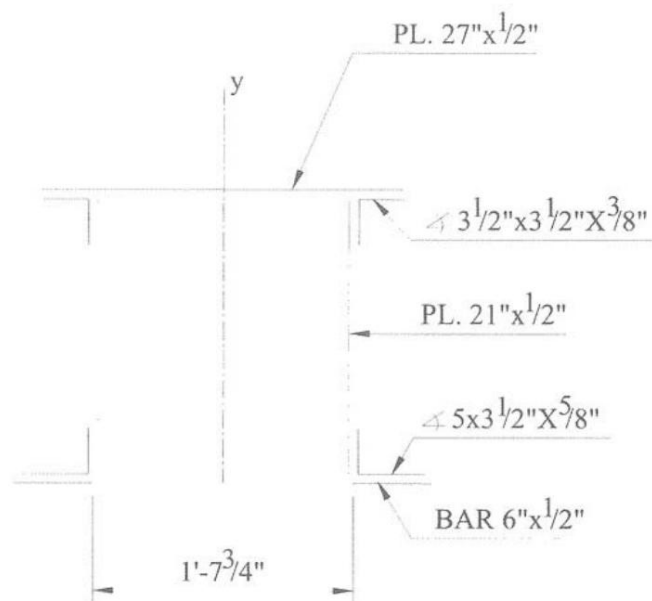


Figura A6.5.1-1—Sección transversal del cordón superior

Miembro TC4:

Área = 55,30 pulgadas<sup>2</sup> $y_o = 5716,8$  pulgadas<sup>4</sup> $I_z = 4541,3$  pulgadas<sup>4</sup>

El eje de gravedad de la cuerda superior coincide con la línea de trabajo que conecta los pasadores.

Por lo tanto, la cuerda superior se evalúa como una columna cargada concéntricamente.

El Apéndice I6A ilustra un ejemplo donde los pasadores son excéntricos.

Relación límite de esbeltez:

Diseño LRFD 6.9.3

$$\frac{k}{r} = \frac{0,875 \times 25 \times 12}{9.1} = 28,8 \text{ para miembros principales} \quad \text{DE ACUERDO}$$

 $k = 0,875$  para extremos con pasadores

Diseño LRFD 4.6.2.5

Resistencia a la compresión nominal:

Diseño LRFD 6.9.4.1

El término de esbeltez de la columna  $\lambda$  se define como:

$$\begin{aligned} \lambda &= \frac{k}{r} \sqrt{\frac{F_y}{\pi^2 E}} \\ &= \frac{F_y}{\pi^2 E} \left( \frac{k}{r} \right)^2 \\ &= \frac{28.8^2}{\pi^2} \frac{36}{29000} \end{aligned}$$

$$= 0,104 < 2,25 \text{ Columna de longitud intermedia}$$

Verifique las relaciones límite de ancho/espesor:

Diseño LRFD 6.9.4.2

$$\frac{b}{t} \leq k \sqrt{\frac{m}{F_y}}$$

Ec. de diseño  
LRFD. 6.9.4.2-1

k = coeficiente de pandeo de la placa como se especifica en la Tabla de Diseño 6.9.4.2-1 de LRFD.

Placa superior, k = 1,40:

Tabla de diseño  
LRFD 6.9.4.2-1

$$\frac{b}{t} \leq 1,40 \sqrt{\frac{m}{F_y}}$$

$$b = 18,75 \text{ pulgadas (ángulos espalda con espalda)}$$

$$\frac{b}{t} = \frac{18,75}{1/2} = 37,5$$

$$1,40 \sqrt{\frac{m}{F_y}} = 1,40 \sqrt{\frac{29000}{36}} = 39,7$$

$$\frac{b}{t} = 37,5 < 39,7$$

DE ACUERDO

Placas de alma, k = 1,49:

Diseño LRFD  
Tabla 6.9.4.2-1

$$\frac{h}{t_w} \leq 1,49 \sqrt{\frac{m}{F_y}}$$

$$\frac{h}{t_w} = \frac{21}{0,5} = 42$$

$$1,49 \sqrt{\frac{m}{F_y}} = 1,49 \sqrt{\frac{29000}{36}}$$

$$= 42,3 \quad 42 > = \frac{h}{t}$$

DE ACUERDO

Brida inferior, k = 0,45

Diseño LRFD  
Tabla 6.9.4.2-1

$$\frac{b}{t} \leq 0,45 \sqrt{\frac{E}{F_y}}$$

$$\frac{b}{t} = \frac{6}{\frac{5}{8} + 0,5} = 5,33$$

$$0,45 \sqrt{\frac{E}{F_y}} = 0,45 \sqrt{\frac{29000}{36}}$$

$$= 12,8 \text{ } \frac{b}{t} > 12,8 \Rightarrow \text{No cumple}$$

DE ACUERDO

La sección construida cumple con las relaciones límite ancho/espesor; No se producirá pandeo local antes de la fluencia.

$A_s \lambda < 2,25$  (Ver cálculos anteriores)

$$P_n = \frac{A}{0,66 \text{ años fiscales}} \lambda$$

Diseño LRFD  
Ec. 6.9.4.1-1

$$= \frac{0,104}{0,66} \times 36 \times 55,30$$

$$= 0,957 \times 36 \times 55,30$$

$$= -1906,6 \text{ kips}$$

$$P_r = \phi_c P_n$$

Diseño LRFD  
Ec. 6.9.2.1-1

$$\phi_c = 0,90$$

Diseño LRFD 6.5.4.2

$$P_r = 0,9 \times (-1906,6) = 1715,9 \text{ kips}$$

A6.5.2—Miembro del cordón inferior BC4 (Miembro a tensión)

6 barras oculares de 8 pulg.  $\times$  1 pulg.

Área total = 48 pulgadas<sup>2</sup>

A6.5.2.1—Estado límite: cedencia sobre el área bruta (en el vástago de la barra ocular)

$$P_r = \phi_y F_y A_g$$

Ec. de diseño  
LRFD. 6.8.2.1-1

$$\phi_y = 0,95$$

Diseño LRFD 6.5.4.2

$$P_r = 0,95 \times 48 \times 0,95(1728) \times \times =$$

$$= 1641,6 \text{ kips}$$

Gobierna

A6.5.2.2—Estado límite: fractura en la cabeza de la barra ocular

$$P_r = \phi_u F_u A_n U$$

Diseño LRFD  
Ec. 6.8.2.1-2

$$U = 1,0$$

$$\phi_u = 0,80$$

Diseño LRFD 6.5.4.2

Ancho de la cabeza de la barra ocular en la línea central del pasador = 18 pulg.

Tamaño del orificio del pasador = 61 /2 pulg. + 1 /32 pulg.

Un = (18 pulg. – 61 /2 pulg. – 1 /32 pulg.) × 1 pulg.

= 11,53 pulgadas 2 por barra ocular

$$\frac{A_{\text{una caña}}}{\text{una caña}} = \frac{11.53}{8 \times 1} = 1,43 \text{ 1,35}$$

DE ACUERDO

6A.6.6.2

pr = 0,80 65,4 × 11,53 6 0,80 (4524,4)

= 3619,5 kips > 1641,6 kips

Un valor menor de Pr rige:

pr = 1641,6 kips

A6.5.3—Miembro diagonal D1

2 barras oculares de 8 pulg. × 1 1 /2 pulg.

Área total = 24 pulgadas 2

A6.5.3.1—Estado límite: cedencia sobre el área bruta (en el vástago de la barra ocular) (Ecuación de diseño LRFD 6.8.2.1-2)

pr = φyFyAg

= 0,95 × 36 × 24 = 0,95(864)

= 820,8 kips

Diseño LRFD

Ec. 6.8.2.1-1

A6.5.3.2—Estado límite: fractura en la cabeza de la barra ocular

pr = φuFuAnU

Ud. = 1,0

φu = 0,80

Diseño LRFD

Ec. 6.8.2.1-2

Ancho de la cabeza de la barra ocular en la línea central del pasador = 18 pulg.

Tamaño del orificio del pasador = 61 /2 pulg. + 1 /32 pulg.

Un = (18 pulg. – 61 /2 pulg. – 1 /32 pulg.) × 1,5 pulg.

6A.6.6.2

= 17,20 pulgadas 2

$$\frac{A_{\text{una caña}}}{\text{una caña}} = \frac{17.20}{8 \times 1,5} = 1,43 \text{ 1,35}$$

DE ACUERDO

pr = 0,80 65,4 1 × 17,53 6 0,80 (4524,4)

= 3619,5 kips > 1641,6 kips

= 1799,8 kips > 820,8 kips

Gobierna el menor valor de  $P_r$

$$P_r = 820,8 \text{ kips}$$

#### A6.5.4—Miembro vertical V1

# 2 15C 33.9

Área total  $A_g = 19,92 \text{ pulg}^2$

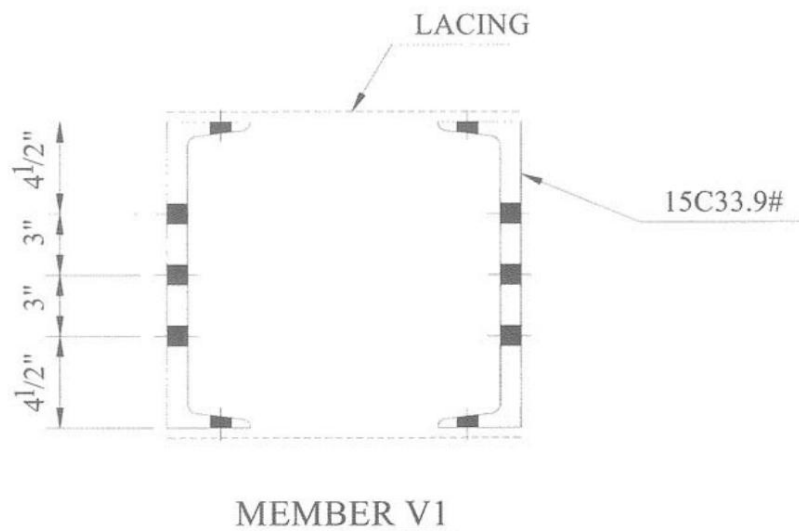


Figura A6.5.4-1—Sección transversal de un miembro vertical

A6.5.4.1—Estado límite: rendimiento sobre el área bruta

$$P_r = \phi_y F_y A_g$$

$$= 0,95 \times 36 \times 19,92 = 0,95 (717,1)$$

$$= 681,3 \text{ kips}$$

Ec. de diseño

LRFD. 6.8.2.1-1

A6.5.4.2—Estado límite: fractura en el área neta (en los orificios de los remaches)

$$P_r = \phi_u F_u A_n U$$

Ec. de diseño

LRFD. 6.8.2.1-2

$$\phi_u = 0,80$$

$$U = 0,85$$

Diseño LRFD 6.8.2.2

Cargas transmitidas únicamente a través de webs; tres o más remaches por línea

Área neta:

$$\text{Área bruta por canal} = 9,96 \text{ pulg}^2$$

Diseño LRFD 6.8.3

$$\text{Grosor de la red} = 0,4 \text{ pulg.}$$

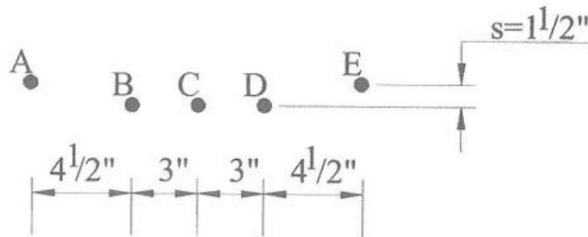
$$\text{Espesor de brida} = 0,6 \text{ pulg.}$$

$$\text{Agujero de remache} = 15/16 \text{ pulg.}$$

$$s = 11/2 \text{ pulg.}$$

$$g = 41/2 \text{ pulg.}$$

$$\frac{s^2}{4g} = \frac{21.5}{4 \cdot 4.5} = 0.125$$



### RIVET HOLES

A AND E ARE FLANGE HOLES  
B,C,D ARE WEB HOLES

Figura A6.5.4.2-1—Espaciamento entre orificios de remache para el área neta

BCD:

$$\text{Una red} = 9.963 \times \frac{15}{16} \times 0.4$$

$$= 8.84 \text{ pulg.2 por canal}$$

A B C D E:

$$\text{Una red} = \text{Agro} - \text{áreas de agujeros} + (\# \text{ de diagonales}) (\text{espesor})^2$$

$$= 9.963 - 0.625 \times \frac{15}{16} \times 0.4 + 0.125 \times \frac{9.963}{0.4} \times 0.4^2$$

$$= 9.96 - 2.25 + 0.1$$

$$= 7.81 \text{ pulg.2 por canal} < 8.84 \text{ pulg.2}$$

$$\text{Una red} = 7.81 \text{ pulg.2 por canal}$$

$$\text{Total Anet} = 2 \times 7.81 = 15.62 \text{ pulgadas.}$$

$$pr = 0.80 \times 65.4 \times 15.62 \times 0.85 = 681.3 \text{ kips}$$

$$= 694.7 \text{ kips} > 681.3 \text{ kips}$$

Gobierna el menor valor de Pr

$$pr = 681.3 \text{ kips}$$



A6.6—Ecuación general de clasificación de carga

$$FR = \frac{C - \gamma \left( \frac{C}{C_{lim}} \right) - \gamma_{DW} (DW) \pm \gamma_{PAG} (PAG)}{\left( \gamma_{LL} \right) (LL + IM)}$$

Ec. 6A.4.2.1-1

A6.7—Factores de evaluación (para estados límite de resistencia)

A6.7.1—Factor de resistencia,  $\phi$

Incluido en cálculos anteriores de resistencias axiales factorizadas y no utilizado en las ecuaciones de RF siguientes.

A6.7.2—Factor de condición,  $\phi_c$

6A.4.2.3

$\phi_c = 1,0$

sin deterioro

A6.7.3—Factor del sistema,  $\phi_s$

6A.4.2.4

$\phi_s = 0,90$

para miembros de armadura remachados y múltiples barras de ojo

A6.8—Clasificación de carga de diseño (6A.4.3)

Fuerza I Estado Límite:

6A.6.4.1

Carga	Inventario	Operando	
CC, DW	1.25	1.25	El espesor del asfalto se midió en campo.
LL + IM	1,75	1.35	

Tabla 6A.4.2.2-1

A6.8.1—Acorde superior TC4

$PDC = -558,1 \text{ kips}$

$PDW = -39,4 \text{ kips}$

$P_{LL} = -231,1 \text{ kips}$

$p_r = -1715,9 \text{ kips}$

$$\text{Inventario: RF} = \frac{(1,0)(0,90)(1715,9)(1,25)(558,1)(1,25)(39,4)}{(1,75)(231,1)}$$

= 1,97

$$\text{Funcionamiento: RF} = 1,97 \frac{1,75}{1,35}$$

= 2.55

A6.8.2—Acorde inferior BC4

$PDC = 535,1 \text{ kips}$

$PDW = 37,7 \text{ kips}$

$P_{LL} = 221,5 \text{ kips}$

$p_r = 1641,6 \text{ kips}$

$$= \frac{(1,0)(0,90)(1641,6) (1,25)(535,1) (1,25)(37,3)}{(1,75)(221,5)}$$

Inventario: RF

$$= 1,97$$

$$= \times 1,97 \quad \frac{1,75}{1,35}$$

Funcionamiento: RF

$$= 2,55$$

## A6.8.3—Diagonal D1

PDC = 253,2 kips

PDW = 17,8 kips

P.L.L. = momento instantáneo = 135,6 kips

pr = 820,8 kips

$$= \frac{(1,0)(0,90)(820,8) (1,25)(253,2) (1,25)(17,8)}{(1,75)(135,6)}$$

Inventario: RF

$$= 1,69$$

$$= \times 1,69 \quad \frac{1,75}{1,35}$$

Funcionamiento: RF

$$= 2,18$$

## A6.8.4—Vertical V1

PDC = 106,2 kips

PDW = 9,2 kips

P.L.L. = momento instantáneo = 111,7 kips

pr = 681,3 kips

$$= \frac{(1,0)(0,90)(681,3) (1,25)(106,2) (1,25)(9,2)}{(1,75)(111,7)}$$

Inventario: RF

$$= 2,40$$

$$= \times 2,40 \quad \frac{1,75}{1,35}$$

Funcionamiento: RF

$$= 3,11$$

Los límites de Servicio II se cumplirán si se satisfacen los límites de Resistencia I para miembros axiales.

A6.9—Resumen de los factores de calificación

Tabla A6.9-1—Resumen de factores de clasificación—Miembros de armadura

Estado límite	Miembro	Clasificación de carga de diseño (HL-93)	
		Operativo	Inventario
fuerza y	Acorde superior TC4	1,97 2,55 1,97 2,55	1,69 2,18 2,40
	Acorde inferior BC4	3,11	
	diagonal D1		
	Vertical V1		

A6.10—Referencias

AASHTO. 2007. Especificaciones de diseño de puentes AASHTO LRFD, cuarta edición, LRFDUS-4-M o LRFDSI-4.  
Asociación Estadounidense de Funcionarios Estatales de Carreteras y Transporte, Washington, DC.

## A7—DISEÑO DE PUENTE DE LOSA DE HORMIGÓN ARMADO Y VERIFICACIÓN DE CARGA LEGAL

## A7.1—Datos del puente

Longitud de espacio: 21,5 pies (luz simple)

Año de construcción: 1963

Material: Concreto  $c'f = 3$  ksi  
 Acero reforzado  $f_y = 40$  ksi

Estado: Sin deterioro. NBI Artículo 59 Código = 6 Superficie de conducción: No

verificado ni documentado en campo ADTT (una dirección): Desconocido

Inclinación: 0°

## A7.2—Análisis de carga muerta

## A7.2.1—Franja interior—Ancho de la unidad

## A7.2.1.1—Componentes, CC

Forjado:

$$\frac{14}{12} (1,0 + 0,150) = 0,175 \text{ kip/pie}$$

Parapeto y bordillo:

$$\frac{(1)(5)(1,5) + (2,33)(1)(0,150)}{43} = 0,032 \text{ kip/pie}$$

carpete continuo

$$= 0,207 \text{ kip/pie}$$

MDC

$$= \frac{1}{8} \times 0,207 \times 21,5$$

$$= 12,0 \text{ kip-pie}$$

## A7.2.1.2—Superficie de desgaste, DW

Espesor del asfalto

$$= 31/2 \text{ pulg. (medido en campo)}$$

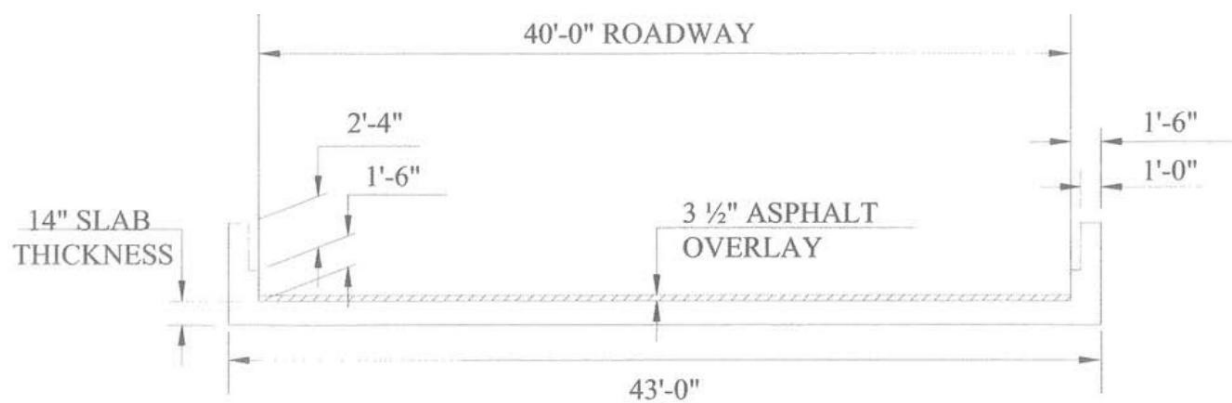
Superposición de asfalto

$$= \frac{3,5}{12} (0,144 + 0,042) =$$

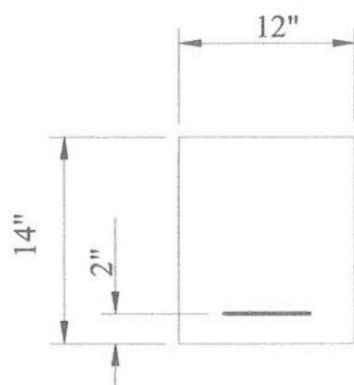
MDW

$$= \frac{1}{8} \times 0,042 \times 21,5$$

$$= 2,4 \text{ kip-pie}$$



CROSS SECTION



MAIN REINFORCEMENT  
#8 AT 6" CC

$$A_s = 1.58 \text{ in.}^2$$

SLAB REINFORCEMENT  
(UNIT WIDTH)

Figura A7.1-1—Puente de losa de hormigón armado

A7.3—Análisis de carga viva (verificación de carga de diseño)

Ancho de franja equivalente para puentes tipo losa (Flete Interior)

Diseño LRFD  
4.6.2.3

A7.3.1—Un carril cargado

$$m_i = 10,0 \cdot 5,0 + \sqrt{B \cdot 1 \cdot 1}$$

Diseño LRFD  
Ec. 4.6.2.3-1

$$L1 = 21,5 \text{ pies} < 60 \text{ pies}$$

$$W1 = \text{Menor de } 43,0 \text{ pies o } 30,0 \text{ pies}$$

$$= 30,0 \text{ pies}$$

$$m_i = 10,0 \cdot 5,0 \cdot 21,5 \cdot 30 + \sqrt{\quad} \times$$

$$= 137,0 \text{ pulgadas.}$$

$$= 11,41 \text{ pies}$$

## A7.3.2—Más de un carril cargado

$$m_i = 84,0 + 1,44 \sqrt{LW_1} \leq \frac{12,0 \text{ vatios}}{\text{no. de carriles}}$$

$$L_1 = 21,5 \text{ pies} < 60,0 \text{ pies}$$

$$W_1 = \text{Menor de } 43,0 \text{ pies o } 60,0 \text{ pies}$$

$$= 43,0 \text{ pies}$$

$$m_i = 84 + 1,44 \times 21,5 \times 43 \sqrt{\quad} \times$$

$$= 127,8 \text{ pulgadas} = 10,65 \text{ pies} < 11,41 \text{ pies}$$

$$= \frac{40,0}{12} = 3 \text{ carriles de diseño}$$

$$\frac{12,0 \text{ W.}}{\text{no. de carriles}} = \frac{12 \times 3}{3} = 172 \text{ pulg.} > 127,8 \text{ pulg.}$$

DE ACUERDO

Diseño LRFD  
Ec. 4.6.2.3-2

Utilice E = 10,65 pies

Para tiras de borde longitudinal, el ancho efectivo de la tira es:

La suma de:

Diseño LRFD 4.6.2.1.4b

la distancia entre el borde de la plataforma y la cara interior de la barrera

+ un cuarto del ancho de la tira especificado en el Artículo de Diseño 4.6.2.1.3, 4.6.2.3 o 4.6.2.10 según corresponda

+ 12,0 pulg.

El ancho efectivo de la tira de borde no deberá exceder la mitad del ancho total de la tira o 72,0 pulgadas.

$$E_2 = 18,0 \text{ pulgadas} + 0,25 \times 137,0 \text{ pulgadas} + 12,0 \text{ pulgadas} = 64,25 \text{ pulgadas}$$

$$E_2 = 0,5 \times 137,0 \text{ pulg.} = 68,5 \text{ pulg.}$$

$$E_2 = 72 \text{ pulg.}$$

$$64,25 \text{ pulgadas} \leq 68,5 \text{ pulgadas.}$$

$$\text{utilice } E_2 = 64,25 \text{ pulg.}$$

El Artículo de Diseño 4.6.2.1.4b de LRFD supone que la franja del borde longitudinal soporta una línea de rueda y una porción tributaria de la carga del carril de diseño cuando corresponda.

Al comparar las relaciones entre el ancho de carga del carril de diseño tributario y el ancho efectivo de la losa, el Se estima que la franja de borde no rige para este puente. Tenga en cuenta que se asumió que la carga muerta del parapeto se distribuye uniformemente en todo el ancho del puente y que el ancho del parapeto puede desempeñar un papel influyente al determinar el caso gobernante.

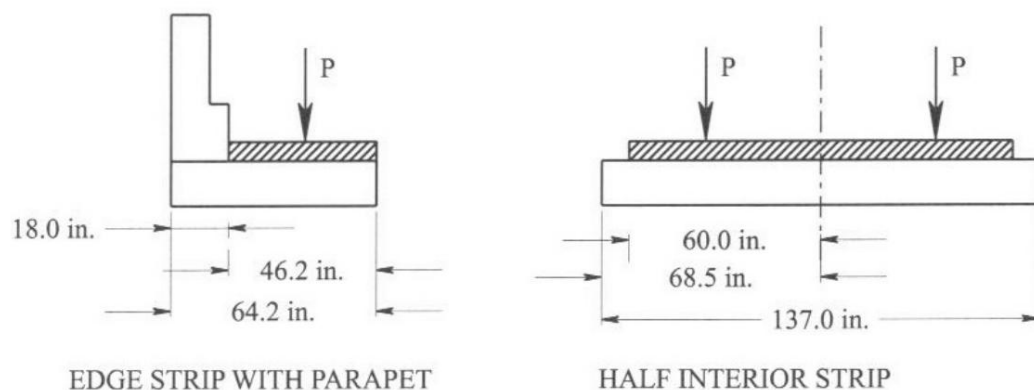


Figura A7.3.2-1—Comparación de tiras de borde longitudinal

Relación tira de borde:

$$46,25/64,25 = 0,72$$

Relación media franja interior:

$$60,0/68,5 = 0,88 \quad \text{Gobierna}$$

La calificación considerará únicamente el ancho de la franja interior.

#### A7.3.2.1—Efectos de fuerza de carga viva en el medio tramo (HL-93)

Asignación de carga dinámica = 33%

Ancho de tira equivalente = 10,65 pies

Momento de carga del carril de diseño = 37,0 kip-pie

Momento del camión de diseño = 172,0 kip-pie

Momento tándem de diseño = 219,4 kip-pie Gobierna

$$ML + \text{manejera instantánea} = 37,0 + 219,4 \times 1,33$$

$$= 328,8 \text{ kip-pie}$$

Momento de carga viva por unidad de ancho de losa:

$$ML + \text{manejera instantánea} = \frac{328,8}{10,65} = 30,9 \text{ kip-pie/pie}$$

#### A7.4—Calcular la resistencia nominal

Resistencia a la flexión:

Sección rectangular =  $b_w = b = 12 \text{ pulg.}$

Diseño LRFD 5.7.3.2.3

$$c = \frac{\text{una } f}{0,85 \beta_1}$$

Diseño LRFD

Ec. 5.7.3.1.1-4

Como =  $0,79 \times 2$  #8 barras a 6 pulg.

$$= 1,58 \text{ pulgadas } 2 / \text{pie}$$

$$\beta = 0,85$$

$$b = 12 \text{ pulg.}$$

$$c = \frac{1,58 \times 10}{0,85 \times 12}$$

$$= 2,43 \text{ pulgadas.}$$

$$a = c\beta$$

$$= 2,43 \times 0,85$$

$$= 2,07 \text{ pulgadas.}$$

$$d_s = 14 - 2 = 12 \text{ pulg. Distancia al CG de acero}$$

$$\text{manga} = A_{f_y} \times d \times \frac{a}{2}$$

$$= 1,58 \times 12 \times \frac{1}{2}$$

$$= 57,75 \text{ kip-pie/pie}$$

A7.5—Refuerzo mínimo (6A.5.7)

La cantidad de refuerzo debe ser suficiente para desarrollar  $M_r$  igual al menor de:

$$1,2M_{cr} \text{ o } 1,33M_u$$

$$mcr = \frac{1,2M_{cr}}{1,2} = 0,99 \times 57,75 \text{ kip-pie} = 51,98$$

$$(1,33M_u = 1,33 \times 1,75 \times 12 \times 1,25 \times 2,4 \times \dots) )$$

$$= 95,9 \text{ kip-pie} > 51,98 \text{ kip-pie} \quad \text{No es bueno}$$

$$2. M_{cr} = S_{cx} (M + f_{cpe}) \left( 1 - \frac{f_{cpe}}{f_{cr}} \right) \leq S_{fx}$$

Diseño LRFD  
Ec. 5.7.3.3.2-1

Cuando se diseña una sección monolítica o no compuesta para resistir todas las cargas, se sustituye  $S_{nc}$  para  $S_c$ . En este caso,  $f_{cpe} = 0$ , por lo tanto:

$$M_{cr} = S_{nc} f_r$$

$$S_{nc} = \frac{I}{y_t}$$

dónde:

$I$  = momento de inercia de la sección no fisurada (despreciando el acero de refuerzo)



$y_t$  = distancia desde el eje neutro de la sección no fisurada hasta la fibra de tensión extrema

$$= \frac{14}{2} = 7 \text{ pulg.}$$

$$y_o = Y_o = 12 \cdot 14 \cdot 2744 \text{ pulg.}^4$$

$$s_{nc} = \frac{2744}{7} = 392 \text{ pulg.}^3$$

$$f_r = 0,37 \sqrt{f'_c} = 0,37 \cdot 30,641 \text{ ksi}$$

Diseño LRFD 5.4.2.6

$$M_{cr} = 0,641 \cdot 392 \cdot 25,1 \text{ kip-in.} = 20,9 \text{ kip-pie}$$

$$1,2M_{cr} = 1,2 \cdot 20,9 \cdot 25,1 \text{ kip-pie} < 51,98 \text{ kip-pie}$$

DE ACUERDO

La sección cumple con los requisitos de refuerzo mínimo.

#### A7.6—Refuerzo máximo (6A.5.6)

Las disposiciones actuales de la especificación LRFD han eliminado la verificación del máximo reforzamiento. En cambio, la resistencia factorizada (factor  $\phi$ ) de las secciones controladas por compresión deberá reducirse de acuerdo con el Artículo 5.5.4.2.1 de Diseño de LRFD. Este enfoque limita la capacidad de secciones sobrerreforzadas (compresión controlada).

C6A.5.6

La deformación neta por tracción,  $\epsilon_t$ , es la deformación por tracción con resistencia nominal y está determinada por la deformación compatibilidad usando triángulos similares. Diseño LRFD C5.7.2.1

Dada una deformación permitida del concreto de 0.003 y una profundidad al eje neutro  $c = 2.43$  pulgadas.

$$\frac{\epsilon_c}{c} = \frac{\epsilon_t}{\text{profundidad al eje neutro}}$$

$$\frac{0.003}{2.43 \text{ pulgadas.}} = \frac{\epsilon_t}{12 \text{ pulgadas} - 2.43 \text{ pulgadas}}$$

$$\epsilon_t = 0,0118$$

Para  $\epsilon_t = 0,0118 > 0,005$ , la sección está controlada por tensión y se debe tomar el factor de resistencia  $\phi$  como 0,90.

Diseño LRFD  
5.7.2.1, 5.5.4.2

#### A7.7—Cizalla

Las losas de concreto y los puentes de losa diseñados de conformidad con las especificaciones de AASHTO pueden ser considerado satisfactorio para el corte. Diseño LRFD 5.14.4.1

Además, no es necesario verificar el corte para la carga de diseño y las capacidades de carga legales de los miembros de concreto.

6A.5.9

#### A7.8—Ecuación general de clasificación de carga (6A.4.2)

$$FR = \frac{C_{-V} \left( \frac{L}{L_{LL}} \right) \left( \frac{W}{W_{LL}} \right) \left( \frac{D}{D_{LL}} \right) \left( \frac{F}{F_{LL}} \right)}{\left( \frac{V}{V_{LL}} \right) \left( \frac{M}{M_{LL}} \right)}$$

Ec. 6A.4.2.1-1

### A7.9—Factores de evaluación (para estados límite de resistencia)

A7.9.1—Factor de resistencia,  $\phi$  (Diseño LRFD 5.5.4.2)

= 0,90                      Para flexión

A7.9.2—Factor de condición,  $\phi_c$  (6A.4.2.3)

$\varphi_c = 1,0$  Sin deterioro

A7.9.3—Factor del sistema,  $\phi_s$  (6A.4.2.4)

$\varphi_s = 1,0$       Puente de losa

#### A7.10—Clasificación de carga de diseño (6A.4.3)

#### A7.10.1—Estado límite de resistencia I (6A.5.4.1)

$$FR = \frac{(C_c)(C_s) - Y_{Rn} CC}{(Y_{LL} IM)} \left( \frac{Y_{DW}}{DW} \right) \left( \frac{DW}{DW} \right)$$

Carga	Inventario	En	
CC, DW	1,25		El espesor del asfalto se midió en campo.
LL + IM	1,75	funcionamiento 1,25	

Tabla 6A.4.2.2-1

Inventario:

$$FR = \frac{(1)(0)(0,957,75) - 1,25(2,0) - (1,25)(4)}{(1,75)(0,9)}$$

$$= 0,63$$

Operando:

$$FR = 0,63 \times \frac{1,75}{1,35}$$

$$= 0,82$$

#### A7.10.2—Estado límite de servicio

No se aplican estados límite de servicio a los miembros de puentes de hormigón armado. Como  $RF < 1,0$  para HL-93, evalúe el puente para cargas legales.

#### A7.11—Clasificación de carga legal (6A.4.4)

Carga viva: Cargas legales AASHTO: tipo 3, 3S2, 3-3 (tasa para los 3)

6A.4.4.2.1

mi = 10,65 pies

### 6A.4.4.3

IM = 33% Condiciones desconocidas de la superficie de conducción

	Tipo 3	Tipo 3S2	Tipo 3-3	
MLL	150,4	137,1	123,8	kip-pie
MLL IM mi	18,8	17,1	15,5	kip-pie/pie

## A7.11.1—Estado límite de resistencia I

6A.5.4.2.1

Factor de carga viva generalizado:

Tabla 6A.4.4.2.3a-1

$$\gamma_L = 1,80$$

ADTT = Desconocido

Flexura:

$$FR = \frac{(1,0)(1,0)(0,90)(57,75)(\quad)^{-1,25}(12,0)(\quad)^{1,25}(2,4)(\quad)}{(1,80 \text{ MLL IM+})}$$

	Tipo 3	Tipo 3S2	Tipo 3-3
RF	1.00	1.10	1,22

No se requiere publicación como RF &gt; 1.0 para todas las cargas legales de AASHTO.

## A7.11.2—Estado límite de servicio

No se aplican estados límite de servicio a los miembros de puentes de hormigón armado con la clasificación de carga legal.

## A7.11.3—Cizalla

Diseño LRFD 5.14.4.1

Las losas de concreto y los puentes de losa diseñados de conformidad con las especificaciones AASHTO pueden ser considerado satisfactorio para el corte.

No es necesario verificar el corte para cargas legales.

6A.5.9

## A7.11.4—Resumen

Camión	Tipo 3	Tipo 3S2	Tipo 3-3
Peso, toneladas	25	36	40
RF	1,00	1,10	1,22
Capacidad de carga segura, toneladas	25	39	48

## A7.12—Resumen de los factores de calificación

Tabla A7.12-1 Resumen de factores de clasificación: franja interior de losa de concreto

Estado límite		Diseño Capacidad de		Clasificación de carga		
		carga	Inventario Operación 0,63	Tipo 3	legal tipo	Tipo 3-3
fuerza yo	Flexura	0,82		1.00	3S2 1.10	1,22

## A7.13—Referencias

AASHTO. 2007. Especificaciones de diseño de puentes AASHTO LRFD, cuarta edición, LRFDUS-4-M o LRFDSI-4. Asociación Estadounidense de Funcionarios Estatales de Carreteras y Transporte, Washington, DC.

A8—PUENTE DE ACERO DE DOS VIGAS: CLASIFICACIÓN DE CARGA DE DISEÑO DE LA VIGA Y LA VIGA DE PISO

A8.1—Datos del puente

Longitud de espacio: 94 pies 8 1 /4 pulg. (luz simple)  
Año de construcción: 1934  
Material: Hormigón f'c = 3 ksi Acero Fy = 33 ksi Sin deterioro. NBI Artículo 59 Código = 6 Las vigas principales son vigas de placa ensambladas y remachadas ADTT (una dirección): Desconocido  
Inclinación: 0°

A8.2—Clasificación de vigas de piso intermedias

Sección Laminada:

W24 × 70# No compuesto

A = 20,44 pulg.2

Iz = 1905,48 pulg.4

Tamaño = 159,59 pulgadas 3

Espaciado de vigas de piso: 9 pies 55 /8 pulg. (9,47 pies)

(11 vigas de piso contando extremos)

Grosor de superposición: 2 pulgadas (medido en el campo)

Como el espesor de la superposición se midió en el campo, los efectos de carga para DC y DW se combinaron ya que se aplicará el mismo factor de carga para ambas cargas.

La sección transversal, Figura A8.2-1, muestra todos los accesorios que contribuyen a las cargas muertas. El cargas puntuales y cargas distribuidas debido a las áreas tributarias de los accesorios en un interior (intermedia) se muestran en la Figura A8.2-2.

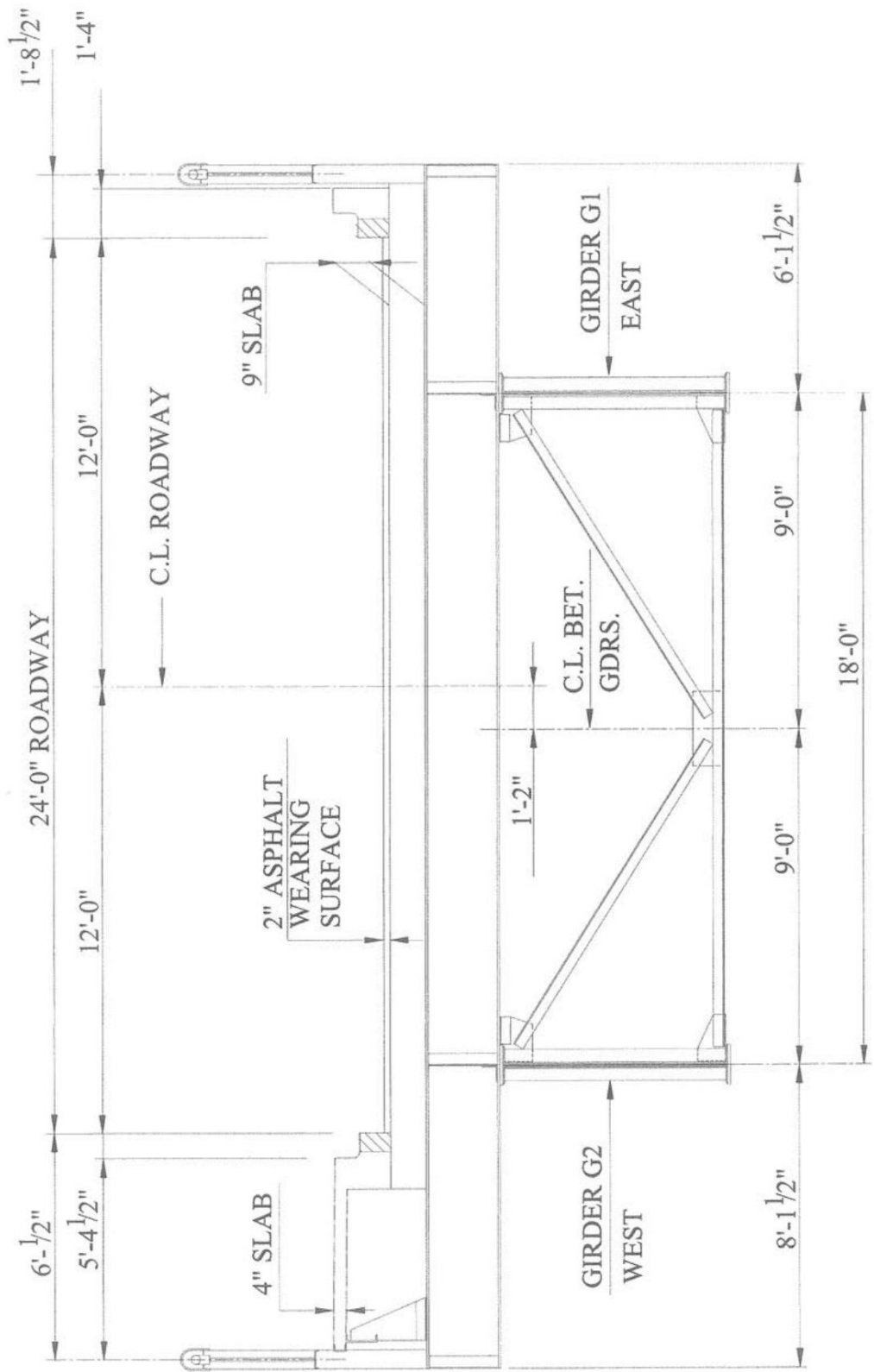
Los factores de calificación se calculan para el momento máximo positivo, el momento máximo negativo, y el corte máximo.

A8.3—Efectos de la fuerza de carga muerta

Consulte la Figura A8.2-2.

Tabla A8-1 Efectos de la fuerza de carga muerta

Ubicación en la viga del piso	MDC+DW	VCC+DW	Efecto
En East Girder En	42,8 kip-pie	13,1 kips	M, V (izquierda de G1)
West Girder Max MD	33,4 kip-pie	12,1 kips 0	
(8.63 pies de West Girder)	18,7 kip-pie	kips	
A 8,17 pies de la viga oeste	18,5 kip-pie	0,64 kips	+M



CROSS SECTION

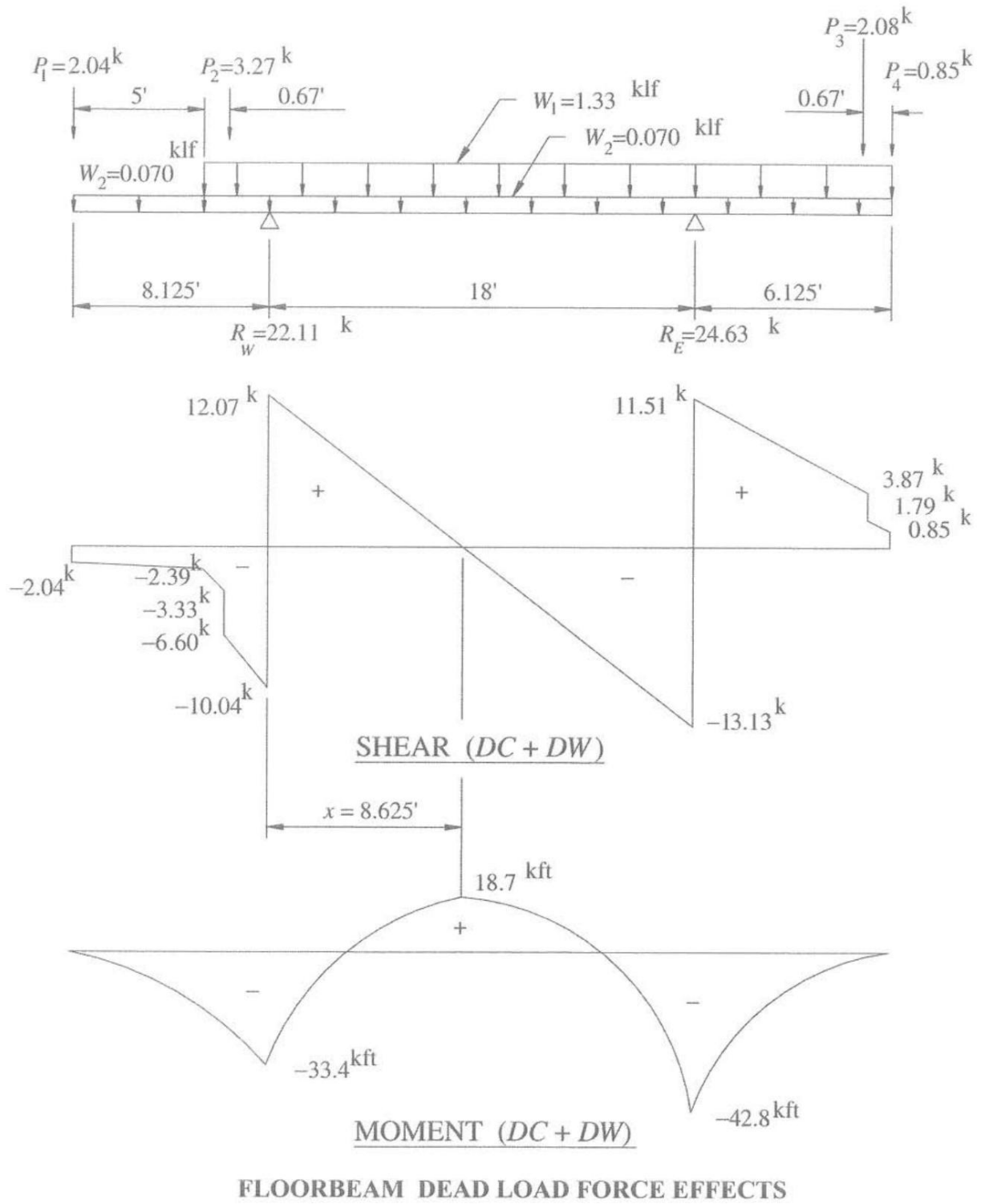


Figura A8.2-2—Efectos de la fuerza de carga muerta de la viga intermedia del piso

## A8.4—Efectos de fuerza de carga viva (HL-93)

## A8.4.1—Reacciones de carga viva (HL-93) en vigas de piso intermedias

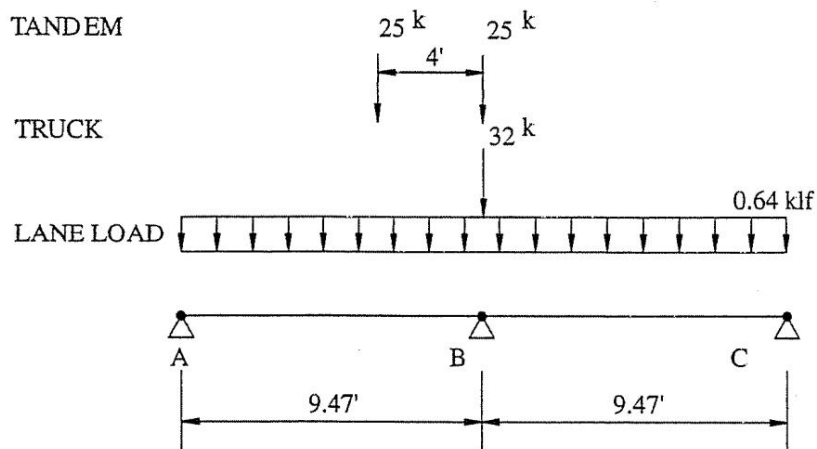


Figura A8.4.1-1—Posición crítica de carga viva para reacciones en vigas de piso intermedias

Tablero de modelado articulado a las vigas del piso.

Reacción en Floorbeam B:

Diseño LRFD

Tabla 3.6.2.1-1

IM = 33%

Camión + Carril:

$$RLL + IM = 32 \text{ kips} \times 1,33 + 0,64 \times 9,47 \text{ pies}$$

$$= 48,62 \text{ kips}$$

Tándem + Carril:

$$RLL + IM = 25 \times \left( 1,33 + \frac{9,47}{10} \right) + 0,64 \times 9,47$$

$$= 58,62 \text{ kips} > 48,62 \text{ kips} \quad \text{Gobierna}$$

$$RTándem = 25 \times \left( 1,33 + \frac{9,47}{10} \right) = 52,46 \text{ kips}$$

$$RRueda \text{ tándem} = \frac{52,46}{2} = 26,23 \text{ kips} = P$$

$$RLanillo = 0,64 \times 9,47 = 6,06 \text{ kips}$$

$$RLanillo \text{ por pie de ancho} = \frac{6,06}{10} = 0,606 \text{ kip/pie} = W$$

## A8.4.2—Carga viva (HL-93) Momento positivo máximo

Posiciones críticas de los dos carriles para producir el máximo momento positivo en la viga del piso.

Factor de presencia múltiple,  $m = 1,0$ 

Tabla LFRD 3.6.1.1.2-1

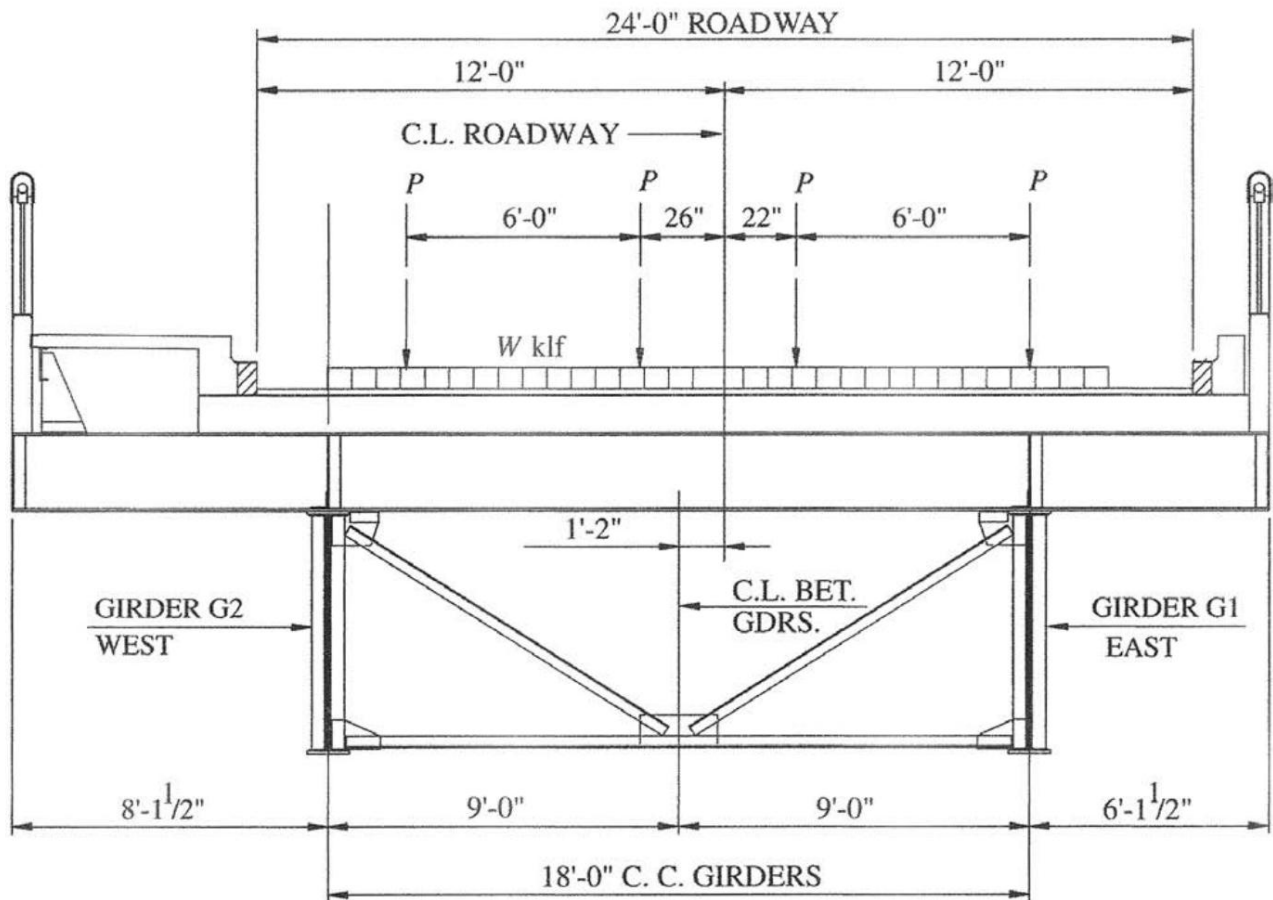


Figura A8.4.2-1—Posiciones de carril críticas para el momento positivo máximo en la viga del piso

El momento máximo de carga viva positiva en la viga del piso está a 8,17 pies de G2.

Dos carriles de 12 pies cada uno:

$$P = 26,23 \text{ kips}$$

$W = 0,606 \text{ kip/pie}$  sobre dos secciones adyacentes de 10 pies.

Desprecie la carga de la rueda más al este y la carga del carril que sobresale de G1 para obtener el máximo Cálculo del momento de la viga de piso.

El momento a 8,17 pies de G2 se calcula mediante estática. Cada viga principal se trata como una soporte fijado.

$$MLL + IM = 242 \text{ kip-pie a } 8,17 \text{ pies de la viga oeste (G2)}$$

#### A8.4.3—Carga viva (HL-93) Corte máximo

Posición crítica de un carril cargado para producir el máximo corte en la viga del piso

Factor de presencia múltiple,  $m = 1,2$

Diseño LFRD  
Tabla 3.6.1.1.2-1



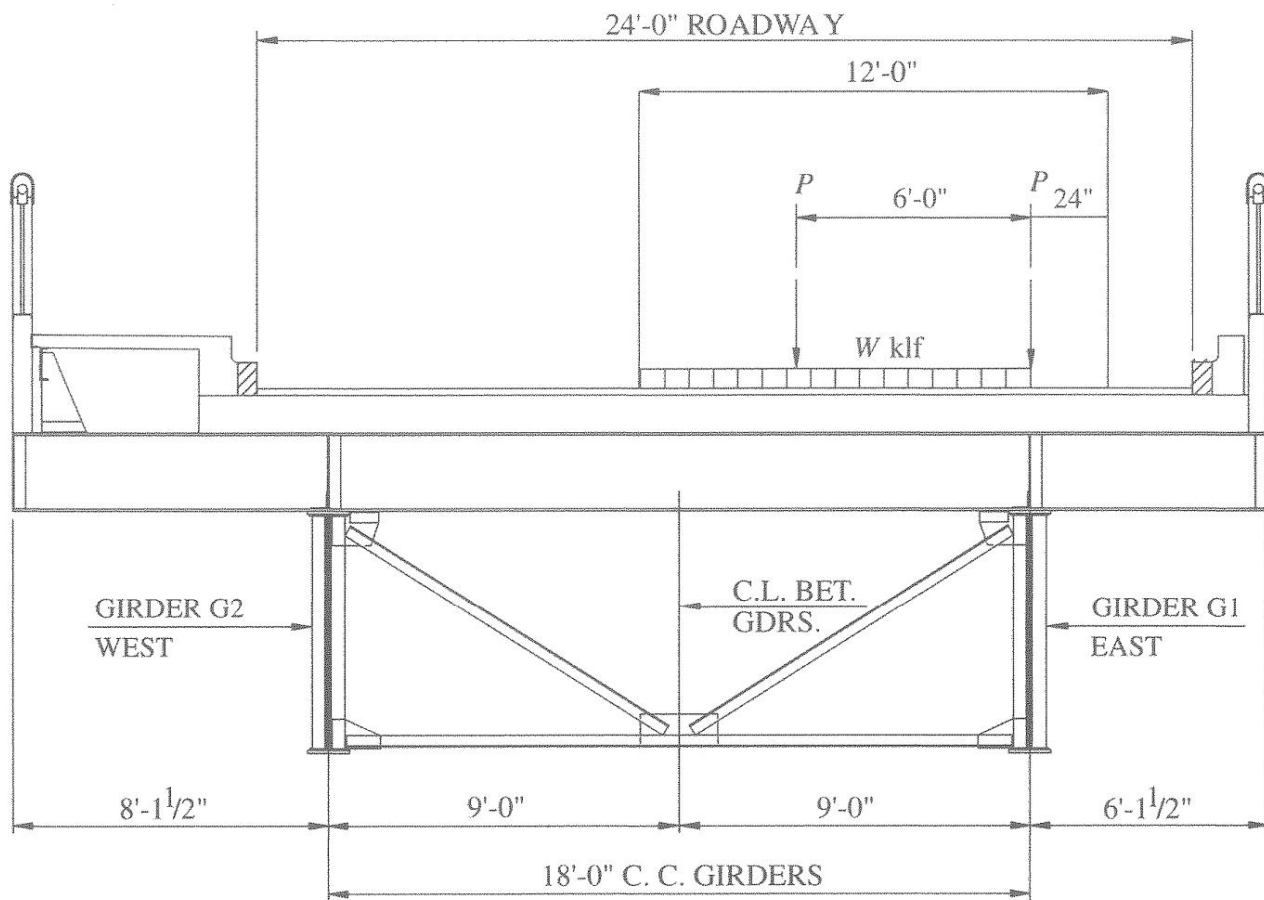


Figura A8.4.3-1—Posición crítica para producir el corte máximo en la viga del piso

El corte de carga viva máxima en la viga del piso está a la izquierda de G1.

El caso que rige es un carril cargado, la carga de las ruedas justo a la izquierda de G1.

$$P = 26,23 \text{ kips}$$

$$W = 0,606 \text{ kip/pie sobre una sección de 10 pies}$$

El corte a la izquierda de G1 se calcula mediante estática. Cada viga principal se trata como un soporte articulado.

El factor de presencia múltiple  $m$  para un carril cargado es 1,2.

La carga en la figura da como resultado un corte de 48,2 kips. Multiplicar por el factor de presencia múltiple.

$$VLL + multiplicar por presencia = 48,2 \times 1,2 = 57,8 \text{ kips en la sección de la viga del piso arriba y a la izquierda de la viga este (G1)}$$

#### A8.4.4—Carga viva (HL-93) Momento negativo máximo

Posición crítica del carril este para producir el máximo momento negativo en la viga del piso

Factor de presencia múltiple,  $m = 1,2$

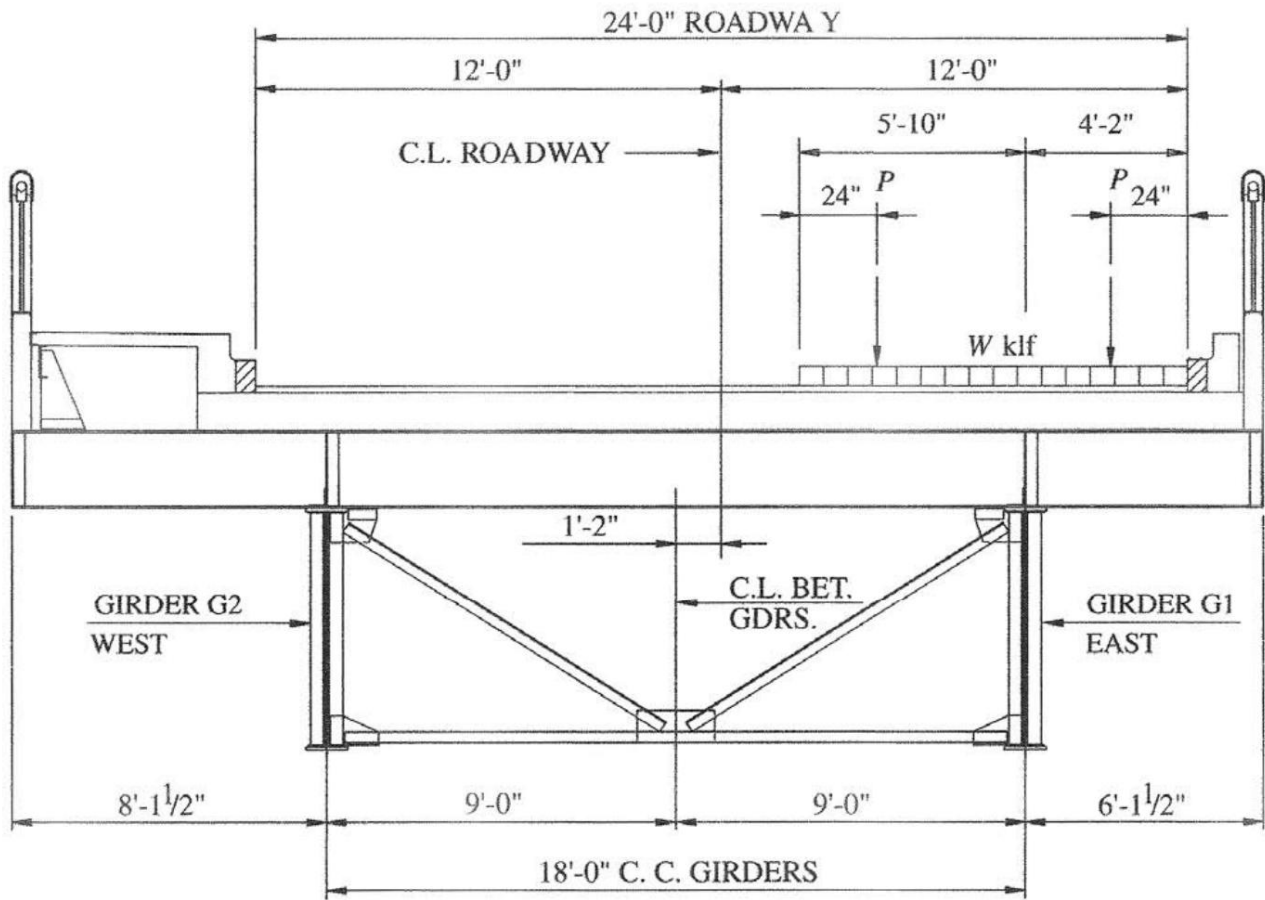


Figura A8.4.4-1—Posición crítica para producir el momento negativo máximo en la viga del piso

El momento máximo de carga viva negativa en la viga del piso está en G1.

Un carril cargado, cargas colocadas tan a la derecha como lo permite el Artículo 3.6.1.3.1 de Diseño de LRFD.

$P = 26,23 \text{ kips}$

$W = 0,606 \text{ kip/pie sobre una sección de 10 pies}$

El momento en G1 se calcula mediante estática. Cada viga principal se trata como un soporte articulado.

La carga en la figura da como resultado un momento de 62,2 kip-pie. Multiplicar por el factor de presencia múltiple.

$MLL + \text{multiplicidad} = -62,2 \times 1,2 = -74,7 \text{ kip-pie en la sección de la viga del piso sobre la viga este (G1)}$

A8.5—Resumen de los efectos de fuerza de carga viva (HL-93) en vigas de piso

Ubicación	MLL + IM –	VLL + IM	Cargando
En soporte este	74,7 kip-pie 242,0	–57,8 kips 0	un carril
8,17 pies desde la viga oeste	kip-pie	kips	dos carriles

A8.6—Calcular la resistencia nominal de la viga del piso

A8.6.1—Sección de momento positivo—Construcción no compuesta

W24×70#, sin deterioro

Para calcular este ejemplo se asumieron las siguientes dimensiones:

$t_w = 0,41$  pulg.

$b_f = 8,995$  pulgadas.

Ancho = 22,64 pulgadas.

$t_f = 0,62$  pulg.

Comprobación de esbeltez del alma:

Diseño LRFD 6.10.6.2.3

El límite elástico mínimo de las bridas es inferior a 70 ksi y:

$$\frac{2D_c}{t_w} < 5,7 \sqrt{\frac{m_i}{F_{yc}}}$$

Diseño LRFD  
Ec. 6.10.6.2.3-1

Diseño LRFD D6.3.2

$$d_{cp} = \frac{D_w}{2} = \frac{22,64}{2} = 11,32 \text{ pulgadas.}$$

$$\frac{2D_c}{t_w} = \frac{D_w}{t_w} = \frac{22,64}{0,41} = 55,22$$

$$5,7 \sqrt{\frac{m_i}{F_{yc}}} = 5,7 \sqrt{\frac{29000}{33}} = 169,55,22 > 55,22 \text{ Aceptar}$$

y:

$$\frac{I_{yc}}{I_{yt}} = 1,0 > 0,3$$

Diseño LRFD  
Ec. 6.10.6.2.3-2

Se considera que la brida de compresión está apuntalada continuamente por la plataforma de concreto.

Se podrán aplicar las disposiciones opcionales del Apéndice A de la LRFD para determinar la Resistencia a la flexión de secciones no compuestas.

Diseño LRFD  
C6.10.6.2.3

Diseño LRFD Artículo A6.2.1.

Se considerarán secciones de alma compacta las secciones que cumplan el siguiente requisito:

$$\frac{2D_{CP}}{t_w} \leq \lambda_{pw D( ) cp}$$

Ec. de diseño  
LRFD. A6.2.1-1

$$\lambda_{pw D( ) cp} = \frac{\sqrt{\frac{m_i}{F_{yc}}}}{0,54 \frac{MP}{RM_{hola}} - 0,09} \leq \frac{D_{CP}}{D_c}$$

Diseño LRFD  
Ec. A6.2.1-2

Momento plástico:  $M_p$

Diseño LRFD D6.1

Ancho de brida:

antes de Cristo = 8,995 pulgadas.

Espesor de brida:

$t_c = 0,62$  pulg.

Brida superior:

$P_c = F_y b c t_c$

$$= 33 \text{ ksi} \times 8,995 \text{ pulg.} \times 0,62 \text{ pulg.}$$

$$= 184,0 \text{ kips}$$

Brida inferior:

$P_t = P_c = 184,0 \text{ kips}$

Web:

$P_{wc} = P_{wt} = 33 \text{ ksi} \times 11,32 \text{ pulg.} \times 0,41 \text{ pulg.}$

$$= 153,2 \text{ kips}$$

Diseño LRFD Artículo D6.1, Caso I:

$$\bar{y} = \frac{D}{2} = \frac{22,64}{2} = 11,32 \text{ pulgadas.}$$

$$d_t = d_c + \frac{0,62}{2} = 11,32 + 0,31 = 11,63 \text{ pulgadas.}$$

$$M_p = \frac{P_{Ag}}{D} \left( \bar{y}_D^2 + P_t \bar{y}_D + P_d \bar{y}_D^2 \right) + \frac{P_{wc}^2}{2 D}$$

$$= \frac{2 \times 153,2}{22,64} \times 2 \times 11,32 + \left( \frac{22,64}{2} \times 184,0 + \frac{153,2^2}{2 \times 33} \right) [1]$$

$$= 6014,1 \text{ kip-in.}$$

$$= 501,2 \text{ kip-pie}$$

Momento de rendimiento,  $M_i$ :

$M_i = F_y S_z$

$$= 33 \times 159,59$$

$$= 5266,5 \text{ kip-pulg.} = 438,9 \text{ kip-pie}$$

$R_h = 1,0$

Diseño LRFD  
6.10.1.10.1

$$\lambda_{pw D( ) cp} = \frac{\sqrt{\frac{29000}{33}}}{(0,54 \times \frac{501,2}{1,0 \times 438,9} - 0,09)^2} = 106,9$$

$$\lambda_{rw} \frac{D_{CP}}{D_C} = 5,7 \sqrt{\frac{DE}{FD_{yc}}} \frac{CP}{C} = 5,7 \sqrt{\frac{29000}{33}} (1,0) 169$$

$$\lambda_{pw D( ) cp} \leq \lambda_{rw} \frac{D_{CP}}{D_C} \text{ utilizar } 106,9$$

$$\frac{2D_{CP}}{t_w} = 55,22 (\leq \lambda_{pw Dcp}) = 106,9$$

La sección califica como sección web compacta.

$$R_{pc} = \frac{\text{METRO } p_{pg}}{\text{METRO } y_c} \quad \text{Diseño LRFD Ec. A6.2.1-4}$$

$$R_{pc} = \frac{501,2}{438,9} = 1,14$$

Secciones con bridas de compresión continuamente arriostradas

Diseño LRFD A6.1.3

$$M_u = \phi R_{Mpc} \quad \text{Diseño LRFD Ec. A6.1.3-1}$$

$$= \phi F \frac{\text{METRO } p_{pg}}{\text{METRO } y_c} \text{ METRO } y_c$$

$$= \phi f M_p \text{ donde } \phi f = 1,0$$

Diseño LRFD 6.5.4.2

$$= 1,0 \times 501,2$$

$$= 501,2 \text{ kip-pie}$$

A8.6.2—Sección de momento negativo

Secciones con alas de compresión discretamente arriostradas

Diseño LRFD A6.1.1

$$m_u \leq \frac{1}{\phi} f_s M + x_c \quad \text{Diseño LRFD Ec. A6.1.1-1}$$

$M_{nc}$  = resistencia nominal a la flexión determinada según lo especificado en el Artículo de diseño A6.3 de LRFD (la menor entre la resistencia al pandeo local y la resistencia al pandeo lateral)

Resistencia al pandeo local

Diseño LRFD A6.3.2

$$\lambda_f = \frac{b_{FC}}{2t_{FC}} \quad \text{Diseño LRFD Ec. A6.3.2-3}$$

$$= \frac{8,995}{2 \times 0,62} = 7,3$$

$$\lambda_{pf} = 0,38 \sqrt{\frac{mi}{F_{yc}}}$$

Diseño LRFD  
Ec. A6.3.2-4

$$= 0,38 \sqrt{\frac{29000}{33}} = 11.3$$

$$\lambda_f \leq \lambda_{pf}$$

entonces:

$$M_{nc} = R M_{pc} \quad y_c$$

Diseño LRFD  
Ec. A6.3.2-1

$$= \frac{\frac{\text{METRO}}{\text{mi}} \times \text{METRO}}{mi_c} y_c$$

$$= M_p$$

Resistencia al pandeo lateral

Diseño LRFD A6.3.3

La longitud no arriostrada  $L_b$  se toma como la distancia entre secciones transversales arriostradas contra torsión y desplazamiento lateral. Si bien se supone que la plataforma apuntala continuamente la parte superior al dentro de esta región, no hay ninguna indicación en los datos del puente que los refuerzos intermedios o arriostramiento están presentes para evitar la torsión de la sección. Por lo tanto, las vigas G1 y G2 se toman como puntos de arriostramiento para toda la sección transversal de la viga.

Libra = 18 pies = 216 pulgadas.

$$L_P = 1,0 \sqrt{\frac{mi}{F_{yc}}}$$

Diseño LRFD  
Ec. A6.3.3-4

$$r_t = \frac{b_{FC}}{\sqrt{12 + \frac{1}{3} \frac{D t_{cw}}{f_c f_c}}}$$

Diseño LRFD  
Ec. A6.3.3-10

$$r_t = \frac{8.995}{\sqrt{\frac{0.41 \times 12 \times 11.32}{8.995 \times 0.62 \times 3}}} = 2.3 \text{ pulg.}$$

$$L_P = 1,0 \times 2.3 = \sqrt{\frac{29000}{33}} \quad 68.2 \text{ pulgadas.}$$

$$L_r = 1.95 r_t \frac{mi}{F_{ano}} \sqrt{\frac{j}{sh_{xc}}} \sqrt{1 + \sqrt{\frac{F S h_{ano, xc}}{E J}}} \quad 6.76$$

Diseño LRFD  
Ec. A6.3.3-5

donde  $J$ , la constante de torsión de St. Venant, es:

$$J = \frac{D t_w^3 B T}{+ 33} \frac{f_c f_c}{f_c} - 10.63 \frac{t_{pie} b t f_c pie}{f_c} \frac{3}{10.63} \frac{t_{pie}}{b_{pie}}$$

Diseño LRFD  
Ec. A6.3.3-9

$$j = \frac{22,64}{3} + \frac{0,41}{3} + \frac{8,995}{8,995} + \frac{(0,62)}{8,995} + \frac{8,995}{8,995} + \frac{(0,62)}{8,995} + \frac{1,063}{8,995} + \frac{0,62}{8,995}$$

$$= 0,520 + 0,684 + 0,684$$

$$= 1,889$$

donde h, distancia entre la línea central de las bridas, es:

$$h = 22,64 + 0,62 = 23,26 \text{ pulgadas.}$$

y:

$$F_y = 0,7F_y = 0,7 \times 33 \text{ ksi} = 23,1 \text{ ksi}$$

entonces:

$$L_r = 1,95 \times \frac{29000}{23,1} \sqrt{\frac{1,889}{159,58}} \sqrt{1 + \frac{23,1}{29000} \frac{159,58 \times 23,26^2}{1,889}}$$

$$= 5630,52 \times 0,0226 \times 2,2783$$

$$= 289,9 \text{ pulg.} > L_b = 216 \text{ pulg.}$$

$$\text{Si } L_b < L_r \text{ entonces } r_{\text{m}} = \frac{F_y L_b}{\pi^2 E} \leq r_{\text{m}} = \frac{F_y L_b}{\pi^2 E}$$

Diseño LRFD  
Ec. A6.3.3-2

Cb se toma como 1,0 donde  $M_{\text{mid}}/M_2 > 1$

Diseño LRFD  
Ec. A6.3.3-6

$$M_{\text{nc}} = 1,0 \times \frac{23,1 \times 59,59}{438,9} \times \frac{216 \times 68,21,14}{289,9} \times 1,14 \times 438,9$$

$$= 0,74 \times 1,14 \times 438,9 = 370,3 \text{ kip-pie}$$

En general, la resistencia al pandeo lateral de la parte en voladizo de la viga  
También se debe comprobar.

En este puente, la sección transversal de la viga del piso es uniforme:

$$L_p = 68,2 \text{ pulg.} \leq L_b = 73,5 \text{ pulg.} \leq L_r = 289,9 \text{ pulg.}$$

$$C_B = 1,0$$

Diseño LRFD  
Ec. A6.3.3-6

En comparación, la longitud no arriostrada entre vigas determina la torsión lateral crítica.  
resistencia al pandeo.

Para la sección de momento negativo, compare:

Resistencia al pandeo local:

$$M_{\text{nc}} = M_p = 501,2 \text{ kip-pie}$$

Resistencia al pandeo lateral por torsión:

$$M_{nc} = 370,3 \text{ kip-pie}$$

Gobierna

Por lo tanto:

$$M_{nc} = 370,3 \text{ kip-pie}$$

A8.6.3—Resistencia nominal al corte (alma no rigidizada)

Diseño LRFD 6.10.9.2

$$V_n = V_{cr} = C V_p$$

Diseño LRFD

Ec. 6.10.9.2-1

$$V_p = 0,58 F_y w D t_w$$

Diseño LRFD

Ec. 6.10.9.2-2

Determine C, la relación entre la resistencia al pandeo por cortante y el límite elástico por corte, tomando k igual a 5,0.

$$\frac{D}{t_w} = \frac{22,64}{0,41} = 55,2$$

$$1,12 \sqrt{\frac{E k}{F_{yw}}} = 1,12 \sqrt{\frac{29000 \times 5,0 \times}{33}} = 74,24$$

Diseño LRFD

Ec. 6.10.9.3.2-4

$$\frac{D}{t_w} = 55,2 \leq 74,24$$

$$C = 1,0$$

entonces:

Diseño LRFD

Ec. 6.10.9.2-2

$$V_n = V_{cr} = C V_p = 1,0 \times 0,58 F_y w D t_w$$

$$= 1,0 \times 0,58 \times 33 \times 22,64 \times 0,41$$

$$= 177,7 \text{ kips}$$

A8.7—Ecuación general de clasificación de carga (6A.4.2)

$$F_R = \frac{C - \gamma \left( \frac{DW}{LL} \right) \left( \frac{DW}{IM} \right) \left( \frac{DW}{PAG} \right)}{\left( \gamma_I \quad LL \quad IM \right)}$$

Ec. 6A.4.2.1-1

A8.7.1—Factores de evaluación (para estados límite de resistencia)

A8.7.1.1—Factor de resistencia,  $\phi$  (Diseño LRFD 6.5.4.2)

$\phi = 1,0$  para flexión y corte

A8.7.1.2—Factor de condición,  $\psi$  (6A.4.2.3)

$\psi = 1,0$  Sin deterioro

A8.7.1.3—Factor del sistema,  $\eta$  (6A.4.2.4)

$\eta = 1,0$  para vigas de piso, espaciamiento entre vigas de piso < 12 pies



## A8.7.2—Clasificación de carga de diseño (6A.4.3)

## A8.7.2.1—Estado límite de resistencia I (6A.6.4.1)

$$FR = \frac{(C_c)(C_D)R_n CC (1 - \frac{1}{\phi}) (V_{DW})(DW)}{(V)(LL + IM)}$$

Carga	Inventario	Operando	
CC, DW	1.25	1.25	El espesor del asfalto se midió en campo.
LL + IM	1,75	1.35	

Tabla 6A.4.2.2-1

## A8.7.2.1a—Flexión a 8.17 pies desde la viga oeste (momento máximo de carga viva positiva)

Inventario:

$$FR = \frac{(1)(0)(0)(1,0 501,2 1,25 1,5)}{1,75 (4,2)} = 1.13$$

Operando:

$$FR = 1,13 \times \frac{1,75}{1,35} = 1.46$$

## A8.7.2.1b—Flexión en la viga este (momento negativo máximo)

Inventario:

$$FR = \frac{(1)(0)(0)(1,0 370,3) - (1,25)(2,8)}{(1,75)(4,7)} = 2.42$$

Operando:

$$FR = 2.42 \times \frac{1,75}{1,35} = 3.14$$

## A8.7.2.1c—Corte en la viga este

Inventario:

$$FR = \frac{(1)(0)(0)(1,0 177,7) - (1,25)(3,1)}{(1,75)(7,8)} = 1,60$$

Operando:

$$FR = 1,60 \times \frac{1,75}{1,35} = 2.07$$

## A8.7.2.2—Estado límite de servicio II

6A.6.4.1

$$FR = \frac{F_{RDD}(V)(F)}{(V)(LL + IM)}$$

## A8.7.2.2a—A 8,17 pies de la viga oeste

$$+F_{ff} \leq 0,80 R F_h \text{ y } f$$

Diseño LRFD  
Ec. 6.10.4.2.2-3

Para secciones homogéneas se tomará  $R_h$  como 1,0.

Diseño LRFD 6.10.1.10.1

$$F = 0,0 \text{ ksi}$$

Diseño LRFD 6.10.1.6

$$f = 0,80 \text{ } 1,0 \text{ } 33 \text{ } 26,4 \text{ ksi } \times \times =$$

$$\gamma_D = \gamma_{DC} = \gamma_{DW} = 1,0$$

Tabla 6A.4.2.2-1

$$\gamma_L = 1,3 \text{ para inventario}$$

$$= 1,0 \text{ para funcionamiento}$$

$$f_d = \frac{(18,5) \left( \frac{1}{2} \right)}{159,59} = 1,39 \text{ kilos}$$

$$FL + IM = \frac{(242) \left( \frac{1}{2} \right)}{159,59} = 18,20 \text{ ksi}$$

Inventario:

$$FR = \frac{26,4 \text{ } 1,0 \text{ } 1,39}{1,3 (18,20)} = 1.06$$

Operando:

$$FR = 1.06 \times \frac{1.30}{1.00} = 1.38$$

## A8.7.2.2b—En la viga este

$$f_d = \frac{(42,8) \left( \frac{1}{2} \right)}{159,59} = 3,22 \text{ kilos}$$

$$FL + IM = \frac{(74,7) \left( \frac{1}{2} \right)}{159,59} = 5,62 \text{ kilos}$$

Inventario:

$$FR = \frac{26,4 \text{ } 1,0 \text{ } 3,22}{1,3 (5,62)} = 3.17$$

Operando:

$$FR = 3,17 \times \frac{1,30}{1,00} = 4.12$$

## A8.8—Clasificación de la viga este (G1)

Sección en Midspan:

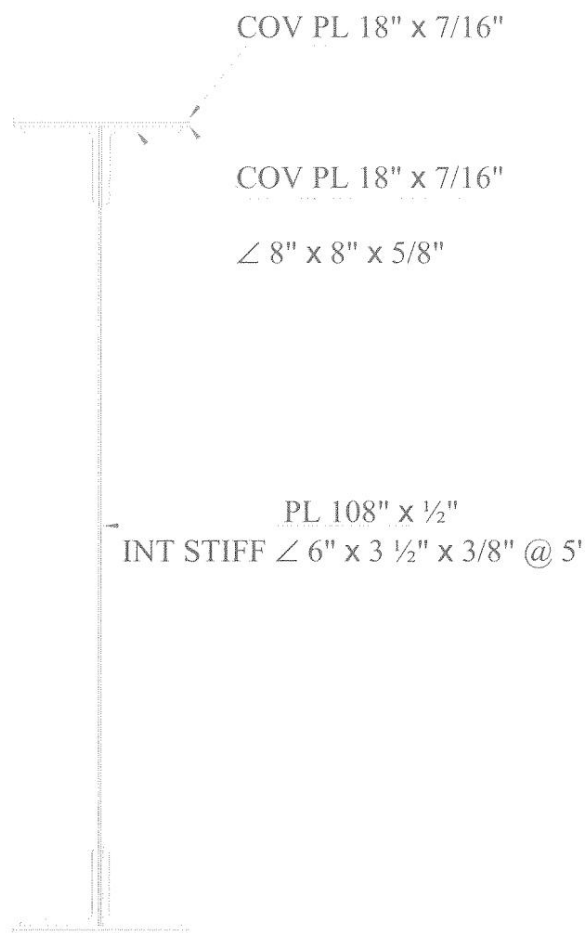


Figura A8.8-1—Sección transversal de viga en la mitad del claro

#### A8.9—Efectos de la fuerza de carga muerta

Cada viga transmite una carga concentrada de 24,63 kips debido a cargas muertas hacia el Este Viga. La viga armada tiene un peso propio de 0,49 kip/pie.

En Midspan:

$$\text{MDC} + \text{DW} = 3512,2 \text{ kip-pie}$$

En Midspan:

$$S = 4556 \text{ pulg.}^3 \text{ para la sección neta}$$

Al final de la viga:

$$\text{VCC} + \text{DW} = 136,0 \text{ kips}$$

#### A8.10—Análisis de carga viva

Calcule los factores de distribución para la viga este:

Aplicación de carga viva (HL-93)

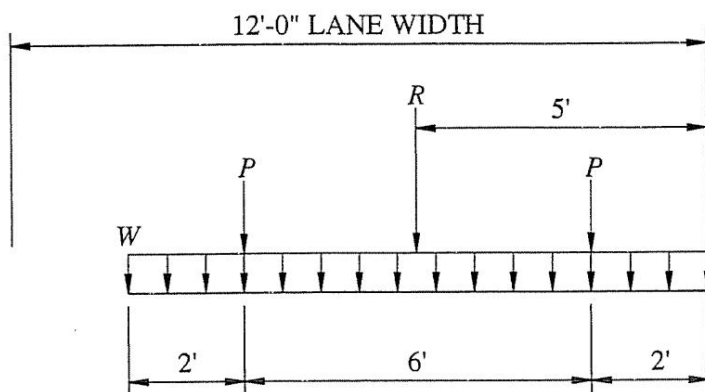


Figura A8.10-1—Posición de carga viva HL-93 dentro de un carril

R = Carga viva resultante

Para calcular las reacciones, se puede utilizar la resultante de cada carril en lugar de las cargas de las ruedas y carga distribuida.

Caso de Sólo Carril Este Cargado:

Factor de presencia múltiple:

Diseño LRFD 3.6.1.1.2

metro = 1,2

Factor de distribución:

$$g_1 = \frac{18 - \frac{10}{12}}{18} \times 1.2$$

$$= 1,4$$

Caso de ambos carriles cargados (ver Figura 2):

Factor de presencia múltiple:

metro = 1,0

Factor de distribución:

$$g_2 = \frac{18 - \frac{10}{12}}{18} + \frac{18 - \frac{10}{12}}{18} \times 1.0$$

$$= 1,24 > 1,14$$

gramo =  $g_2 = 1,24$

Las cargas por eje se distribuyen entre vigas de piso adyacentes suponiendo que la plataforma actúa como articulada en las vigas del piso. La carga del carril impone 6,06 kips por viga del piso como se determinó previamente. Las cargas vivas se aplican a las vigas principales como fuerzas concentradas en las ubicaciones de las vigas del piso.

En Midspan: Momentos debidos a HL-93

SOY = 33%

Diseño LRFD  
Tabla 3.6.2.1-1

Carga del carril de diseño = 717,4 kip-pies

Camión de diseño = 1425,0 kip-pie      Gobierna sobre Tandem

$$MLL + mesajajia instantanea = 717,4 + 1425,0 \times 1,33$$

= 2612,7 kip-pie

$$g \times \text{MLL} + \text{IM} = 1,24 \times 2612,7$$
$$= 3239,7 \text{ kip-pie}$$

Al final de la viga:

Cizalla debido a HL-93

SOY = 33%

Carga del carril de diseño = 30,3 kips

Camión de diseño = 64,8 kips                      Gobierna sobre Tandem

Tándem de diseño = 48,9 kips

$$V_{LL} + \text{mensajería instantánea} = 30,3 \text{ kips} + 64,8 \text{ kips} \times 1,33$$

$= 116,5 \text{ kips}$

$$g \times VLL + IM = 1,24 \times 116,5 \text{ kips}$$

= 144,4 kips

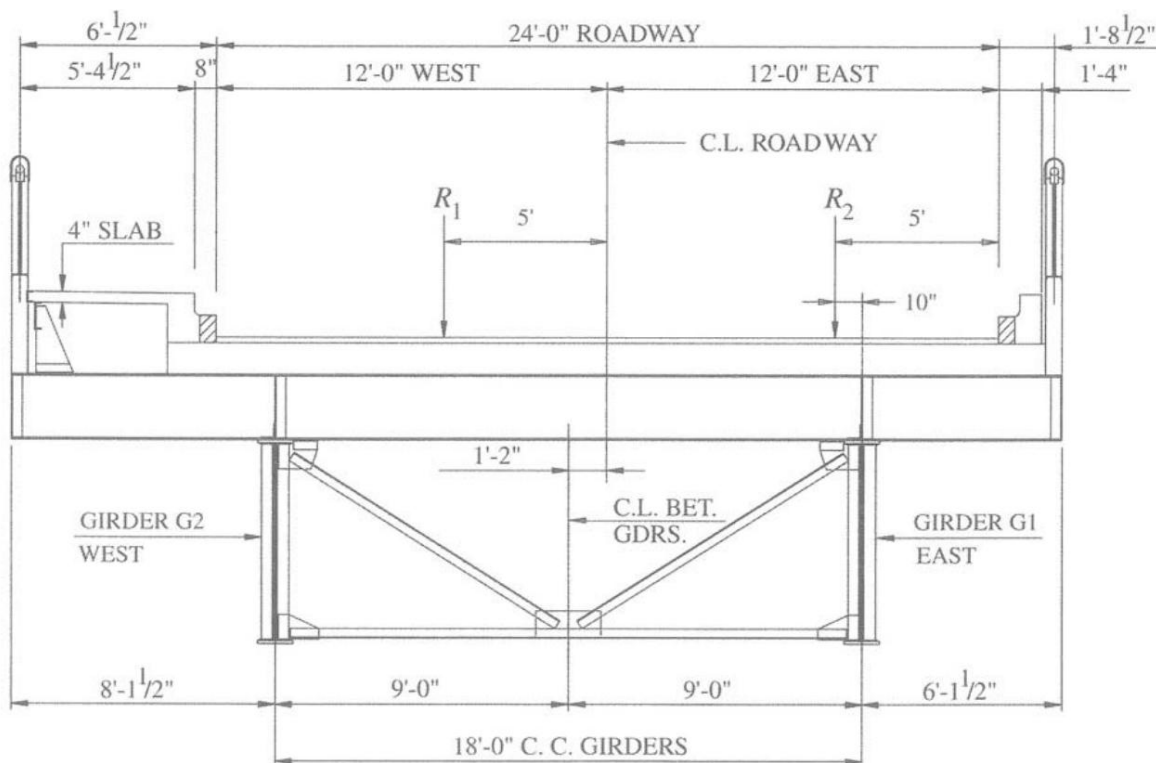


Figura A8.10-2—Posición crítica de los dos carriles para producir la carga máxima en la viga este G1

A8.11—Calcule la resistencia a la flexión normal de la sección

Consulte en la web el límite de esbeltez no compacto:

$$\frac{2D_c}{t_w} < 5,7 \sqrt{\frac{mi}{F_{yc}}}$$

Diseño LRFD  
Ec. 6.10.6.2.3-1

$$\frac{2D_c}{t_w} = \frac{D_w}{t_w} = \frac{108}{0,5} = 216$$

$$5,7 \sqrt{\frac{mi}{F_{yc}}} = 5,7 \sqrt{\frac{29000}{33}} = 469,216$$

Se aplicará lo dispuesto en el artículo 6.10.8 de la LRFD.

Para bridas discretamente arriostradas en compresión:

$$f_{uf} \leq \frac{1}{3} f_{nc}$$

Diseño LRFD  
Ec. 6.10.8.1.1-1

$f_{nc}$  = Menor entre la resistencia al pandeo local y la resistencia al pandeo lateral especificada en el Artículo 6.10.8.2 y el Artículo 6.10.8.2.3.

A8.11.1—Resistencia al pandeo local

Relación de esbeltez del ala comprimida:

$$\lambda_f = \frac{b_{FC}}{2t_{FC}}$$

Diseño LRFD  
Ec. 6.10.8.2.2-3

A mitad del lapso:

$$\lambda_f = 7 \frac{18}{5 \cdot 2 \cdot 2} = 6$$

$$\lambda_{pf} = 0,38 \sqrt{\frac{mi}{F_{yc}}}$$

Diseño LRFD  
Ec. 6.10.8.2.2-4

$$= 0,38 \sqrt{\frac{29000}{33}} = 11,2$$

$$\lambda_f = 6 \leq \lambda_{pf} = 11,2$$

Entonces:

$$f_{nc} = R_b R_h F_{yc}$$

Diseño LRFD  
Ec. 6.10.8.2.2-1

$$R_h = 1,0$$

Diseño LRFD  
Ec. 6.10.1.10.1

Determine el factor de deslastre de carga  $R_b$ :

Diseño LRFD  
6.10.1.10.2

$$\frac{2D_c}{t_w} \leq \lambda_{rw}$$

Diseño LRFD  
Ec. 6.10.1.10.2-2

$$\frac{2D_c}{t_w} = \frac{2 \cdot 54 \times}{0,5} = 216$$

$$\lambda_{rw} = 5,7 \sqrt{\frac{mi}{F_{yc}}} = 5,7 \sqrt{\frac{29000}{33}} = 169$$

Diseño LRFD  
Ec. 6.10.1.10.2-4

$$\frac{2D_c}{t_w} = 216 \quad 169_{rw} \lambda =$$

Por lo tanto:

$$R_b = 1 - \frac{a_{wc}}{1200 \cdot 300 \cdot a_{wc}} \cdot \frac{2D_c}{t_w} - \lambda \leq 1,0$$

Diseño LRFD  
Ec. 6.10.1.10.2-3

dónde:

$$\lambda_w = 5,7 \sqrt{\frac{mi}{F_{yc}}} = 169$$

$$a_w = \frac{2D_c t_w}{A_c}$$

Diseño LRFD  
Ec. 6.10.1.10.2-5

$A_c$  = área del ala comprimida en la mitad del tramo

$$= b_f c f_c$$

$$= (2 \times 8 \times \frac{5}{8} + 2 \times 18 \times \frac{7}{16}) = 25,75$$

$$a_w = \frac{2 \cdot 54 \cdot 0,5}{25,75} = 2,097$$

$$R_b = 1 - \frac{2,097}{1200 \cdot 300 \cdot 2,097} \cdot 216 = 0,946$$

$$F_{nc} = 1,0 \cdot 0,946 \cdot 33 \text{ ksi} = 31,2 \text{ ksi}$$

A8.11.2—Resistencia al pandeo lateral por torsión (Diseño LRFD 6.10.8.2.3)

$L_b$  = Longitud sin refuerzo (pulg.)

= Espaciado de vigas de piso

$$= 9 \text{ pies } 55/8 \text{ pulg.} = 113,6 \text{ pulg.}$$

$$L_P = 1,0 \cdot \sqrt{\frac{mi}{F_{yc}}}$$

Diseño LRFD  
Ec. 6.10.8.2.3-4

$$r_t = \sqrt{\frac{b_{FC}^2}{12} + \frac{D_{CW}^2}{3}} \sqrt{\frac{1}{12} + \frac{1}{3}}$$

$$= \sqrt{\frac{18^2}{12} + \frac{54^2}{3}} \sqrt{\frac{1}{12} + \frac{1}{3}}$$

$$= 4,5 \text{ pulg.}$$

Diseño LRFD  
Ec. 6.10.8.2.3-9

$$L_P = 1,0 \cdot 4,5 \sqrt{\frac{29000}{33}} = 133,4 \text{ pulgadas.}$$

$$L_b = 113,6 \text{ pulgadas} \leq L_P \quad 133,4 \text{ pulgadas.}$$

Entonces:

$$F_{nc} = F_{RR} \cdot b_h \cdot y_c$$

$$= 0,946 \cdot 1,0 \cdot 33 \cdot 1,2 \text{ ksi} \cdot x =$$

A8.12—Ecuación general de clasificación de carga (6A.4.2)

$$FR = \frac{C \cdot (1 - \frac{f_v}{V}) \cdot (1 - \frac{f_c}{C}) \cdot (1 - \frac{DW}{LL}) \cdot (1 - \frac{IM}{IM})}{(1 - \frac{LL}{LL}) \cdot (1 - \frac{IM}{IM})}$$

Ec. 6A.4.2.1-1

A8.12.1—Factores de evaluación (para estados límite de resistencia)

A8.12.1.1—Factor de resistencia,

Diseño LRFD 6.5.4.2

$$f = \quad v = 1,0 \quad \text{Para flexión y corte}$$

A8.12.1.2—Factor de condición,  $c$

6A.4.2.3

$$c = 1,0 \quad \text{Sin deterioro NBI Artículo 59 Código} = 6$$

A8.12.1.3—Factor del sistema,  $s$

6A.4.2.4

$$s = 0,90 \quad \text{Para sistema de dos vigas remachadas y flexibles}$$

$$s = 1,00 \quad \text{Para cizalla}$$

A8.12.2—Clasificación de carga de diseño (6A.4.3)

Carga	Inventario Operativo 1,25		
CC, DW	1,25 1,75 1,35		El espesor del asfalto se midió en campo.
LL + IM			

Tabla 6A.4.2.2-1



## A8.12.2.1—Flexión

## A8.12.2.1a—Estado límite de resistencia I

6A.6.4.1

Esfuerzos de flexión en la mitad del vano (sin factorizar):

$$f_{DC + DW} = \frac{MDC + DW}{S} = \frac{3512.2 \text{ lb}}{4556} = 9.25 \text{ ksi}$$

$$f_{LL + IM} = \frac{M_{LL} + IM}{S} = \frac{3239.7 \text{ lb}}{4556} = 8.53 \text{ ksi}$$

Resistencia en el centro del vano:

$$F_n = 31.2 \text{ ksi}$$

Inventario:

$$FR = \frac{(1)(0.90)(1.0)(1.25)(9.25)}{1.75(1.53)} = 1.11$$

Operando:

$$FR = 1.11 \times \frac{1.75}{1.35} = 1.44$$

## A8.12.2.1b—Estado límite de servicio II

6A.6.4.1

Dado que la sección no es compuesta ni compacta, el estado límite de Servicio II no necesita ser verificado para la Clasificación de Carga de Diseño como se analiza en el Ejemplo A5 (no registró la carga calificaciones).

## A8.12.2.2—Cizalla

6A.6.4.1

## A8.12.2.2a—Estado límite de resistencia I

Fuerzas cortantes en los extremos de las vigas:

$$V_{CC} + DW = 136.0 \text{ kips}$$

$$V_{LL} + momento instantáneo = 144.4 \text{ kips}$$

Web de viga:

$$D = 108 \text{ pulg.} = 9 \text{ pies}$$

$$d_{os} = \frac{1}{2} \text{ pulg.}$$

Separación de refuerzo transversal = 5 pies

Separación requerida entre los refuerzos transversales del panel extremo (para vigas reforzadas) &lt; 1,5D

Diseño LRFD 6.10.9.3.3

$$1.5D = 13.5 \text{ pies} > 9 \text{ pies}$$

DE ACUERDO

Las clasificaciones de los paneles interiores no se ilustran aquí.

Resistencia al corte del panel final:

Diseño LRFD 6.10.9.3.3

$$V_n = CV_p$$

Determinar C:

$$\frac{D}{t_w} = \frac{108}{0,5} = 216$$

Diseño LRFD  
Ec. 6.10.9.3.2-7

$$k = \frac{5}{6} + \frac{5}{6} \frac{21,2}{\frac{d_{ch}}{D} \frac{60}{108}}$$

$$1,12 \sqrt{\frac{Ek}{F_{yw}}} = 1,12 \sqrt{\frac{29000 \cdot 21,2}{33}}$$

FALLAR

$$= 153,216 < \frac{D}{t_w}$$

$$1,40 \sqrt{\frac{Ek}{F_{yw}}} = 1,40 \sqrt{\frac{29000 \cdot 21,2}{33}}$$

$$= 191,216 < \frac{D}{t_w}$$

FALLAR

Si:

$$\frac{D}{t_w} > 1,40 \sqrt{\frac{Ek}{F_{yw}}}$$

Entonces:

$$C = \frac{1,57}{\frac{D}{t_w}^2} \frac{Ek}{F_{yw}}$$

Diseño LRFD  
Ec. 6.10.9.3.2-6

$$= \frac{29.000 \cdot 21,2 \cdot 1,57}{216^2 \cdot 33}$$

$$= 0,627$$

$$V_p = 0,58 F_{yw} D t_w$$

Diseño LRFD  
Ec. 6.10.9.3.3-2

$$= 0,58 \times 33 \times 108 \times 0,5$$

$$= 1033,6 \text{ kips}$$

$$V_n = CV_p$$

Diseño LRFD  
Ec. 6.10.9.3.3-1

$$= 0,627 \times 1033,6 \text{ kips}$$

$$= 648,0 \text{ kips}$$

Inventario:

FR = 
$$\frac{(1)(0)(0)(0.648,0 \cdot 1,25 \cdot 1)(0)}{1,75 \cdot 44,4}$$

= 1,89

Operando:

FR = 
$$1,89 \times \frac{1,75}{1,35}$$

= 2,45

Como el puente tiene capacidad suficiente (RF > 1,0) para la carga HL-93, se requiere una evaluación adicional para No se requieren cargas legales.

A8.13—Resumen de los factores de calificación

Tabla A8.13-1—Resumen de factores de clasificación—Vigas de piso

Estado límite			Clasificación de carga de diseño (HL-93)	
			Inventario	Operativo
fuerza yo	Máx +M		1,60	2,07
	Flexión máxima –M		1,06	1,38
	Cortar			
Servicio II	Flexura Max +M (Gobierna)			

Tabla A8.13-2—Resumen de factores de calificación—Viga

Estado límite		Clasificación de carga de diseño (HL-93)	
		Operativo	Inventario
fuerza yo	Flexura	1,11	1,44
	Cortar	1,89	2,45

A8.14—Referencias

AASHTO. 2007. Especificaciones de diseño de puentes AASHTO LRFD, cuarta edición, LRFDUS-4-M o LRFD SI-4. Asociación Estadounidense de Funcionarios Estatales de Carreteras y Transporte, Washington, DC.

# A9—PUENTE DE VIGA CAJA ADYACENTE DE HORMIGÓN P/S: CARGA DE DISEÑO Y CLASIFICACIÓN DE CARGA PERMITIDA DE UNA VIGA INTERIOR

Nota: Este ejemplo demuestra los cálculos de calificación para el momento en la línea central de una Puente adyacente de viga cajón de hormigón pretensado.

## A9.1—Datos del puente

Longitud de espacio: 70 pies (luz simple)  
 Año de construcción: 1988  
 Concreto:  $f'_c = 5$  ksi (viga P/S)  $f'_{ci} = 4$  ksi (viga P/S en transferencia)  
 Acero de pretensado:  $\frac{1}{2}$  pulg. de diámetro, cordón sin tensión de 270 ksi  
 Acero de refuerzo: Grado 60  
 Condición: Sin deterioro. NBI Código Ítem 59 = 7 Superficie de conducción: Verificada y documentada en campo: Aproximación y cubierta suave ADTT (una dirección): 4600 Inclinación:  $0^\circ$

### A9.1.1—Propiedades de la sección

Vigas tipo caja de 48 pulg.  $\times$  33 pulg.

$A = 753$  pulg.<sup>2</sup>

$I_x = 110499$  pulg.<sup>4</sup>

$S_{bot} = 6767$  pulgadas<sup>3</sup>

Parada = 6629 pulg.<sup>3</sup>

## A9.2—Análisis de carga muerta—Viga interior

Las vigas están suficientemente postensadas transversalmente para actuar como una unidad. Condiciones dadas en También se cumple el Artículo 4.6.2.2.1 de Diseño de la LRFD. Por lo tanto, las cargas permanentes debidas a la barrera, la superficie de desgaste y los servicios públicos pueden distribuirse uniformemente entre las vigas.

### A9.2.1—Componentes y accesorios, DC

Peso propio de la viga (incluidos los diafragmas) = 0,815 kip/pie

Aceras:

$$2 \left( \frac{10.25}{12} \times 7 \times 0.150 \right) \times \frac{1}{12} = 0.150 \text{ kip/pie}$$

Parapetos:

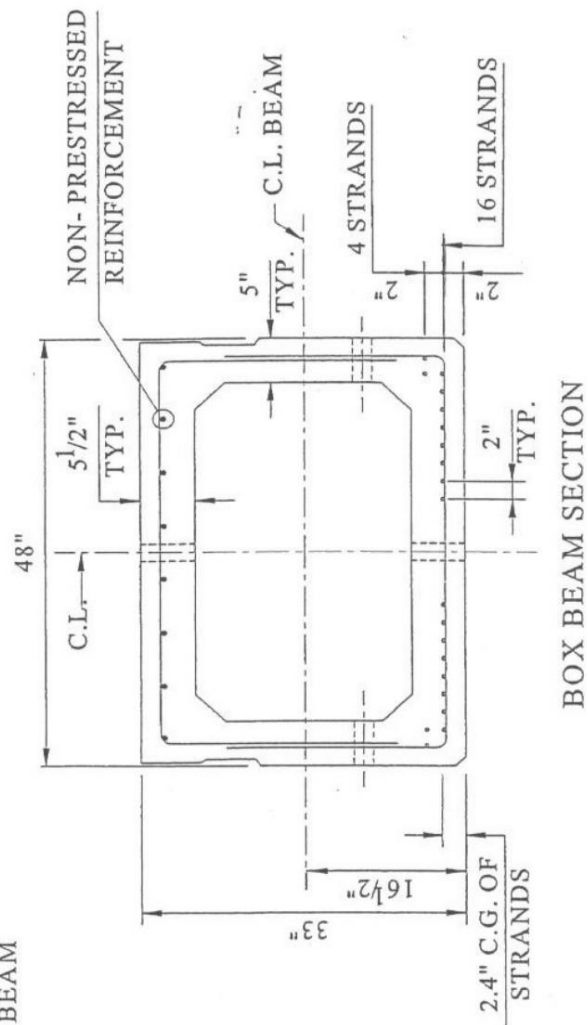
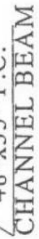
$$2 \left( 1.0 \times 2.5 \times 0.150 \right) \times \frac{1}{12} = 0.056 \text{ kip/pie}$$

Barandilla:

$$2 \left( 0.75 \right) \times \frac{1}{12} = 0.003 \text{ kip/pie}$$

CC total = 1,024 kip/pie

$$\begin{aligned} \text{MDC} &= 1 \text{ CDM} = \frac{1}{8} \times 1.024 \times 70^2 \\ &= 627.2 \text{ kip-pie} \end{aligned}$$



Espesor del asfalto = 21 / 2 pulg. (no medido en campo)

A9.2.2—Superficies de desgaste y servicios públicos, DW

Superposición de asfalto:

$$\frac{2,5 \times 136,0 \times 0,144}{12} \times \frac{1}{12} = 0,09 \text{ kip/pie}$$

12 pulgadas. Tubería de gas:

$$0,05 \text{ kip/pie} \times \frac{1}{12} = 0,005 \text{ kip/pie}$$

Peso total total = 0,095 kip/pie

$$\text{MDW} = \frac{1}{8} \times 0,095 \times 70^2 = 58,2 \text{ kip-pie}$$

A9.3—Análisis de carga viva—Viga interior

Sección transversal tipo (g).

Diseño LRFD  
Tabla 4.6.2.2.1-1

Las vigas se postensan transversalmente para que actúen como una unidad.

A9.3.1—Calcule los factores de distribución de carga viva para una viga interior (Tabla de diseño LRFD 4.6.2.2.2b-1)

Nb = 12

$$k = 2,5 \left( \frac{1}{Nb} \right)^{-0,2} \geq 1,5$$

$$= (2,5)(12)^{-0,2} = 1,52 \quad \text{decir } 1,5$$

l = 110499 pulg.4

b = 48 pulg.

Para formas cerradas de paredes delgadas:

Diseño LRFD  
Ec. C.4.6.2.2.1-3

$$j = \frac{4a^2}{\sum \frac{s}{t}}$$

Ao = Área encerrada por las líneas centrales de los elementos

$$= (48 - 5)(33 - 5 \times \frac{1}{2}) = 1182,5 \text{ pulg.}^2$$

s = Longitud de un elemento lateral

$$j = \frac{2 \times 1182,5}{\frac{2(48 - 5 - 2 \times 3) \times 5,5}{5,5} + \frac{5,5}{5}}$$

$$= 209985 \text{ pulg.}^4$$

## A9.3.1.1—Factor de distribución del momento

Un carril cargado:

$$\begin{aligned}
 gm1 &= \frac{y_o k^{0,5} b^{0,25}}{33,8} \\
 &= \frac{48^{0,50} 110499^{0,25}}{209985} \\
 &= 0,183
 \end{aligned}$$

Dos o más carriles cargados:

$$\begin{aligned}
 gm2 &= \frac{0,6}{305} \frac{0,2 b^{0,6}}{LJ} \frac{K^{0,06}}{1} \\
 &= \frac{48^{0,6}}{305} \frac{481,50^{0,2}}{1270} \frac{110499^{0,06}}{209985} \\
 &= 0,268 > 0,183
 \end{aligned}$$

$$g_{\text{gramos}} = g_{\text{gramos2}} = 0,268$$

## A9.3.2—Momento de carga viva máxima (HL-93) en el medio del tramo

Carga del carril de diseño:

$$0.64 \text{ klf} \times \frac{(70 \text{ pies})^2}{8} = 392,0 \text{ kip-pie}$$

Camión de diseño (con el eje central colocado en el centro del tramo):

$$\frac{32 \text{ k} \times 70 \text{ pies}}{4} + \frac{(8 \text{ k} \times 32 \text{ pies} + 21 \text{ pies} \times 35)}{70} = 980,0 \text{ kip-pie} \quad \text{Gobierna}$$

Diseño Tándem (con tándem centrado en el centro del vano):

$$25 \text{ k} \times 33 \text{ pies} = 825,0 \text{ kip-pie}$$

$$SOY = 33\%$$

$$MLL + \text{manejo instantáneo} = 392,0 + 980,0 \times 1,33$$

$$= 1695,4 \text{ kip-pie}$$

$$g \times MLL + IM = (0,268)(1695,4)$$

$$= 454,4 \text{ kip-pie}$$

## A9.4—Calcular la resistencia a la flexión nominal

$$f_{ps} = \frac{F_{pu}}{1 - \frac{C}{k d_{\text{pag}}}}$$

Diseño LRFD  
Ec. 5.7.3.1.1-1

$k = 0,38$  para cordones liberados de tensiones

Diseño LRFD  
Tabla C5.7.3.1.1-1

$f_{pu} = 270$  ksi

$d_p$  = distancia desde la fibra de compresión extrema al CG de los tendones de pretensado

= 33 pulg. – 2,4 pulg.

= 30,6 pulgadas.

Para sección rectangular:

$$c = \frac{A_{ps} f_{pu}}{0,85 f'_c b + A_{ps} f_{pu} / d_p}$$

Diseño LRFD  
Ec. 5.7.3.1.1-4

Desprecia el refuerzo no pretensado.

$A_{ps} = 20 \times 0,153$

= 3,06 pulgadas<sup>2</sup>

$b = 48$  pulg.

$f'_c = 5$  ksi

$\beta_1 = 0,80$

$$c = \frac{3,06 \times 270}{0,85 \times 5 \times 48 + 0,38 \times 3,06 \times \frac{270}{30,6}}$$

Diseño LRFD 5.7.2.2

= 4,76 pulgadas.

$a = \beta_1 c$

Diseño LRFD 5.7.2.2

=  $0,80 \times 4,76$

= 3,81 pulg. < 5,5 pulg.

Por tanto, el supuesto de comportamiento de la sección rectangular es válido.

$$f_{ps} = 270 - 0,38 \times \frac{4,76}{30,6}$$

= 254,0 ksi

$$M_{ps} = A_{ps} f_{ps} d_p - \frac{a}{2}$$

Diseño LRFD  
Ec. 5.7.3.2.2-1

$$= 3,06 \times 254,0 \times 30,6 - \frac{3,81 \times 1}{2 \times 12}$$

= 1858,6 kip-pie



## A9.5—Refuerzo máximo (C6A.5.6)

La resistencia mayorada (factor  $\phi$ ) de las secciones controladas por compresión se reducirá de acuerdo con el Artículo de Diseño 5.5.4.2.1 de LRFD. Este enfoque limita la capacidad de las secciones sobrerreforzadas (compresión controlada).

C6A.5.6

La deformación neta por tracción,  $\epsilon_t$ , es la deformación por tracción con resistencia nominal y está determinada por la deformación compatibilidad usando triángulos similares.

Diseño LRFD  
C5.7.2.1

Dada una deformación permitida del concreto de 0.003 y una profundidad al eje neutro  $c = 4.76$  pulgadas y una profundidad desde la fibra de compresión extrema del concreto hasta el centro de gravedad del pretensado hebras,  $d_p = 30.6$  pulg.

$$\frac{\epsilon_c}{c} = \frac{\epsilon_t}{d_p - c}$$

$$\frac{0.003}{4.76 \text{ pulgadas}} = \frac{\epsilon_t}{30.6 \text{ pulgadas} - 4.76 \text{ pulgadas}}$$

$$\epsilon_t = 0.0163$$

Para  $\epsilon_t = 0.0163 > 0.005$ , la sección está controlada por tensión y el factor de resistencia  $\phi$  se tomará como 1.0.

Diseño LRFD  
5.7.2.1, 5.5.4.2

## A9.6—Refuerzo mínimo

6A.5.7

La cantidad de refuerzo debe ser suficiente para desarrollar  $M_r$  igual al menor de:

Diseño LRFD  
5.7.3.3.2

$$1.33M_u \text{ o } 1.2M_{cr}$$

$$M_{cr} = \frac{f_r I_g}{S_x} = \frac{(1.0)(1858,6)}{1858,6} = 1.0$$

$$M_u = 1.75(454,4) + 1.25(627,2) = 1.5(58,2) = 1666,5$$

$$1.33M_u = 2216,4 > S_r \text{ comprobar } S_r \geq 1.2M_{cr}$$

$$M_{cr} = \frac{f_r I_g}{S_x} = \frac{f_r I_g}{S_x} - \frac{1}{2} S_{fcr}$$

Diseño LRFD  
Ec. 5.7.3.3.2-1

Cuando se diseña una sección monolítica o no compuesta para resistir todas las cargas, se sustituye  $S_{nc}$  por  $S_c$ . Por lo tanto:

$$M_{cr} = S_{nc} (f_r + f_{cpe}) \geq S_{nc} f_r$$

$$S_{nc} = S_b = 6767 \text{ pulg.}^3$$

$f_{cpe}$  = esfuerzo de compresión en el concreto debido a la fuerza de pretensado efectiva (después de tener en cuenta todas las pérdidas de pretensado) en la fibra extrema de la sección donde la tensión de tracción es causada por cargas aplicadas externamente

$$f_{cpe} = \frac{P_{pe}}{A_g} \frac{e}{b}$$

dónde:

$P_{pe}$  = fuerza de pretensado efectiva

Módulo de ruptura:

Diseño LRFD 5.4.2.6

$$f_r = 0,37 \text{ pies cúbicos}$$

$$= 0,375 \sqrt{\quad}$$

$$= 0,827 \text{ ksi}$$

A9.6.1—Determinar la fuerza de pretensado efectiva,  $P_{pe}$ 

$$p_{pe} = A_p s_{fpe}$$

Pérdidas totales de pretensado:

Diseño LRFD  
Ec. 5.9.5.1-1

$$\Delta f_{pT} = \Delta f_{pES} + \Delta f_{pLT} \text{ inmediatamente antes de la transferencia}$$

Pretensado efectivo:

$$f_{pe} = \text{Pretensado inicial} - \text{Pérdidas totales de pretensado}$$

A9.6.1.1—Pérdida debido a acortamiento elástico,  $\Delta f_{pES}$  (Diseño LRFD 5.9.5.2.3a)

$$\Delta f_{pES} = \frac{m_i}{m_{\text{mi}}} F_{cgp}$$

Diseño LRFD  
Ec. 5.9.5.2.3a-1

$$f_{cgp} = \frac{P_i P_e + Y_o^2 M_{De}}{A I}$$

Pretensado inicial inmediatamente antes de la transferencia = 0,7 fpu si no está disponible en los planos.

Tabla de diseño  
LRFD 5.9.3-1Para estimar  $P_i$  inmediatamente después de la transferencia, utilice 0,90 (0,7 fpu).Diseño LRFD  
C5.9.5.2.3a

$$P_i = 0,90 \times (0,7 \times 270) 20 \times 0,153$$

$$= 520,5 \text{ kips}$$

$$A = 753 \text{ pulgadas}^2$$

$$I = 110499 \text{ pulg.}^4$$

$$m_i = 16,5 \text{ pulg.} - 2,4 \text{ pulg.}$$

$$= 14,1 \text{ pulgadas.}$$

MD = Momento debido al peso propio del miembro

$$= \frac{1}{8} \times 0,15 \times 70 \times 499,2 \text{ kip-pie}$$

$$f_{cgp} = \frac{2 \times 520,5 \times 520,5}{753} + \frac{14,1 \times 499,2}{110499} - \frac{14,1 \times 12 \times \times}{110499}$$

$$= 0,691 + 0,936 - 0,764$$

$$= 0,863 \text{ ksi}$$

$$\text{etc.} = 33000 \left( \frac{K}{c} \right)^{1,5} \sqrt{c' f}$$

Diseño LRFD  
Ec. 5.4.2.4-1

$$= 33000(1,0)(0,145)^{1.5} \sqrt{4.0}$$

$$= 3644 \text{ ksi}$$

Diseño LRFD C5.4.2.4

$$E_p = 28500 \text{ ksi}$$

Diseño LRFD 5.4.4.2

$$\Delta f_{pES} = \frac{28500}{3644} \times 0.863$$

Diseño LRFD  
Ec. 5.9.5.2.3a-1

$$= 6.750 \text{ ksi}$$

A9.6.1.2—Estimación aproximada de la suma global de las pérdidas dependientes del tiempo,  $\Delta f_{pLT}$   
(Diseño LRFD 5.9.5.3)

Incluye fluencia, contracción y relajación del acero.

$$\Delta f_{pLT} = 19,0 + 4 \times \text{PPR (promedio de viga cajón)}$$

Tabla LRFD 5.9.5.3-1

$$\text{PPR} = \frac{u_{a,f}}{A_f A_f + s_i}$$

Diseño LRFD  
Ec. 5.5.4.2.1-4

$$A_{ps} = 3,06 \text{ pulgadas}^2$$

$$f_{py} = 0,85 \times \phi_{pu} \text{ Cordón libre de tensiones}$$

Diseño LRFD  
Tabla 5.4.4.1-1

$$= 0,85 \times 270$$

$$= 229,5 \text{ ksi}$$

$$\text{Como} = 0$$

$$\text{PPR} = 1,0$$

$$\Delta f_{pLT} = 19,0 + 4 \times 1,0$$

$$= 23 \text{ ksi}$$

A9.6.1.3—Pérdidas totales de pretensado,  $\Delta f_{pT}$

$$\Delta f_{pT} = \Delta f_{pES} + \Delta f_{pLT}$$

Diseño LRFD  
Ec. 5.9.5.1-1

$$= 6,75 + 23,0$$

$$= 29,75 \text{ ksi}$$

$f_{pe}$  = Pretensado inicial – Pérdidas totales de pretensado

$$= (0,7 \times 270) - 29,75$$

$$= 159,3 \text{ ksi}$$

$$\text{Equipo} = 159,3 \times 20 \times 0,153$$

$$= 487,5 \text{ kips}$$

$$f_{pb} = \frac{P_{pe} P_{pe}}{COMO_b}$$

$$= \frac{487,5 + 487,5 \left( \frac{16,5 \cdot 2,4}{6767} \right)}{753}$$

$$= 1,663 \text{ ksi}$$

$$M_c = (f_t + f_{s_{pe}}) \times \frac{1}{12}$$

$$= (0,827 + 1,663 \cdot 6767) \times \frac{1}{12}$$

$$= 1404,2 \text{ kip-pie}$$

$$M_{cr} = \phi M_n$$

$$= 1,0 \times 1858,6 = 1858,6 \text{ kip-pie}$$

$$Señor = 1858,6 > 1,2 M_{cr} = 1,2 \times 1404,2 = 1685,0 \text{ OK}$$

Se cumple la verificación de refuerzo mínimo.

6A.5.7

A9.7—Ecuación general de clasificación de carga (6A.4.2)

$$FR = \frac{C(-Y)(CC)(-YDD)(DW P_{pe})}{(\psi)(LL IM)}$$

Ec. 6A.4.2.1-1

A9.7.1—Factores de evaluación para estados límite de resistencia

A9.7.1.1—Factor de resistencia,  $\phi$

Diseño LRFD  
5.5.4.2.1

$\phi = 1,0$  para flexión

A9.7.1.2—Factor de condición,  $\phi_c$

6A.4.2.3

$\phi_c = 1,0$  sin deterioro

A9.7.1.3—Factor del sistema,  $\phi_s$

6A.4.2.4

$\phi_s = 1,0$

A9.7.2—Clasificación de carga de diseño (6A.4.3)

A9.7.2.1—Estado límite de resistencia I (6A.5.4.1)

$$FR = \frac{(-Y)(CC)(-YDD)(DW P_{pe})}{(\psi)(LL IM)}$$

Carga	Inventario	Operando	
	1.25	1.25	
DW	1.5	1,50	El espesor del asfalto no fue medido en campo
LL + IM	1,75	1.35	

Tabla 6A.4.2.2-1

## A9.7.2.1a—Flexión en la mitad del tramo

Inventario:

$$FR = \frac{(1,0)(1,0)(1,858,6 \times 1,25 \times 627,2) - (1,50 \times 58,2)}{(1,75 \times 454,4)}$$

$$= 1,24$$

Operando:

$$FR = 1,24 \times \frac{1,75}{1,35}$$

$$= 1,61$$

No es necesario comprobar el corte para la carga de diseño ya que el puente no muestra signos de corte angustia.

## A9.7.2.2—Estado límite del Servicio III para el nivel de inventario (6A.5.4.1)

$$FR = \frac{FR_{DD} + (1,0) F}{(1,0) + IM + (1,0)}$$

Resistencia a la flexión:

$$fR = f_{pb} + \text{Esfuerzo de tracción admisible}$$

$f_{pb}$  = esfuerzo de compresión debido al pretensado efectivo

$$= 1,663 \text{ (Ver cálculo anterior, A.9.6.1.3)}$$

$$\text{Esfuerzo de tracción permitido } f_{t,19} = \sqrt{f'_c}$$

$$= 0,195 \sqrt{f'_c}$$

$$= 0,425 \text{ ksi}$$

$$fR = 1,663 + 0,425$$

$$= 2,088 \text{ ksi}$$

Estrés de carga muerta:

$$f_{dc} = \frac{627,2 \times 12}{6767} = 1,112 \text{ kilos}$$

$$f_{dw} = \frac{58,2 \times 12}{6767} = 0,103 \text{ ksi}$$

$$fD \text{ total} = 1,215 \text{ ksi}$$

Estrés de carga viva:

$$FL + IM = \frac{454,4 \times 12}{6767} = 0,806 \text{ ksi}$$

$$\gamma_L = 0,80$$

$$\gamma_D = 1,0$$

Diseño LRFD  
Tabla 5.9.4.2.2-1

$$FR = \frac{2,088 (1,0)(1,215)}{(0,80)(0,806)}$$

Tabla 6A.4.2.2-1

$$= 1,35 > 1,0 \text{ OK}$$

## A9.7.3—Clasificación de carga legal (6A.4.4)

Capacidad de carga de diseño del inventario RF > 1,0; por lo tanto, no es necesario realizar las capacidades de carga legales ni publicarlas.

6A.4.3.1

## A9.7.4—Clasificación de carga permitida (6A.4.5)

Tipo de permiso: Rutinario

Peso permitido: 240 kips

Vehículo con permiso: se muestra en el ejemplo A1, figura A1A.1.10-1

ADTT (una dirección): 4600

Del análisis de carga viva por programa informático:

Máximo no distribuido:

MLL = 2592 kip-pies

## A9.7.4.1—Estado límite de resistencia II

6A.4.5.4.2a

$$\gamma_L = \frac{1,30 \cdot 1,20}{5000 \cdot 1000 \cdot 4600 \cdot 1000} = \frac{\gamma - L \cdot 1,20}{-}$$

Tabla 6A.4.5.4.2a-1

$$= 1,29$$

Para un permiso de rutina, utilice un factor de distribución cargado de carriles múltiples.

6A.4.5.4.2a

gm = 0,268 (factor de distribución cargado de dos carriles)

IM = 10% Inspección de campo verificada: Superficie de conducción suave

Tabla C6A.4.4.3-1

Efectos de carga viva distribuida:

$$MLL + LL = (2592)(0,268)(1,10) \cdot 764,1 \text{ kip-pie}$$

Flexura:

$$FR = \frac{(1,0)(1,0)(1,0)(1858,6) \cdot 1,25(627,2) \cdot 1,5(58,2)}{(1,29)(764,1)}$$

$$RF = 1,00 = 1,0 \text{ OK}$$

Nota: Los camiones con permiso deben revisarse para detectar corte de forma incremental a lo largo de la longitud del miembro. No ilustrado aquí; consulte el Ejemplo A3.

6A.5.9

## A9.7.4.2—Estado límite de servicio I

6A.6.4.2.2

$$\gamma_L = \gamma_{DC} = \gamma_{DW} = 1,0$$

Tabla 6A.4.2.2-1

Se deben utilizar los métodos de análisis de distribución de LRFD como se describen en LRFD 4.6.2.

C6.6.4.2.2

$$GM = 0,268$$

$$MLL + LL = (2592)(0,268)(1,10) = 764,1 \text{ kip-pie}$$

$$MDC = 627,2 \text{ kip-pie}$$

$$MDW = 58,2 \text{ kip-pie}$$

$$mcr = 1404,2 \text{ kip-pie (calculado previamente)}$$

$$fpe = 159,3 \text{ ksi (calculado previamente)}$$

$$MDC + MDW + MLL + IM - Mcr = 627,2 + 58,2 + 764,1 - 1404,2 = 45,3 \text{ kip-pie}$$

A9.7.4.2a—Comprobación simplificada usando  $0,75 M_n$

$$MDC + MDW + MLL + IM = 1449,5 \text{ kip-pie}$$

$$0,75 M_n = 0,75 \times 1858,6 \text{ kip-pie}$$

$$= 1394,0 \text{ kip-pie} < 1449,5 \text{ kip-pie}$$

NO ES BUENO

Relación de momento:

$$\frac{0,75 \text{ millones}}{MM + MDW + MLL + IM} = \frac{1394,0}{1449,5} = 0,96 < 1,0$$

NO ES BUENO

A9.7.4.2b—Verificación refinada usando  $0,90 f_y$

Calcule la tensión en el refuerzo exterior en la mitad del claro. Estrés debido a momentos superiores a los El momento de fisuración actúa sobre la sección fisurada. Los momentos hasta el momento del crack. provocar en la armadura un esfuerzo igual al pretensado efectivo.

$$fR = 0,9 f_y = 0,9(0,85) f_{pu} = 0,9(0,85)(270) = 206,6 \text{ ksi}$$

Diseño LRFD  
Tabla 5.4.4.1-1

Propiedades de sección para la sección fisurada:

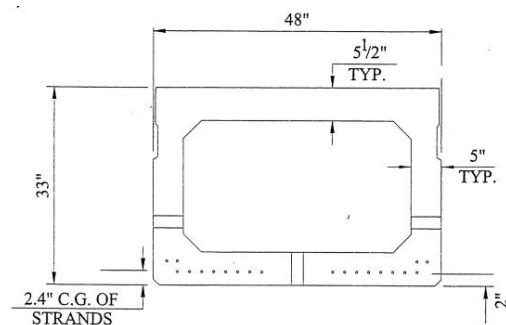


Figura A9.7.4.2b-1—Sección transversal de viga tipo caja

Suponga que el eje neutro está en el ala superior.

$$A_{ps} = 3,06 \text{ pulgadas}^2$$

Diseño LRFD 5.7.1

$$f_c = 5 \text{ ksi}$$

Se aplica una relación modular efectiva de 2n

$$= \frac{m_i}{m_c} = \frac{28500}{4000}$$

$$= 7; \text{ por lo tanto, } 2n = 14$$

$$A_{trans} = 2 U_{r306-14} 42,8 \text{ pulg. PD}$$

$$C = \frac{C}{(antes\ de\ Cristo\ d\ A_{trans})}$$

$$C = \frac{C}{2} (48)(33,4)(42,8)$$

$$2\ 24\ 42,8\ 1309,7\ 0\ c\ +- = c$$

Resolviendo para c:

C = 6,55 pulgadas > 5,50 pulgadas asumidas; por lo tanto, encuentre la profundidad del eje neutro mediante prueba y ajustamiento

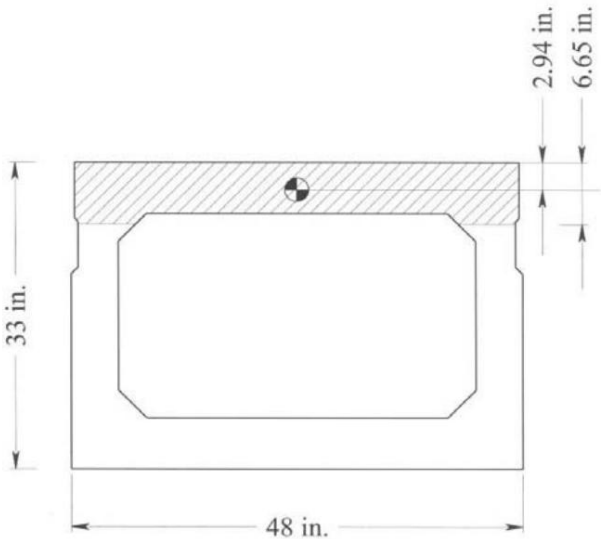


Figura A9.7.4.2b-1—Sección transversal de viga en caja para determinar c

Tabla A9.7.4.2b-1—Valores de prueba y ajuste para c

juicio c	centroide	Área Concreto	C calculado	Diferencia Prueba – Calculada
5,5	2,75	264,0000	6,6383	−1,138 −
5,8294	2,8041	264,7872	6,6749	0,846 −
6,3	2,8827	271,3392	6,6621	0,362 −
6,6	2,9318	275,1264	6,6596	0,060 −
6,65	2,9400	275,7456	6,6594	0,009
6,7	2,9482	276,3504	6,6595	+0,041



Por prueba y ajuste, c equivale aproximadamente a 6,65:

c = 
$$\frac{2,94(275,7456)^2(16 \times 0,153 \text{ pulg.} \times 31 \text{ pulg.}) (4 \times 0,153 \text{ pulg.} \times 29 \text{ pulg.}) 14}{(275,7456)^2 (20 \cdot 153 \text{ pulgadas } 14)} = 6.65$$

icr = 
$$\frac{1}{12} (47,25 \frac{5,5}{2})^3 (6,65) ( ) \frac{5,5}{2} (47,25 \frac{5,5}{2})^2$$

$$2 \times \frac{1}{12} (6,9 \cdot 1,15)^3 + (6,9 \cdot 1,15 \cdot 0,58)^2 \div = 29165 \text{ pulgadas.}^4$$

$$\frac{42,8 \cdot 33 \cdot 2,4 \cdot 6,65}{( )^2}$$

(

Tensión más allá del pretensado efectivo (aumento de la tensión después del agrietamiento):

f = 
$$\frac{M_i}{I} = \frac{(42,9)(12)(33 \cdot 2 \cdot 6,65) 7}{29165} = 3,01 \text{ kilos}$$

Tensión en el refuerzo en el paso de Permiso Servicio I:

fs = 159,3 3,01 162,31 ksi + f R 206,6 ksi = <= = DE ACUERDO

Relación de estrés:

$$\frac{0,9 f_y}{F_s} = \frac{206.6}{162,31} = 1,27 \approx 0$$
 DE ACUERDO

Para este puente, la verificación simplificada indica que se viola la condición del Servicio I para el camión de permisos; la verificación más detallada indica que la condición es aceptable.

A9.8—Resumen de los factores de calificación

Tabla A9.8-1—Resumen de factores de clasificación—Viga tipo cajón interior

Estado límite		Clasificación de carga de diseño (HL-93)		Clasificación de carga permitida
		Inventario Operativo 1,25 1,61		
fuerza yo	Flexura			—
Fuerza II	Flexura	—	—	1.00
Servicio III		1.35	—	—
Servicio yo	Aproximado	—	—	Relación de tensión = 0,96
	Refinado	—	—	Relación de tensión = 1,27

A9.8—Referencias

AASHTO. 2007. Especificaciones de diseño de puentes AASHTO LRFD, cuarta edición, LRFDUS-4-M o LRFDSDI-4. Asociación Estadounidense de Funcionarios Estatales de Carreteras y Transporte, Washington, DC.